

# ZÁPADNÉ KARPATY

SÉRIA

*geológia 15*

CS ISSN 0139—8288

GEOLOGICKÝ ÚSTAV DIONÝZA ŠTÚRA, BRATISLAVA 1991

# ZÁPADNÉ KARPATY

SÉRIA

*geológia 15*

Geologický ústav Dionýza Štúra  
ODBOROVÉ INFORMAČNÉ STREDISKO  
Mlynská dolina 1  
817 04 BRATISLAVA

GEOLOGICKÝ ÚSTAV DIONÝZA ŠTÚRA, BRATISLAVA 1991

Geologický ústav D. Štúra KNIŽNICA, Bratislava	
Signatúra:	1 B 107a
kat. čís.:	43 / 92
Kčs kope:	PV 30,-
Kčs vým.:	
Kčs dar:	

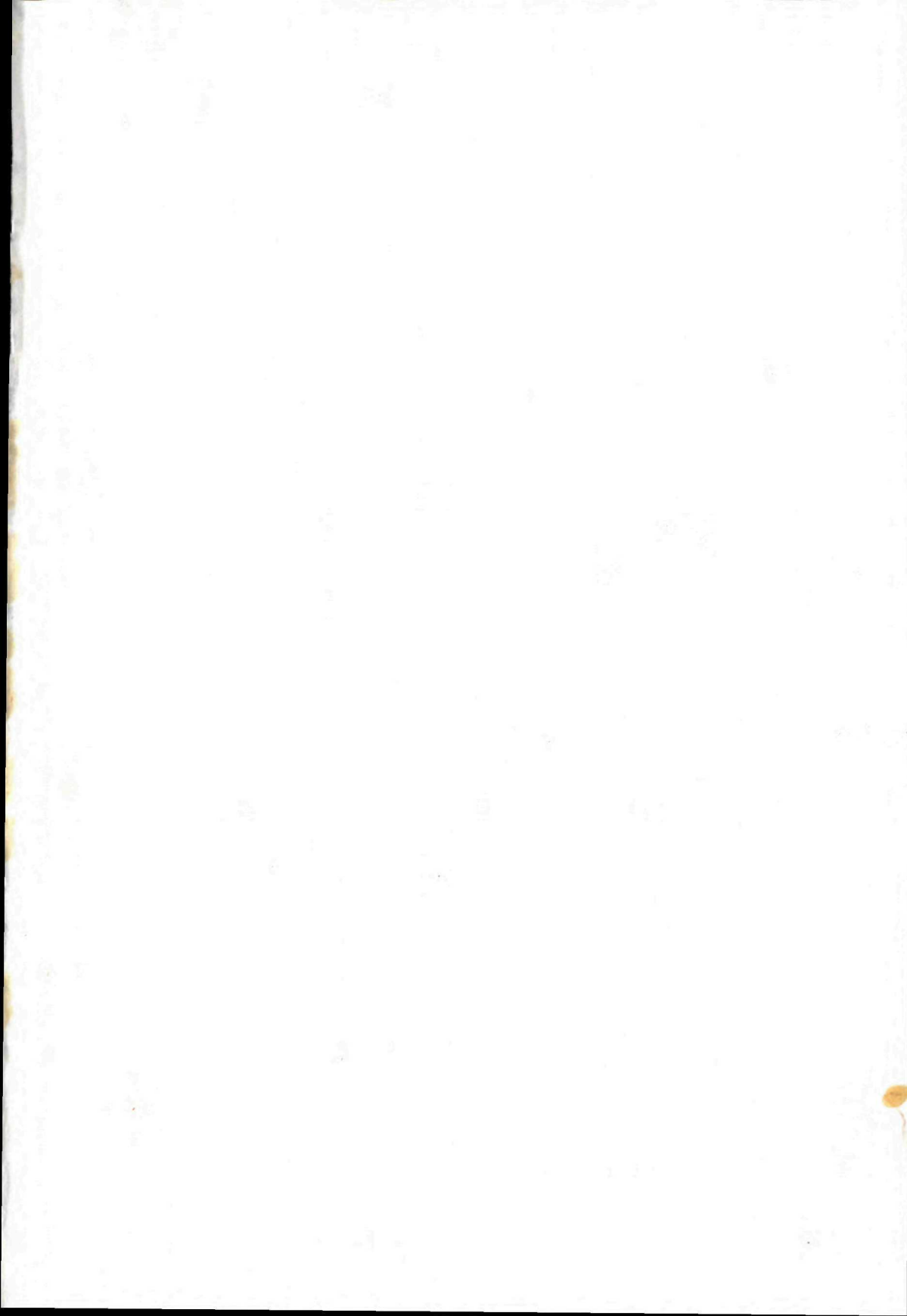
ZÁPADNÉ  
KARPATY

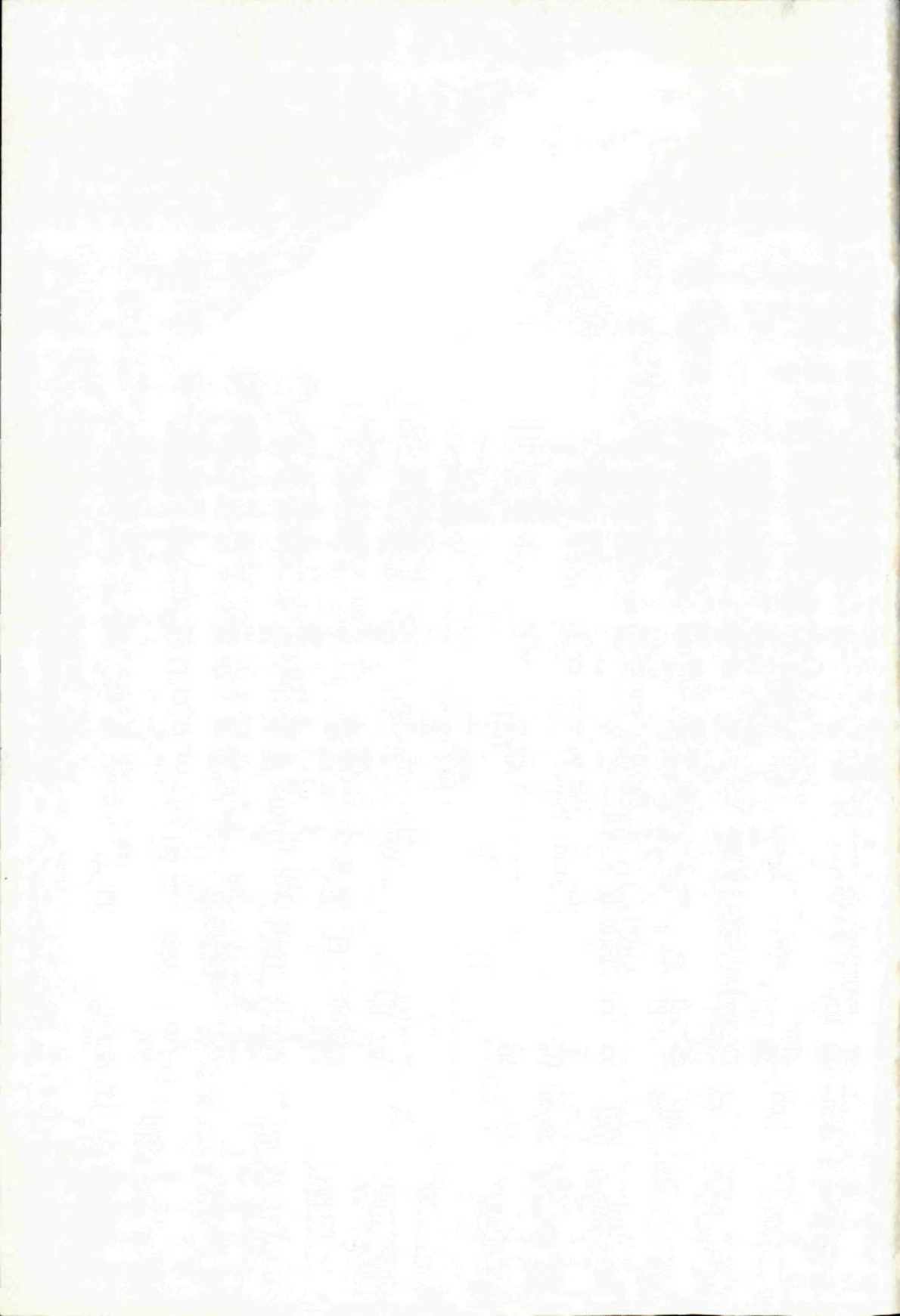
SÉRIA

*Geológia 15*

Vedecký redaktor  
RNDr. MILOŠ RAKÚS, CSc.

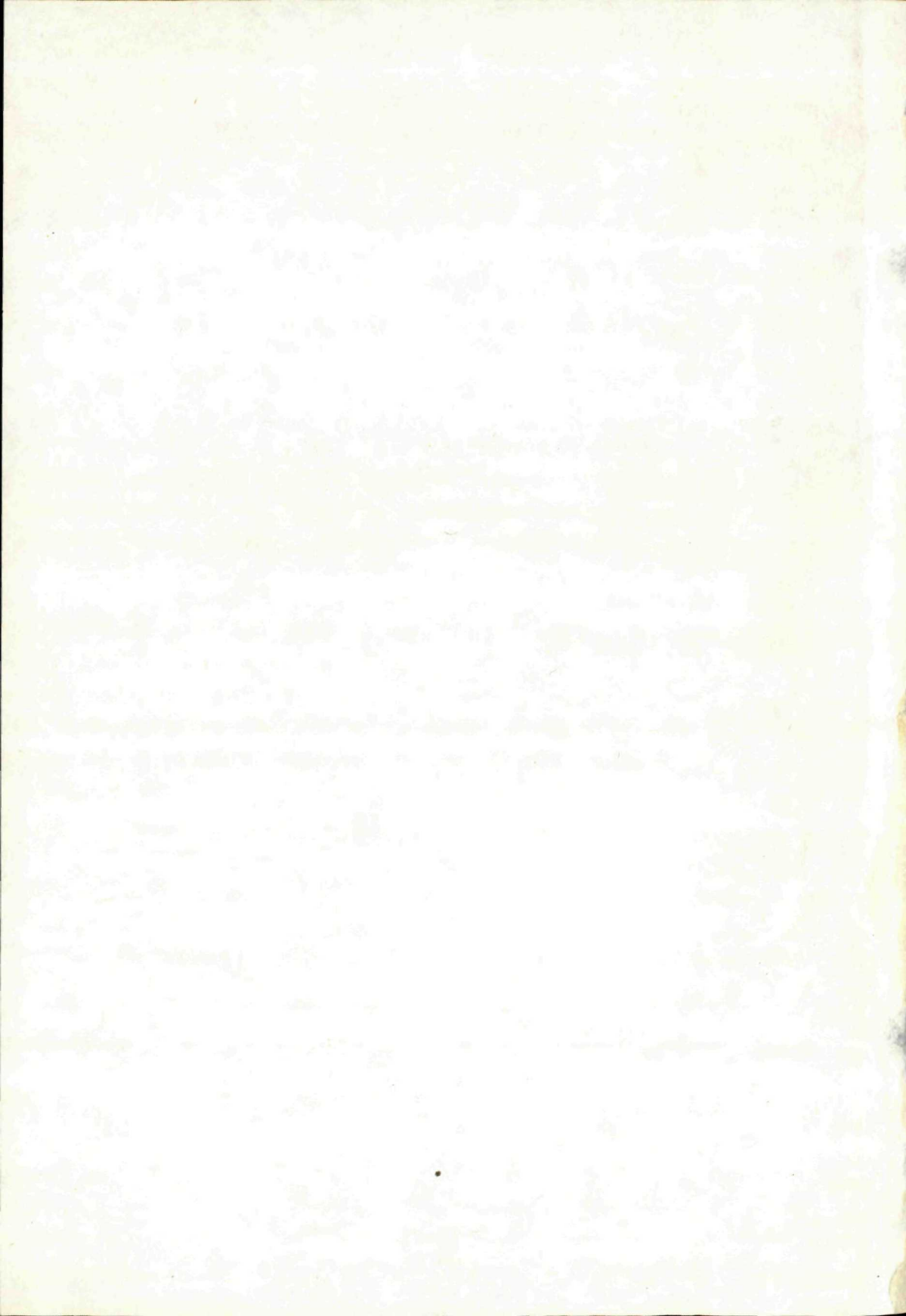
Redakčný okruh  
RNDr. DIONÝZ VASS, DrSc., RNDr. MICHAL KALIČIAK, RNDr. VLADIMÍR BEZÁK, CSc., RNDr.  
MICHAL POTFAJ, CSc., RNDr. JOZEF JABLONSKÝ, CSc., RNDr. DUŠAN PLAŠENKA, CSc.





## OBSAH — CONTENTS

Mišík, M.—JABLONSKÝ, J.: Podklady k paleogeografickej mapke albu Západných Karpát — Paleogeographical outline of Albian stage of West Carpathians Mts. . . . .	7
POTFAJ, M.—SAMUEL, M.—RAKOVÁ, J.—SAMUEL, O.: Geologická stavba Kubínskej hole (Orava) — Geologic structure of Kubínska hoľa range (Orava) . . . . .	25
ČTYROKÝ, P.: Členení a korelace eggenburgu a ottnangu v jižní části karpatské předhlubně na jižní Moravě — Division and correlation of the Eggenburgian and Ottangian in the southern Carpathian Foredeep in southern Moravia . . . . .	67



MILAN MIŠÍK — JOZEF JABLONSKÝ

## Podklady k paleogeografickej mapke albu Západných Karpát

1 obr. v texte, angl. resumé

### Obsah

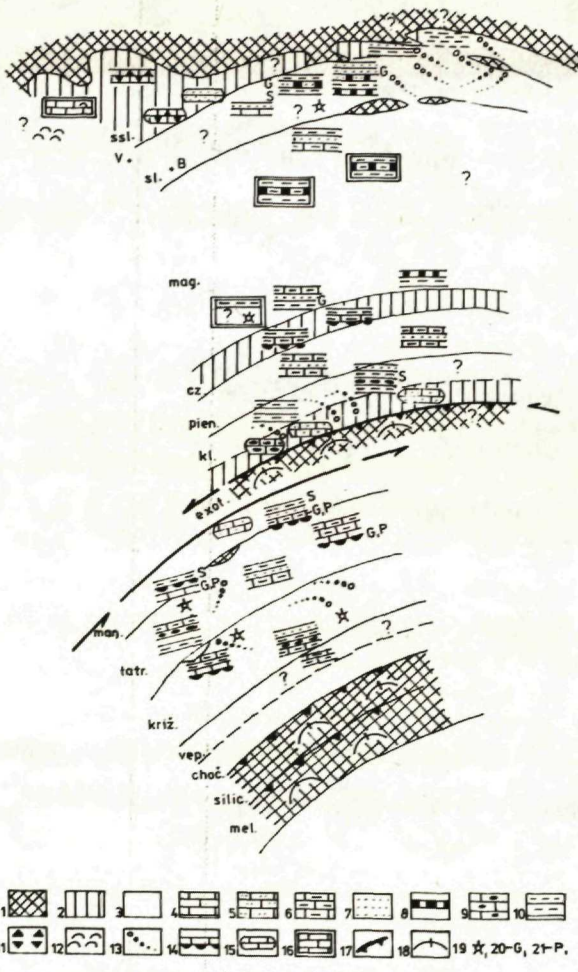
Úvod . . . . .	7
Český masív . . . . .	9
Flyšové pásмо . . . . .	9
Pieninské bradlové pásmo . . . . .	11
Manínska jednotka . . . . .	13
Tatrikum (obalová jednotka) . . . . .	14
Fatrikum (krížňanský príkrov) . . . . .	16
Hronikum (chočský príkrov), silicikum, gemerikum . . . . .	17
Územie Maďarska . . . . .	17
Záver . . . . .	18

### Úvod

V albe Západných Karpát sa až na ojedinelé výnimky uplatňuje flyšový vývoj, ktorý má však v dôsledku významného členenia sedimentačného priestoru v každej jednotke osobitný charakter. Oproti karbonátovej, pelagickej sedimentácii spodnej kriedy znamená alb prelomové obdobie s výrazným vstupom klastík z nových zdrojov — vnútropanovaých kordilér. Maximálne mocnosti dosahujú albské flyšové súvrstvia v klapskej jednotke, v zóne kolizie centrálnokarpatského bloku s okrajom stabilnej Európy (substrátu vonkajších Karpát). Kolízia bola dôsledkom uzavretia oceánskej panvy (autormi nazývanej pieninský, klapský, resp. pieninsko-meliatsky oceán). Kolízne procesy (prešmyky, zošupinovanie, obdukcia, kolízna melanž) spadajú do austrijskej tektonickej fázy, podobne ako začiatok príkrovového nasúvania južných jednotiek (vyšších centrál-nokarpatských príkrovov).

Kedže makrofosílie sú v albe veľmi zriedkavé, na rozčlenenie albu Západných Karpát sa používajú mikroorganizmy. J. SALAJ — O. SAMUEL (1984) rozlišujú tieto foraminiferové zóny: v spodnom albe *Ticinella roberti*, v strednom *Thalmaninella subticinensis* a začiatok *Thalmaninella ticinensis*, vo vrchnom albe pokračovanie predošej a zónu *Whiteinella gandolfi*. Na rozčleňovanie albu vápencového vývoja slúžia zóny tintiníd a proble-

matík vycelenené K. BORZOM (1984): v spodnom albe *Colomiella mexicana*, v strednom albe *Cadosina oraviensis* a vo vrchnom albe zóna *Calcsphaerula*. Zriedkavejšie je využívaný aj nanoplankton (napr. V. GAŠPARIKOVÁ — J. SALAJ, 1985).



Obr. 1 Schematický paleogeografický náčrt albu Západných Karpát  
Vysvetlivky: 1 — súš, 2 — hrubá kontinentálna kôra, 3 — stenčená kontinentálna kôra, 4 — plytkovodné vápence, 5 — piesčité vápence, 6 — ilovité (slienité) vápence, 7 — pieskovce, 8 — spongolity, 9 — rohovcové vápence, 10 — ilovce, ilovité bridlice, 11 — brekcie, 12 — rify, 13 — turbidity, 14 — hardgroundy, 15 — valúny a bloky albských hornín v mladších súvrstviach, 16 — údaje z vrstu, 17 — prešmyky, presuny, 18 — zvrásnené územia, 19 — vulkanity a pyroklastiká, 20 — glaukonit, 21 — fosfát, 22 — pelosiderit, 23 — poloha Viedne, 24 — poloha Bratislavы (rozvinuté od SZ predpolia Karpát, ktoré je uvažované ako stabilné). Jednotky rozvinuté do pôvodných priestorov od S k J: flyšové pásmo: subsliezska, sliezská, magurská; bradlové pásmo: čorštýnska, pieninská (kysucká), klapská, exotická (exotický chrabát); centrálne a vnútorné Karpaty: manínsko-haligovská, tatická, križňanská, veporská, chočská, silická, meliatska.

## Český masív

V príľahlej oblasti Českého masívu bola v albe peneplenizovaná súš. Na tomto území úplne prevládala erózia. Nie je však vylúčené, či na niektorých úsekoch nezačalo poklesávanie so zachovaním lateritických kôr zvetrávania alebo iných kontinentálnych sedimentov, napr. v podobe rudických vrstiev riečno-jazernej povahy na devóne Moravského krasu (J. BOSÁK, 1978). Avšak I. KRYSTEK (1959) považuje tieto vrstvy na základe asociácie fažkých minerálov už za spodnocenomanské. Jazerná sedimentácia v oblasti českej kriedovej tabule mohla sice začať už v albe, jej jestvovanie sa však dá doložiť iba od cenomanu.

Malý presah mora z flyšovej panvy Západných Karpát na príahlú platformu Českého masívu dokumentuje výskyt vápencov s pelagickou mikrofaunou (hedbergelami), vyplňujúcich rozsadliny v granitoidoch brnenského masívu pri Kuřimi severne od Brna, v pokračovaní nesvačilskej priekopy (I. KRYSTEK – O. SAMUEL, 1978). Ide vlastne o brekcie, tvorené úlomkami dioritov a aplitov, pričom spomenutý vápenec tvorí medzernú hmotu. Vek nie je možné presnejšie stanoviť, autori ho kladú do rozmedzia barém—alb. Morský vrchný alb z autochtónneho mezozoika Českého masívu uvádzaj J. ŘEHÁNEK (1984) z vrtu Nové Mlyny-2 na hraniciach s Rakúskom. Ide o tmavé organodetriticko-kalové vápence s *Pythonella ovalis*, *Calcsphaerula innominata*, *Bonetocardiella conoidea* s hojnými onkolitmi, úlomkami ustríc, machoviek, fragmentami krinoidov, bez prítomnosti ortosparitu. Podľa autora ide o subtidálne uloženiny otvorenej časti lagúny v zmysle J. WILSONA (1975); onkolity podľa neho vznikli pôvodne v kanáloch a prielivoch. Protirečenie medzi úlomkami ustríc a hojnými onkolitmi na jednej strane a nepritomnosťou sparitu a hojným planktónom na druhej strane ukazuje, že skôr ide o svahový sediment z predpolia bariéry (pre lagúnu by boli skôr typické orbitolíny a miliolidy). Prekvapujú údaje o redeponovaných schránkach kolomisfér vrchného malmu a tintiniid neokómumu, čo sa doteraz z Karpát neuvádzalo. J. ADÁMEK (1986, str. 474) označuje tento súbor ako novomlynské vrstvy. Výskytu morskej spodnej kriedy z autochtónneho pokryvu Českého masívu sú známe aj z rakúskeho územia — vrtu pri Wildendürbach, Staatz a Ameis (J. KAPOUNEK et al., 1967), kde ukončujú jurskú sedimentáciu. Ide o vápence, slieňovce, ilovité bridlice a ojedinele aj polohy dolomitu. Fosílné zvyšky potvrdzujú spodnokriedový vek; autori sú náchylní považovať ich za hoteriv.

## Flyšové pásmo

Zo ždánicko-podslieskej jednotky sú albské sedimenty známe iba z druhotného náleziska v zlepencoch ždánicko-hustopečských vrstiev na vrchu Babylon pri Stražoviciach a od Větěrova pri Kyjove (E. HANZLÍKOVÁ – Z. ROTH, 1965, Z. ROTH – E. HANZLÍKOVA in T. BUDAY et al., 1967). Ide o valúny vápencovej brekcie až kalkarenitu (obsahujú úlomky titónskych vápencov a fylitov, globigerín atď.) i pieskovcov so silicitovými prúžkami, ktoré sú typické pre bašské vrstvy. S nimi ich autori aj paralelizujú. V Poľsku vystupujú v rámci podslieskej jednotky lhotské vrstvy (ich charakteristika je podaná v ďalšom teste). Doložený je apt aj alb.

V slieskej jednotke v tešnovickom úseku, v tzv. zdouneckej fácii v zdouneckom bradle, je apt—alb zastúpený slieňovcami, slienitými vápencami a ilovitými bridlicami; vyššie sú zelenkasté vápnité ilovce, ojedinele s červenými šmuhami a organodetritické pieskovce, obsahujúce foraminifery a riasy (F. CHMELÍK, 1971).

V slieskej jednotke v gudulskom vývoji alb predstavujú lhotské vrstvy — zelenkasté

až čierne vápnité aj nevápnité ilovce, čiastočne škvrnité (s fukoidmi), s polohami drôb a kremenných pieskovcov. Spodná časť je prevažne ilovcová, vo vrchnej sú hojnejšie pieskovce s hieroglyfmi, niekedy s prúzkami silicito-spongolitov (mikuszowieckie, resp. mikušovické rohovce) aj s glaukonitickými pieskovcami (u nás v západnej časti, v Poľsku vo východnej časti) a tiež vložky pelosideritov. Ide o predflyš, v juhovýchodnej časti prechádzajú v drobno- až strednorytmický flyš (E. MENČÍK et al., 1983). Asociácia fažkých minerálov je zirkónová so zvýšeným obsahom turmalínu a rutilu, s ojedinelým anatasom; ukazuje na preplavovanie zo starších sedimentov (H. PESLOVÁ in E. MENČÍK et al., 1983). Celková hrúbka je okolo 300 m (vrátane klanseja, dnes počítaného k vrchnému aptu). V Poľsku majú lhotské vrstvy 350—450 m a sú v nich známe aj vložky zlepencov s exotickým materiálom (valúny sedimentárnych hornín aj kryštalín). Lhotské vrstvy okrem albskej makrofauny (päť zón — E. HANZLÍKOVÁ, 1966) poskytli inoceramy, amonit *Acanthohoplites bigoureti* (spodný alb) a belemnit *Neohibolites minimus* (stredný alb).

V bašskom vývoji sliezskej jednotky patria albu chlebovické vrstvy a bašské vrstvy. Chlebovické vrstvy, respektívne chlebovickú fáciu predstavujú zlepence (s valúnnimi titón-ských vápencov, aplitov a pieskovcov), pieskovce až piesčité vápence s laminovaným zvrstvením — polohy do 50 cm uložené vo vápnitých ilovcoch. Z medzernernej hmoty zlepencov na lokalite Tichavské húrky boli získané belemnity stredného až vrchného albu (Z. VAŠÍČEK, 1977). Chlebovické súvrstvie včítane glaukonitických pieskovcov zapĺňuje aj krasové dutiny v komplexe štramberškého vápencia na Kotouči. Tento komplex bol od hoteriu až do stredného albu vynorený. Potom začala na ňom sedimentácia pelitov, avšak ešte počas vrchného albu tvoril podmorskú eleváciu bez zasahovania turbidítov bašských vrstiev do tejto oblasti (V. HOUŠA, 1983). Bašské vrstvy sú v nadloží chlebovických a čiastočne sa s nimi laterálne zastupujú. Ide o strednorytmický flyš, k západu prechádza do hruborytmického. Pieskovce bývajú glaukonitické, často obsahujú prúžky sivých spongiových silicítov (rohovcov), závalky ilov a úlomky čierneho uhlia. Vo vyšších polohách pri Štramberku sú aj vložky piesčitých organodetritických vápencov (s machovkami, echinodermovými článkami, úlomkami lastúrnikov, hedbergelami a *Pythonella ovalis*). Celková hrúbka je 250—350 m (E. MENČÍK et al., 1983). Obsahujú inoceramy a belemnity dosvedčujúce vyššiu časť stredného albu a vrchný alb (Z. VAŠÍČEK, 1977). To potvrdzujú aj foraminifery, pomocou ktorých je preukázané zasahovanie bašských vrstiev až do spodného cenomanu (E. HANZLÍKOVÁ — Z. ROTH, 1963). Z fažkých minerálov obsahujú granátovú asociáciu s menším podielom zirkónu, turmalínu, rutilu a apatitu, s ojedinelým staurolitom a pikritom.

Podmorský ultrabázický alkalickej vulkanizmus v podobe těšinitov a pikritov je viazaný hlavne na barém; predtým sa pripúšťalo jeho pokračovanie do albu, avšak B. ŠMÍD — E. MENČÍK (in E. MENČÍK et al., 1983) tvrdia, že těšinitový vulkanizmus pokračoval najviac do spodného aptu.

Smery turbiditných prúdov v albe podsliezskej a sliezskej jednotky na poľskej strane sú v prevahе od SZ a Z (pozdĺžny transport), ojedinele od SV (laterálny vstup z kordiléry medzi skolskou a sliezskej zónou, L. KOSZARSKY — A. SLACZKA in S. SOKOLOWSKI, 1973, obr. 210, str. 729 — pravdepodobne tzv. dębnická kordiléra — M. KSIĘŻKIEWICZ, 1956 a E. HANZLÍKOVÁ — Z. ROTH, 1965, obr. 3).

Skolská jednotka je najexternejšou jednotkou flyšového pásmo; nachádza sa iba na poľskom území. Alb v nej tvoria čierne ilovce „veřovského typu“ tzv. „lupki spaskie“ (L. KOSZARSKI — A. SLACZKA in S. SOKOLOWSKI, 1973).

Podľa paleogeografickej skice spodnej kriedy s platformou časti Poľska zostavenej na základe vrtných prác (S. MAREK — A. RACZYNSKÁ in S. SOKOLOWSKI, 1973, str. 515) sa

platformové more ani z dánsko-poľskej brázdy nenačíhalo na more karpatskej oblasti. E. HANZLÍKOVÁ – Z. ROTH (1965) sa však domnievajú, že toto spojenie sa po prerušení v ape počas albu obnovilo.

V magurskej jednotke v račianskej podzóne v bradle pri Kuroviciach (nedaleko Zlína) vystupujú slienité bridlice s ojedinelými vložkami slienitého pieskovca; mikrofauna ukazuje rozsah valangin—alb, celková hrúbka je 35 m (E. BENEŠOVÁ – E. HANZLÍKOVÁ – A. MATĚJKA, 1962).

V spodnej časti vrtu Jarošov-I medzi 5520—5578 m bol zastihnutý vrchný alb v podobe tmavých ilovcov s preplátkami čiernych silicitorov (E. HANZLÍKOVÁ, 1976). M. ELIÁŠ ich označil ako mistické vrstvy: takto ich uvádza v tabuľke flyšového pásma Karpát na Morave Z. STRÁNÍK (1987). Ich ekvivalenty uvádzajú E. HANZLÍKOVÁ (l.c.) aj z vrtov pri Lubnej a Rusave-1, kde alb tvorí len tektonické útržky.

V bielokarpatskej podzóne je alb pravdepodobne zastúpený v hluckých vrstvách pri Hluku. Ide o tmavé ilovce s ojedinelými lavičkami glaukonitických pieskovcov; vo vyšej časti sú aj slienité vápence s ojedinelými rohovcami. Mikrofauna ukazuje na rozsah barém—alb, celková hrúbka je 120 m (A. MATĚJKA in T. BUDAY, 1963). Podľa E. HANZLÍKOVEJ (1976, str. 161) však zahrnujú len barém—apt.

Vo vrte H-6 pri Gbeloch boli v podloži neogénu Viedenskej panvy zistené tmavé a červené ilovce s mikrofaunou albu. Obsahujú pikritové teleso, ktorým sú kontaktne metamorfované (E. BENEŠOVÁ, 1957). Treba poznamenať, že pikrity a pikritové tufy sú známe aj z albu bradiel tvoriacich podložie kahlenbergského príkrovu (ekvivalentu bielokarpatskej podzóny) pri Viedni — Lainzer Tiergarten (S. PREY, 1975).

Najexternejšia zóna bradiel pieninského bradlového pásma patrí podľa K. BIRKENMAYERA (1977) ešte k magurskej jednotke, označuje ju ako magurskú sukcesiu. V nej patrí pravdepodobne spodnému albu wroninské súvrstvie — ilovité a slienité, niekedy škvŕnité bridlice so železitými konkréciemi; hrúbka 2—13 m i viac. Vyššie je albsko-cenomanské hulínske súvrstvie. V spodnej časti sa skladá z grońska rádiolaritu (Groń) — čierne, hnedasté a zelenkasté rádiolarity s hrúbkou 2—6 m, iba čierne s Mn-povlakmi a zelenkasté s hrúbkou do 5 m. Ide o vrchný alb alebo cenoman.

### Pieninské bradlové pásmo

V čorštynskej jednotke má alb transgresívny charakter, najčastejšie spočíva na spodnom neokóme (napr. Vŕšatec — zárez asfaltovej cesty), na vrchnom titóne (napr. Lednica), vyplňuje kapsy a rozsadliny v dogerských vápencoch (M. Mišík, 1979). Transgresným členom sú červené sliene a slienité vápence — chmielovské vrstvy podľa K. BIRKENMAYERA (1977). Charakterizuje ich ako červené, pestrofarebné slienité vápence, niekedy hľuznaté, od 1,5 m do 10 m hrúbky. Obsahujú mikrofaunu spodného a stredného albu, belemnity *Neohibolites minimus*, prizmy inoceramov; na báze mávajú ojedinelé úlomky starších hornín.

Vyššie leží podmiednické súvrstvie — v spodnej časti zelené a čierne slienité vápence, často škvŕnité s preplátkami zelených, hnedastých a čiernych silicitorov-rádiolaritov, vyššie sú sliene s vložkami slienitých vápencov bez rohovcov. Celková hrúbka je okolo 10 m, vek alb — najspodnejší cenoman.

V kysuckej jednotke zastupujú alb tisalské vrstvy (synonymné názvy ich vyšej časti sú rudinské vrstvy, globigerínovo-rádioláriové sliene): tenkolavicovité slienité vápence, slieňovce v striedaní so slienitými bridlicami a siltovcami. Sú sivé, zelenkasté, škvŕnité, v spodnej časti aj červenkasté. Mikrofauna patrí strednému aj vrchnému albu. V bradlách Rochovica a Lysica (s. od Žiliny) je poloha s hojnými lastúrnikmi *Aucellina grypha-*

*eoides* (J. HAŠKO — O. SAMUEL, 1977). Rádiolárie z rudinských vrstiev opísala L. OŽVOLDOVÁ (1979). Celková mocnosť je 20—40 m. J. KYSELA (in R. MARSCHALKO — J. KYSELA, 1980) spomína z tejto jednotky aj červené a zelenkasté slabokrinoidové vápence s krinidoovo-hedbergelovou mikrofáciou.

V prechodných jednotkách — czertezickej a niedzickej — je alb podľa K. BIRKENMAYERA (1977) tvorený takisto rudinskými vrstvami. J. HAŠKO — O. SAMUEL (1977) uvádzajú ich mocnosť 16 m. Albu patrí len ich vyššia časť nazývaná tisalské vrstvy.

*Klapská jednotka*. Predstavovala počas albu severný (vonkajší) svah pieninského exotického chrbta a úpätie tohto svahu. Vyznačovala sa sedimentáciou typického flyšu (R. MARSCHALKO — J. KYSELA, 1980, R. MARSCHALKO, 1982). Spodnejšia časť tohto súvrstvia sa vyznačuje prevahou pelitov nad psamitmi (ilovitých bridlíc nad drobami), vo vyššej časti pribúda psamitov. V súvrství sú početné hrubé vložky kompaktných stredno-zrnných zlepencov a zlepence typu symmikitov. Obsahujú pestrý exotický materiál (M. MIŠÍK — M. SÝKORA, 1981). V pelitoch bývajú konkrécie a tenké vložky pelosideritov. V spodnejšej časti boli nájdené makrofosílie *Neohibolites minimus* a *Puzosia (Anapuzosia) bonaventura* indikujúce stredný alb. Z vyššej časti s prevahou psamitov je známa fauna amonitov zóny *Diploceras cristatum* z rozhrania stredného a vrchného albu. Hrubka albu je maximálne 600—1000 m, rýchlosť sedimentácie vyčíslil R. MARSCHALKO (1982) nad 11 cm za 1000 rokov. Albu patrí v klapskej jednotke prvý, a to progradačný sedimentačný cyklus, začínajúci faciou panvovej plošiny, v nadloží prechádza do spodnej časti submarínneho náplavového kužeľa, potom do jeho strednej a vrchnej časti (proximálny flyš, divoký flyš). Ku koncu albu a začiatkom cenomanu sa dostáva zdrojová oblasť do bezprostrednej blízkosti klapského sedimentačného priestoru a v cenomane začína sedimentácia plynkovodných paracyklických orlovských vrstiev. Zdrojová oblasť — pieninská kordiléra — sa nachádzala j. od klapského sedimentačného priestoru. Sprvu sa uplatňoval pozdĺžny smer transportu v panve (hlavne od SV), ktorý sa s približovaním zdroja menil na laterálny (od JV).

### Exotická zóna — pieninská a neopianinská kordiléra

V intraformačných zlepencoch cenomanu až paleogénu sa zriedkavo nájdú aj valúny albských sedimentov, ktoré odvodzujeme zo zošupinovatej vynorennej ostrovnej zóny pri vnútornom okraji bradlového pásma — z pieninskej kordiléry. Sedimentovali v tých častiach kordiléry, ktoré v albe ešte neboli vynorené. Pelagické vápence s *Colomiella recta*, *Rotalipora roberti*, *Pithonella ovalis*, *Stomiosphaera sphaerica* sa našli v kriedových zlepencoch manínskej jednotky: Jablonové, Hradná, Pražnov; kysuckej jednotky: Sedliacka Dubová, Teplička nad Váhom, U Škulcov, U Černých; klapskej jednotky: Vrtižer, Nosice-Pod Húštim, Široká, Krivá, i z paleogénnych zlepencov západného sektora: Jablonové, Jandova dolina (M. MIŠÍK — M. SÝKORA, 1981, K. BORZA, 1962, 1969, K. BORZA in O. SAMUEL et al., 1972); ojedinely valún s *Colomiella recta* pochádza zo zlepencov albu domenele križňanskej jednotky, lokalita Bošáca v bradlovom pásme.

Zriedkavejšie sú valúny plynkovodných facií s orbitolínmi albu v podobe organogénnych, obvykle piesčitých vápencov (E. KÖHLER, 1980) z klapskej jednotky, lokalita Bytča-Hrabové — *Orbitolina (Mesorbitolina) texana*, z Pražnova — *O. (Conicorbitolina) cf. cuvilliieri*, Považský hrad-lom — *O. (Conicorbitolina) cf. conica* a redeponované do valchovských zlepencov senónu brezovskej skupiny Bzince — *O. (Mesorbitolina) texana* — M. MIŠÍK (v tlači).

Valúny pelagických slienitých vápencov s *Colomiella recta* a ojedinele aj s *Pithonella*

*ovalis* a *Calpionellopsis maldonadoi* pochádzajú aj z východného sektora bradlového pásma, z neopieninskej kordiléry: lokality Proč, Beňatina-II, III (M. MIŠÍK – M. SÝKORA – R. MOCK – J. JABLONSKÝ, 1991). Jeden valún podobného vápence s *Colomiella recta* sa našiel aj v strihovských zlepencoch východného Slovenska, lokalita Matiaška, ktoré odvodzujeme z juhomagurskej kordiléry (M. MIŠÍK – M. SÝKORA – J. JABLONSKÝ, 1991).

### Manínska jednotka

V manínskej jednotke na viacerých miestach je spodný alb reprezentovaný rohovcovými glaukonitickými vápencami s *Colomiella recta* (K. BORZA, 1980b a inde). Pri krátkodobom hiáte zodpovedajúcom tzv. manínskej fáze došlo miestami k odneseniu spodného albu a aptu, takže sliene vyššieho albu transgredujú buď na barém, na apt, alebo na spodný alb.

V bradle Butkov nad urgónskymi vápencami je ešte vyvinutý vápenec s glaukonitom a ojedinelými rohovcami; patrí spodnému albu s *Colomiella recta* (K. BORZA et al., 1987) — novšie označovaný ako podhorské súvrstvie. Jeho povrch je tvorený železitým hardgroundom so stopami vŕtavých organizmov. Naň transgredujú vrchnoalbské sliene (butkovské súvrstvie).

Bradlo Skalica pri Moštenici (K. BORZA – E. KÖHLER – O. SAMUEL, 1979, K. BORZA, 1980, J. MICHALÍK – Z. VAŠÍČEK, 1984). Na monomiktných karbonatických zlepencoch z úlomkov urgónskych vápencov a „augititov“, ktorých vek je vrchný apt, respektívne rozhranie aptu a albu (údajne vyplňujú kaňon-kanál vo svahu karbonátovej platformy), ležia rohovcové vápence s glaukonitom, ktoré obsahujú *Colomiella recta* a *Calpionellopsella maldonadoi* — teda spodnoalbské. Na ich báze je vyvinutý hardground. Autori zaraďujú túto lokalitu do belanskej jednotky. V bradielku v severoseverovýchodnom susedstve ležia nad rohovcovými vápencami spodného albu ešte sliene s vrchnoalbským nanoplanktónom, v ktorých sú dve lavice vápencov s *Calcisphaerula innominata* a *Pithonella ovalis*.

V manínskej úzine na urgónskych vápencoch barému (E. KÖHLER, 1980) transgredujú sliene vrchného albu (K. BORZA, 1980).

Bradielko nad Praznovom (R. MARSCHALKO – J. KYSELA, 1980, K. BORZA, 1980b) obsahuje na báze rohovcové vápence spodného albu s *Colomiella recta* a glaukonitové vápence s *Calcisphaerula innominata* — spodná časť vrchného albu. Nad tým sú žltkasté brekciotité vápence s úlomkami hardgroundov a 5 m hrubá poloha bázických vulkanitov.

Nad spomínanými vápencami spodného albu alebo priamo na barémsko-aptiskom podklade leží súvrstvie sliňov — tzv. butkovské súvrstvie (J. KYSELA – R. MARSCHALKO – O. SAMUEL, 1982), ktoré tvorí hlavnú litologickú náplň albu manínskej jednotky. Ide o sliene a sliňovce, často škvŕnité, v spodných častiach s glaukonitom, s ojedinelými vložkami jednozrnných pieskovcov do hrúbky 3 cm. Ide o pelagické sedimenty, pričom spomenuté tenké vložky pieskovcov sa interpretujú ako konturity alebo distálne zásahy turbiditných prúdov. Hrúbka súvrstvia je 40—150 m. Priemerný obsah CaO — 19,68 % ; MgO — 2,22 % ; Al<sub>2</sub>O<sub>3</sub> — 11,19 % ; SiO<sub>2</sub> — 38,18 %. Najspodnejšie časti obsahujú miestami strednoalbskú mikrofaunu, miestami začínali až vrchným albom (Butkov). Pri Podmaníne v spodnoalbských sliňoch s glaukonitom sa nachádzajú bloky urgónskych vápencov a kalových vápencov s *Hedbergella* (brekcie podmaninského typu).

Teda aj v manínskej jednotke sa stretávame s transgresiou pelagického vrchného albu (transgresné sliene sú však sivé a nie červené ako v čorštynskej jednotke). Hiát bol dosť

krátky, vynorenie nastalo až po spodnom albe. Počas tohto hiátu bol však miestami podklad erodovaný až po barémske vápence (Manínska úžina). Sotva môžeme teda hiát pokladať za podmorský. Vynorenie spojené s takzvanou manínskou fázou je pravdepodobnejšie. Spodnoalbské rohovcové glaukonitické vápence obsahujú už veľa planktonu, teda zodpovedajú o niečo hlbšej sedimentácii než podložné urgónske vápence. Transgresia, respektívne ingressia vrchnoalbských pelagických slienev je podobnou paleogeografickej záhadou ako pri čorštynskej jednotke. Keďže podobný fenomén jestvuje vo vysokotatranskej jednotke aj v belianskej jednotke, nemožno ho vysvetlovať skĺznutím veľkých olistolitov-bradiel do hlbokovodného priestoru, čo by sa prípadne (ako námet) dalo použiť pre vysvetlenie pelagickej transgresie albu na čorštynské bradlá. V manínskom, haligovskom, vysokotranském a belianskom priestore muselo dôjsť k náhlemu poklesu spomenutej sedimentačnej oblasti ako celku. Iným riešením by bolo spojiť túto skutočnosť s eustatickým stúpaním hladiny svetového oceánu. Na Vailovej krivke (P. R. VAIL et al., 1977) je odhadnuté stúpanie hladiny oceánu v priebehu albu o 150 m; v tomto prípade by sa však očakávala pozvoľnejšia zámena fácií.

Medzi albom manínskej a belianskej jednotky sú nápadné zhody a práve táto skutočnosť sa vyzdvihuje na podporu názoru, že manínska a krížňanská oblasť tvorili jeden celok (M. MAHEĽ, 1978, K. BORZA, 1980). Argumenty proti tomuto názoru zhrnul M. MIŠÍK (1980).

*Hligovská jednotka.* K. BIRKENMAJER (1959) uvádza z haligovského bradla nad urgónskymi vápencami iba 5 m hrubú polohu slienev pripomínajúcich alb (bez dôkazov). Podľa náslova, zatiaľ nepublikovaného zistenia sú tu prítomné typické transgresné fosfátovo-glaukonitové piesčité vápence albu (obsah  $P_2O_5$  — 8,39 %). V medzerej hmoty obsahujú hojné *Calcsphaerula innominata* (teda pravdepodobne ide o vrchný alb) a litoklasty mikroonkolitového vápenca so *Saccocoma* a vápenca s *Crassicollaria*, dokazujúce vynorenie kimeridžu — spodného titónu a vrchného titónu pred albom. Tento nález podporuje dávnejšiu predstavu o ekvivalentnosti manínskej a haligovskej jednotky oproti názoru K. BIRKENMAJERA (1985, str. 97), ktorý haligovskú jednotku zaraďuje do vlastného pieninského bradlového pásma.

### Tatrikum (obalová jednotka)

Vysokotranská jednotka sa vyznačuje opäť hiátom s nasledovnou transgresiou albu na skorodovaný a krasovatený povrch urgónskych vápencov (J. PASSENDORFER, 1930, D. ANDRUSOV, 1959 a ī.). V tomanovskej (autochtónnej) podjednotke je tenká poloha glaukonitových vápencov albu, presnejšie nezaradená, a nad tým sliene; celková mocnosť albu je 140 m (Z. KOTAŃSKI, 1961). Na lokalite Wielka Rowień vo vrásse Giewontu začína transgresia stredným albom — glaukonitickými vápencami do 2 m mocnosti s fosforitovými konkréciemi; obsahujú *Stomiosphaera sphaerica* a faunu III. pásmu albu — zóny s *Hoplites dentatus*. Uvádzané sú ojedinelé exotické valúny z tohto vápenca a z nadložných slienev: kremenný biotitický diorit, silicifikovaný krinoidový vápenec, červený rohovec, žilný kremeň. Ani na iných lokalitách (okrem Žlabu Železniak — J. LEFELD, 1968) sa nikde nenachádzajú úlomky z podložných urgónskych vápencov. Z glaukonitu Wielkej Rownie určil J. KANTOR (1960) kálium-argónovou metódou vek 88 miliónov rokov. Vyššiu časť albu zastupujú piesčité sliene a sliene so *Stoliczkaia dispar* (vrakón). V slienech sú prítomné vložky jemnozrnných pieskovcov s hieroglyfmi (flyšo-idičný vývoj).

V doline Malej Lúky (vrásu Červených vrchov, teda nižšia) v transgresných glaukoniti-

tických vápencoch sa nachádza fauna vyššieho pásmu (IV), a to zóny *Mortoniceras varicosum*. D. ANDRUSOV (1959) z toho vyvodzuje záver, že transgresia albu prichádzala od J cez priestor vrásy Giewontu na priestor vrásy Červených vrchov a až potom do vlastnej tomanovskej podjednotky, ktorá ležala najsevernejšie. Poľskí autori toto tvrdenie nepreberajú.

V glaukonitických vápencoch niektorých lokalít bolo zistené aj miešanie fauny z viačerých obzorov (dolina Spiš – Michalová v Javorinskej Širokej), čo svedčí o extrémnej plytkovodnosti (J. LEFELD in S. SOKOŁOWSKI, 1973, str. 735). Jedine v Kominoch Tylikowych dosahujú väčšiu hrúbku (naspodku sú ružovkasté), inde sú len niekoľko dm mocné. V podložných urgónskych vápencoch bývajú kapsy vyplňené terrarossovým materiálom; sčervenie urgónskych vápencov pod kontaktom siaha až do hĺbky 12 m (J. LEFELD, 1968).

K. P. KRAJEWSKI (1981, 1983, 1984) opisuje najmä z profilu Turnia Ratusz 5 m hrubú polohu transgresných albských vápencov so stromatolitmi, fosfatickými onkoidami a fosfatickými hľuzami. Rozlišuje peletovo-echinodermové vápence — grainstone (údajne lagunárna vysokoenergetická fácia), a foraminiferovo-glaukonitové vápence (otvorený šelf). Nadložné sliene bridlce predstavujú panvový sediment; označuje ich ako súvrstvie Zabijaka.

V skupine Javorinskej Širokej ležia glaukonitické vápence albu (iba 40-centimetrová poloha) tiež na skrasovatenom povrchu urgónskych vápencov. Vyplňujú v nich aj niekoľkocentimetrové ryhy (neptunické žilky) a kapsy (Z. KOTAŃSKI, 1959). Podľa K. BORZU – J. MARTÍNHO (1962) je vo vápenci až 15 % glaukonitu. Nadložné sliene majú okolo 20 % klastického kremeňa, obsahujú *Pythonella ovalis*.

V Osobitej začína transgresia albu len niekoľko cm mocnou polohou organogénnych piesčitých vápencov; vyššie sú sliene (R. KÚŠIK, 1959).

Detailné údaje o pozícii albu na apte zahrnuje J. LEFELD (1968) do tabuľky (str. 70—71).

Odhady hrúbok albu z vysokotatranskej jednotky podáva Z. KOTAŃSKI (1961): alb v tomanovskej jednotke má 140 m, vo vrásse Červených vrchov do 120 m, vo vrásse Giewontu do 80 m, v skupine Javorinskej Širokej pri Bielej Vode 200 m. Alb spolu s cenomanom v skupine Osobitej má 150—180 m, v rokli Wąwoz Krakow 330 m, v Kominoch Tylikowych 400 m.

Ostatné oblasti tatrika — v ostatných pohoriach je alb tvorený vápnitými ilovcami s rôznym podielom turbiditných pieskovcov v závislosti od pozície na podmorských náplavových kužeľoch. Zastúpená je aj kanálová fácia — zlepence s exotikami sčasti zhodnej povahy s materiálom zlepencov klapskej jednotky. Rozbory z Malých Karpát – Majdánske, Považského Inovca – Nová Lehota, Malej Magury – Čavoj, Nízkych Tatier – Ludrová a Žiaru – Vyšehradné uvádzajú M. Mišík – J. JABLONSKÝ – R. MOCK – M. SÝKORA (1981). V tažkej frakcii pieskovcov bola zistená asociácia zirkón – chróm spinel. Zriedkavé merania prúdových smerov ukazujú na transport v osi panvy (J. JABLONSKÝ, 1986). Z tatrika Malých Karpát uvádzá D. PLAŠIENKA hyaloklastity z lokality pod Vývratom; nedá sa však rozrodiť, či sú aptského alebo albského veku (D. HOVORKA – J. SPIŠIAK, 1988, str. 56).

J. JABLONSKÝ (in O. SAMUEL et al., 1988, str. 47) označil flyšovú sekvenciu albu – ceno-manu tatrika a zliechovskej jednotky ako porubské súvrstvie. Zahrnuje štyri členy: slieňovce Homôlky, čavojské vrstvy (zložené hlavne z laminitov), senkovské vrstvy (prevažne pieskovcovo-ilovcový flyš) a ludrovianske vrstvy (masívne a gradačne zvrstvené pieskovce, valúnové pieskovce, konglomeráty, nízke zastúpenie ilovcov). Z toho čavojské vrstvy sú známe iba z tatrika. Podľa J. JABLONSKÉHO sedimentácia porubského súvrstvia prebiehala podľa ichnofosílií v mezobatyale až infrabatyale, nad úrovňou CCL.

## Fatrikum (krížanská jednotka)

V belianskej jednotke je podľa K. BORZU (1980) nápadná podobnosť s albom manínskej jednotky.

V úzine „Nad mlynom“ pri Valaskej Belej najvyššia časť organodetritických vápencov patrí aptu. Ich vrchná vrstva je prenikaná neptunickými dajkami albu; aj v nadloži spomenutých vápencov sú miestami rohovcové vápence s ježovkami a mikrofaunou spodného albu. Medzi aptom a albom treba teda predpokladať krátky hiát.

V oblasti Čiernej Lehota predpokladá K. BORZA (1980) hiát medzi aptom a spodným albom. Rohovcové vápence spodného albu vystupujú miestami nad silenitími vápencami hoteriu a možno ležia diskordantne aj na vápencoch spodného barému. Juhovýchodne od lazu Stratenci ležia diskordantne na masívnych vápencoch urgónskeho typu, sú ružovkasté, bez rohovcov. Pri Čiernej Lehote vystupujú v izolovaných odkryvoch slabokrinoïdové glaukonitické vápence miestami s rohovcami, obsahujúce *Cadosina oraviensis* a *Calcisphaerula innominata*. Nadložný horizont — vrchný alb — reprezentujú čierne, slaboslienité vápence s *Calcisphaerula innominata*, *Pithonella ovalis*, *P. trejoi* a i.

Pri Bošáci (K. BORZA et al., 1980) na tmavosivých masívnych, vyššie brekciowitzích vápencoch aptu po hiáte ležia tmavé vápence s čiernymi rohovcami s *Colomiella recta* — spodný alb. Nerovnosti na ich povrchu vyplňujú nadložné glaukonitické slabokrinoïdové vápence s *Calcisphaerula innominata* a *Cadosina oraviensis* — reprezentujú bazálnu časť vrchného albu. Príslušnosť tejto lokality ku krížanskej jednotke nie je istá.

Vápence s *Colomiella recta* boli zistené na lokalite Kamenný diel (oblasť Rajecké Teplice) a na lokalite Nozdrovické lúky — predtým boli tieto vápence považované len za apt, zrejme siahajú do spodného albu (K. BORZA, 1978).

Z krížanskej jednotky sú z viacerých miest zaznamenané produkty vulkanickej činnosti. Z barému až spodného albu zo severnej strany Nízkych Tatier uvádzajú bázické vulkanity A. BUJNOVSKÝ — J. KANTOR — J. VOZÁR (1981) z lokality od Bieleho Potoka. Aj báziká pretínajúce dolomity preukázali veky 106—116 miliónov rokov, ktoré zodpovedajú albu. Vo Veľkej Fatre v Nolčovskej doline sú tiež prítomné hyaloklastity; podľa M. SÝKORU (ústne podanie) sú albského veku. Ultrabázické hyaloklastitové lávy uvádzajú A. KULLMANOVÁ — J. VOZÁR (1980) z lokality Bošáca a od Beckova tiež z albu, možno vrchného. Obidva výskyty zaraďujú do beckovskej „série“, teda do vysockého vývoja krížanskej jednotky.

Vo vyššej jednotke fatrika — vlastnom krížanskom príkrove (zliechovská sukcesia) — sa alb vyvíja pozvoľna zo slieňovcov aptu. Na rozhraní aptu — albu na mnohých miestach vystupujú karbonatické brekcie (vlkolínska brekcia — J. JABLONSKÝ in O. SAMUEL et al., 1988); jej úlomky predstavujú endoolistolity o niečo starších sedimentov vlastnej panvy. Alb reprezentuje porubské súvrstvie s preukázanými turbiditmi. Maximálnu hrúbku (okolo 300 m) dosahuje v Strážovských vrchoch. Hojný výskyt ichnofosílií ichnofácie *Zoophycos* v Malej Fatre, Strážovských vrchoch a Považskom Inovci dokladá depozíciu v mezo- prípadne infrabatyále. Distálne fácie, zastúpené tenkovrstevnatými turbiditmi, sú rozšírené v Nízkych Tatrách, Veľkej Fatre, Chočských vrchoch, v južnej štruktúre krížanského príkrovu Malej Fatry (s dobre doloženými smermi paleoprúdov od V k Z) a vo východnej časti Strážovských vrchov. Proximálne fácie turbiditov a alb s telesami zlepencov sa vyskytujú najmä v západnej časti Strážovských vrchov, medzi Hornou Porubou a Novou Dubnicou. V zhode s rozložením fácií je tu i paleoprúdový systém (od ZJJ k VSV — J. JABLONSKÝ, 1978).

Telesá zlepencov s analogickými exotikami ako v tatriku (valúny dosahujú tak isto maximálnu veľkosť 30 cm) sú zriedkavé. Valúnové rozbory zlepencov z Malých Karpát

— Lošonec, Strážovských vrchov — Medzihorie, Borháj, Kolačín, respektíve od Bošáce (neistej tektonickej príslušnosti) a z Tríbeča — Veľké Pole uvádzajú M. MIŠÍK et al. (1981). V pieskovcoch bola zistená asociácia minerálov zirkón — chróm spinel (do 10 % z ľahkej frakcie). Vápnite ľlovec v Strážovských vrchoch, Malej Fatre a Považskom Inovci obsahujú zriedkavé konkrécie pelokarbonátov. Vložky bázických vulkanitov boli spomenuté vyššie. V slieňovcoch albu severnejšej štruktúry krížňanského príkrovu Malej Fatry sa vyskytujú (10 až 70 cm hrubé) polohy piesčitých hruboúlomkovitých vápencov s hojnými orbitolínami, z ktorých niektoré sú prednostne aglutinované minerálmi ľahkej frakcie. E. KÖHLER (1980) z nich určil *Orbitolina* (*Mesorbitolina*) cf. *texana* (ROEMER) a *Orbitolina* (*Orbitolina*) *concava* HENSON (alb — spodný cenoman) a A. SCHALEKOVÁ vápnité riasy *Agardhiellopsis cretacea* LEM. a *Paraphyllum primaevum* LEM. O krátkom transporte svedčí dobré zachovanie zvyškov týchto plytkovodných organizmov. Riasy a orbitolíny sa našli aj v drobnozrnných zlepencoch Strážovských vrchov (Málinec, Mraznica), tie však vykazujú znaky silného ováľania.

### **Hronikum (chočský príkrov), silicikum, gemerikum**

Vo všetkých týchto južnejších jednotkách alb nie je zastúpený. Z toho vyvodzujeme, že tieto priestory boli už vyzdvihnuté a začali sa tektonicky prekrývať v podobe nasúvajúcich sa príkrovov.

### *Územie Maďarska*

V pokračovaní do Maďarska v hrásti Tata (J. FÜLÖP, 1976) na sivých krinoidových vápencoch vrchného aptu s menšou nesúhlasnosťou („unconformable“, teda po krátkom hiáte) spočívajú piesčité sliene a siltovce spodného albu, ktoré v ľahkej frakcii obsahujú veľmi hojný chromit. Na báze spodnoalbských slieňov je len miestami trochu detritu z podložných vápencov a glaukonitických pieskovcov.

Veľká časť územia Maďarska bola v spodnej kriede súšou (paleogeografický náčrt J. FÜLÖPA, 1958 in L. TRUNKÓ, 1969, obr. 92). V tejto dobe počas vynorenia sa vytvorila značná časť maďarských bauxitov. Morský alb v podobe slieňov a vo vyššej časti v podobe orbitolinových vápencov sedimentoval v najvyššom apte po krátkom hiáte v oblasti Vertés a Bakony.

V pohorí Gerecse na základe nanoplanktonu patri albu vyššia časť slieňov (Berzsek Marl Formation) a flyšové súvrstvie (Lábatlan Sandstone Formation), celkovo 75 m (L. FÉLEGYHÁZY — A. NAGYMAROSY, 1991). Ide o sedimenty podmorského vejára, bohaté na ofiolitový detrit a úlomky rádiolaritov (zlepenc Köszörüköbánya); transportné smery sú od JV a pripomínajú turbiditné sedimenty z Mt. Ivanščica (O. SZTANÓ, 1990). Často obsahujú bloky a valúny urgónskej fácie s *Palorbitolina lenticularis*, ojedinele aj valúny plytkovodných vápencov malmu s *Clypeina jurassica* (vlastné pozorovania). Vápence a sliene morského albu boli zistené na viacerých miestach vrtmi v podloži neogénu Veľkej maďarskej nižiny.

Podrobnejšie sa aljom Zadunajského Stredohoria (pohoriami Vertés a Bakony) zaberá G. CSÁSZÁR (1984). Po výzdvihu na konci aptu (tisská fáza, respektíve ranoaustríjská) došlo k zvrásneniu a k diferenčným blokovým pohybom, pričom miestami dosiahla erózia až triasové komplexy. V spodnom albe sa vytvárali bauxity na vrchnotriásowych vápencoch a začala jazerná sedimentácia ľlov od Tés (Tés Clay); obsahujú aj vložky

sladkovodných vápencov s *Munigeria* a *Chara*. Na báze majú polohu bentonitu; snáď išlo o pyroklastickú vložku z neznámeho vulkanizmu. Vo vyšej časti nastávajú oscilačné zásahy mora do tejto pôvodne jazernej oblasti (doložené asociáciami ostrakódov). V severovýchodnej časti územia sa vytvoril príbrežný ríf z rudistových vápencov (*Toucaysia*), ktorý oddeľoval otvorenú morskú oblasť (Vertéssomlo Siltstone Formation) od spomenutej zarísovej lagunárnej oblasti súvrstvia Tés Clay. Prínos klastického materiálu do lagúny bol od SZ (l.c. obr. 6, str. 187). V strednom albe prestal prínos klastík a vytvorila sa rudistová rísová platforma spodnej časti vápence od Zirc. Vo vrchnom albe sa panva v oblasti Bakony prehľbila, bariérový ríf zanikol, vytvorili sa tenkolavicovité slienité vápence s amonitmi, pelagickou mikrofaunou a s hojným glaukonitom.

## Záver

Alb znamená náhlu zmenu v charaktere sedimentácie. Karbonátové plošiny s akumuláciou plytkovodných organodetritických urgónskych vápencov baremu – aptu zanikli — poklesli ešte pred začiatkom albu. Náhle prehľbenie má v niektorých jednotkách charakter kolapsu, kedy po hiáte na hardgroundoch nasleduje priamo pelagická sedimentácia slieňovcov (čorštynská, manínska, haligovská, vysokotatranská a belianska jednotka).

Diferenciačné pohyby sa neobmedzovali iba na náhle poklesy, ale dochádzalo aj k rozsiahlemu vynoreniu zdrojov klastického materiálu z kordilér, vzniknutých pri kolíznych procesoch. Tektonický nepokoj pred albom viedol aj k vytvoreniu karbonátových brekcií — olistostrómov v križňanskej jednotke.

V Západných Karpatoch môžeme v albe rozoznať dva odlišné typy zdrojov z asociácií fažkých minerálov. Vo flyšovom pásmе dominuje asociácia granát – zirkón, usadzuje sa výrazný siliciklastický flyš. V klapskej jednotke sú charakteristickým minerálom chróm spinelidy, miestami i glaukofán. V tatriku a fatriku je zastúpená zirkón – chróm spinelidová asociácia bez glaukofánu a flyšové pieskovce klapskej jednotky, tatrika a fatrika sú silne obohatené karbonátovým detritom (M. Mišík et al., 1980).

Oxidačno-redukčné podmienky sa odzrkadľujú na farbe slieňovcov. Čierne slieňovce sa vyskytujú v externej časti flyšového pásmá (slezska jednotka) a na niektorých miestach v tatriku. Výrazne červené slieňovce sa vyskytujú len v čorštynskej jednotke, kde má alb najmenšiu mocnosť (10 m). Redukčný charakter prostredia dokumentuje výskyt pełosideritových vložiek a pełokarbonátových konkrécií v slezskej, manínskej a miestami aj v križňanskej jednotke. Najväčšie akumulácie glaukonitu a fosfátových zrn sú na báze albu vysokotatranskej a haligovskej jednotky a v najvyššom albe belianskej jednotky (fatrikum). Príznačná je prítomnosť prúzkovaných silicitorov — spongolitov vo flyšovom pásmе.

Sporadický výskyt bázických vulkanitov je v albe fatrika a azda aj tatrika a manínskej jednotky.

O nasúvaní centrálnokarpatských príkrovov v albe nemáme pozitívne dôkazy. Ne-priamym ukazovateľom môže byť zmladzovanie najvyšších členov vrstevných sledov: v siliciku plytkovodný titón, v chočskom príkrove hoteriv (s ojedinelými kalciturbiditmi), v tylových častiach križňanského príkrovu alb, v čelných častiach križňanského príkrovu cenoman, v tatriku cenoman a ojedinele až spodný turón (Vysoké Tatry, Veľká Fatra).

## Literatúra

- ADÁMEK, J., 1986: Geologické poznatky o stavbě mezozoika v úseku Jih jihovýchodních svahů Českého masívu. — Zem. Plyn Nafta 31, 4, Hodonín, 453—484.
- ANDRUSOV, D., 1959: Geológia československých Karpát, zv. II. — Slov. Akad. Vied, Bratislava, 1—375.
- BENEŠOVÁ, E., 1957: O podloží neogénu na vrtbě H-6 ve Gbelích. — Zpr. geol. Výzk. v r. 1955, Praha, 15—16.
- BENEŠOVÁ, E.—HANZLÍKOVÁ, E.—MATĚJKA, A., 1962: Příspěvek ke geologii kurovického bradla. — Zpr. geol. Výzk. v r. 1961, Praha, 185—186.
- BIRKENMAJER, K., 1959: Znaczenie skałki haligowieckiej dla geologii Pienińskiego pasa skałkowego. — Roczn. Pol. Tow. Geol. 29, 1, Kraków, 73—88.
- BIRKENMAJER, K., 1962: Remarks on the geology of the Pieninische Klippenzone near Vienna (Austria). — Bull. Acad. pol. Sci., Sér. Sci. géol. géogr. 10 ×, 1, Warszawa, 19—25.
- BIRKENMAJER, K., 1977: Jurassic and Cretaceous lithostratigraphic unit of the Pieniny Klippen Belt, Carpathians Poland. — Stud. geol. pol. 45, Warszawa, 1—158.
- BIRKENMAJER, K., 1985: Main Geotraverse of the Polish Carpathians (Cracow—Zakopane). Guide to excursion 2. Carpatho-Balkan Geological Association, XIII Congress, Cracow. — Wyd. Geol. Warszawa, 1—181.
- BORZA, K., 1980a: Lithological-microfacial characteristics of Upper Jurassic and Lower Cretaceous sediments of Belá Group (Strážovské vrchy mountains). — Geol. Práce, Spr. 74, Geol. Úst. D. Štúra, Bratislava, 33—56.
- BORZA, K., 1980b: Nové poznatky zo spodnej kriedy Strážovských vrchov. — Zborník z konferencie v Smoleniciach, 1979: „Vážnejšie problémy geol. vývoja a stavby ČSSR; kľúčové územia a metódy ich riešenia“ (edit. M. Mahef), III., Bratislava, 241—264.
- BORZA, K., 1984: The Upper Jurassic-Lower Cretaceous parabiostratigraphic scale on the basis of Tintinnidae, Cadosinidae, Stomiosphaeridae, Calcisphaerulidae and other microfossils from West Carpathians. — Geol. Zbor. Geol. carpath. 35, 5, Bratislava, 539—550.
- BORZA, K.—KÖHLER, E.—BEGAN, A.—SAMUEL, O., 1980: Výskyt belianskej skupiny západne od Bošáce. — Geol. Práce, Spr. 74, Geol. Úst. D. Štúra, Bratislava, 57—63.
- BORZA, K.—KÖHLER, E.—SAMUEL, O., 1978: Chronostratigrafia spodnej kriedy a jej aplikácie na Západné Karpaty. — Geol. Práce, Spr. 71, Geol. Úst. D. Štúra, Bratislava, 123—156.
- BORZA, K.—KÖHLER, E.—SAMUEL, O., 1979: Nové stratigrafické a tektonické poznatky o bradle Skalica. — Geol. Práce, Spr. 72, Geol. Úst. D. Štúra, Bratislava, 97—112.
- BORZA, K.—MARTÍNY, E., 1962: Výskum glaukonitového vápenca albu Javorovej doliny v Tatrách. — Geol. Sbor. Slov. Akad. Vied 13, 1, Bratislava, 161—172.
- BORZA, K.—MICHALÍK, J.—VAŠIČEK, Z., 1987: Lithological, biosfacial and geochemical characterization of the Lower Cretaceous pelagic carbonate sequence of Mt. Butkov (Manín unit, Western Carpathians). — Geol. Zbor. Slov. Akad. Vied 38, 3, Bratislava, 323—348.
- BOSÁK, P., 1978: Rudické platô v Moravském Krase — časť III. Petrografie a diageneza karbonátu a silicítu z reliktu jury u Olomučan. — Čas. Morav. Musea v Brně, Vědy přír. 58, Brno, 7—28.
- BUDAY T. a kol., 1963: Vysvetlivky k přehledné geologické mapě ČSSR, 1:200 000, list Gottwaldov, Praha, 1—238.
- BUDAY, T. a kol., 1967: Regionální geologie ČSSR, dil II, Západní Karpaty, sv. 2., Ústř. Úst. geol. — Academia, Praha, 1967, 1—651.
- BUJNOVSKÝ, A.—KANTOR, J.—VOZÁR, J., 1981: Radiometric dating of Mesozoic basic eruptive rocks of the Krížna nappe in the NW part of the Low Fatra. — Geol. Zbor. Slov. Akad. Vied 32, 2, Bratislava, 221—230.
- Császár, G., 1984: Middle Cretaceous paleogeography and evolutionary history sketch of the Transdanubian Central Range of key and reference sections. Schriftenreihe der Erdwiss. — Komm. Bd. 7, Österr. Akad. Wiss., Wien, 173—192.
- ELIÁŠ, M., 1970: Litologie a sedimentologie slezské jednotky v Moravskoslezských Beskydech. — Sbor. geol. Věd, Geol. 18, Praha, 7—99.

- ELIÁŠ, M., 1979: Facies and paleogeography of the Silesian unit in the western part of the Czechoslovak Flysch Carpathians. — Věst. Ústř. Úst. geol. 54, 6, Praha, 327—339.
- FÉLEGYHÁZI, L.—NAGYMAROSY, A., 1991: New data on the age of the Lower Cretaceous formations in the Gerecse Mountains (Hungary). — Geol. Carpath. 42, 2, Bratislava, 123—126.
- FÜLÖP, J., 1976: The mesozoic basement horst block of Tatra. — Geologica hung., Ser. geol., T. 16, Budapest, 1—229.
- GAŠPARIKOVÁ, V.—SALAJ, J., 1985: Albian and Cenomanian of the Manín on the basis of foraminifera and nannofossils in the Belušské Slatiny — Slopná area. — Öster. Akad. Wissensch. Schriftenreihe der Erdwissenschaftlichen Kommissionen 7, Wien, 43—65.
- HANZLÍKOVÁ, E., 1976: Biostratigraphy of the Cretaceous and Paleogene flysch in the borehole Jarošov-I. — Věst. Ústř. Úst. geol. 51, 3, Praha, 153—162.
- HANZLÍKOVÁ, E.—ROTH, Z., 1963: Review of the Cretaceous stratigraphy of the Flysch Zone in the West Carpathians. — Geol. Sbor. Akad. Vied 14, 1, Bratislava, 37—81.
- HANZLÍKOVÁ, E.—ROTH, Z., 1965: Attempt on paleogeographic reconstruction of outer West Carpathian sedimentation area. — Geol. Práce, Zpr. 36, Geol. Úst. D. Štúra, Bratislava, 5—30.
- HAŠKO, J.—SAMUEL, O., 1977: Stratigrafia kriedy varínskeho úseku bradlového pásma. — Geol. Práce, Spr. 68, Geol. Úst. D. Štúra, Bratislava, 49—67.
- HOUŠA, V., 1983: Vznik těles štramberského vápence u Štramberka. — Věstník Ústř. Úst. geol. 58, 4, Praha, 193—203.
- HOVORKA, D.—SPIŠIAK, J., 1988: Vulkanizmus mezozoika Západných Karpát. — Veda, SAV, Bratislava, 263.
- HOVORKA, D.—SÝKORA, M., 1979: Bázické vulkanity neokómu křižnanského příkrovu Vefkej Fatry. — Čas. Mineral. Geol. 24, 4, Praha, 371—383.
- CHMELÍK, F., 1971: Geologie zdounecké tektonické jednotky a její postavení v alpsko-karpatské soustavě. — Sbor. geol. Věd, Geol. 19, Praha, 123—149.
- JABLONSKÝ, J., 1978: Príspevok k poznaniu albu zliechovskej série Strážovských vrchov. — Zborník „Paleogeografický vývoj Západných Karpát“ (edit. J. Vozár), Geol. Úst. D. Štúra, Bratislava, 175—187.
- JABLONSKÝ, J., 1986: Sedimentologické štúdium porubského súvrstvia (alb—cenoman) tatrika a zliechovskej sekvencie. — Kandidátska dizertačná práca, (MS), archív Katedry geol. a paleont. PFUK, Bratislava, 211.
- KANTOR, J., 1960: Kriedové orogenetické procesy v svetle geochronologického výskumu vepridného kryštalinitika. — Geol. Práce, Zpr. 19, Geol. Úst. D. Štúra, Bratislava, 5—26.
- KAPOUNEK, J.—KRÖLL, A.—PAPP, A.—TURNOWSKY, K., 1967: Der mesozoische Sedimentanteil des Festlandsockels der Böhmischen Masse. — Jb. Geol. Bundesanst. 110, Wien, 73—91.
- KOTAŃSKI, Z., 1959: Z zagadnień transgresji albu wierchowiego w Tatrach. — Przegl. geol. 5, 8, Warszawa, 357—358.
- KOTAŃSKI, Z., 1961: Tektogeneza i rekonstrukcja paleogeografii pasma wierchowego w Tatrach. — Acta geol. Pol. II, 2—3, Warszawa, 476.
- KÖHLER, E., 1980: Stratigrafia kriedových sedimentov na základe orbitolinidných foraminifer. — Záverečná správa za 6. RP ŠPZ II-4-5/2c, MS, Bratislava, 98.
- KRAJEWSKI, K. P., 1981: Pelagic stromatolites in the High-Tatric Albian limestones in the Tatra Mts. — Kwart. geol. 25, Warszawa, 731—759.
- KRAJEWSKI, K. P., 1983: Albian pelagic phosphate-rich macrooncoids from the Tatra Mts. (Poland). in T. M. Peryt (ed.): „Coated grains“. — Springer-Verlag, Berlin—Heidelberg, 344—357.
- KRAJEWSKI, K. P., 1984: Early diagenetic phosphate in the Albian condensed glauconitic limestones of the Tatra Mountains, West Carpathians. — Sedimentology 31, Amsterdam—New York, 443—470.
- KRÝSTEK, J., 1959: Příspěvek k poznání a stáří rudických vrstev. — Čs. Kras 1, Praha, 22—23.
- KRÝSTEK, I.—SAMUEL, O., 1978: Výskyt kriedy karpatského typu severne od Brna (Kuřim). — Geol. Práce, Spr. 71, Geol. Úst. D. Štúra, Bratislava, 93—110.
- KSIAZKIEWICZ, M., 1956: Jura i kreda Bachowic. — Roczn. Pol. Tow. Geol. 24, 2—3, Kraków, 121—405.
- KULLMANOVÁ, A.—VOZÁR, J., 1980: Hyaloklastitové lávy v slieňovcovom súvrství spodného albu na strednom Považí. — Miner. slov. 12, 1, Sp. N. Ves, 53—42.

- KUŠIK, R., 1959: Litologia sedimentárnych sérií územia Oravíc. — Geol. Sbor. Slov. Akad. Vied 10, 1, Bratislava, 203—224.
- KYSELA, J.—MARSCHALKO, R.—SAMUEL, O., 1982: Litostratigrafická klasifikácia vrchnokriedových sedimentov manínskej jednotky. — Geol. Práce, Spr. 78, Geol. Úst. D. Štúra, Bratislava, 143—167.
- LEFELD, J., 1968: Stratigraphy i paleogeografia dolnej kredy wierchowej Tatr. — Stud. geol. pol. 24, Warszawa, 115.
- MAHEĽ, M., 1978: Manínska jednotka — čiastkový prikrov skupiny krížanského prikrova. — Mineralia slov. 10, 4, Sp. N. Ves, 289—309.
- MARSCHALKO, R., 1982: Vývoj a geotektonický význam kriedového flyšu bradlového pásma v karpatskej megaštruktúre. — Autoreferát doktorskej dizertačnej práce. Geol. Ústav SAV, Bratislava, 69.
- MARSCHALKO, R., 1986: Vývoj a geotektonický význam kriedového flyšu bradlového pásma. — Veda, Bratislava, 1—137.
- MARSCHALKO, R.—KYSELA, J., 1980: Geológia a sedimentológia bradlového pásma a manínskej jednotky medzi Žilinou a Považskou Bystricou. — Západ. Karpaty, Sér. Geol. 6, Geol. Úst. D. Štúra, Bratislava, 7—79.
- MARSCHALKO, R.—MÍŠIK, M.—KAMENICKÝ, L., 1976: Petrographie der Flysch — Konglomerate und Rekonstruktion ihrer Ursprungszonen (Paläogen der Klippenzone und der angrenzenden tektonischen Einheiten der Ostslowakei). — Západ. Karpaty, Sér. Geol. 1, Geol. Úst. D. Štúra, Bratislava, 1—124.
- MENČÍK, E. et al., 1983: Geologie Moravskoslezských Beskyd a Podbeskydské pahorkatiny. — Ústř. Úst. geol. — Academia, Praha, 1—304.
- MICHALÍK, J.—VAŠIČEK, Z., 1984: To the Early Mid-Cretaceous West Carpathian development: the age and environmental position of the „Skalica breccia“. — Geol. Zbor. Akad. Vied. 35, 5, Bratislava, 559—582.
- MÍŠIK, M., 1979: Sedimentologické a mikrofaciálne štúdium jury bradla vršateckého hradu (neptunické dajky, biohermný vývoj oxfordu). — Západ. Karpaty, Sér. Geol. 5, Geol. Úst. D. Štúra, Bratislava, 7—56.
- MÍŠIK, M., 1980: Súčasné problémy bradlového pásma. Zborník z konferencie v Smoleniciach 1979: „Vážnejsie problémy geol. vývoja a stavby ČSSR; kľúčové územia a metódy ich riešenia“ (edit. M. Mahef: III). — Bratislava, 229—240.
- MÍŠIK, M.—JABLONSKÝ, J.—FEIDI, P.—SÝKORA, M., 1980: Chromian and ferrian spinels from Cretaceous sediments of West Carpathians. — Min. slov. 12, 3, Sp. N. Ves, 209—228.
- MÍŠIK, M.—JABLONSKÝ, J.—MOCK, R.—SÝKORA, M., 1981: Konglomerate mit exotischem Material in dem Alb der Zentralen West-Karpaten — paläogeographische und tektonische Interpretation. — Acta. geol. geogr. Univ. Comen., Geol. 37, Bratislava, 5—55.
- MÍŠIK, M.—SÝKORA, M., 1981: Pieninský exotický chrábát rekonštruovaný z valúnov karbonatóvych hornín kriedových zlepencov bradlového pásma a manínskej jednotky. — Západ. Karpaty, Sér. Geol. 7, Geol. Úst. D. Štúra, Bratislava, 7—111.
- MÍŠIK, M.—SÝKORA, M.—JABLONSKÝ, J., 1991: Striňovské zlepence a juhomagurská kordiléra. — Západ. Karpaty, Sér. Geol. 14, Geol. Úst. D. Štúra, Bratislava, 7—72.
- MÍŠIK, M.—SÝKORA, M.—MOCK, R.—JABLONSKÝ, J., 1991: Pročeské zlepence paleogénu bradlového pásma — materiál z neopieninského exotického chrabta. — Acta geol. geogr. Univ. Comen., Geol. 46, Bratislava, 9—101.
- OŽVOLDOVÁ, L., 1979: Radiolarians from Rudina Beds of the Kysuca series in the Klippen Belt from locality Brodno. — Annotationes Zool. Bot., Slov. nár. múzeum 128, Bratislava, 1—14.
- PASSENDORFER, E., 1930: Studium stratigraphiczne i paleontologiczne nad kreda serii wierchowej w Tatrach. — Prace Pol. Inst. geol. II, 4, Warszawa, 351—677.
- PESLOVÁ, H., 1983: Distribuce těžkých minerálů ve slezské jednotce. (in E. MENČÍK a kol.; „Geologie Moravskoslezských Beskyd a Podbeskydské pahorkatiny“). — Ústř. Úst. geol., Academia, Praha, 78—83.
- PREY, S., 1975: Neue Forschungsergebnisse über Bau und Stellung der Klippenzone des Lainzer Tiergartens in Wien (Österreich). In: M. Mahef (ed.): „Tectonic problems of the Alpine system“. — Veda, Slov. Akad. Vied, Bratislava, 57—68.

- ŘEHÁNEK, J., 1984: Nález mořského svrchního albu Českého masívu na jižní Moravě. — Geol. Práce, Spr. 81, Geol. Úst. D. Štúra, Bratislava, 87—101.
- SALAJ, J.—SAMUEL, O., 1966: Foraminifera der Westkarpaten-Kreide. — Geol. Úst. D. Štúra, Bratislava, 1—291.
- SALAJ, J.—SAMUEL, O., 1984: Microbiostratigraphical subdivision of West-Carpathian Mesozoic and Paleogene. — Západ. Karpaty, Sér. Paleont. 9, Geol. Úst. D. Štúra, Bratislava, 11—71.
- SAMUEL, O. et al., 1988: Stratigrafický slovník Západných Karpát III. — Geol. Úst. D. Štúra, Bratislava, 1—292.
- SAMUEL, O.—BORZA, K.—KÖHLER, E., 1972: Microfauna and lithostratigraphy of the Paleogene and adjacent Cretaceous of the Middle Váh Valley (West Carpathian). — Geol. Úst. D. Štúra, Bratislava, 1—246.
- SOKOŁOWSKI, S. (edit.), 1973: Budowa geologiczna Polski t. I., Stratygrafia, cz. 2 Mezozoik. — Inst. Geol., Wydawnictwa Geologiczne, Warszawa, 1—806.
- STRÁNÍK, Z., 1987: Stratigrafie ČSSR. Flyšové pásmo na Moravě (stratigrafická tabulka). — Ústř. Úst. geol. Praha.
- SZTANÓ, O., 1990: Submarine fan-channel conglomerate of Lower Cretaceous, Gerecse Mts., Hungary. — N. Jb. Geol. Mh., 7, Stuttgart, 431—446.
- ŠMÍD, B.—MENČÍK, E., 1983: Těšinitový vulkanizmus slezské jednotky. (in E. Menčík a kol.: „Geologie Moravskoslezských Beskyd a Podbeskydské pahorkatiny“). — Ústř. Úst. geol., Academia, Praha, 69—73.
- TRUNKÓ, L., 1969: Geologie von Ungarn. — Beitr. zur regionalen Geologie der Erde, Bd. 8., ed. Bornträger, Berlin—Stuttgart, 257.
- VAIL, P. R.—MITCHUM, R. M., Jr.—THOMSON, S. III., 1977: Seismic stratigraphy and global changes of sea level. In C. E. Payton (ed.): „Seismic stratigraphy applications to hydrocarbon“. — Memoir Amer. Assoc. Petrol. Geol. 26, Tulsa, 83—97.
- VAŠIČEK, Z., 1977: Makrofaunistická charakteristika dílčích tektonických šupin ve slezské jednotce (malm—cenoman). — Sbor. věd. Prací Vys. Šk. báň. v Ostravě, Ř. horn. geol. 1, čl. 452, Ostrava, 177—194.
- VAŠIČEK, Z.—MICHALÍK, J.—BORZA, K., 1983: To the „Neocomian“ biostratigraphy in the Križná-Nappe of the Strážovské Vrchy Mountains (NW Central Carpathians). — Zitteliana 10, München, 467—483.
- WILSON, J. L., 1975: Carbonate facies in geologic history. — Springer-Verlag, Berlin—Heidelberg—New York, 470.

MILAN MIŠÍK — JOZEF JABLONSKÝ

### Paleogeographical outline of Albian stage of West Carpathians Mts. (Summary)

The predominant flysch facies in the Albian of the West Carpathians has a different character in every unit, owing to the extensive dissection of the depositional area. In relation to the carbonate, pelagic sedimentation of the Lower Cretaceous the Albian represents a turning-point period characterized by the transport of clastics from new source areas — intrabasinal cordilleras (exotic ridges). Carbonate platforms with the accumulation of shallow-water organodetrital Urgonian limestones of the Barremian—Aptian stages disappeared: they collapsed before the commencement of the Albian stage. In some units the sudden deepening has the character of a collapse when the hiatus on hardgrounds is immediately followed by pelagic sedimentation of marlstones (the Czorsztyn-, Manín-, Haligovce-, High Tatra- and Belá units).

The differentiation movements did not result only in sudden collapses but also in extensive emergence of sources of clastic material from cordilleras (exotic ridges) resulting from collisions. Tectonic activities prior to the Albian also gave rise to carbonate breccia — olistostromes in the Križna unit. In the Albian of the West Carpathians two different types of sources from heavy minerals assemblages may be distinguished: In the Flysch Belt the garnet — zircon assemblage is

dominant and siliciclastic flysch deposits there. Chromspinellides and sporadical glaucophane are characteristic minerals in the Klape unit. The zircon — chromspinellide assemblage without glaucophane is present in the Taticum and Faticum; flysch sandstones of the Klape unit, of the Taticum and Faticum are strongly enriched with carbonate detritus.

Oxide-reducing conditions are reflected in the colour of marlstones. Black marlstones occur in the external part of the Flysch Belt (the Silesian unit) and in some places of the Taticum. Conspicuously red marlstones occur only in the Czorsztyn unit with the least thicknesses of the Albian (10 m). The reduction character of the environment is documented by occurrences of pelosiderite intercalations and pelocarbonate concretions in the Silesian and Manín units, and sporadically also in the Križna unit. The largest accumulations of glauconite and of phosphate grains are at the base of the Albian in the High-Tatra and Haligovce units, and in the Uppermost Albian of the Belá succession (Križna nappe). Characteristic is the presence of striped silicates — spongolites in the Flysch Belt.

Basic volcanics occur sporadically in the Albian of the Križna nappe and perhaps of the Taticum and of the Manín unit.

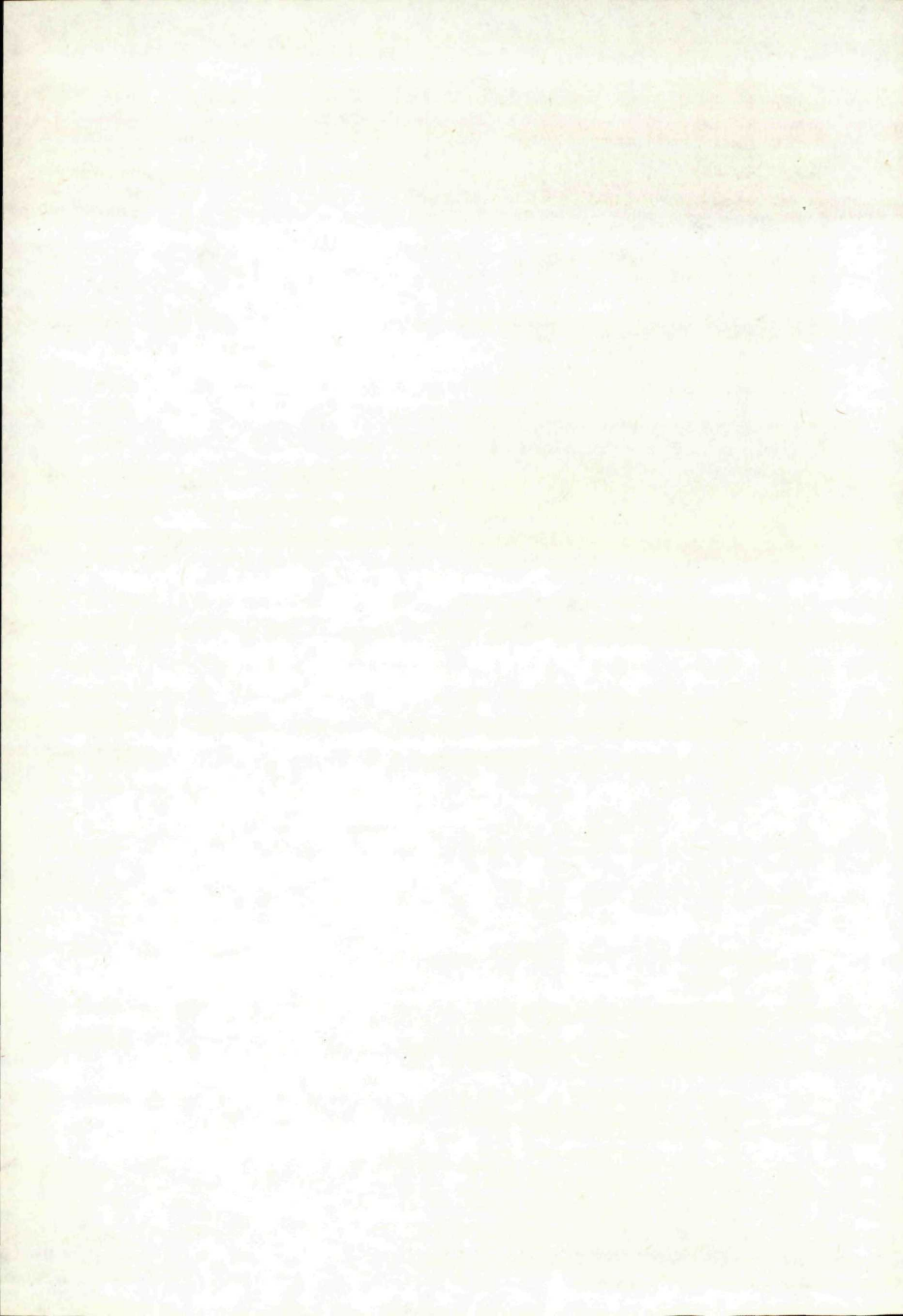
The Albian Flysch sequences range to maximum thicknesses in the Klape unit, in the zone of the collision between the Central-Carpathian block with the margin of the stable Europe (substratum of the Outer Carpathians). The collision was caused by the closing of the oceanic basin denoted by the authors as the Pieniny-, Klape- or the Pieniny-Meliata ocean). The collision processes (over-thrusts, imbrication, obduction, collision mélange) proceeded in the Austrian tectonic phase similarly to the commencing overthrusting of southern units (higher Central-Carpathian nappes).

We have no positive evidence of the overthrusting of Central-Carpathian nappes in the Albian stage. The overthrusting may be indirectly indicated by rejuvenation of the uppermost members of bed sequences: the shallow-water Tithonian in the Silicum, the Hauterivian (with occasional calciturbidites) in the Choč nappe, the Albian in back parts of the Križna nappe, the Cenomanian in frontal parts of the Križna nappe, the Cenomanian and sporadical Lower Turonian in the Taticum (Vysoké Tatry Mts., Veľká Fatra Mts.).

#### Explanations of text-fig.

Fig. 1 Schematical paleogeographical outline of Albian in West Carpathians  
Explanation: 1 — dry land; 2 — thick continental crust; 3 — thinned continental crust; 4 — shallow-water limestones; 5 — sandy limestones; 6 — clayey (marly) limestones; 7 — sandstones; 8 — spongolites; 10 — claystones, clayey shales; 11 — breccia; 12 — reefs; 13 — turbidites; 14 — hardgrounds; 15 — pebbles and blocks of Albian blocks in younger sequences; 16 — well data; 17 — overthrusts; 18 — folded areas; 19 — volcanics and volcanoclastics; 20 — glauconite; 21 — phosphate; 22 — pelosiderite; 23 — situation of Vienna; 24 — situation of Bratislava (unfolded from the NW foreland of the Carpathians, regarded as stable). Following are the units unfolded from the north to the south. Flysch Belt: the Subsilesian-, Silesian-, Magura units; the Klippen Belt; the Czorsztyn-, Pieniny-(Kysuce)-, Klape-, exotic (exotic ridge = cordillera) units; the Central and Inner Carpathians; the Manín—Halogovce-, the Tatic-, Križna-, Vepor-, Choč-, Silica-, Meliata- units.

Translated by L. Böhmer



MICHAL POTFAJ — MARIÁN SAMUEL — JARMILA RAKOVÁ — ONDREJ SAMUEL

## Geologická stavba Kubínskej hole (Orava)

18 obr., 13 fotogr. tab. (I—XIII), angl. resumé

**Abstract.** We have distinguished 7 basical lithofacies in the Orava—Magura unit in the area of Kubínska hoľa. On the basis of the lithofacies we have defined four formations: the Malcov Fm., the Racibor Fm., the Zábava Fm. and the Magura Formation. In the Racibor Fm. the Račová Member has been distinguished separately. All the formations deposited under different conditions in the flysch basin: the Magura Fm. in the middle and upper parts of the submarine fan; in the channel zone and in lobes; the Racibor Fm. in the interlobe areas and partly on the slope; the Malcov Fm. on the base of slope and below. The Zábava Fm. represents an informal connecting unit between the Magura and Racibor formations. The formations deposited in the time from the Late Paleocene till the Early Oligocene.

The Kubínska hoľa range forms an amputated syncline with core of the Racibor Fm. The syncline is on the north and south bordered by strike-slip faults. Tectonic convergence of the Orava—Magura unit and the Klippen Belt took place along these strike-slip faults.

### Obsah

Úvod . . . . .	26
Doterajší stav problematiky výskumu . . . . .	26
Použitá metodika výskumu . . . . .	27
Terminológia . . . . .	28
Definícia a opis litofácií Kubínskej hole . . . . .	28
Magurská fácia . . . . .	28
Raciborská fácia . . . . .	31
Račovská fácia . . . . .	31
Malcovská fácia . . . . .	33
Hruštinská fácia . . . . .	33
Sklzové fácie . . . . .	33
Charakteristika súvrství . . . . .	35
Magurské súvrstvie . . . . .	35
Raciborské súvrstvie . . . . .	41
Račovské vrstvy . . . . .	46
Zábavné súvrstvie . . . . .	47
Malcovské súvrstvie . . . . .	48

RNDr. M. POTFAJ, CSc. — RNDr. J. RAKOVÁ — RNDr. O. SAMUEL, DrSc., Geologický ústav  
D. Štúra, Mlynská dolina 1, 817 04 Bratislava  
RNDr. M. SAMUEL, Geologický ústav SAV, Dúbravská cesta 9, 814 73 Bratislava

Vzťahy lithostratigrafických jednotiek	49
Tektonika	50
Paleogeografické úvahy	55
Záver	57
Literatúra	58
Resumé	59
Vysvetlivky k tab. I—XIII	65

## Úvod

Kubínska hoľa tvorí najvyššiu časť horského hrebeňa Oravskej Magury. Jej najvyššou kótou je Minčol — 1395 m. Nosnú kostru stavby tvorí súvrstvie magurských pieskovcov (v zmysle C. M. PAULA, 1868 a M. POTFAJA, 1983), ktoré majú tu, na Oravskej Magure, svoje domovské miesto. Zvýšený záujem o najvnútornejšie magurské jednotky a otvorená problematika magurských pieskovcov (pôvod materiálu, vek? a typ sedimentačného prostredia, ale aj paleogeografické postavenie vnútorného okraja magurskej jednotky) nás inšpirovali k prebádaniu hrebeňa Kubínskej hole. Orientovali sme sa predovšetkým na zistenie základných úložných pomerov, overenie vrstevného sledu a na spresnenie biostratigrafie.



## Doterajší stav problematiky výskumu

Zo širokého prahu „Karpathensandsteinzone“ vyčlenil C. M. PAUL (1868) petrografický typ magurského pieskovca, ktorého rozšírenie udáva prakticky pre celú Oravu. Podľa pôvodného opisu ide o „prevažne čisto kremenné, hrubozierné pieskovce s ojedinelými kremennými zrnameniami, prechádzajúcimi do kremitého zlepence“ (l. c., p. 244). Uloženie

vrstiev opisuje ako synklinálne, ich vek udáva ako eocén. K týmto pieskovcom priradil aj pieskovce Babej hory.

Pieskovcom bol neskôr pripisovaný vek vrchný eocén až spodný oligocén (D. ANDRUSOV, 1928—1938). V etape zostavovania map 1:200 000 boli pieskovce považované za vrchnoeocénne podľa mikrofauny zo vzoriek mylne pokladaných za vzorky z tohto súvrstvia (E. HANZLÍKOVÁ, 1956, 1958). Na základe toho bola potom nesprávne interpretovaná aj stavba tohto územia (A. MATĚJKA — F. CHMELÍK, 1956). V roku 1983 stanovil M. POTFAJ vek súvrstvia v oblasti Oravskej Magury v rozpäti vrchný paleocén až spodná časť stredného eocénu. Vrstevný sled bol upravený v postupnosti: magurské pieskovce — prechodné súvrstvie — malcovské vrstvy (súvrstvie). Magurské pieskovce tvoria v hrebeni Oravskej Magury úzko zovretú synklinálu s výrazne redukovaným južným krídlom, ktoré leží prevrátené k J na bradlové pásmo. Menšie šupiny magurských pieskovcov sú zacviknuté aj v štruktúre bradlového pásma. R. MARSCHALKO — M. POTFAJ (1982) robili sedimentologickú štúdiu magurských pieskovcov, z ktorej vyplýva, že transport materiálu bol od SV k JZ, šikmo do priestoru dnešného bradlového pásma. Prostredie depozície bolo stanovené ako stredná až spodná časť náplavového kužeľa, vzdialenosť najmenej 45 km od zdrojovej oblasti turbiditných prúdov.

## Použitá metodika výskumu

Počas terénnych prací boli vyčlenené makroskopicky odlišiteľné vrstevné celky (súvrstvia). Ukázalo sa však, že začlenenie do súvrství je miestami značne subjektívne, pretože sa skladajú z viacerých rôznych litofácií. Preto sme v ďalšom postupe vyčlenili a definovali základné typy litofácií (resp. faciotypov), ktoré sa na území vyskytujú. Jednotlivé súvrstvia sú potom definované pomocou týchto faciotypov.

Dokumentovali sme odkryvy a litologické profily na účely stratigrafie a sedimentológie. Odoberali sme vzorky na petrografické vyhodnotenia a biostratigrafické určenia (nanoplankton, foraminifery, peš a spóry). Pre biostratigrafické účely nemajú jednotlivé skupiny organizmov rovnaký význam, dokonca ani jednotlivé metodiky nie sú rovnocenné. Ukázalo sa, že najbohatšie spoločenstvá čo do zastúpenia druhov, respektíve počtu jedincov tvorí vápnitý nanoplankton, získaný z vápnitých ilovcov či slieňovcov, avšak ten vo väčšine prípadov nie je pôvodný, ale redeponovaný do sedimentov zo starších súvrství. Foraminifery získané vyplavením z ilovcov potvrdili už prv získanú skúsenosť, že sa vyskytujú predovšetkým širokorozsahové aglutinované druhy, nevhodné na užie datovanie. Naproti tomu sme zistili pomerne hojný výskyt vápnitých schránok planktonických foraminifer vo výbrusoch z najvyšších intervalov ( $T_b$ ,  $T_c$ ) pieskovcových lavíc ( $T_b$ ,  $T_c$  intervaly) raciborského súvrstvia. Planktonické foraminifery sú vrchnoeocénneho až spodnooligocénneho veku a kontrastujú so spoločenstvami (či už nanoplanktonu alebo foraminifer) z ilovcov. Zvlášť markantný je rozdiel zistený v slieňovcovej vrstve (d. b. 328), kde chudobné nanoplanktonové spoločenstvo tvoria výlučne kriedové druhy, zatiaľ čo vo výbruse sú identifikované vrchnoeocénne — spodnooligocénne planktonické foraminifery (pozri ďalej).

Paleoprúdové vyhodnotenia sme robili selektívne pre jednotlivé faciálne typy v rámci odkryvu, bloku alebo štruktúry, aby sme vylúčili vplyv druhotej deformácie paleoprúdového systému na jednotlivé súvrstvia. Konfrontovali sme aj navzájom smery prúdov zistené pomocou jednotlivých metodík (imbrikácie zŕn, šikmé zvrstvenia, stopy po vlečení, prúdové erózne stopy (obr. 19).

## Terminológia

Magurské pieskovce (súvrstvie) — pod touto lithostratigrafickou jednotkou rozumieme pieskovcový komplex v zmysle M. POTFAJA (1983), teda flyšové súvrstvie prevažne hrubozrnných a strednozrnných pieskovcov s tenkými vložkami ilovcov (pozri ďalej). Tento pojem nie je totožný s takzvanými „magurskými vrstvami“, respektíve „pieskovcam“ v zmysle poľských geológov (napr. M. KSIĄŻKIEWICZ, 1956, N. OSZCZYPKO, 1973, K. ŽYTKO, 1962).

Index zvrstvenia —(I)— počet vrstevných rytmov kompletu pieskovec + ilovec na 1 m hrúbky.

Pieskovcový pomer —(P)— udáva pomer hrúbky vrstiev pieskovcov (psefitov + psamitov) voči vrstvám pelitov (ilovcov) v profile súvrstvia. Neodlišovali sme geneticky rôznorodé typy pelitov (turbiditné či (hemi-) pelagické).

## Definícia a opis litofácií na Kubínskej holi

### Magurská fácia

Odlišujeme dve subfácie: A1 — hrubozrnné pieskovce až drobnozrnné zlepence a A2 — jemnozrnné až hrubozrnné pieskovce s vložkami ilovcov. Obe subfácie majú zhruba rovnaké modálne (petrografické) zloženie, okrem dominujúceho kremeňa sú zastúpené úlomky granitov, fyllitov, rúl, kremencov, živcov, ojedinele karbonáty, prípadne i vzácné schránky organizmov (tab. I).

*Subfácia hrubozrnných pieskovcov a drobnozrnných zlepencov — A1 (obr. 1, 6)* — tvoria ju hrubolavicovité telesá prevažne hrubozrnných (menej strednozrnných) drobnozrnných pieskovcov až zlepencovitých pieskovcov s hrúbkou 2—4 m, ale i viacej. Mocnejšie lavice sú zložené (opakovane gradačné zvrstvenie i niekoľkých rytmov). Častá je korytotváritá erózia pri báze nového rytmu, nad ktorou nasleduje negatívny Loweho R1 interval, bežné sú však i sekvencie R<sub>2</sub>—S<sub>1—2—3</sub> (tab. I, obr. 1, 2).

V úplných sekvenciách, ktoré sa však vyskytujú zriedkavo, sú v závere zachované nevýrazné šikmo zvrstvené intervaly jemnozrnnnej frakcie.

Zlepencové intervaly sú pri báze vrstiev, alebo sa vyskytujú uprostred v podobe nestálych paralelných vrstvičiek a šošovkovitých vtrúsenín. Veľkosť zrn je 1—3 mm, v hrebeňovej časti Kubínskej hole sú aj 9 mm kremenné valúny, ojedinele až 1—3 cm v priemere.

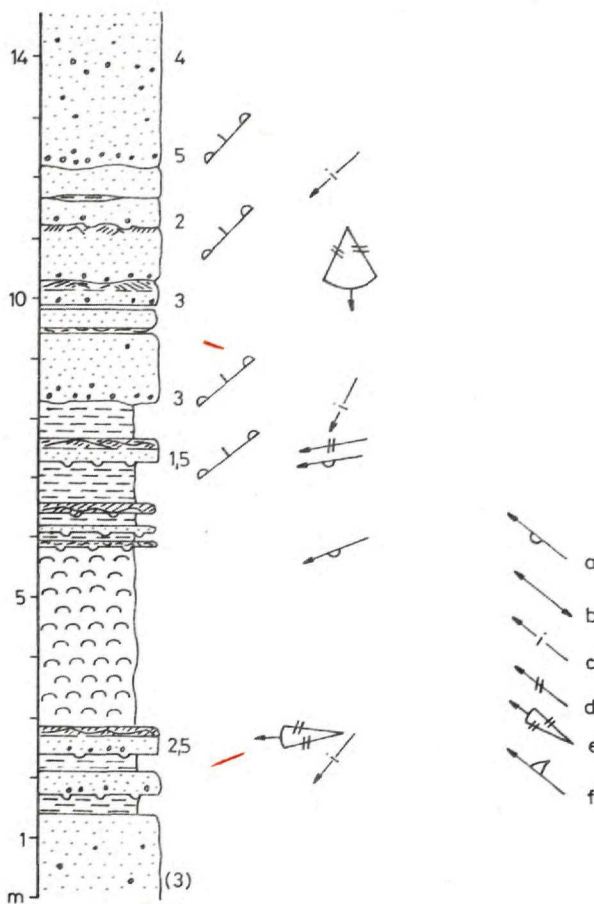
Hrubšie zrná sú vo väčšine prípadov imbrikované uložené, P = 10, I = 0,8—1,3.

*Interpretácia:* Typ subfácie A 1 zodpovedá faciálnym triedam A 2 a B 2 K. PIC-KERINGA et al. (1986). Pieskovce a zlepence sedimentovali z vysokokoncentrovaných zvodnených prúdov (liquefied flow) a hustých turbiditných prúdov pomerne rýchlym procesom vypadávania zrn zo suspenzie, prípadne z takzvanej trakčnej fázy (koberca) takzvaným stuhnutím — „zamrznutím“.

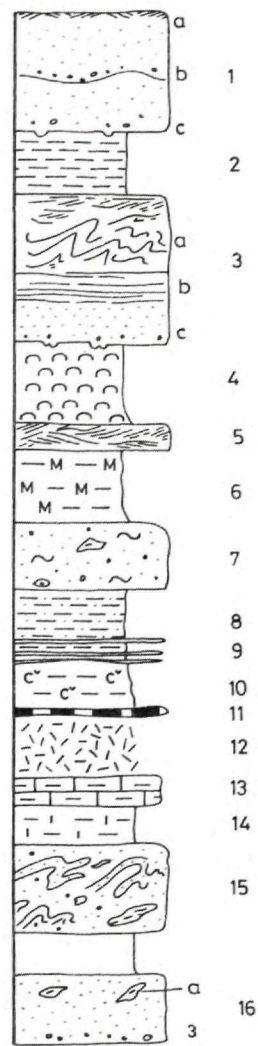
Subfácia indikuje sedimentáciu v prívodných kanáloch, prípadne na ich vyústení. Podľa D. STOWA (1985) by mohlo ísť dokonca o výplň v proximálnej časti prívodového kanála.

*Subfácia jemnozrnných až hrubozrnných drobnozrnných pieskovcov s vložkami ilovcov — A2 — (obr. 1, 2; tab. II, obr. 1; tab. III, obr. 1—3).*

Reprezentujú ju 15—250 cm hrubé lavice drobnozrnných pieskovcov s gradačným zvrstvením, jemnozrnné a strednozrnné typy sú nevýrazne zvrstvené, v zásade ide o Boumov Ta

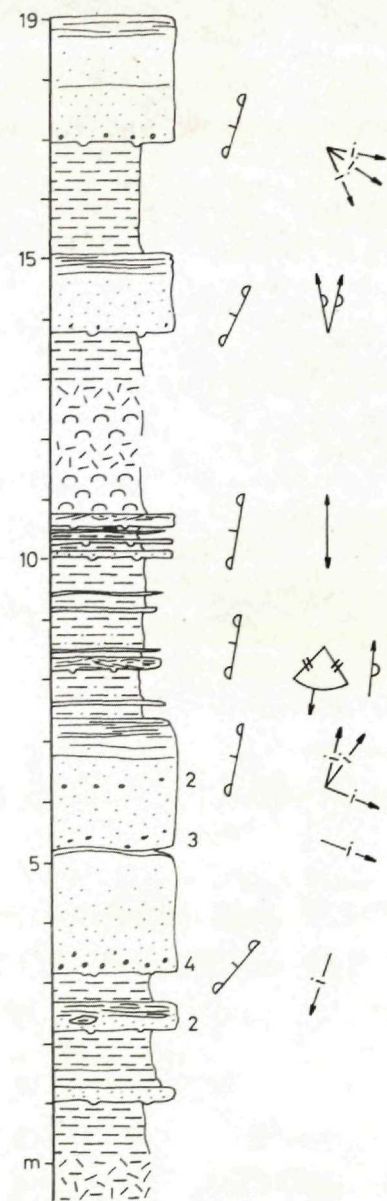
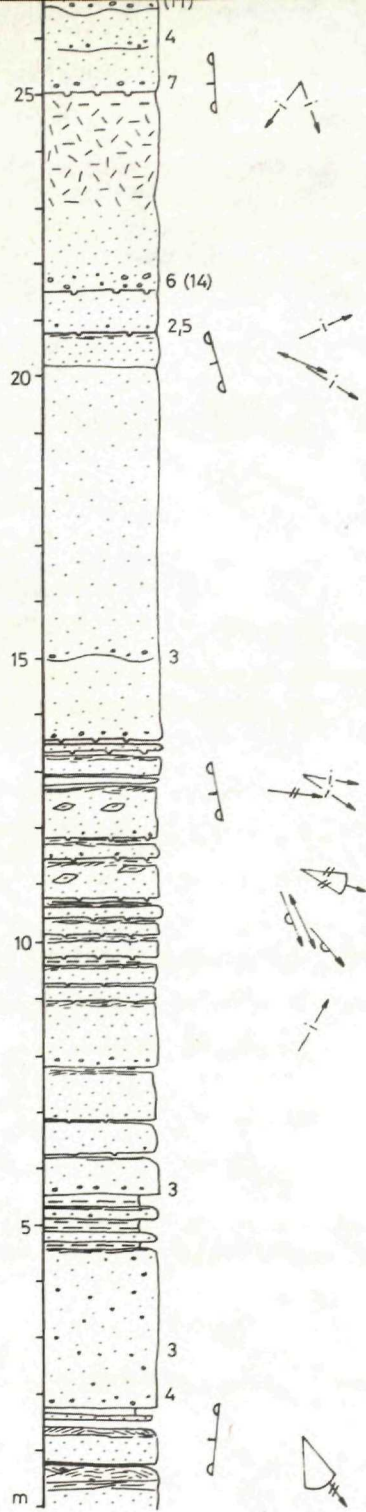


Obr. 1 Litologický profil H 108 — lesná cesta 900 m vjv. od k. 1225: vyššia časť magurského súvrstvia s vložkou ilovca bystrického typu.



#### Vysvetlivky k litologickým profilom (obr. 1—11)

- 1 — magurský typ pieskovca, drobové hrubozrnné až jemnozrnné pieskovce: a — šikmé zvrstvenie, b — vnútrovrstvové erózne štruktúry, c — gradačné zvrstvenie s ojedinelými väčšími valúnmi na spodnej ploche prúdovej stopy; 2 — ilovce; 3 — pieskovce raciborského súvrstvia s kompletou turbiditou sekvenciou: a — konvolútne deformácie, b — paralelná laminácia, c — gradačný interval; 4 — ilovce bystrického typu s lastúrnatou odlučnosťou (malcovský typ); 5 — jemnozrnné pieskovce so šikmým zvrstvením; 6 — modrosivé vápnitné ilovce s tabuľkovitou odlučnosťou (malcovský typ); 7 — netriedené hrubozrnné pieskovce s ilovcovými útržkami — debrity; 8 — piesčité ilovce; 9 — tenkorytmický flyš; 10 — červené ilovce; 11 — pelokarbonát; 12 — zasuté úseky; 13 — slieňovce; 14 — sliene, tvrdé vápnitné ilovce; 15 — sklzové telesá; 16a — ilovcové útržky, (3) — priemer najväčších zŕn v pieskovcoch v mm; 17 — smery prúdových štruktúr a textúr: a — erózne stopy, b — stopy po vlečení, c — imbrikácia, d — šikmé zvrstvenie, e — šikmé zvrstvenie z viacerých meraní, f — deformácie vnútorných textúr vplyvom sklzávania po svahu.



Obr. 3 Litologický profil H 92 — lesná cesta 800 m jjv. od k. Prislop (1032): raciborské súvrstvie, raciborská fácia. Dve lavice uprostred predstavujú magurskú fáciu (A 2).

Obr. 2 Litologický profil H 104 — lesná cesta 1300 m v. od k. 1225: magurské súvrstvie. V spodnej časti fácia A 2, vyššie fácia A 1.

interval. V úplných vrstvách je v závere zachovaný tenký (1—4 cm) nevýrazný „c“ interval, takže sekvencia má charakter Tac. Bázy vrstiev sú ploché, so stopami po vlečení. Bežné sú aj erózne stopy (tab. III, obr. 4).

Pieskovcové lavice sú oddeľené vrstevnou škárou alebo vrstvičkami (0,1—0,5 cm, ojedinele do 15 cm) muskovitických piesčitých ilovcov, zelenohnedých ilovcov alebo slabovápničích hnadosivých ilovcov.  $P \geq 3,5$ ,  $I = 0,9—1,6$ .

**Interpretácia:** Zrnitostné zloženie, typy zvrstvení a celkový charakter subfácie radí pieskovce k sedimentom z hustých turbiditných prúdov, ukladaných pri zniženej energii prúdu, teda pri dostatočnej vzdialnosti od generácejnej oblasti prúdu, pravdepodobne pri lome terénu — dna bazénu. Takéto formy môžu charakterizovať vyššiu, prípadne strednú časť podmorských kužeľov v náplavovom laloku. Subfácia sa vyskytuje v spojení so subfáciou A1, ale aj B a D2.

**Raciborská fácia — B —** (obr. 3, 7) je charakterizovaná vápnitými ilovcami a stredno-zrnnými až jemnozrnnými pieskovcami. Pieskovce sú triedené lepšie než pieskovce magurskej fácie, obsah základnej hmoty je nízky.

Vrstvy dosahujú hrúbku 5—15 cm, majú  $T_{bc}$  a  $T_c$  zvrstvenia, alebo 10—200 cm (ojedinele viacej), ktoré majú charakteristické  $T_{bc}$ , respektívne  $T_{abc}$  a  $T_{ac}$  sekvencie, pritom gradačný interval je veľmi redukovaný a „b-c“ interval je často konvolútne deformovaný (tab. IV, obr. 1, 2). Pieskovce majú sekvencie typické pre normálne turbidity, prevažujú takzvané „base-cut“ sekvencie, sú porovnateľné s fáciami B 2/1 a C 2/1 D. Stowa (1985). Spodné plochy pieskovcov sú s erozívnymi stopami (flute) a časté sú aj bioglyfy typu *Helminthopsis* a podobne.

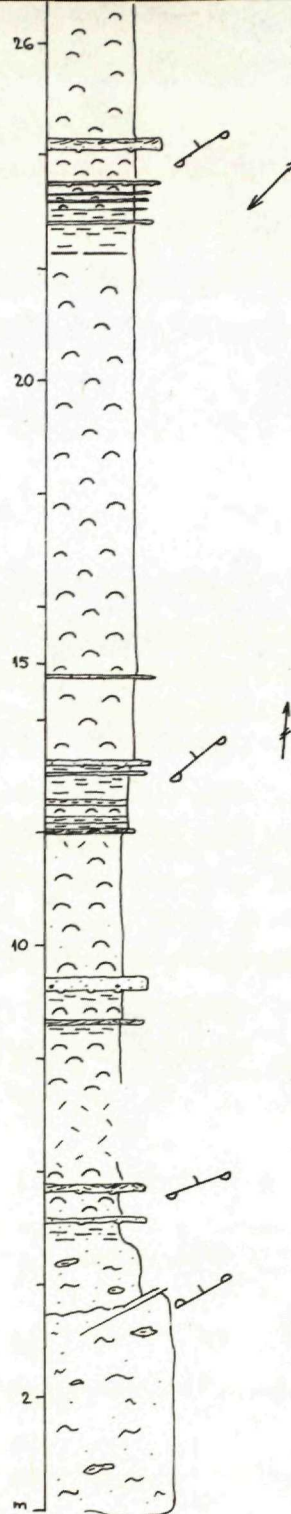
Pieskovce sú previazané dohora so zeleno- a hnadosivými ilovcami, zväčša vápnitými, s lastúrnatou odlučnosťou (typ bystrických ilovcov), miestami, najmä pri báze, sú dosť siltovité. Tvoria prirodzené pokračovanie sekvencie pieskovcových lavíc ako  $T_d$  interval. Ilovce dosahujú hrúbku 5—50 cm, ojedinele aj 250 cm.

Paleoprúdový vzor fácie je pomerne stály, rozptyl je  $45^\circ$  pre erózne a vlečné stopy,  $100^\circ$  pre šikmé zvrstvenia. Ojedinelé „abnormálne“ výchylky o  $90—170^\circ$  oproti prevládajúcemu smeru sme namerali v niekoľkých úrovniah na dokumentačnom profile H 88 (obr. 7). Podľa schémy D. Stowa (1985) možno fáciu umiestniť do prostredia piesčitých lalokov v ich spodnejšej časti, hoci niektoré spoluystupujúce fácie (F) nevylučujú aj uloženie pod svahom. Nemožno vylúčiť ani prípadnú lokalizáciu do medzilalokových priestorov, čomu by nasvedčovalo spoluystupovanie C a D fácií.

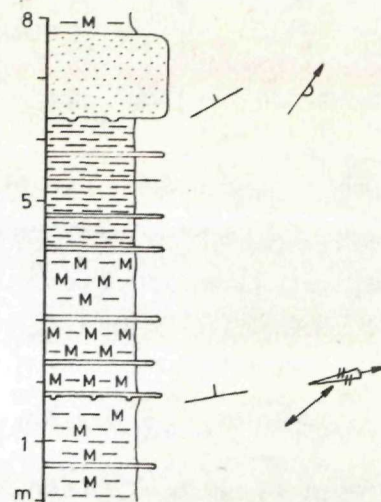
**Račovská fácia — C —** (obr. 4, 9) predstavuje takmer výlučne obsah vápnitých žltosivých, sivých a okrových ilovcov s guľovitou alebo lastúrnatou odlučnosťou (tab. VII, obr. 1), po zvetraní majú oranžovohnedú patinu. Ilovce 15—600 cm mocné obsahujú siltovú prímes, ktorá sa smerom do nadložia vytráca a možno ich považovať za sedimenty turbiditných prúdov ( $T_{de}$  A. BOUMA, 1962, E2—3 F. PIPER, 19, T5—7 D. Stow, 1985). Tenké vrstvičky 1—20 cm (ojedinele až 65 cm) jemnozrnných pieskovcov až siltovcov sú zriedkavé, obsahujú obvykle  $T_c$  zvrstvenie Boumu, respektívne T2 Stowa, či E1 Pipera. Pomer  $P \leq 0,15$ ,  $I = 0,2—1$ .

**Subfácia červených ilovcov — C2 —** je tvorená mierne siltovitými červenými, miestami červenohnedými vápnitými ilovcami. Sú vo vrstvách 20—60 cm, majú lastúrnatou odlučnosť, ich vystupovanie je viazané na žltosivé vápnité ilovce račovskej fácie (obr. 9).

V ilovcoch je redeponované spoločenstvo nanoplanktonovej flóry a planktonické foraminifery (pozri ďalej). Predpokladáme sedimentáciu zo zriedených turbiditných prúdov. Fácia indikuje prostredie mimo dosah silných a koncentrovaných turbiditných



Obr. 4 Litologický profil H 306 — Raciborský potok 1150 m jv. od k. 1225: račovské vrstvy, račovská fácia. Naspodku je teleso debritu (fácia F 3).



Obr. 5 Litologický profil H 91 — lesná cesta 800 m jv. od k. Prísllop (1032): malcovská fácia v raciborskom súvrství. Pieskovcová lavica v nadloži obsahuje glaukonit.

prúdov, teda svah, prípadne medzikanálové či medzilalokové uloženiny na náplavovom kuželi. Spolu s fáciami sklzových telies by fácia mohla determinovať aj podsvahové uloženiny.

*Malcovská fácia — D* — (obr. 5, 8, 10) je tvorená jemnozrnnými pieskovcami až siltovcami s hrúbkou vrstiev 3—15 cm, ojedinele až 25 cm s  $T_{ac}$  a  $T_c$  zvrstvením, prechádzajúcimi do vápnitých modrosivých, sivých a svetlých ílovcov s tabuľkovito-čriepkovitým rozpadom s hrúbkou vrstiev 10—100 cm. Niektoré ílovec sú slabo siltovité, čo by indikovalo sedimentáciu z chvosta turbiditného prúdu. Pomer  $P = 0,1—0,4$ , zriedkavo viacej (dok. bod H16),  $P = 1,2$ ; index zvrstvenia  $I = 0,7—1,3$ , priemerne 1,1.

Interpretácia: Fácia by mohla predstavovať okrajové uloženiny kužeľov, resp. uloženiny svahov a ich úpäťia, často sa s ňou spája fácia sklzových telies (F).

*Subfácia D2*. V podstate sú to tenké (1—5 cm) vrstvy *jemnozrnných muskovitických pieskovcov*, s výraznou šikmou lamináciou ( $T_c$ ). V nadloží pokračujú do sivých muskovitických ílovcov, len zriedkavo slabo vápnitých, s mocnosťou do niekoľko cm. Subfácia je viazaná na magurskú fáciu (A2), celkovo tvorí súbory s hrúbkou niekoľko centimetrov až málo metrov, označované ako tenkorytmický flyš (dok. bod H27, tab. II, obr. 2; obr. 8).

Interpretácia: Prostredie prikanálových hrádzí (levee) a medzikanálových rovní.

*Hruštinska fácia — E* — (obr. 7) — sú to lavice (25—200 cm) hrubozrnných až strednozrnných pieskovcov s gradačným zvrstvením, vo vrchnej časti lavíc sú jemnozrnné, s náznakom paralelného alebo šikmého zvrstvenia. Sekvencia zvrstvenia pieskovcov je  $T_{abc}$ ,  $T_{ab}$  alebo  $T_{ac}$ ; „b“ prípadne „c“ interval je obvykle konvolútne deformovaný. Na spodných plochách sú hojné prúdové stopy, bioglyfy sú zriedkavé. Pieskovce majú zvýšený obsah základnej hmoty (sú drobové), vo vyššej časti sú časté ploché útržky ílovcov s veľkosťou v priemere až do 15 cm. Dohora pieskovcové vrstvy prechádzajú do mierne piesčitých ílovcov s hrúbkou vrstiev 10—60 cm.

Interpretácia: Uloženiny turbiditných prúdov s pomerne dobrou vertikálnou differenciáciou, typickou pre vyzreté turbiditné prúdy. Sedimentovali na širokom voľnom priestranstve — medzilalokové sedimenty (?), respektíve z prúdov vylievaných priamo z kanálov po povrchu kužeľa v jeho nižšej časti.

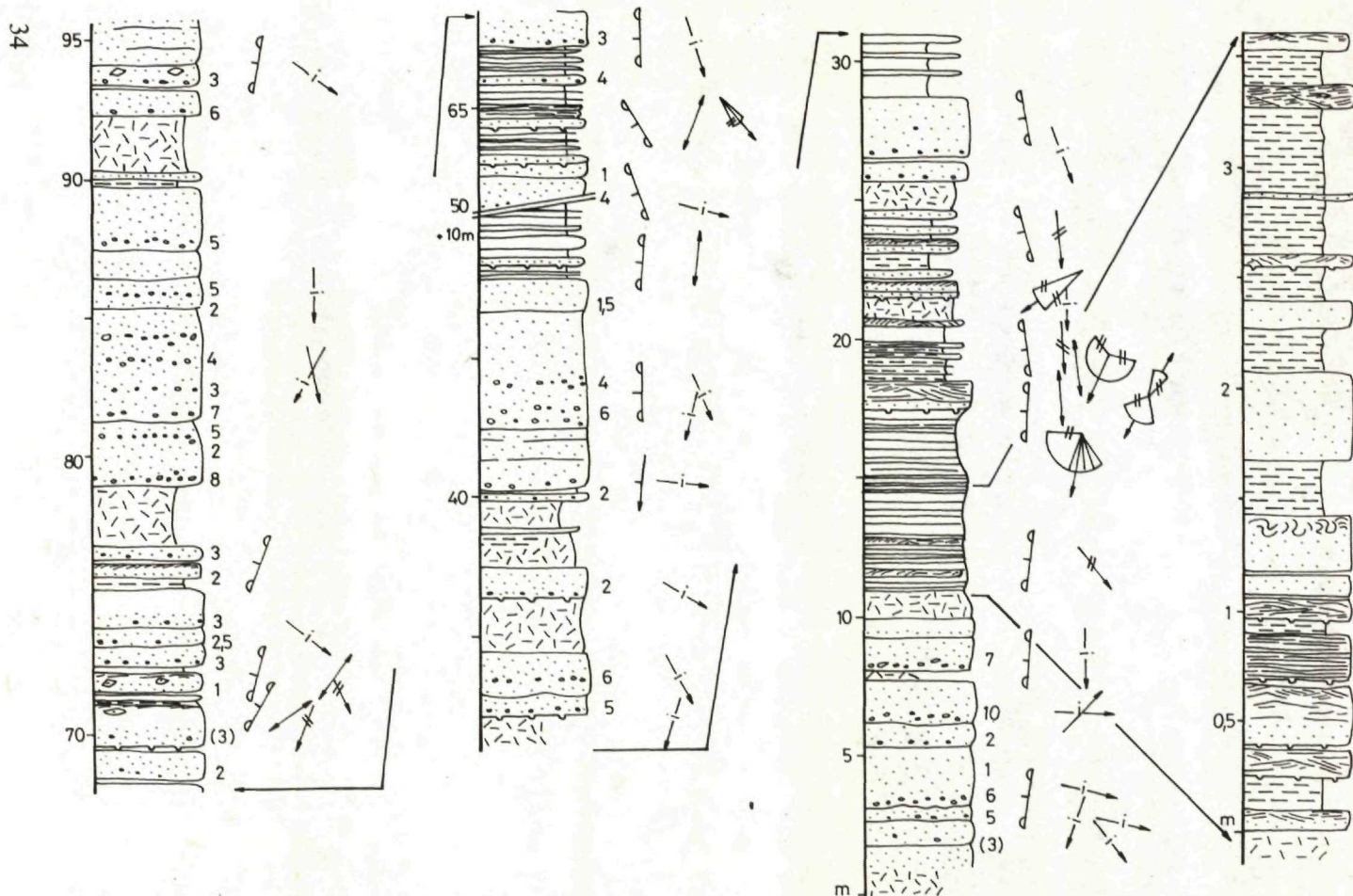
*Fácia sklzových telies — F 1* — sú to nepravidelné lavicovité telesá s hrúbkou 20—150 až 300 cm. Tvoria typické sklzy, t.j. potrhané, skĺznuté lavice pieskovcov a ílovcov, plasticky deformované. Materiál pochádza z bezprostredného podložia a okolia telies, nezistili sme cudzorodý materiál. Fácia sa vyskytuje v spojení s fáciami B a E (dokumentačné body H 88, H 168, tab. VI, obr. 3; obr. 7, 8).

Ku štruktúram deformovaným gravitačným sklzom po svahu radíme aj antiklinálne hrebienky konvolútnych deformácií pieskovcov. Vergencia (úklon) osovej roviny je v smere sklonu svahu. Tieto štruktúry sú viazané na štruktúry typ pieskovcov s vyvinutým  $T_{bc}$  zvrstvením magurskej (A2) a raciborskej fácie (tab. V, obr. 2).

Interpretácia: Deformácie nastávajú v dôsledku zvýšenia pórového tlaku vody v sedimente a následným pohybom dolu svahom — svahové sedimenty.

*Fácia suťotokov („debris flow“) — F 2* — v základnej ílovo-piesčitej hmote sú útržky pieskovcov, slieňovcov a ílovcov, niektoré plasticky deformované. Debrity — suťotoky tvoria v malcovskom súvrství telesá 1—4 m mocné (H 155).

Interpretácia: Sedimenty na úpätiach podmorských svahov, prípadne výplň pozdĺž eróznych stien kanálov a pod ich vyústením.



Obr. 6 Litologický profil H 100 — lesná cesta 2,2 km vsv. od k. 1225, 1 km jz. od k. Príslip (1032): magurské súvrstvie s prevládajúcou fáciou A 2. V dvoch úrovniach sa vyskytuje račovská fácia (B) — (v detaile vpravo) a subsfácia D'2 (uprostred).

*Fácia „sklzových pieskovcov“ — F 1 —* v základnej hrubozrnej piesčitej hmote sú útržky ilovcov s priemernou veľkosťou okolo 1 cm, hornina je veľmi zle triedená, telesá tvoria vrstvy s premenlivou mocnosťou cca 1—5 m. Vyskytuje sa v spojení s malcovskou (D) a račovskou (C) fáciou (obr. 4). Pieskovce sú porovnatelné s fáciou B11—A13 (K. PICKERING et al., 1986).

**Interpretácia:** Netriedený materiál svedčí o pomerne krátkom transporte vo forme debritov a hustých turbiditných prúdov, pravdepodobne tu ide o distálnu časť debris-flow. Uloženie pozdĺž svahov, pod ich úpätím, prípadne pod vyústením prívodných kanálov.

*Fácia pelokarbonátov — G —* v rámci tejto fácie rozlišujeme dve subfácie: slieňovcovú a subfáciu železitých pelokarbonátov.

*Fácia slieňovcov — G 1 —* táto fácia je tvorená vrstvami sivých a béžových slieňovcov vo vrstvách 5—250 cm hrubých, ojedinele však aj viacej. Miestami sú v nich nepravidelne rozmiestnené laminy so zvýšeným obsahom siltovej zložky. Siltové zrná sú kremenné, ale i z karbonátov. V Raciborskom potoku je vrstva slieňovca asi 4 m hrubá, hornina tu obsahuje hojné schránky globigerín (tab. XI, obr. 1—2). Niektoré slieňovcové vrstvy dohora plynule prechádzajú do vápnitých ilovcov bystrického typu. Subfácia sa viaže na raciborskú a račovskú fáciu (obr. 7).

**Interpretácia:** Podľa všetkého ide o hemipelagické uloženiny s nezanedbateľným podielom alochtónnnej prímesi. Siltové laminy indikujú prítomnosť stálych prúdov (dnové prúdy, kontury).

*Subfácia železitých pelokarbonátov — G 2 —* pelokarbonáty tvoria vrstvičky hrubé do 5 cm, prípadne sú vo forme diskovitých konkrécií s priemerom do 10 cm, uložených v stálych horizontoch. Konkrécie majú jadro z vápnitých sivých a žltých siltovcov a vápnitých ilovcov, obalené tmavohnedými hrdzavými peletkami stmelenými do agregátov. Na povrchu sú hrdzavé zvetrané obaly. Vrstvové typy sú z vápnitých ilovcov a železitých (hrdzavých) slieňovcov s konkrecionálnymi odmiešaninami, alebo s plynulými hrdzavými kôrami. Subfácia vystupuje v spojení s malcovskou (D) a račovskou (C) subfáciou (obr. 9).

**Interpretácia:** Nízky podiel, prípadne až neprítomnosť klastickej prímesi, tvorba konkrecionálnych útvarov a spojenie s fáciami, v ktorých je minimálny podiel pieskovcov z hustých turbiditných prúdov indikuje spomalenie rýchlosťi sedimentácie, obdobie bez prínosu terigénneho materiálu. Pravdepodobne tu ide o istú obdobu „hard-ground“.

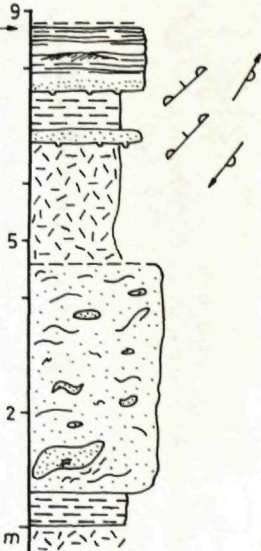
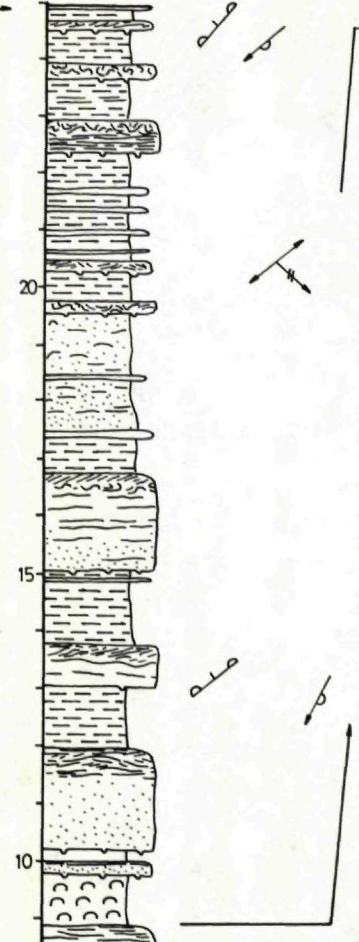
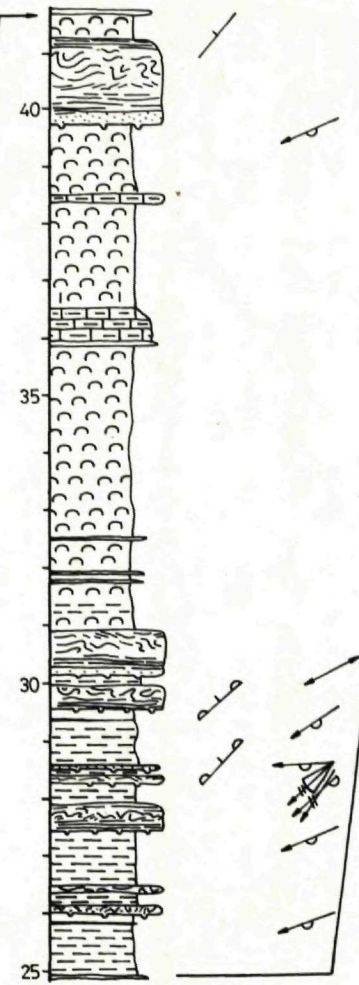
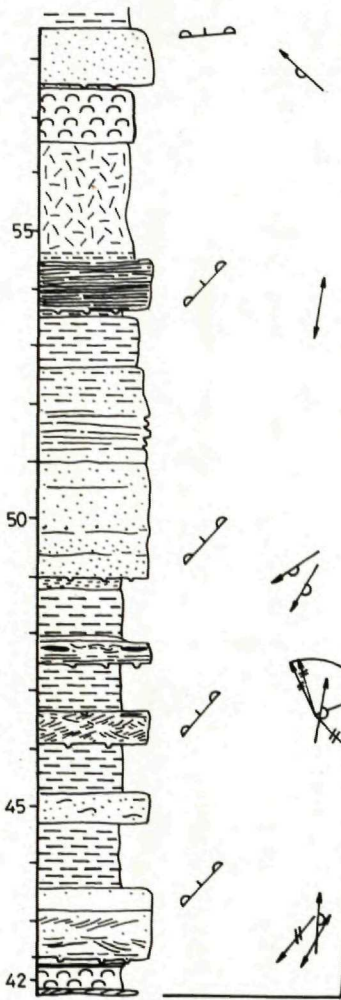
## Charakteristika súvrství a stratigrafia

V oblasti sme odlišili 3 základné súvrstvia: magurské pieskovce, raciborské súvrstvie s vyčlenenými račovskými vrstvami, malcovské súvrstvie a provizórne neformálne zábavné súvrstvie.

### Magurské súvrstvie

Základnou charakteristikou súvrstvia je úplná prevaha oceľovosivých drobových strednozrnných (ale i hrubozrnných) pieskovcov, uložených v laviciach hrubých od 20 do 200 cm — fácia A (obr. 2, 6). Pieskovce sú tvorené z prevažnej časti kremeňom, fyllitickými a svorovými horninami, menej živcami, žulovými úlomkami, rohovcami, prípadne ružovkastými kremencami. Bez zaujímavosti nie je ani obsah karbonátov v niektorých

36



vrstvách. Výsledky planimetrických analýz sú v tab. 1. Tieto litotypy nazývame „magurským typom“ pieskovcov — droby, drobové pieskovce a arkózy v zmysle Z. KUKALA (1985).

Ílovce v súvrství sú podradné, ich podiel vzrástá smerom do nadložia. V spodnej časti súvrstvia tvoria iba tenké preplástky, často vyklínajúce v dôsledku prúdovej erózie. Sú zelenosivé a hnedozelenkové, väčšinou s piesčitou prímesou a so šupinkami muskovitu. Ich zachované hrúbky sú od niekoľko mm po 3—4 cm. Miestami sa v súvrství vyskytujú tvrdšie tmavosivé ílovce, ojedinele aj slabo vápnité, v mocnosti 15—30 cm, obvykle viazané na intervale s lavičkami jemnozrnných šikmozvrstvených pieskovcov s hrúbkou do 20—35 cm (fácia B a D2). Takéto intervale sa vyznačujú vyšším indexom zvrstvenia ( $I = 1,5—3$ ) a vyšším podielom ílovcov ( $P = 0,2—0,9$ ) oproti priemeru z celého súvrstvia ( $I \geq 1,5$ ,  $P > 2,5$ ). Tieto intervale tenkorytmického flyšu sú v súvrství na viacerých úrovniach, dosahujú hrúbkou 1—13 m, väčšinou okolo 3 m (obr. 6a). Do nadložia v súvrství pribúda podiel raciborského faciotypu, a to v intervaloch mocných až do 15—20 m. Za hraničný a určujúci pre zaradenie do magurského súvrstvia považujeme aspoň 50 % podiel magurskej fácie a pomer  $P$  vyšší ako 1.

Tab. 1 Planimetrická analýza pieskovcov magurského litotypu

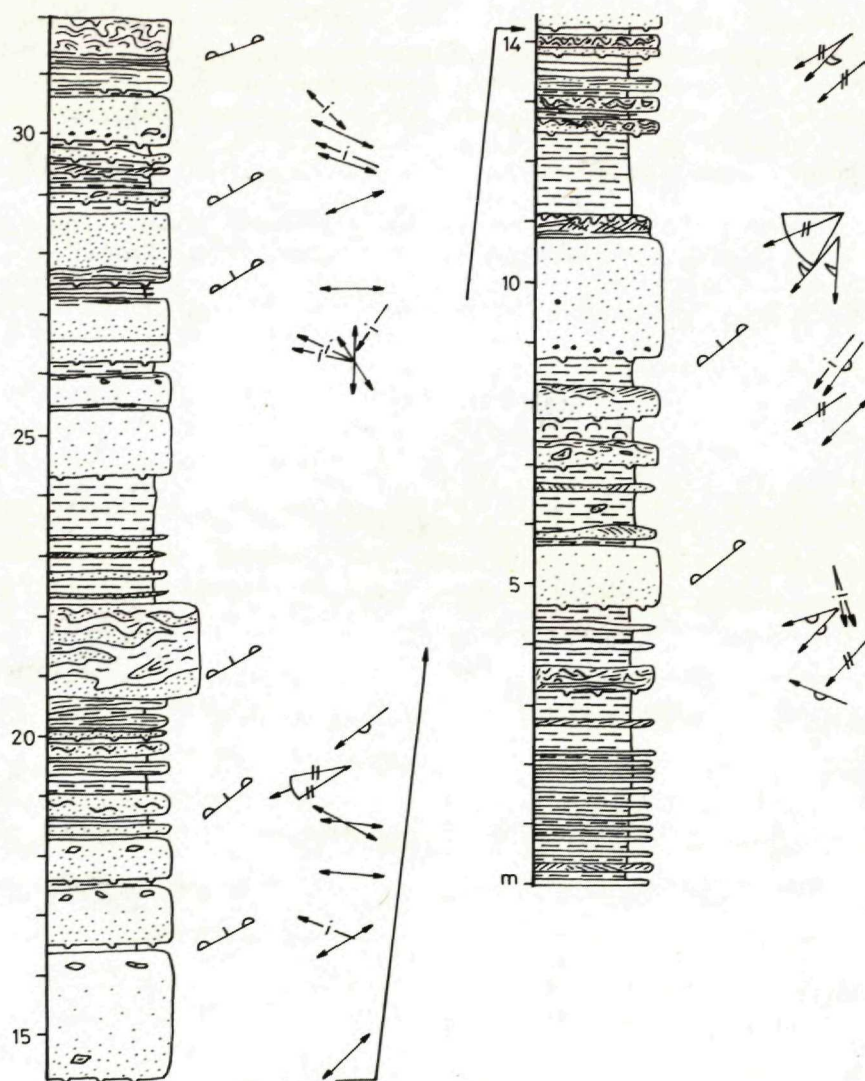
Dokument. bod	kremeň	živce	sludy	stabil. horn.	nestab. horn.	matrix	tmel	karbonáty	Zloženie pieskovcov vyjadrené symbolom (Z. KUKAL, 1985)	Pomenovanie pieskovcov podľa Z. KUKALA (1985)
Magurské súvrstvie										
11	61	2	1	1	4	15	11	5	$M_{15}Q_{84}F_2L_{14}C_{11}$	sz. vápnitá litická arkóza
120	60	12	7	0	2	6	12	1	$M_6Q_{74}F_1L_{11}C_{12}$	sz. vápnitá živcová arkóza
219	67	4	2	3	7	13	3	1	$M_{13}Q_{84}F_5L_{11}C_3$	oligomiktný dz. piesčitý zlepenc
Zábavné súvrstvie										
18	63	1	7	1	3	20	5	0	$M_{19}Q_{84}F_1L_{14}C_5$	jz. litická droba s prevahou kalc.
22	62	0	3	1	1	24	5	4	$M_{24}Q_{88}F_1L_{11}C_5$	sz. litická droba s prevahou kalc.
26	60	0	5	1	2	20	12	0	$M_{20}Q_{90}F_0L_{10}C_{12}$	jz. vápnitá litická droba
133	43	4	3	1	2	16	8	23	$M_{16}Q_{58}F_3L_{37}C_8$	jz. litická arkóza s prevahou kalc.
Raciborské súvrstvie										
32	58	1	0	0	1	35	4	1	$M_{35}Q_{95}F_2L_3C_4$	jz. litická droba
29	52	7	8	1	1	16	10	5	$M_{16}Q_{72}F_9L_{19}C_{10}$	sz. vápnitá litická arkóza
31	51	5	4	1	9	4	24	2	$M_4Q_7F_1L_{22}C_{24}$	hz. vápnitá litická arkóza
37	63	2	0	1	7	16	9	2	$M_{16}Q_{78}F_2L_{20}C_9$	sz. arkózový pieskovec

M — matrix F — živce

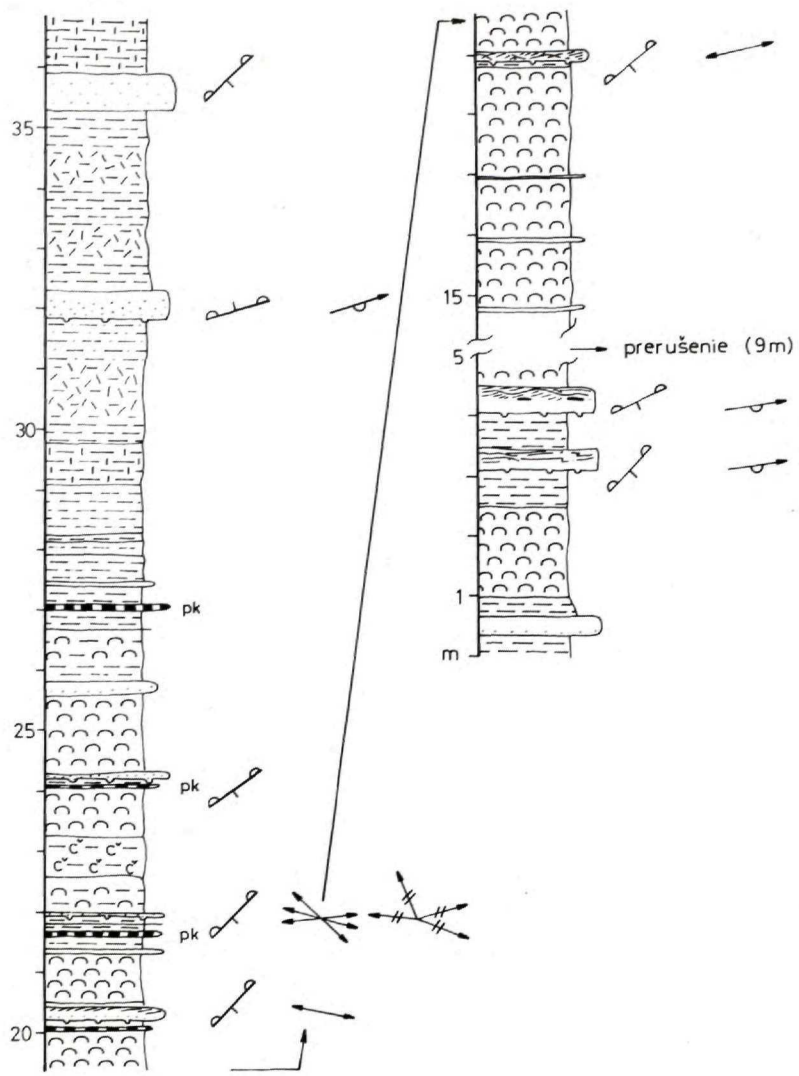
C — tmel

Q — kremeň L — úlomky nestabilných hornín \* klastická zložka je prepočítaná na 100 %

Obr. 7 Litologický profil H 88 — cesta k chate na Kubínskej holi 2,5 km jv. od k. Minčol (1396): typické raciborské súvrstvie v raciborskej fáci. Naspodku je sklozové teleso (fácia F 1—F 2). Uprostred sú dve vrstvy slieňovcov (G 1 fácia) s ílovcami račovskej fácie.



Obr. 8 Litologický profil H 168 — zárez vo svahu 2 km jv. od k. Minčol (1396): raciborské súvrstvie s fáciou raciborskou (B), magurskou (A 2), s fáciou sklzových telies (F 1) a s fáciou „tenkorytmického flyšu“ (D 2) v spodnej časti. Paleoprúdové merania v pieskovcoch „magurského typu“ ukazujú značný rozptyl smerov paleoprúdov (azimut 294-163).



Obr. 9 Litologický profil H 90 — lesná cesta 1200 m jv. od k. Príslop (1032): račovské vrstvy, račovská fácia. Typické je striedanie rôzne sfarbených vrstvičiek ilovcov s vložkami pelokarbonátov.

Magurská a raciborská fácia sa zastupujú laterálne na severovýchodnom svahu Kubínskej hole (Jaloviarka), kde tvoria zábavné súvrstvie. Na južných svahoch je v nadloží súvrstvia magurských pieskovcov raciborské súvrstvie.

Nanoplanktonové spoločenstvá z vápnitých ilovcov bežne obsahujú druhy: *Coccolithus pelagicus* (WALLICH) SCHILLER, *Chiasmolithus grandis* (BRAMLETTE et RIEDEL) RADOMSKI — (vz. H 291S, H 195S a 15S), *Ericsonia formosa* (KAMPTNER) — H 195S a H 291S, *E. subpertusa* (HAY — MOHLER) — (vz. H 15S a 291S), *Discoaster multiradiatus* BRAMLETTE et RIEDEL — (vz. 15S a H 195S), *D. gemmeus* STRADNER, *D. cf. diastypus* BRAMLETTE et SULLIVAN — (vz. 195S), *D. barbadiensis* TAN, *Ellipsolithus macellus* (BRAMLETTE et SULLIVAN) SULLIVAN — (vz. 15S), *Fasciculithus involutus* BRAMLETTE et SULLIVAN — (vz. H 15S), *Heliolithus cf. kleinpellii* SULLIVAN — (vz. 15S a 291S), *Lophodolithus nascens* BRAMLETTE et SULLIVAN — (vz. H 15S a H 291S), *Sphenolithus moriformis* (BRÖNNIMAN et STRADNER) SULLIVAN, *Sph. radians* DEFLANDRE, *Toweius eminens* (BRAMLETTE et SULLIVAN) PERCH-NIELSEN, *Transversopontis pulcher* (DEFLANDRE et FERT) PERCH-NIELSEN — (vz. H 15S), *Zygrhablithus bijugatus* (DEFLANDRE et FERT) DEFLANDRE — (vz. 195S) a množstvo preplavených kriedových druhov. Tieto spoločenstvá indikujú popri všeobecnom nedostatku diskoasterov vrchnopaleocénny až spodnoeocénny vek. Charakter spoločenstva nie je jednoznačne autochtonný, pravdepodobne ide o preplavené pseudospoločenstvo (tab. XII, XIII).

Je zaujímavé, že z množstva vzoriek na palynomorfy iba jediná (H 291) poskytla chudobné spoločenstvo: *Gemmatoспорis europeus* KDS., *Zonalapollenites maximus* (RATZ) WKR., *Pterospermopsis microptera* DEFLANDRE et COOKSON (určila P. SNOPKOVÁ).

Vo výplavoch boli zistené iba širokorozsahové aglutinované foraminifery *Dendrophrya excelsa* GRZYBOWSKI, *D. latissima* GRZYBOWSKI, *Bathysiphon nodosariformis* SUBOTINA (zo vzorky H 99), *Dendrophrya robusta* GRZYBOWSKI, *Trochamminoides trifolius* (GRZYBOWSKI), *Ammodiscus* sp., *Rhabdammina discreta* BRADY, *Hyperammina subnodososa* BRADY, *Trochamminoides vermetiformis* GRZYBOWSKI, *Globoseirella serpens* (GRZYBOWSKI), (vo vzorke H 189); *Rhabdammina linnearis* BRADY a *Trochamminoides coronatus* BRADY (vo vzorkách H 195 a H 291) a naviac *Trochamminoides trifolius* (GRZYBOWSKI) v poslednej vzorke. Tieto druhy majú stratigrafický rozsah vrchná krieda — paleocén, respektíve až spodný eocén. Okrem toho vo výbruse pieskovca z dokumentačného bodu 11 na severnom svahu Kubínskej hole (s. od k. Čierny vrch) sme našli stielky rias *Lithothamnum controversum* LEMOINE a ? *Amphiroa propria* LEMOINE, vyskytujúce sa od paleocénu (hojné sú napríklad v hričovskopodhradskom paleocéne (O. SAMUEL — K. BORZA — E. KÖHLER, 1972).

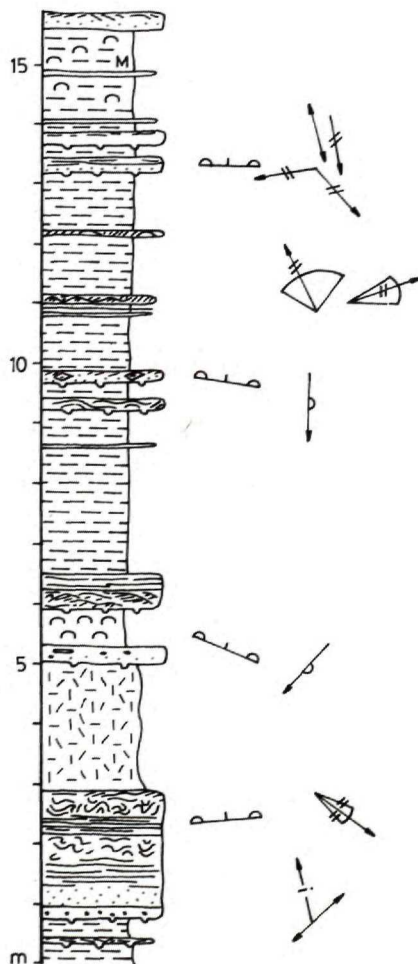
Celkove súbor mikrofosílií vylučuje starší vek než je vrchný paleocén; spodnoeocénny vek je preukázaný a sú náznaky, že by súvrstvie mohlo zasahovať aj do stredného eocénu, keďže predpokladáme jeho laterálny prechod (prepojenie) do zábavného súvrstvia, kde sa v pieskovcoch magurskej fácie vyskytujú aj redeponované spodnoeocénne globigeriny (pozri ďalej). Preto stratigrafické rozpätie súvrstvia magurských pieskovcov považujeme za vrchný paleocén až stredný eocén a potvrdzujeme tak predtým stanovený vek z oblasti Oravskej Magury (M. POTFAJ, 1983).

Celkovú hrúbku magurského súvrstvia v oblasti Kubínskej hole odhadujeme maximálne na 1100 m. Vzhľadom na komplikované, nie jednoznačne superpozičné vzťahy tohto súvrstvia k okolným treba vzťahovať tieto údaje úzko na oblasť Kubínskej hole, prípadne na jej časti. Magurské súvrstvie by malo reprezentovať sedimenty osovej zóny vyššej časti náplavového kužeľa pri vyústení prívodných kanálov, ale aj sedimenty naložených lalokov v strednej časti kužeľa (subfácia A2), čiastočne zahŕňa aj okrajové (prechodné) zóny do medzilalokových sedimentov.

## Raciborské súvrstvie

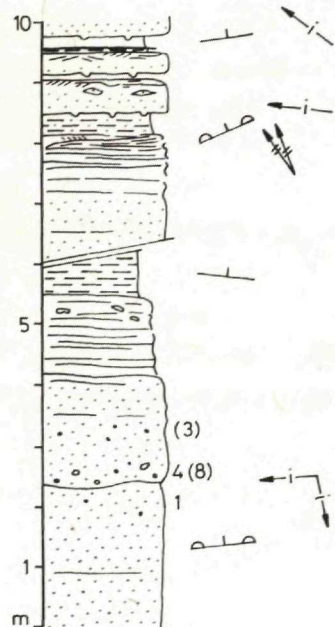
V nadloží i v laterálnom pokračovaní magurského súvrstvia vystupuje po celom areáli ich výskytu v Oravskej Magure a na Kubínskej holi flyšové súvrstvie s vyšším obsahom ilovcov a s jemnozrnnými až strednozrnnými pieskovcami. Už na prvý pohľad sa toto súvrstvie líši od podložného (obr. 7). Ohraničenie voči magurským pieskovcom je plynulé, aj keď pomerne náhle. Názov sme zvolili podľa potoka Racibor na južnom svahu Kubínskej hole, v ktorom je odkryty aj typový profil súvrstvia. V rámci raciborského súvrstvia vyčleňujeme interval s absolútou prevahou vápnitých ilovcov a označujeme ho ako račovské vrstvy (pozri ďalej).

Raciborské súvrstvie je tvorené raciborským faciotypom (B) s menším podielom račovského (C) a malcovského (D) faciotypu.

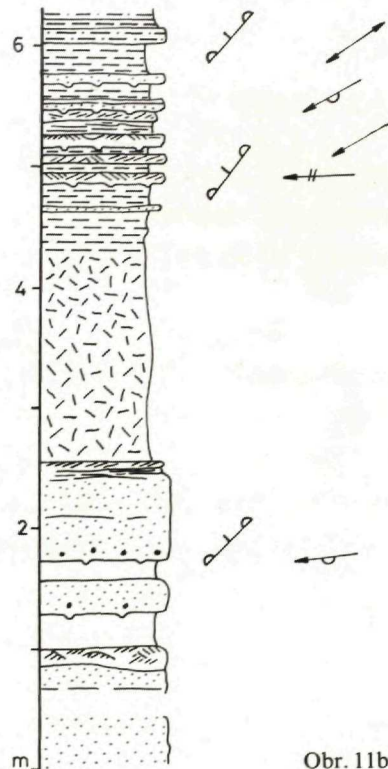


Obr. 10 Litologický profil H 16 — zárez 600 m v. od k. Príslip (1032): raciborské súvrstvie, malcovská fácia (D) vo vyššej časti; dolu — raciborská fácia. Všimnite si vysoký rozptyl smerov palopeprudov.

Pieskovce raciborského súvrstvia sú prevažne jemnozrnné až strednozrnné, s pomerne vysokým obsahom karbonátových úlomkov vo vrstvách hrubých 5—35 cm, nezriedka až 90 cm, hrubšie lavice (do 2,5 m) sú ojedinelé. Prevládajú v nich zvrstvenia typu  $T_{bc}$ ,  $T_{abc}$ , respektíve  $T_{ac}$ , pritom „c“ intervale sú často konvolútne deformované. Na spodných plochách sú vyvinuté výrazné erózne prúdové stopy. Okrem toho sú prítomné, najmä v spodnej časti súvrstvia, aj hrubozierné až strednozrnné drobové pieskovce magurského typu (A) v laviciach mocných 0,6—1,5 m. Na niekoľkých úrovniach sú v súvrství 1—4 rôzne sklzové telesá (fácia F2 a F3) tvorené piesčitou hmotou s útržkami ilovcov



Obr. 11a



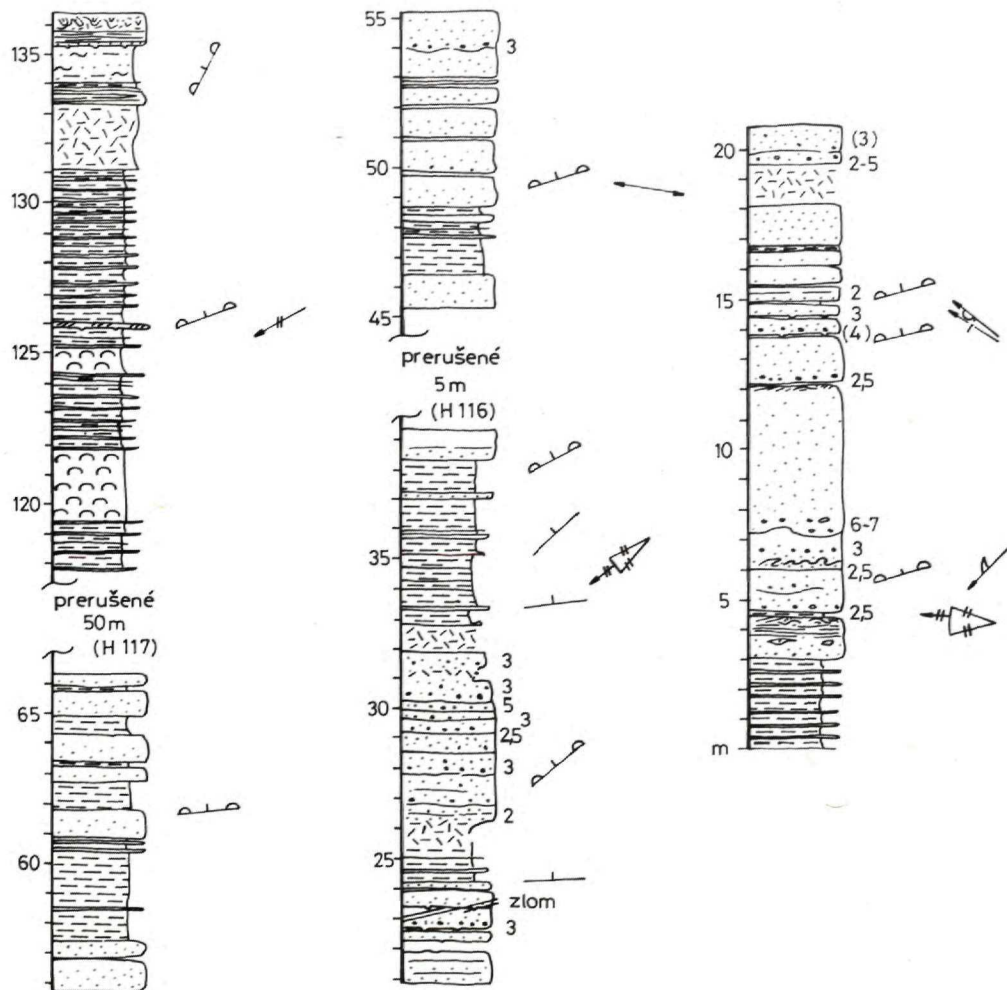
Obr. 11b

Obr. 11 a-b-c Litologické profily dokumentujúce rôzne typy prechodu (rozhrania) raciborského a magurského súvrstvia.

Obr. 11 a Profil H 110-111 — zárez 800 m jjv. od k. 1225: tektonicky porušený styk, dolu magurská fácia, hore raciborská fácia. Vrchná časť magurského súvrstvia.

Obr. 11 b Profil H 189 — potok 900 m jjv. od k. Príslip (1032): v spodnej časti magurská fácia, vyššie raciborská fácia, najnižšia časť raciborského súvrstvia.

a pieskovcov (obr. 8). Vyššia časť súvrstvia obsahuje lavice tvrdých slieňovcov s hrúbkou 15—300 cm (subfácia G1) a lokálne vložky Fe pelokarbonátov, prípadne ich konkrécií (subfácia G2).



11c Profil H 116—117 — Zárez 900 m jjz. od k. 1225: najvyššia časť magurského súvrstvia (po metráž 65) a najnižšia časť raciborského súvrstvia (nad prerušením).

V záreze lesnej cesty a v potoku asi 1 km jjz. od sedla Prísllop (k. 807,4) sú v súvrství aj polohy červených vápnitých ilovcov s hrúbkou 35—60 cm (fácia C2). Ich úlomky sme našli aj v náplave potoka Račová, 2,2 km j. od k. Prísllop 1032,1.

Pre súvrstvie je typický aj profil v záreze cesty z Beňovej Lehoty k chate na Kubínskej holi, 1700 m j. od k. Čierny vrch 1317,7 (dok. bod 88). Tu sa vyskytujú aj vrstvičky čiernych a hniedosivých ilovcov, hrubé 10 cm, na báze jednej tmavohnedej vrstvy s hrúbkou 240 cm je slieňovec (40 cm) typu „lackého“ (fácia G1) s lavičkou (18 cm) laminovaného siltovitého slieňovca v nadloži.

Pre celé súvrstvie je pomer P v rozmedzí 0,2—0,9; I = 0,9—6.

Vo vápnitých ilovcoch raciborského súvrstvia sme zistili pomerne bohaté pseudospoločenstvá nanoplanktonu, skladajúce sa zo spoločenstiev viacerých vekových úrovní. Zastúpené sú kriedové rody (často výlučne H 328t, H 324/2, H 324): watznauerie, predkosféry, eifelity, archangelskiely, mikuly; paleocénne rody: toweiusy, kručiplakolity, fascikulity; spodnoeocénne rody: diskostastry, sfénolity, chiasmolity. Z najmladších druhov sme zaregistrovali predovšetkým *Discoaster nonaradiatus* KLUMP, *D. cf. saipanensis* BRAMLETTE et RIEDEL (H 311/2) — rozhranie magurských pieskovcov a raciborského súvrstvia (H 308), *Discoaster cf. tani nodifer* BRAMLETTE et RIEDEL (H 315ž), *Chiasmolithus gigas* (BRAMLETTE et SULLIVAN) RADOMSKI, *Ch. eogradis* PERCH-NIELSEN, *Ch. medius* PERCH-NIELSEN, *Dictyococcites* sp. (H 308), ktoré sa vyskytujú prevažne od stredného eocénu. Červené vápnité ilovce (H 308č) obsahujú z mladších druhov: *Chiasmolithus medius* PERCH-NIELSEN, *Ch. gigas* (BRAMLETTE et SULLIVAN), *Ericsonia formosa* (KAMPTNER) HAQ, *Discoaster ex gr. saipanensis* BRAMLETTE et RIEDEL, úlomok ? *Reticulofenestra cf. umbilica* (LEVIN) MARTINI et RITZKOWSKI, ktoré takisto indikujú strednoeocénny vek a vyskytujú sa v zmešanom spoločenstve s ostatnými paleocénno-eocénymi druhami podobne ako v žltých ilovcoch.

Ilovce spodnejšej časti raciborského súvrstvia sú veľmi chudobné na obsah foraminifer. Prevažujú priebežné druhy z rabdamínovo-dendrofryovej zložky a pyritizované jadrá diskoidného tvaru, ktoré sa väčšinou vyskytujú v strednoeocénnych fáciách magurskej jednotky i vnitrokarpatského paleogénu. To znamená, že z opisovanej oblasti nemáme podľa foraminifer priame dôkazy o ich veku. Najmladšie stratigrafické formy nanoplanktonu dovoľujú interpretovať ako najstarší strednoeocénny vek. Na základe tohto faktu paleocénne druhy *Hormosina ovulum ovulum* GRZYB., *H. ovulum gigantea* GEROCH, *Planorotalites compressa* PLUMMER, *Globigerina pseudobulloides* PLUMMER, *G. triloculinoides* PLUMMER, *G. trivalis* SUBBOTINA, zistené z tohto súvrstvia (dok. bod 70), považujeme za preplavené, v prospech čoho by sa prihovárala aj planktonická zložka spoločenstva, ktorá v magurskej jednotke na úrovni paleocénu nie je vôbec známa.

Za jednu z klúčových informácií pokladáme určenie planktonických foraminifer zo slieňovcov v najvyššej časti súvrstvia v Raciborskom potoku (H 328 a H 329). Ide o spoločenstvo v prevažnej miere reprezentované malými globigerínami s rozmerom schránok od 0,01 do 0,02 mm; veľmi zriedkavo nad 0,02—0,3 mm (výbrus 329/2). Vychádzajúc z doterajších skúseností zo Západných Karpát sú asociácie „malých“ globigerín viazané na litastratigrafické jednotky s vekovým diapazónom vrchný priabón až spodný oligocén (malcovské súvrstvie, menilitovo-krosnianska fácia, bielopotocké súvrstvie atd.). „Malé globigeríny“ počtom komôrok (3 1/2—4) i rozmermi majú najväčšiu afinitu s druhom *Globigerina officinalis* (SUBBOTINA, 1953), ktorého vekový diapazón sa v literatúre uvádza v rozsahu najvyšší priabón až spodný oligocén. Takéto rozšírenie má aj v Západných Karpatoch, kde jeho prvé objavenie (najvyšší priabón) je datované aj inými skupinami (veľké foraminifery, nanoplankton, sporomorfy) mikrofosílii.

K oveľa bežnejším formám patria štyri a pol až päťkomôrkové globigeríny s tenden-

ciou k planispirálnemu vyvinutiu schráňky. Takéto typy sa bežne vyskytujú v asociáciach s vyššie spomínaným druhom *Globigerina officinalis* SUBBOTINA. Podľa základných diagnostických znakov (rozmery — 0,01—0,02 mm, počet komôrok, planispirálne vinutie) sú takéto formy identické s druhom „*Globigerina*“ *liverovskae* (BYKOVA, 1960), ktorý bol opísaný z chadumského súvrstvia oligocénneho veku. Z rovnakej stratigrafickej úrovne ako *Globigerina postcretacea* MJATLYUK ho uvádza i N. N. SUBBOTINA (1953) zo severného Kaukazu z bolivinovej biozóny (spodný oligocén). Prvé objavenie spomínaného druhu nie je v literatúre uvádzané jednotne. Väčšia časť sovietskych autorov uvádza spodnú hranicu zo spodného oligocénu, kým iní pripúšťajú jeho prvé objavenie už v najvyššom priabóne. Na základe výskumov zo Západných Karpát môžeme však konštatovať, že formy, ktoré označujeme ako „*Globigerina*“ *liverovskae* (BYKOVA, 1960), sa objavujú oproti druhu *Globigerina officinalis* (SUBBOTINA, 1953) s určitým časovým oneskorením. Za predpokladu, že hranicu medzi eocénym a oligocénym útvarom akceptujeme medzi biozónou P 17/P 18, prvé objavenie predmetného druhu by indikovalo už spodný oligocén.

Ďalšími, vzácnymi sú vyskytujúcimi, sú 4 1/2—5-komôrkové, nízko trochošpirálovite vinuté, rozmermi tiež „male“ exempláre. Tieto formy majú najviac spoločných znakov s druhom *Globigerina postcretacea*, ktorý prvýkrát opísala E. V. MJATLYUK (1950) z kosmačského (= poljanického) súvrstvia flyšového pásma Východných Karpát. Uvedené súvrstvie sa považuje za mladšie ako eocén (oligocén, respektívne až spodný miocén). V Západných Karpatoch Slovenska sa spomenutý druh objavuje viac-menej synchrónne s druhom „*Globigerina*“ *liverovskae* (BYKOVA, 1960).

Štvrtou, sporadicky sa vyskytujúcou formou je druh *Chiloguembelina gracillima* (ANDREAE, 1884). Od typického druhu sa odlišuje menšími rozmermi schráňky a menším počtom komôrok. Z fylogenetického hľadiska ide o ancestrálnu formu typického druhu *Chiloguembelina gracillima* (ANDREAE, 1884). Formy tohto typu opisuje B. LEŠKO — O. SAMUEL (1968), resp. O. SAMUEL — J. SALAJ (1968) z malcovského súvrstvia východoslovenského flyšového pásma i z najvyšších častí vnútrokarpatského sedimentačného cyklu.

Uvedené identifikované taxóny indikujú spodný oligocén, v krajinom prípade najvyššiu časť priabónu.

Nanoplankton v tých istých slieňovcoch zastupujú výlučne kriedové druhy: *Micula decussata* VEKSHINA, *Prediscosphaera ex gr. cretacea* ARKHANGELSKY, *Watznaueria barnesae* PERCH-NIELSEN a *Calculites* sp. Z ilovcov v podloží slieňovca sme získali iba chudobné asociácie vrchnej kriedy (H 328t) a zmiešané vrchnokriedovo-paleocénne pseudoasociácie (H 328s).

V tejto súvislosti je zaujímavé, že v smere od V na Z pozorujeme narastajúce množstvo vzoriek s obsahom redeponovaných spoločenstiev vápnitého nanoplanktonu, mladšie druhy sme našli prevažne v severovýchodnej a východnej časti územia. Určité triedenie pozorujeme aj vo vertikálnom smere; čím mladšie vrstvy, tým viacej obsahujú staršie (kriedové) spoločenstvá, ako keby dochádzalo k postupnej, progresívnej erózii v zdrojovej zóne a v raciborskem súvrství sa ukladal materiál z erodovaných, stále starších (flyšových?) vrstiev.

Už napríklad spomenutý profil H 88 (obr. 7) z piatich skúmaných ilovcových horizontov poskytol iba spodnoseocénne spoločenstvá aglutinovaných foraminifer a paleocénne nanoplanktonové spoločenstvá s hojnými fascikulitmi *toweiusmi*, s *Heliolithus riedeli* BRAMLETTE et SULLIVAN, *Cruciplacolithus tenuis* (STRADNER) HAY et MOHLER, *Chiasmolithus danicus* (BROTZEN) HAY et MOHLER, *Zygodiscus sigmoides* BRAMLETTE et SULLIVAN, *Ericsonia subpertusa* HAY et MOHLER, s bohatými redeponovanými kriedovými spoločenstvami.

Jedine vzorky H 88A a H 88/KH 1 poskytli mladšie druhy naznačujúce redepozíciu celého paleocénneho spoločenstva (H 88A — *Lophodolithus nascens* BRAMLETTE et SULLIVAN, *Ericsonia cf. formosa* (KAMPTNER) HAQ a H 88 KH 1 — čierne vápnité ilovce: *Chiasmolithus cf. oamaruensis* (DEFLANDRE) HAY, MOHLER et WADE, *Discoaster* sp. (ex gr. *barbadiensis*), *Chiasmolithus expansus* (BRAMLETTE et SULLIVAN) GARTNER a *Nanotetrina* sp.

Preto sme s určitou úlavou a už bez prekvapenia vzali na vedomie nález niekoľkých schránek drobných globigerín z okruhu *Globigerina officinalis* SUBBOTINA a *G. lioverovskae* (BYKOVA) vo výbruse z najjemnejšej frakcie vápnitého pieskovca (H 88b). Uvedené druhy sú prakticky identické s formami, ktoré sme našli v sleňovcovej vrstve.

Na základe uvedených mikrobiostatigrafických rozborov pripisujeme raciborskému súvrstiu strednoeocenný až spodnooligocenný vek. Spodná hranica pritom zostáva sporná — teoreticky nemôžeme vylúčiť, že zasahuje až do spodného eocénu, a to smerom na S—SV, kde predpokladáme laterálny prechod cez zábavné súvrstvie do magurského súvrstvia.

Celkovú hrúbku raciborského súvrstvia v priestore Kubínskej hole odhadujeme na 600 m. Raciborské súvrstvie v podstate zahŕňa tzv. „prechodné“ vrstvy, opisované z Oravskej Magury (M. POTFAJ, 1983).

#### Račovské vrstvy

Račovské vrstvy sme vyčlenili uprostred raciborského súvrstvia na základe absolútnej prevahy vápnitých ilovcov (obr. 9), ktoré miestami tvoria vrstvy hrubé 2 až 9 m (fácia C). Názov sme dali podľa potoka Račová na južnom svahu Kubínskej hole.

Ilovce sú zelenkavosivé, hnedašivé a po zvetrani okrovoožlté, prípadne žltohnedé, na plochách lastúrnatej a guľovitej odlučnosti sa vytvára okrovohnedá patina. Pieskovce sú zastúpené podradne, vo vrstvách hrubých 1—10 cm so šíkmým zvrstvením, s nevýraznými odtačkami prúdových stôp a bioglyfmi. Ojedinele sa vyskytuju vrstvy (0,5—2 m) hrubožrnných až strednožrnných drobových pieskovcov s gradačným zvrstvením. Zriedkavé sú aj vrstvy (1—3 m) rozpadavých hrubožrnných zaľovaných pieskovcov s pieskovcovými guľami a ilovcovými útržkami (fácia typu F3). Pomer pieskovcov/ilovce je v rozsahu  $P = 0,08$ — $0,4$ , index zvrstvenia I je menší ako 0,6. Hrúbku račovských vrstiev na typovom profile v Račovskom potoku odhadujeme na 150 m, laterálne — smerom na SV i na JZ však vykliňujú, ich výskyt možno sledovať na cca 4 km. Pozoruhodný je paleoprúdový obraz vrstiev, ktoré majú prevažnú väčšinu stôp a štruktúr naznačujúcich transport materiálu od JZ k SV.

Vek vrstiev je definovaný v rámci raciborského súvrstvia ako stredný eocén, zistené spoločenstvá nanoplanktonu a mikrofauny neumožňujú presnejšie datovanie. Napríklad vzorka H 84 zo žltých ilovcov obsahuje okrem redeponovaných stredno- a vrchnokriedových druhov i paleocénne (towensis, fasciculity, *Cruciplacolithus tenuis* (STRADNER) HAY et MOHLER, *Chiasmolithus bidens* (BRAMLETTE et SULLIVAN), HAY et MOHLER, *Discoaster multiradiatus* BRAMLETTE et RIEDEL, zvlášť typický je *Ellipsolithus macellus* (BRAMLETTE et SULLIVAN) SULLIVAN a spodnoeocéenne druhy: (*Tribachiatus orthostylus* SHAMRAY, *Sphenolithus radians* DEFLANDRE, *Chiphragmalithus acanthodes* BRAMLETTE et SULLIVAN, *Transversopontis* div. sp., *Discoaster diastypus* BRAMLETTE et SULLIVAN, *D. binodosus* MARTINI, *D. barbadiensis* TAN, *D. salisburyensis* STRADNER, *D. kuepperi* (STRADNER)).

Strednoeocenný vek indikujú druhy: *Chiasmolithus modestus* PERCH.-NIELSEN Ch. ex gr. *gigas* (BRAMLETTE et SULLIVAN) RADOMSKI, *Discoaster bifax* BUKRY, *Cribracentrum reticulatum* PERCH.-NIELSEN, *Reticulofenestra cf. placomorpha* (KAMPTNER) STRADNER, *Sphenolithus cf. pseudoradians* BRAMLETTE et WILCOXON. K nim pristupujú v zelených ilovcoch (H 84z): *Nannotetrina fulgens*

(STRADNER) ACHUTAN et STRADNER, *Discoaster saipanensis* BRAMLETTE et RIEDEL, *Reticulofenestra cf. hillae* BUKRY et PERCIVAL.

Vzhľadom na zmiešaný charakter spoločenstva je na mieste otázka jeho autochtonity. Podobný charakter má aj spoločenstvo z lokality H 16, kde najmladšie druhy sú *Chiasmolithus gigas* (BRAMLETTE et SULLIVAN) RADOMSKI, *Ch. cf. modestus* PERCH.-NIELSEN, *Discoaster cf. germanicus* MARTINI, *D. gemmeus* STRADNER, *D. ex gr. gemmifer* STRADNER, *D. nonaradiatus* KLUMPP, *Nannotetrina fulgens* (STRADNER) ACHUTAN et STRADNER a *N. cristata* (MARTINI) PERCH.-NIELSEN v rozpáti zón NP 15—17.

### Zábavné súvrstvie

Na severnom svahu Kubínskej hole medzi dolinou Jaloviarky (500 m z. od k. 1032,1 — Príslop) a Zábavou (cca 2 km s. od k. 1224,5) je súvrstvie, ktoré sa skladá zo striedajúcich sa úsekov magurského faciotypu (A 2) a raciborského (B) a malcovského (D) faciotypu. Jednotlivé pasáže majú mocnosť 10—200 m. Zjavne tu ide o prstovité prelínanie sa magurského a raciborského súvrstvia (a teda i fácií). Pretože v tejto etape nemáme možnosť stanoviť rozsah tohto prelínania pre nedostatočné odkrytie a tektonický charakter niektorých úsekov zistených hraníc, definujeme provizórne neformálne súvrstvie, ktoré nazývame podľa horárne Zábava — zábavné súvrstvie. Celkový pomer zastúpenia litofaciálnych typov je v rámci súvrstvia zhruba vyrovnaný, v detailoch sa mení podľa situovania lokality v proximálnejšej (vyšší podiel magurského, ale maximálne do 50 %) alebo distálnejšej časti vzhľadom na os magurských kanálov/lalokov. Maximálnu hrúbku zábavného súvrstvia v jeho typovom profile pozdĺž lesnej cesty Zábava—Príslop odhadujeme na cca 900 m, a to na základe teoretického prepočtu. Ak priprústíme tektonické znásobenie hrúbky, možno uvažovať s mocnosťou do cca 700 m.

Z ilovcov v raciborskej fácii, v potoku Jaloviarka vo vyššej časti súvrstvia (vzorka H 22), sme určili okrem redeponovaných druhov kriedy a paleocénu ako najmladšie *Discoaster cf. gemmeus* STRADNER, *D. barbadiensis* TAN, *Chiasmolithus cf. eograndis* PERCH.-NIELSEN, *Coccolithus eopelagicus* (BRAMLETTE et RIEDEL) BRAMLETTE et SULLIVAN. Zo vzorky H 24, 400 m v podloži predchádzajúcej, sú okrem redeponovaných druhov z kriedy *Coccolithus cf. eopelagicus* (BRAMLETTE et RIEDEL) BRAMLETTE et SULLIVAN, *Ericsonia formosa* (KAMPTNER) HAQ, *Pontosphaera plana* (BRAMLETTE et SULLIVAN) HAQ, *Chiasmolithus ex gr. grandis* (BRAMLETTE et RIEDEL) RADOMSKI, *Ch. californicus* (SULLIVAN) HAY et MOHLER, *Ch. solitus* (BRAMLETTE et SULLIVAN) LOCKER, *Discoaster barbadiensis* TAN, *D. multiradiatus* BRAMLETTE et RIEDEL, *D. mediosus* BRAMLETTE et SULLIVAN, *D. bramlettei* MARTINI, *D. salisburyensis* STRADNER, *D. mohleri* BUKRY et PERCIVAL, *D. binodosus* MARTINI, *D. megastypus* BRAMLETTE et SULLIVAN, *Lophodolithus nascentis* BRAMLETTE, *Tribrachiatius bramlettei* (BRÖNNIMANN et STRADNER) DECIMA et al. Hojné sú paleocénne *Ellipsolithus macellus* (BRAMLETTE et SULLIVAN) SULLIVAN, *E. distichus* (BRAMLETTE et SULLIVAN) SULLIVAN, *Transversopontis pulcher* (DEFLANDRE et FERT) PERCH.-NIELSEN, *Neochiastozygus junctus* (BRAMLETTE et SULLIVAN) PERCH.-NIELSEN, bežné sú *Toweius pertusus* (SULLIVAN) ROMEIN a *T. callosus* PERCH.-NIELSEN a fascikulty.

Už z tohto prehľadu je nápadná druhová pestrosť a spoločný výskyt druhov, ktoré spolu nežili. Máme teda podezrenie, že i v tomto prípade, podobne ako v magurskom či raciborskom súvrství, ide o redeponované a premiešané pseudospoločenstvo. Toto podezrenie je umocnené nálezom druhu *Discoaster lodoensis* zo vzorky H 28 (dalších 380 m v podloži predchádzajúcej), pričom zostáva zachovaný charakter ostatného spoločenstva, navyše sú tu niektoré druhy ako *Chiasmolithus eograndis* PERCH.-NIELSEN, *Ch. cf. medius* PERCH.-NIELSEN, *Ch. bidens* (BRAMLETTE et SULLIVAN) HAY et MOHLER, *Toweius eminens* (BRAMLETTE et SULLIVAN) PERCH.-NIELSEN a *T. tovae* PERCH.-NIELSEN.

Z ilovcov magurského faciotypu (lokalita 27, tab. II, obr. 1) sme získali chudobnú asociáciu kriedových a paleocénnych druhov: *Watznaueria barnesae* (BLACK et BARNES) PERCH.-NIELSEN, *Ellipsagelosphaera* sp., *Coccolithus* sp. *Braarudosphaera* sp.,? *Markalias inversus* (DEFLANDRE et FERT) BRAMLETTE et MARTINI a *Discoaster cf. multiradiatus* BRAMLETTE et RIEDEL.

Ilovce sú veľmi chudobné alebo negatívne na obsah foraminifer. Niektoré pozitívne vzorky okrem preplavených paleocénnych (resp. vrchnosenónskych až paleocénnych) foriem najčastejšie obsahujú rabdamínovo-dendrofryovú zložku s pomerne širokým stratigrafickým diapazónom. Iba v jednej vzorke (H 22 S) sme zistili druh *Glomospirella biedai* SAMUEL, ktorý sa podľa doterajších skúseností z výskumu flyšového pásmu Západných Karpát vyskytuje od vrchného paleocénu do stredného eocénu vrátane a formu, ktorá má najväčšiu afinitu s druhom *Ammodiscus latus* GRZYB. Podľa doterajších literárnych údajov väčšina autorov považuje uvedený druh za indexovú formu pre stredný eocén, čo koinciduje aj s mladšími elementami v nanoplanktonových pseudoasociáciách.

Významné je zistenie prierezov planktonických foriem vo výbrusoch pieskovcov magurskej fácie dokumentačného bodu č. 22 S (vyššia časť súvrstvia): *Cibicides* sp., *Thalmannammina* sp., *Globigerina velascoensis* CUSHMANN, *G. ex. gr. yeguaensis* WEINZIERL et APPLIN, *Globigerina cf. linaperta* FINLAY a bentos *Discocyclina* sp., *Marsonella* sp., *Eponides* sp. a *Thalmannammina* sp. div., upresňujúce vek minimálne na spodný eocén. Pritom niektoré schránky globigerín sú uzavreté v úlomkoch vápencov (tab. X, obr. 2), teda museli byť do pieskovca preplavené po predchádzajúcej erózii už litifikovaného spodnoeocénneho (pelagického?) vápenca. To nás núti pokladať strednoeocénny vek vyššej časti zábavného súvrstvia za nanajvýš pravdepodobný.

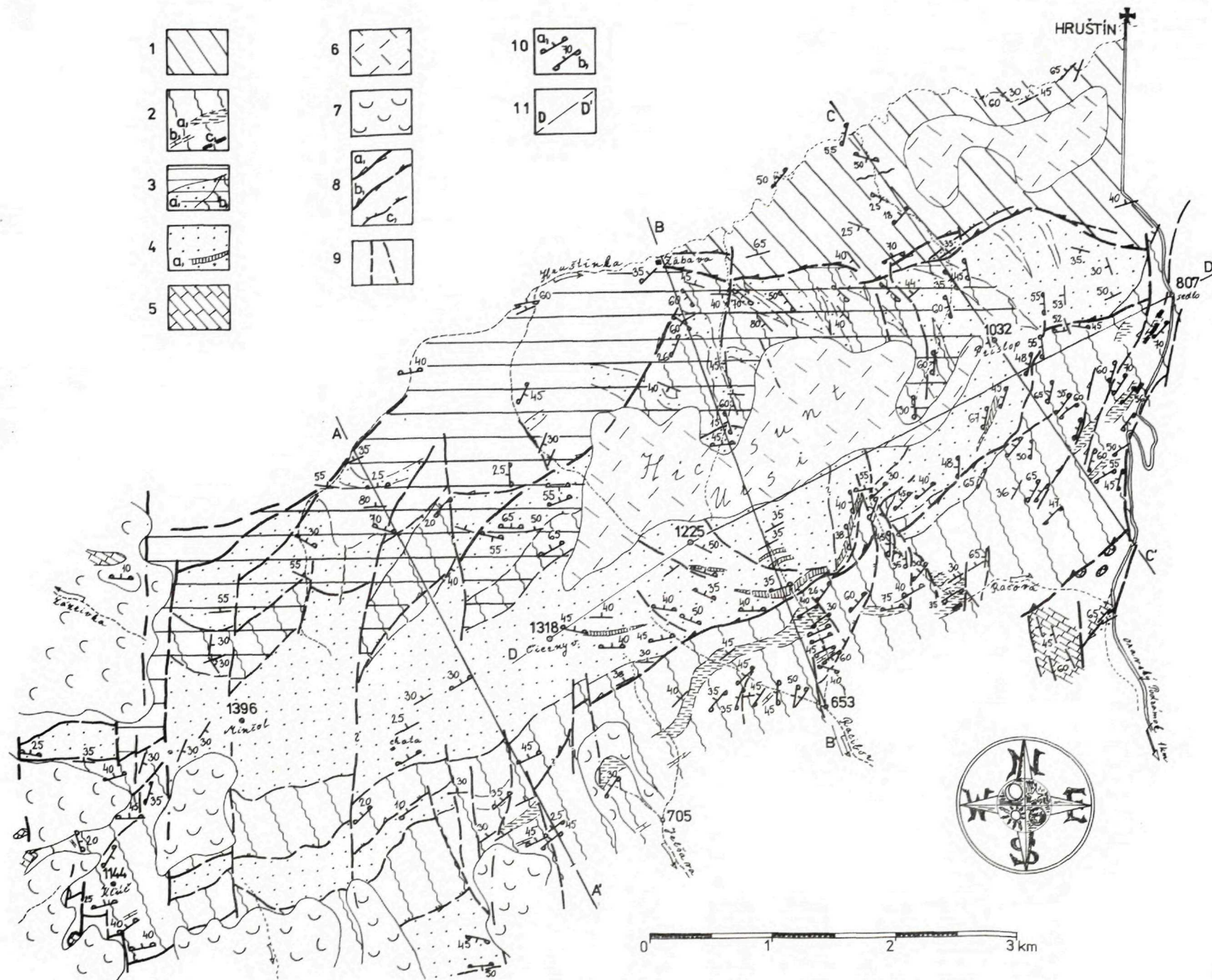
### Malcovské súvrstvie

Na Orave bolo malcovské súvrstvie po prvý raz opísané z doliny Hruštínky a na juhovýchodných svahoch Oravskej Magury (M. POTFAJ, 1983). V skúmanej oblasti vystupuje ako pokračovanie synklinória Hruštínky jz. od Hruštína. Na juhovýchodných svahoch Kubínskej hole súvrstvie nevystupuje, ale vyskytuje sa tu v rámci raciborského súvrstvia malcovská litofácia (D).

Súvrstvie tvorí v podstatnej miere malcovský faciotyp — sivé jemnozrnné, šikmo zvrstvené vápnité pieskovce s muskovitom na plochách laminácie, vo vrstvách 3—15 cm mocných, striedajúce sa s vápnitými sivomodrými, zelenosivými, oceľovosivými a tma-vosivými ilovcami s lupeňovitou až lastúrnatou (čriepkovitou) odlučnosťou vo vrstvách 10—100 cm. Ďalšie faciálne typy v súvrství, sice podradne zastúpené, zato však typické, sú stredno- až jemnozrnné drobové pieskovce so zvrstvením  $T_{abc}$ ,  $T_{ab}$  s riedko roztrúsenými útržkami ilovcov — hruštinská fácia (E) a sklzové telesá s piesčitou matrix a s útržkami ilovcov, laminovaných pieskovcov a slieňovcov (fácia F 2) — napríklad v brehu Hruštínky, 1 km jz. od kostola v Hruštíne. Ojedinele sa vyskytujú lavice hrubozrnných pieskovcov s úlomkami vápnitých stielok rias. Miestami sa v súvrství objavujú aj vrstvy sivých siltovitých ilovcov bystrického typu v rámci raciborskej fácie (B). Pomer  $P = \text{cca } 0,5$ .

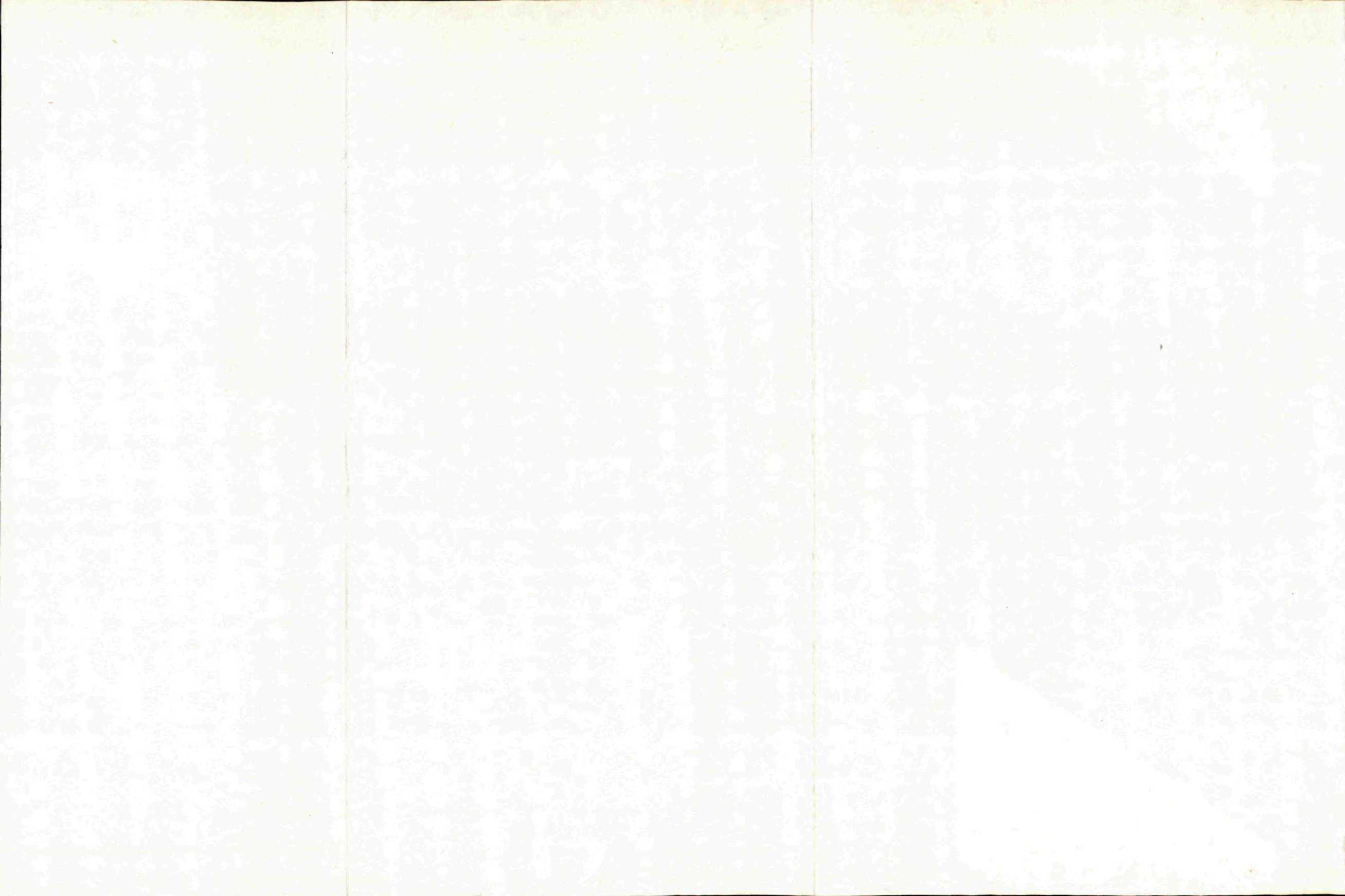
Podobne ako v raciborském súvrství, aj v malcovskom súvrství sú ojediné vrstvičky a konkrécie pelosideritov.

Vek súvrstvia bol stanovený na vrchný eocén — spodný oligocén (M. POTFAJ, 1983). V tejto oblasti sa nám nepodarilo biostratigraficky ho potvrdiť, získali sme iba redeponované spodnoeocénne spoločenstvá nanoplanktonu i mikrofauny.



Obr. 13 Geologická schéma Kubínskej hole

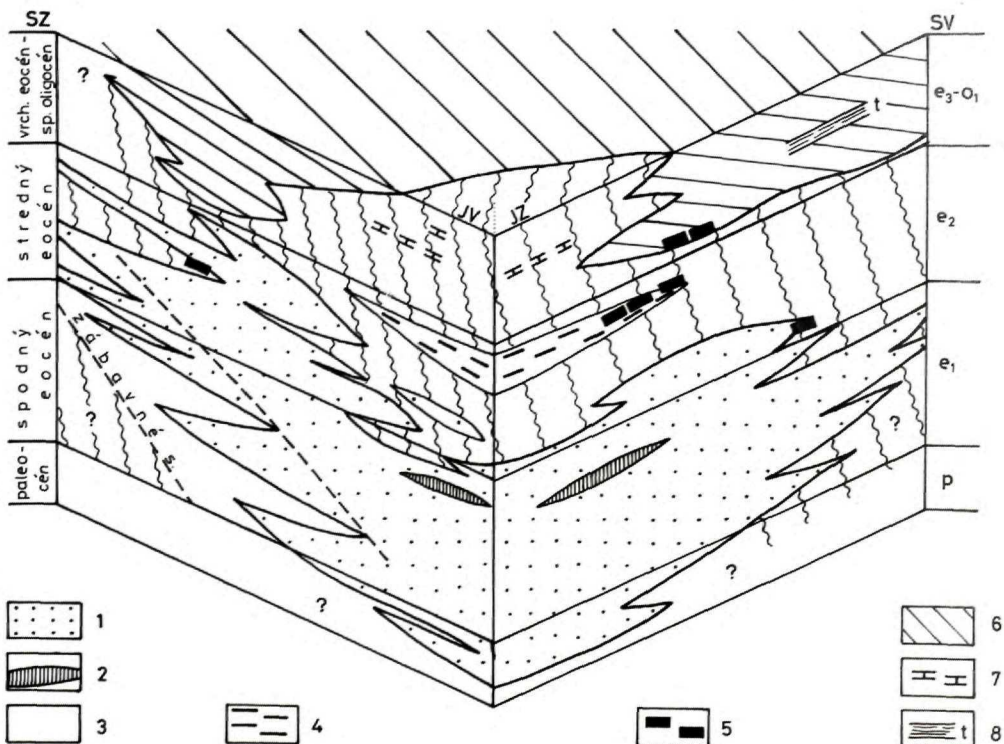
1 — malcovské súvrstvie, 2 — raciborské súvrstvie: a) račovské vrstvy, b) vrstvy slieňovcov, c) červené ilovce, 3 — zábavné súvrstvie: a) s prevahou magurskej fácie, b) s prevahou raciborskej fácie, 4 — magurské súvrstvie: a) subfácia D 2, 5 — bradlové pásmo v celku, 6 — sute, 7 — zosuvy, 8a, b — zlomové a prešmykové linie s bočnými posunmi, c) prešmykové linie, 9 — zlomy, 10 — smer a sklon vrstiev: a) prevrátená, b) normálna pozícia, 11 — línia geologických rezov



V zakrytých oblastiach s malými odkryvmi a v tektonizovaných zónach ľahko odlišiť malcovské súvrstvie od podobného raciborského súvrstvia. Vodidlom pre diferenciáciu je vyšší index zvrstvenia malcovského súvrstvia ( $I = 1—1,4$ ), hojné bioglyfy na spodných plochách pieskovcov a takmer absencia zvrstvení  $T_{ab}$ ,  $T_{abc}$ ,  $T_{bc}$ . Hrúbka súvrstvia v oblasti Hruštínky s. od Kubínskej hole je neúplná, tektonicky redukovaná na cca 350 m, inde dosahuje až 650 m (M. POTFAJ, 1983).

### Vzťahy litostratigrafických jednotiek

Základný vzťah súvrství je stratigrafický, v takej postupnosti, ako sme ju definovali už na Oravskej Magure (M. POTFAJ, 1983). Tu sa však vynorili niektoré problematické korelácie, ktoré odporújú jednoduchej superpozičnej schéme. Celá problematika súvisí s charakterom pieskovcového súvrstvia: magurské pieskovce na základe ich sedimentologických znakov považujeme za fáciu spodnej časti rozfahlého kanála, či vrchnnej časti náplavu v pieskovcovom laloku. Ako také sú laterálne značne nestále. Pieskovcové



Obr. 12 Blokskizna diagram vzťahov fácií/súvrství

1 — magurské súvrstvie/fácia; 2 — tenkorytmický flyš — fácia D2; 3 — raciborské súvrstvie; 4 — račovské vrstvy; 5 — vložky červených ilovcov; 6 — malcovské súvrstvie; 7 — slieňovce; 8 — „vápence“ tylanské.

laloky, ktoré sa ukladali v strednej (?) časti náplavového kužeľa, neustále menili fažisko depozície, po zanesení pôvodného depozičného priestoru sa náklad ukladal v susednom voľnom priestore (obr. 12 a 19). Litosóm Oravskej Magury má podobné črtu ako litosóm Kubínskej hole: štruktúra, textúra a zloženie pieskovcov, smer paleoprúdov, koncentrácia najhrubšej frakcie v hrebeňovej časti, t.j. pri báze súvrstvia. Tieto dve časti môžeme v podstate považovať za pôvodne viac či menej celistvý litosóm, ktorého hrúbka je cca 1 km a šírka v smere SV-JZ minimálne 26 km. Ak má teleso vek vrchný paleocén až báza stredného eocénu v severovýchodnej časti a spodný eocén až stredný eocén (?) v juhovýchodnej časti, zdá sa, že lalok sa „stáhal“ v čase smerom od SV na JZ, teda „magurské pieskovce“ by boli heteropickou fáciou, ktorá má s raciborským súvrstvím vzťahy závislé na vzdialosti od osi depozície kolmo na smer prínosu materiálu. V niektorých oblastiach tak môže byť „normálny“ superpozičný vzťah, t.j. magurské pieskovce—raciborské súvrstvie (obr. 11a); jv. odtiaľ by sa magurské pieskovce laterálne zastupovali s raciborským súvrstvím a ďalej na JV by sme snáď mohli zaregistrovať „inverznú“ stratigrafiu s raciborským súvrstvím v podloží a magurskými pieskovcami nad nim (obr. 12). Dôkazom laterálnych prechodov magurských pieskovcov a raciborského faciotypu sú zmapované striedajúce sa pruhy oboch fácií (súvrství) v severnom svahu Kubínskej hole v zábavnom súvrství. Tieto „pruhy“ majú hrúbku okolo 10—200 m. Primárne vzťahy oboch súvrství (magurských pieskovcov a raciborského) sú pozdĺž celého obvodu v hrebeni Kubínskej hole narušené v dôsledku odlišnej kompetencie (fácií) pri vrásnení. Kontakt je tektonický, s väčšou alebo menšou redukciou či vzájomným posunom na ploche styku.

Malcovské súvrstvie na S je súčasťou hruštinského synklinória. Pretože má zhodný vek s vyššou časťou raciborského súvrstvia na južných svahoch Kubínskej hole, nemôžeme vylúčiť určitú previazanosť oboch (súvrství). Takýmto vzťahom nasvedčuje aj príbuzné zloženie redeponovaných spoločenstiev mikrofauny, najmä nanoplanktónu v magurských pieskovcoch, v raciborskom a malcovskom súvrství i v račovských vrstvách. Spoločný je hojný výskyt toweiov, zvlášť *T. callosus* PERCH.-NIELSEN a *T. pertusus* (SULLIVAN) ROMEIN, fascikulitov a elipsolitov — *E. macellus* (BRAMLETTE et SULLIVAN) SULLIVAN a zriedkavejší *E. distichus* (BRAML. et SULL.) SULLIVAN. Typické je popri bohatej druhovej diverzite diskasterov ich malé početné zastúpenie. Vo všeobecnosti je najmladšia zložka v oboch súvrstviach značne redukovaná oproti množstvu redeponovaných druhov i jedincov. Nemáme potrebnú istotu ani pri tvrdení, že najmladšie prvky nanoplanktonových spoločenstiev sú pôvodné a skôr pripúšťame, že aj tie boli do spoločenstva primiešané — preplavené. Naopak, skôr máme istotu, že tieto súvrstvia, obsahujúce spodnooligocénne planktonické foraminifery, nemajú tomu zodpovedajúce pôvodné spoločenstvá vápnitého nanoplanktónu — tento fakt sme konštatovali už z oblasti Oravskej Magury (M. POTFAJ, 1983).

S ohľadom na synchronnosť malcovského a vyššej časti raciborského súvrstvia nám tiež napadá možnosť existencie priamych vzťahov medzi vrstvami slieňovcov v raciborskom súvrství a vrstvami tzv. tylawských „vápencov“ v malcovskom súvrství (M. POTFAJ, 1983). Totiž aj tieto druhé majú isté znaky pôsobenia dnových či kontúrových prúdov (paralelná laminácia siltových lamín, striedanie s laminami s nízkym obsahom siltu).

## Tektonika

Tektonická stavba Kubínskej hole je výrazne podriadená odlišnej vrásnitelnosti súvrství — magurské pieskovce sú značne odolnejšie voči plastickým deformáciám než ostatné súvrstvia. Samotný hrebeň Kubínskej hole tvorený magurskými pieskovcami je v pod-

state obrovským blokom s kompaktnou stavbou, plávajúci v obklopení plasticky deformovaných súvrství. Disproporcie v napätiach štruktúrno-litofaciálnych blokov sú vyrovnané tektonickými disjunktívnymi štruktúrami prevažne na ich styku/rozhraní.

Zostrojili sme niekoľko priečnych rezov, z ktorých vyplýva charakter štruktúry Kubínskej hole (obr. 14—17). V podstate sa tu opakuje stavba už známa z Oravskej Magury (M. POTFAJ, 1979, 1983). Kubínska hoľa je tvorená vyseparovaným amputovaným severným ramenom vrásy — synklinálly komplikovanéj mladšími deformáciami.

Zo severnej (severozápadnej) strany je štruktúra popod úpäťie Kubínskej hole uťatá zlomom. Pieskovcové magurské súvrstvie je z juhovýchodnej strany taktiež obmedzené zlomom, niekoľko paralelných zlomov porušuje synklinálne jadro raciborského súvrstvia. Niekolkými meraniami lineácií (striácií) na tektonických zrkadlách dokumentujeme okrem vertikálnych aj horizontálne posuny (obr. 18). Domnievame sa, že horizontálna zložka pohybu na týchto zlomoch hrala aspoň v určitých obdobiach podstatnú rolu, a teda že išlo o horizontálne bočné posuny. Nasvedčujú tomu niektoré skutočnosti:

1. Pomerne rovná plocha, divergentne utínajúca z J štruktúru Kubínskej hole, na rozhraní magurské/raciborské súvrstvie. Na profile (obr. 14) sa javí ako zdanlivý pokles, čo by však v prípade uplatnenia iba radiálnych juhovýchodno-severozápadných tlakov mal byť skôr prešmyk (obr. 15). Bočným posunom je štruktúra vysvetliteľná. Aj v detaile má sprievodné znaky nie celkom typické pre prešmykové poruchy. Z južnej strany tvorí ležatú, k J prevrátenú synklinálu, ktorá laterálne prechádza do zóny detailne prevrásneného systému zovretých vrás. Podobne anomálne je uloženie vrstiev pri južnom úpäti Raciborského potoka (obr. 15), kde je raciborské súvrstvie deformované a odrezané juhozápadno-severovýchodnou zónou širocou až 100 i viac metrov.

2. Zlom na severnom úpäti Kubínskej hole v. od Zábavy oddeľuje zábavné súvrstvie od malcovského na S. Zatial čo štruktúry na J sú zrezané diagonálne, malcovské súvrstvie je ohraničené konkordantne. Došlo tu ku zblíženiu dvoch rôznych štruktúr, pôvodne nesúvisiacich — synklinória Hruštinky a synklinálly Kubínskej hole. Tieto štruktúry spolu neboli v priamej nadväznosti, zdá sa, že Kubínska hoľa bola do súčasnej pozície dosunutá ľavým bočným posunom. Naznačuje to aj sekundárne „synklinálne“ prehnutie už prevráteného krídla vrásy v oblasti k. Príslop (1032,1), (obr. 17)\*.

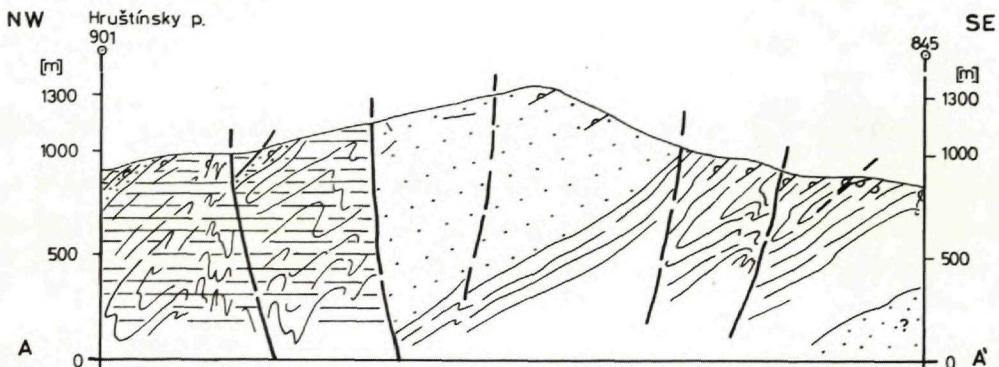
3. Systém severovýchodno-juhozápadných zlomov po oboch stranach Kubínskej hole sa stráca v plastických súvrstviach v malcovskom synklinóriu, kde sa spoluúčastní na tvorbe úzkych antiklinálnych zón (M. POTFAJ et al., 1982). Severne od Minčola (k. 1395,5) zasa preniká na JZ, kde je zastavený mladšími severojužnými zlomami tzv. zázrivskej sigmoidy. To je príznak kulisovitej stavby, typickej pre celú zónu styku oravskomagurskej jednotky s bradlovým pásmom na Orave. Ako na západnom, tak aj na východnom ohraničení Kubínskej hole sú z mapy interpretované sústavy severojužných zlomov. Tento systém porušuje pozdĺžne štruktúry, je teda mladší a spájame ho so systémom zázrivsko-revúckym, resp. párnickým, na ktorom predpokladáme predovšetkým vertikálne pohyby (výzdvih západného bloku s Malou Fatrou). Okrem vertikálnych pohybov na týchto severojužných poruchách sme však zistili aj bočné horizontálne pohyby (obr. 18). Horizontálne posuny tu interpretujeme ako pôvodné, skoršie vzniknuté, vertikálna zložka by mala byť mladšia.

\* Tým však nenegujeme tvrdenie o vzájomnom prepojení sedimentačných oblastí malcovského a raciborského súvrstvia v amputovanej časti.

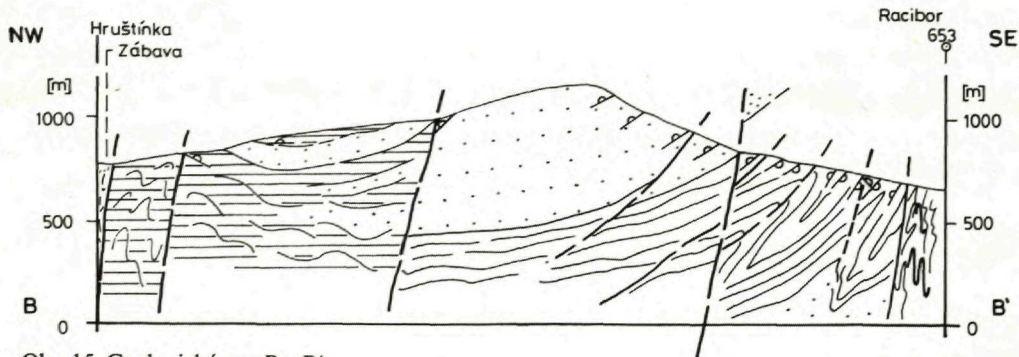
Rekonštrukciu tektonického vývoja oblasti vidíme nasledovne:

Už v spodnom eocéne, ale najmä vo vrchnom eocéne a spodnom oligocéne, tu museli existovať orogenetické pohyby budujúce v priestore flyšového žlabu synsedimentárny akrečný komplex. Nepriamymi dôkazmi sú:

- výskyt sklzových telies, svedčiaci o nestabilnosti svahov a mobilite oblasti,
- neustála zmena paleogeografie, dokumentovaná sťahovaním piesčitých lalokov a celého kužeľa,
- vysoký obsah redeponovaných nanoplanktonových spoločenstiev zo starších súvrství, a to prakticky v celom oravskomagurskom slede. Tieto redepozície pochádzajú ako zo spodnokriedových, stredno- i vrchnokriedových sekvencii, tak aj z paleocénnych a spodnoeocénnych súvrství, pričom sa nedá vylúčiť i redepozícia zo strednoeocénnych súvrství do mladších.



Obr. 14 Geologický rez A—A'

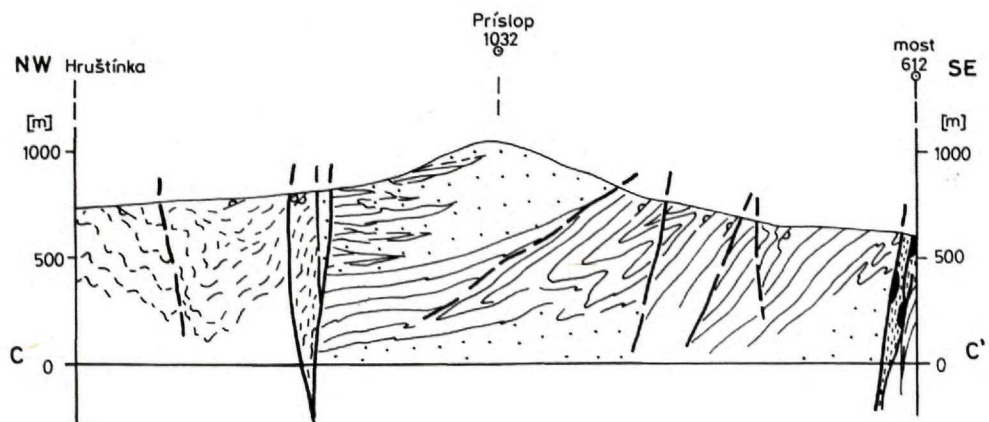


Obr. 15 Geologický rez B—B'

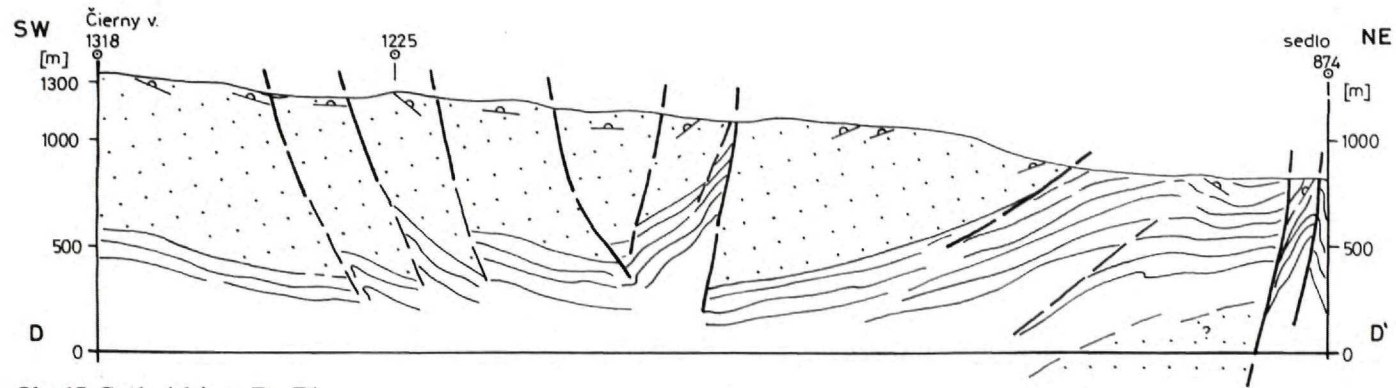


#### Vysvetlivky ku geologickým rezom A—D (obr. 14—17)

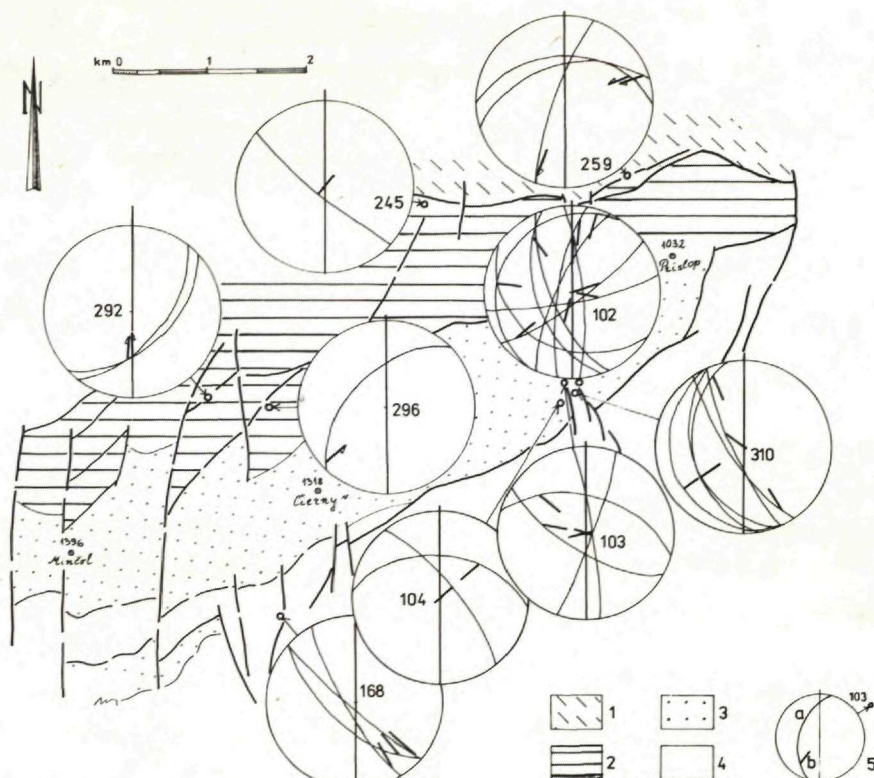
1 — magurské súvrstvie; 2 — raciborské súvrstvie; 3 — malcovské súvrstvie; 4 — zábavné súvrstvie; 5 — bradlové pásmo: a) bradlá ( $J-K_1$ ), b) „obal“ ( $K_{2-3}$ ); 6 — tektonické línie, zlomy; 7 — označenie priebehu a pozicie vrstiev: a) normálna poloha, b) prevrátená poloha.



Obr. 16 Geologický rez C—C'



Obr. 17 Geologický rez D—D'



Obr. 18 Tektonická skica územia s diagramami tektonických plôch a striácií  
 1 — malcovské súvrstvie, 2 — zábavné súvrstvie, 3 — magurské súvrstvie, 4 — raciborské súvrstvie,  
 5 — diagramy tektonických plôch (a), smeru striácií (b) v priemete na spodnú položku, s lokalizáciou a číslom dokumentačného bodu.

V karbonatických pieskovcoch sú úlomky stielok rias, bentonických foraminifer a veľkých foraminifer z vrchnej kriedy, paleocénu a spodného eocénu, ktoré indikujú zdrojovú zónu ako litorálno-pribrežnú, respektívne okrajovú fáciu, ktorá sa však dnes na povrchu nikde nevyskytuje v takej pozícii, aby sme ju mohli pokladať za zdrojovú oblasť týchto redepozitov v oravskomagurskej jednotke. Na vysvetlenie „likvidácie“ okrajových zdrojových zón môžu poslužiť mechanizmy:

- a) úplná konzumácia eróziou,
- b) pohltenie subdukciou,
- c) laterálny odsun sedimentov z dosahu zdrojovej zóny.

Pritom mohlo ísť v rôznych obdobiach o kombinácii všetkých troch spôsobov (a-b, b-c).

Zužovanie sedimentačného magurského bazénu v sj. smere, v prvých fázach subdukcioiu, neskôr bočným posunom „karpatského bloku“, vyvrholilo vyvrásnením a ukončením sedimentácie (?) po spodnom oligocéne. Podľa tohto modelu by malo v tom čase v priestore Oravskej Magury dôjsť k maximálnym kompresným pohybom (severojužným, resp. juhovýchodno-severozápadným), ktoré vytvorili základnú vrássovú, neskôr šupinovú, severovergentnú stavbu. Vzápäť sa pri postupe orogénu k S a SZ začali

tvoriť v oblasti Kubínskej hole (t.j. pri južnom okraji magurskej jednotky) aj spätné — juhovergentné štruktúry (prevrátenie synklinály Oravskej Magury a Kubínskej hole). Už pri tomto procese mohli zohráť svoju rolu aj bočné tlaky s tvorbou iniciálnych laterálnych strihov a posunov. Táto stavba bola dotvorená v záverečnej etape s vyvrcholením tektoniky severovýchodno-juhozápadných bočných posunov, ktoré dokončili rozbitie a pozdĺžnu separáciu jednotlivých štruktúr pozdĺž nich, a to tesne pred sedimentáciou neogénu (sarmat?) oravskej panvy, ktorá už tieto štruktúry konzervuje. Bočné posuny mali pravdepodobne principiálny význam pri tektonickom zblížení magurskej jednotky s bradlovým pásmom.

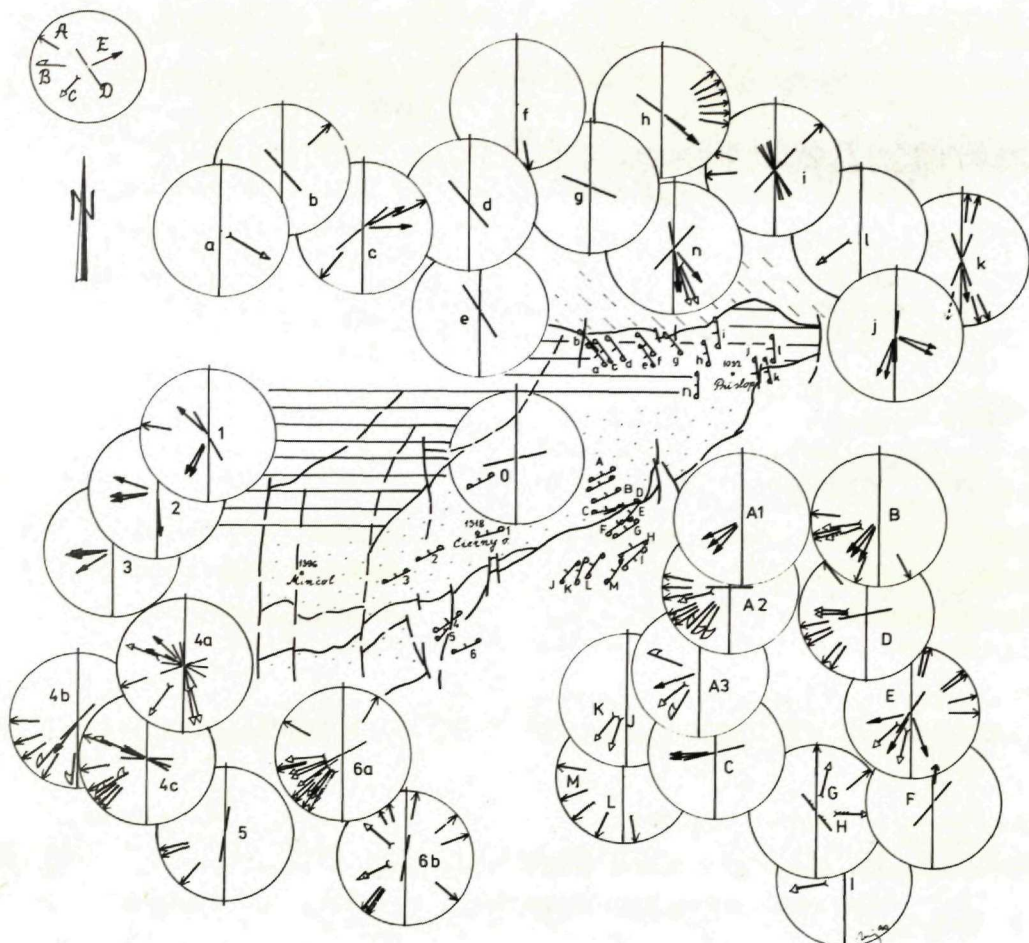
Ako najmladšie porušili tento stavebný plán už spomenuté zlomy severojužného zázravsko-revúckeho systému. Zatiaľ nevieme definovať, či toto porušenie sa udialo ešte pred, či počas neogénej sedimentácie, alebo až po nej. V súčasnosti je celá oblasť Oravy v zóne regionálneho relatívneho zdvihu cca 1 mm/r. (J. VANKO, 1988).

### Paleogeografické úvahy

Magurský faciotyp je jednoznačne charakterizovaný ako výplň prívodného kanálu (A 1) pri jeho vyústení a ako apikálna časť lalokov (A 1, A 2). Pritom charakter podmorského kužeľa je skôr pozdĺžny, a nie s radiálnym vzorom. Je problematické rekonštruovať paleoprúdový systém, pretože územie podľahlo rozsiahlym tektonickým deformáciám, ktoré znemožňujú robiť regionálne plošné rekonštrukcie. K dispozícii sú iba čiastkové úseky a „koridory“ rovnako deformovaných blokov či iba odkryvov (obr. 19).

Nadväznosť magurského a raciborského súvrstvia cez zábavné súvrstvie je zjavná v severovýchodnej časti. Smery prúdov v magurskej litofácii sa príliš nelisia od paleoprúdov v raciborskej fácií. Podobne aj v juhozápadnej časti Kubínskej hole od turistickej chaty na J smerom na Beňovu Lehota (obr. 19, 7, 8), kde má raciborské súvrstvie sice vyšší rozptyl prúdov, ale prevládajúci smer je zhodný s prúdmi magurského súvrstvia. To by hovorilo v prospech interpretácie, že magurské pieskovce sú sedimentami lalokovými a kanálovými, situovanými na topograficky málo členitom, ale rozfahlom podmorskem kužeľi, na ktorom sklon povrchu určoval aj smery prúdov medzi pieskovými lalokmi.

O smere sklonu svahu sme získali informácie z niekoľkých meraní deformovaných vrások konvolutných štruktúr, na základe ktorých dno klesalo v smere od SV, respektíve V k JZ a k Z, teda viac-menej súhlasne s b-osami tektonických megaštruktúr. Inak povedané, tvar bazénu bol podriadený obmedzujúcim lineárnym štruktúrnym prvkom: južný breh/svah, vnútrobazénové morfoštruktúrne prahy. Preto môžeme predpokladať aj lineárny (pretiahnutý) tvar podmorského kužeľa, zovretého medzi týmito prvkami. Svedčí o tom napríklad pomerne intímne prelínanie sa jednotlivých fácií svahu, kužeľa a otvoreného mora. Takéto usporiadanie je typické pre zóny kolízii litosférických dosiek, z ktorých však aspoň jedna by mala mať oceánsku kôru (napr. W. HAMILTON, 1979), čo zatiaľ pre magurský bazén nie je dostatočne preukázané. Následnosť jednotlivých fácií, ich rozloženie v jednotlivých súvrstviach nám dokladá v čase od vrchného paleocénu do spodného oligocénu postupné sfahovanie podmorského náplavového kužeľa. Konštatuujeme ústup jeho apikálnej a vyššej časti (A 1 fácia) a nástup strednej, respektíve nižšej časti kužeľa (raciborské súvrstvie), pričom v severnom priestore (malcovské súvrstvie) by po ústupe kužeľovej sedimentácie zaujalo miesto svahové prostredie bez aktívneho zásahu kužeľových náplavov. Južná oblasť má náznaky hemipelagickej sedimentácie (raciborské súvrstvie), teda otvorenie mora smerom na J. Tento model je v istom rozpore s paleogeografickou predstavou o polarite orogénu (M. MAHEĽ, 1971), je aj do istej miery



Obr. 19 Schéma meraní orientovaných paleoprúdových a paleosvahových textúr. Zobrazené sú tri nezávisle hodnotené oblasti v stratigrafickej postupnosti a—l, A—M a 1—6.

Symboly v ružicovom diagrame: A — smer sklonu lamín šikmého zvrstvenia, B — smer deformácie konvolútneho zvrstvenia, C — smer prúdových stôp na báze vrstvy, D — smer lineárnych štruktúr a textúr bez orientácie, E — smer imbrikácie zŕn v pieskovcoch.

v rozpore s klasickým subdukčným modelom s akrečným klinom (napr. J. McCARTY — D. SCHOLL, 1985, Č. TOMEK et al., 1989). Podľa týchto predstáv by mali byť stratigrafické vzťahy fácií v magurskom sedimentačnom priestore usporiadane podľa progradačnej schémy, teda najstaršie vrstvy distálne, respektívne z centra bazénu a tie postupne prekrývané proximálnejšími fáciami (spodná — stredná vrchná časť) kužeľa.

Uvedomujeme si, že za súčasného stavu poznania je načrtnutá paleogeografická situácia dosť hypotetická, ale myslíme si, že je potrebné na rozpory upozorniť a hľadať možnosti riešenia.

## Záver

Podrobné mapovanie a uplatnenie niektorých metód sedimentologickej analýzy súvrství Kubínskej hole nám umožnilo upresniť stratigrafické členenie oravskomagurskej jednotky v tejto oblasti. Definujeme 7 základných litofácií, ktoré sú podkladom klasifikácie súvrství.

Odkláňame sa od striktného členenia súvrství v stratigrafickom slede a ich prísnej väzby na určitú litofáciu. Súvrstvia, ktoré tu definujeme (magurské, raciborské, malcovské, zábavné), sú polyfaciálnymi súvrstviami, čo je podmienané spôsobom ich vzniku (sedimentácie) vo flyšovom bazéne v rôznej, ale často susediaci pozícii na jeho paleotopografickom dne. Prelínanie sa jednotlivých litofácií je dané istou voľnosfou a nespútanostou hlavného transportujúceho činiteľa — turbiditného prúdu. Takto je súvrstvie magurských pieskovcov heteropickým súvrstvím, interpretované ako prevažne „pieskovcový flyš“ prívodných kanálov a naložených pieskovcových lalokov v strednej časti podmorského kužela, pričom vystupuje spolu s „hrádzovými“ sekvenciami, ktoré sa často vyskytujú pozdĺž vonkajších okrajov kanálov.

Raciborské súvrstvie s prevahou šlovcov a s odlišným typom pieskovcov by mali reprezentovať medzilalokové sedimenty, prípadne by mohlo prekrývať i časť priahlého svahu. Ojedinelé „zablúdené“ telesá pieskovcov magurského typu vo vyšej časti tohto súvrstvia hovoria o doznievaní erózie v zdrojovej oblasti, prípadne o zmene paleogeografie a o preformovaní depozičného priestoru.

Neformálne zábavné súvrstvie je vlastne určitou zónou laterálneho prechodu a striedania podmienok (v čase) súvisiacich so sfahovaním lalokov, respektíve kanálov.

Malcovské súvrstvie ako severný časový ekvivalent vrchnej časti raciborského súvrstvia by sme mohli interpretovať ako svahové (?) sedimenty, len málo ovplyvnené prínomom materiálu z nejakého „centrálneho“ zdroja. Za úvahu stojí možnosť korelácie tzv. tylawských vápencov z oblasti Babína s vápencovým/slieňovcovým horizontom v raciborskom súvrství.

Za súčasného stavu výskumu je obtiažne rekonštruovať podrobne tvar bazénu a priestorové usporiadanie jednotlivých litofaciálnych jednotiek, preto sa obmedzujeme iba na konštatovanie a interpretáciu základných vzťahov (obr. 12).

Odhalili sme komplikovanú tektonickú stavbu, v základných rysoch zhodnú s úsekom Oravskej Magury, ale navyše komplikovanú rotáciami a priečnymi zlomami. Masív Kubínskej hole vytvára severné rameno k J prevrátenej synklinály (magurské súvrstvie) s raciborským súvrstvím v jadre. Na S je táto synklinália odrezaná pravdepodobne bočným posunom od synklinória Hruštinky. Tektonická plocha, ktorá oddeľuje obe štruktúry, je ekvivalentom (ale nie je totožná) tektonickej zóny na severozápadnom úpäti Oravskej Magury, pozdĺž ktorej sú na povrch vytiahnuté útržky hornín bradlového pásma (M. POTFAJ, 1983).

Bočné posuny predpokladáme aj na južnom úpäti Kubínskej hole, na rozhraní magurského a raciborského súvrstvia, prípadne vnútri raciborského súvrstvia.

Tektonický vývoj oblasti prebiehal prakticky nepretržite od paleocénu počas sedimentácie flyšových súvrství. Na mobilitu bazénu ukazujú také javy, ako je prítomnosť sklzových telies, redepozície sedimentov a mikrofossilíi, chýbanie okrajových fácií bazénu. Dnešné tektonické zblíženie oravskomagurskej jednotky s bradlovým pásmom pripisujeme na vrub bočným posunom.

## Literatúra

- ANDREAE, 1884 fide B. F. ELLIS et A. R. MESSINA: Catalogue of Foraminifera.
- ANDRUSOV, D., 1938: La zone des Klippes internes dans le bassin del' Orava — Guide des excursions... — Knihovna St. Geol. úst. ČSR 13 A, Praha, 317—352.
- BOUMA, A. H., 1962: Sedimentology of some flysh deposits. (A graphic approach to facies interpretation). — Elsevier, Amsterdam/New York, 168.
- BYKOVA, N. K., 1960: K voprosu o cikličnosti filogenetického rozvíjania u foraminifer. — Tr. VNIGRI 193, Geol. sbor. 5, Leningrad, 1—7, 309—328.
- HAMILTON, W., 1979: Tectonics of the Indonesian Region. — OS. Geol. Surv. profess. Pap. 1078, Washington, 345.
- HANZLÍKOVÁ, E., 1956: Příspěvek k mikrobiostratigrafickým poměrům magurského flyše v povodí Bílé Oravy. — Zpr. geol. Výzk. v roce 1955, Čs. Akad. Věd, Praha.
- KUKAL, Z., 1985: Návod k pojmenování klasifikace sedimentů. — Metod. přír. Úst. geol. 2, Praha, 803.
- KSIAZKIEWICZ, M., 1956: Stratygrafia serii magurskiej w Beskidzie Średnim. — Przegl. geol. 4, 10, Warszawa, 471.
- LEŠKO, B.—SAMUEL, O., 1968: Geológia východoslovenského flyšu. — Slov. Akad. Vied, Bratislava, 1—245.
- MARSCHALKO, R.—POTFAJ, M., 1982: Sekvenčná analýza, paleoprúdenie a prostredie uloženia spodnoecenného flyšu Oravskej Magury a bradlového pásma. — Geol. Práce, Spr. 78, Geol. Úst. D. Štúra, Bratislava, 97—122.
- MATĚJKO, A.—CHMELÍK, F., 1956: Zpráva o výzkumu magurského flyše v povodí Bílé Oravy. — Zpr. geol. Výzk. v roce 1955, Čs. Akad. Věd, Praha.
- MCCARTHY, J.—SCHOLL, D. W., 1985: Mechanisms of subduction accretion along the central Alentian Trench. — Geol. Soc. Amer. Bull. 96, 6, New York, 691—701.
- MJATLYUK, E. V., 1950: Stratigrafija flíševich osadkov Severních Karpat v svete dannich foraminifer. — Tr. VNIGRI, 51, Leningrad—Moskva, 1—4, 225—288.
- OSZCZYPO, N., 1973: Budowa geologiczna kotliny Sadeckiej. — Biuletyn (Inst. Geol.) 271, Warszawa, 101—197.
- PAUL, C. M., 1868: Die Nördliche Arva. — Jb. Geol. Reichs. 18, Wien, 203—245.
- PICKERING, K.—STOW, D.—WATSON, M.—MISCOTT, R., 1896: Deep-Water Facies, Processes and Models: A Review and Classification Scheme for Modern and Ancient Sediments. — Earth. Sci. Rev. 23, Amsterdam, 75—174.
- POTFAJ, M., 1979: Tektonický profil styku bradlového pásma a magurskej jednotky v oblasti Oravskej Magury. — Tektonické profily ZK, Bratislava, 37—40, ed. M. Mahel.
- POTFAJ, M., 1983: Postavenie magurských pieskovcov a malcovské vrstvy na Orave. — Geol. Práce, Spr. 79, Geol. Úst. D. Štúra, Bratislava, 117—140.
- SAMUEL, O.—BORZA, K.—KÖHLER, E., 1972: Microfauna and lithostratigraphy of the Paleogene and adjacent Cretaceous of the middle Váh Valley (West Carpathians). — Geol. Úst. D. Štúra, Bratislava, 1—246.
- SAMUEL, O.—SALAJ, J., 1968: Microbiostratigraphy and Foraminifera of the Slovak Carpathian Paleogene. — Geol. Úst. D. Štúra, Bratislava, 1—232.
- STOW, D. A. V., 1985: Deep-sea clastics: Where are we and where are we going? In: Sedimentology, Recent developments and applied aspects, eds. P. J. Brenckley — B. P. J. Williams, Liverpool, 67—93.
- SUBBOTINA, N. N., 1953: Globigerinidy, Hantkeninidy i Globorotaliidy. — Iskopaemye foram. SSSR, Tr. VNIGRI, 76, Gostoptechizdat, Leningrad—Moskva, 296.
- TOMEK, Č.—IBRMAJER, I.—KORÁB, T.—BIEĽY, A.—DVOŘÁKOVÁ, L.—LEXA, J.—ZBOŘIL, A., 1989: Korové struktury Západních Karpat na hlubinném reflexním seismickém profilu 2T. — Miner. slov. 21, Bratislava, 3—26.
- VANKO, I., 1988: Nové poznatky o dynamike zemského povrchu Západných Karpát. In Výzkum hlubinné geologické stavby Československa. — Sbor. ref. Smolenice, 39—48.
- ŽYTKO, K., 1962: Stratigraphy of the Magura Unit in the Southwestern Part of the Beskid Zywiecki (Flysch Carpathians). — Bull. Acad. pol. Sci., Sér. Sci. géol. géogr., 10, 3, Warszawa, 167—177.

## Geologic structure of Kubínska hoľa range (Orava)

### Summary

At present the stratigraphy of the Magura unit is paid particular attention. The position of this facies-tectonic unit is decisive for the determination of the relation of the Flysch Belt to the Klippen Belt and generally to the Inner Carpathians. Basing on our previous investigations in Oravská Magura (M. POTFAJ 1983, R. MARSCHALKO — M. POTFAJ 1982) we shall deal now with the determination of the bed sequence of the Oravská Magura Unit, the definition of relationships between sequences, the tectonic structure, and with some paleogeographic implications. We have abandoned the strict division of the Oravská Magura Unit into formations in an invariable bed succession and their severe restriction to one lithofacies. We have defined seven principal lithofacies as the basis for the distinction of four formations: the *Magura formation*, the *Racibor-*, *Malcov-* and *Zábava formations*.

The mutual overlapping of lithofacies is due to a somehow loose and unrestrained main transport factor — the turbidity currents.

The turbidity currents in areas on the contacts between particular environments of a slope or a submarine fan surpassed the boundaries of the respective topographic phenomenon (e.g. feeding channel surrounded by levee sediments or interlobe areas). The extent of the surpassing was controlled by the force of turbidity currents. Every topographic and sedimentary phenomenon is characterized by a typical facies reflecting the conditions reigning in this area. Their interaction and dynamical changes in the basin floor configuration owing to the basin filling and to tectonic reworking of the basin margins resulted in a complicated system of facies-structural units.

We have distinguished the following facies: the *Magura facies* with two subspecies:

A 1: *coarse-grained sandstones* to micro-grained conglomerates with intervals R<sub>1—2</sub> S 1 2 3 (LOWE, 1982) in beds 2—4 m (and more) thick. It is interpreted as the filling of feeding channels near their mouths.

Subfacies A 2: *fine-grained to coarse-grained subgraywackes* with thin claystone intercalations. The Ta intervals (A. H. BOUMA 1962) dominate over rare Tac sequence with sandy claystones on the top. The facies is interpreted as the sediment of the upper and middle parts of the fan in suprafan lobes. It is associated with facies A 1, B and D 2, eventually with F.

*The Racibor facies* (B). It is characterized by calcareous claystones and relatively well sorted medium-grained and fine-grained sandstones with Tbc, Tabc, or Tac sequences. We have placed the facies in the environment of the distal part of sandy lobes, or perhaps in the interlobe areas. Deposition below the slope cannot be excluded either, as indicated by the contemporaneous occurrence of the „F“ facies (slump bodies).

*The Račová facies* (C): It consists of absolutely predominant yellowish-grey calcareous claystones beds several metres thick with spherical jointing. Subsidiary fine-grained sandstone banks with Tc interval range to 20 cm in thickness. Subfacies (C 2) is represented by red calcareous claystones, 20—60 cm thick, with shelly jointing. The Račová facies together with the facies of slump bodies are indicative of the environment out of the reach of large turbidity currents, i.e. a slope, or an interchannel environment.

*The Malcov facies* (D). It consists of calcareous fine-grained sandstones to siltstones with Tc and Tac intervals ranging below 15 cm in thickness. The sandstones alternate with bluish-grey calcareous claystones with tabular jointing in 10—100 cm thick beds. The facies might represent the distal (marginal) parts of the fan (fan-rim) or a base of the slope.

Subfacies D 2: Sandstones are similar to those in the Malcov facies but they pass into overlying non-calcareous claystones with sandy admixture and their thickness only ranges to several centimetres. The subspecies is associated with the Magura facies (A 2) and forms there several centimetres or metres thick passages. It is interpreted as the environment of levee and interchannel terrace-levee.

*The Hruštin facies* (E) comprises banks (25—200 cm) of medium-to fine-grained graded sandstones with the upward parallel lamination (bedding) and cross-bedding. The last two intervals are mostly convolute-deformed. The middle interval contains claystone clasts ranging to several cm in

diameter. The sandstones are passing upwards into sandy claystones. The facies is mostly associated with the Malcov facies (D) but also occurs in Racibor (B) and Magura facies (A 2). It is interpreted as the facies of spacious free areas (interlobe sediments or the surface of the lower and middle fan).

*The facies of slump bodies* (F 1). It consists of 150—300 cm thick bodies. They form typical slumps, i.e. torn slumped sandstone and claystone banks in sandy matrix. The slumped material is autochthonous. The facies is indicative of a slope environment.

*The facies of debris flow* (F 2): The sandy matrix comprises sandstone clasts. Some of them are deformed. The debrites form 1—4 m thick bodies in the Malcov Formation. They represent sediments of slope bases, and/or the infilling along erosion walls of canyons and below their mouth. *The facies of slump-sandstones* (F 3). Coarse-grained sandy matrix comprises claystone debris ranging to about 1 cm in diameter. The rock is poorly sorted and forms beds of a variable thickness (1—5 m). The facies occurs together with Malcov and Račová facies. The unsorted material indicates a relatively short transport in the form of debris flow, probably of the distal part. We have placed the facies below the mouth of feeding channels or along the slopes, below their bases.

*The marlstones facies* (G 1): It consists of beds of beige and grey marlstones 5—300 cm thick, in places with the silt admixture in laminae. Some beds pass continuously into the overlying claystones. They contain globigerine and ostracod shells; the silty fraction comprises carbonate clasts. The facies is interpreted as hemipelagic deposits with interaction of permanent bottom currents, contourites, a.o. *The facies of Fe-pelocarbonates* (G 2) consists of thin (to 5 cm) beds of pelite, clayey carbonates with rusty crusts. In places they form horizons of disc-shaped concretions up to 10 cm in diameter. Interpretation: A slower sedimentation in the period without terrigenous material transport is probable. It is perhaps an equivalent of hardground.

On the basis of the above described facies types we have distinguished the following formations of the Kubín-Hořa mountain range: *The Magura formation* mostly consists of the Magura facies (A 1, A 2), the facies D 2 is subsidiary. In the upward, and partly lateral direction the share of facies B (Racibor) increases in the intervals around 1—15 m. The sequence is denoted as the „Magura Fm.“ when the sandstone/claystone ratio is not below 1 and the share of the Magura facies is at least 50 %.

The age of the most part of the formation is Early Eocene, but the extension of its lower part to the uppermost Paleocene and of its top parts even to the Middle Eocene is not excluded. The maximum thickness of the formation is 1100 m.

*The Racibor Formation.* The type occurrence of the formation is on the southern foothill of Kubínska Hořa in the Racibor brook. The formation consists of the Racibor facies and partly of the Malcov and Račová facies. In places also the Magura facies (subfacies A 2) occurs. Generally, the sandstone/claystone ratio is lower than 1, but locally it may be higher. The upper part of the formation comprises the slump facies (F), the facies of marlstones and Fe-pelocarbonates.

We have distinguished the Račová member as a particular lithosome (cartographic unit) in this formation. The Račová member is characterized by the Račová facies with local occurrences of slump facies (F 2, F 3), and with sporadic red calcareous claystones (subfacies C 2). The maximum thickness of the Račová Member is about 150 m. The Račová Member wedges out towards the southeast and northwest of the type locality — Račová brook. Its occurrence is observable over a 4 km long zone in the southern slope of Kubínska hořa. The stratigraphic range of Račová Member is defined as Middle-Late Eocene within the Racibor formation.

The age of the Racibor formation has been determined as Middle Eocene in the bottom part. Basing on planktonic foraminifers (*Globigerina ex gr. officinalis*, *Gl. liverovskae*, *Chiloguembelina gracilima*) found in sandstones and marlstones from the upper part of the formation, we determine its age as Late Eocene — Early Oligocene.

The Zábava formation has been distinguished as an informal transitional formation between the Magura and the Racibor formations. Thus the Zábava formation comprises two principal faciotypes: Magura (A 2) and Racibor (B); Malcov (C 2) and Hruštin (E) faciotypes are subsidiary. The ratio of the two principal faciotypes is variable. The share of the Magura facies in the entire formation is, however, smaller than 50 %.

The Magura formation and the Racibor fm. are interfingered and indicate thus certain spatial differentiation of depositional environments, coexistence of various faciotypes and paleogeographic changes in time.

The Early-Middle Eocene age of the middle and upper parts of the formation is determined on the basis of calcareous nannoplankton, foraminifers from claystones and redeposited shells from clastic material of the Magura facies (H 22). The thickness of the formation is estimated at 900—700 m.

*The Malcov formation:* M. POTFAJ (1983) was the first to describe the Malcov fm. in Orava in the Hruštínky valley. Its occurrence on the northern foothill of Kubínska hoľa along the Hruštínky brook is the western extension of the formerly mapped part of the formation.

The formation mostly consists of the Malcov facies. The presence of other facies (Hruštín (E), slump bodies (F 1, F 2, F 3), partly Racibor facies (B), sporadic Magura facies (A 2) is common in the formation. The low sandstone/claystone ratio (approx. 0.5) is typical. The Late Eocene—Lower Oligocene age of the formation has been determined according to planktonic foraminifers in the Skalnatý potok brook to the south of Babin (POTFAJ 1983). So the formation is coeval with the upper part of the Racibor formation. Thickness of the formation is incomplete here. It has been tectonically reduced to about 350 m, it ranges up to 650 m elsewhere.

The relations between the formations are presented in a scheme in Fig. 12. The stratigraphic superpositional relation of the Magura to the Racibor and to Malcov formation is complicated by: a) the time- and spatial (lateral) inconstancy of the Magura facies as the main component of the Magura formation; b) by lateral transitions (connection) between the Magura formation and the Racibor Fm; c) by the coexistence of the Malcov and Racibor formations during the Late Eocene and Early Oligocene. In spite of the lack of direct evidence the lateral transitions in the latter may be presumed there.

*Tectonics:* The compact Magura sandstones form the skeleton of the entire area. The ridge of Kubínska hoľa is an amputated and deformed northern wing of an extensive southvergent syncline. The Racibor Formation is the core of this syncline. In the north the Malcov Fm. has been folded into a complicated synclinorium of Hruštínky. It is detached from the Kubínska hoľa syncline by a system of SW—NE and W—E-striking faults. The faults are presumed to have been for a certain time acting as strike-slip faults. It is evidenced by the course and steepness of the faults and by measurements striae on tectonic mirrors around the faults. A partial, less significant strike-slip is also presumed on a fault along the southern piedmont of Kubínska hoľa on the contact between the Magura formation and the Racibor fm. The main structure of Kubínska hoľa is on the northeast and southwest end cut by transverse N—S faults. These faults belong to the Záhrivá—Revúca fault system. Besides vertical movements, strike-slip movements are also presumed in this system.

In this region the tectonic activity must have proceeded as early as the deposition of the entire flysch sequence. It is evidenced by permanent changes in paleogeography indicated by migrating sandy lobes and channels of the Magura facies, many diastrophic facies of slump bodies in the Racibor and Malcov formations. It is very probable that the primary accretion complex began to form as early as the Paleocene and continued to Early Oligocene. The N—S narrowing of the Magura basin resulted in the northvergent post-Early Oligocene folding of the region. This was immediately followed by strike-slip movement and the separation of particular structures along the strike-slip faults. These movements might also have been associated with a southvergent reversal of the Kubínska hoľa (and Oravská Magura) syncline. This process was followed by the Neogene (Sarmatian?) sedimentation in the Orava Basin.

The entire region was affected by the youngest N—S faults of the Záhrivá—Revúca fault system again. They were also active before the Sarmatian.

The succession of facies, their distribution in formations in the time between Paleocene and Early Oligocene are evidence of the retreat of the upper part and the onset of the middle or lower part of submarine fan, whereas in the northern area (Malcov fm.) the fan was replaced by the slope environment, without active interference by turbidity currents (fan deposition). The southern area shows signs of hemipelagic sedimentation (marlstones of the Racibor fm.) indicative of the southward opening of the sea.

This model somehow contradicts to paleogeographic idea of the polarity of the orogen (MAHEL, 1971) and partly also to the classical subduction model with the accretion wedge (e.g. McCARTHY—SCHOLL, 1985, TOMEK et al., 1989). According to these the stratigraphic relations between facies in the Magura depositional area would correspond to the progradation scheme: the oldest distal beds gradually covered with proximal facies (lower-middle-upper parts of the fan), but they do not.

There is another urgent problem concerning the source area of the Magura Paleogene sequences. We know that most sediments are recycled (autocannibalism) as proved by similarity in modal composition of sandstones (Tab. 1) in particular formations and by the amount of redeposited pseudo-assemblages of nannoplankton and microfauna in ever younger formations. Redeposited material comes mostly from Cretaceous, but also from Paleocene and Eocene formations. At present we miss the source area on the surface and marginal shallow-marine facies are indirectly evidenced by fragments of carbonates, Algae even damaged by lithophags (Pl. VIII, fig. 2) and shells of larger foraminifers.

A possible solution of the problem is in „destruction“ of the source area — the mechanism of: a) total consumption by erosion, b) subduction and c) lateral removal of sediments from the realm of the source area. Combinations of the three modes might have been acting in different periods, and the lateral removal of sediments can probably be responsible for the present tectonic convergence of the Magura unit with the Klippen Belt.

#### Explanations to Figures 1—11

Fig. 1 Lithological column H 108 — road cut 900 m ESE of B. M. 1225: Upper part of Magura sandstone formation with intercalation of Bystrica claystone type.

Fig. 2 Lithological column H 104 — road cut 1300 m E of B. M. 1225: Magura sandstone formation. Facies A 2 in lower part, facies A 1 in Upper part.

Fig. 3 Lithological column H 92 — road cut 800 m SSE of B. M. 1032 (Príslap). Racibor Fm., Racibor facies. Two banks in the middle represent Magura facies (A 2).

Fig. 4 Lithological column H 306 — Raciborský potok brook 1150 m SE of B. M. 1225 Račová Member, Račová facies. Debrite body in bottom (facies 3).

Fig. 5 Lithological column H 91 — road cut 800 m SE of B. M. 1032 (Príslap) Malcov facies in Racibor Fm. Overlaying sandstone bank contains glauconite.

Fig. 6 Lithological column H 100 — road cut 2.2 km ENE of B. M. 1225, 1 km SW of B. M. 1032 (Príslap).

Magura sandstone formation with predominant facies A 2. In two levels are the Račová facies (B) — (detail on the right) and subfacies D 2 (in the middle).

Fig. 7 Lithological column H 88 — road to cottage in Kubínska hoľa, 2.5 km SE of B. M. 1396 (Minčol). Typical Racibor Fm. in Racibor facies. Slump body (facies F 1—F 2) in bottom, two marlstone beds (facies G 1) with claystone Račová facies in the middle.

Fig. 8 Lithological column H 168 — cut in slope 2 km SE of B. M. 1396 (Minčol): Racibor Fm. with Racibor facies (B), magura facies (A 2), facies of slump bodies (F 1) and facies of fine-rhythmic flysch (D 2) in bottom part.

Paleocurrent measurements in sandstones of „Magura type“ show markedly dispersed paleocurrent directions (azimuth 294—163).

Fig. 9 Lithological column H 90 — road cut 1200 m SE of B. M. 1032 (Príslap). Račová-Member, Račová facies. Vari-coloured claystone beds alternation and pelocarbonate intercalations are typical.

Fig. 10 Lithological column H 16 — rod cut 600 m E of B. M. 1032 (Príslap) Racibor Fm., Malcov facies (D) in upper part, Racibor facies in bottom part. Notice considerable dispersion of paleocurrent directions.

Fig. 11 a, b, c Lithological columns documenting various types of transition (boundary) of Racibor Fm. and Magura sandstones formation.

Fig. 11a Lithological column H 110—111, road cut 800 m SSE of B. M. 1225: Tectonically disturbed contact, Magura facies in bottom part, Racibor facies in upper part. Upper part of Magura sandstones formation.

11b Lithological column H 189 — brook 900 m SSE of B. M. 1032 (Prísllop)  
Magura facies in bottom part, Racibor facies in upper part. As a whole represents lowermost part  
of Racibor Fm.

11c Lithological column H 116—117 — road cut 900 m SSW of B. M. 1225  
Uppermost part of Magura sandstones formation (to 65 m) and lowermost part of Racibor Fm.  
(above discontinuity).

#### Explanations of lithological columns (Fig. 1—11)

1 — Magura type sandstone, coarse- to fine-grained subgraywackes; a — diagonal bedding,  
b — intra-bed erosion structures, c — graded bedding with sporadic larger pebbles, current marks  
on bottom surface; 2 — Claystones; 3 — Sandstones of Racibor Fm. with compact turbidity  
sequence; a — convolute deformations, b — parallel lamination, e — grading interval; 4 — Bystrica  
type claystones with conchoidal jointing; 5 — Fine-grained sandstones with diagonal bedding; 6  
— Bluish-grey calcareous claystones with tabular jointing Malcov type); 7 — Unsorted coarse-  
grained sandstones with claystone shreds — debrites; 8 — Sandy claystones; 9 — Fine-rhythmic  
flysch; 10 — Red claystones; 11 — Pelocarbonates; 12 — Covered intervals; 13 — Marlstones;  
14 — Marls, hard calcareous claystones; 15 — Slump bodies; 16a — Claystone shreds, (3) — dia-  
meter of largest grains in sandstones in mm; 17 — Orientations of current textures and structures;  
a — erosion marks, b — drag marks, c — imbrication, d — diagonal bedding, e — diagonal bedding  
recorded by several measurements, f — deformations of internal structures by downslope slumping.

Fig. 12: 1 — Formation/facies of Magura sandstones; 2 — Fine-rhythmic flysch — facies D 2;  
3 — Racibor Formation/facies; 4 — Račová Member; 5 — Red claystone intercalations; 6 — Mal-  
cov Formation; 7 — Marlstones; 8 — Tylawa „limestones“.

#### Explanation to geol. cross sections A—D (Fig. 14—17)

1 — Magura formation; 2 — Racibor Fm., 3 — Malcov Fm., 4 — Zábava Fm., 5 — Klippen Belt:  
a) klippes (J—K<sub>1</sub>), b) „envelope“ (K<sub>2—3</sub>); 6 — Tectonic lines, faults; 7 — Marking of course and  
position of beds: a) normal position, b) reverse position.

#### Fig. 18 Tectonic sketch

1 — Malcov fm., 2 — Zábava fm., 3 — Magura fm., 4 — Racibor fm., 5 — Tectonic diagrams of  
faults and striae (lower hemisphere projection).

Fig. 19 Sketch of paleocurrent measurements. Three independent regions are displayed in order of  
stratigraphic sequence a—l, A—M and 1—6.

Symbols used in diagrams: A — dip-direction of cross laminae (Te-interval), B — vergence of  
deformation of convolute folds, C — Sole marks and casts, D — linear bi-directional structures,  
E — imbrication in sandstones.

#### Explanation of Plates I—XIII

##### Pl. I

1, 2 Kubínska hoľa ridge above cottage. Magura facies — A 1. Erosion contact of base of sandstone-  
-microconglomerate rhythms. Photo 2 shows dish structures in lower bed.

##### Pl. II

1 Magura facies (A 2) in Zábava Fm. Northern slope of Kubínska hoľa range;  
2 Detail of facies D 2, thin-bedded fine-grained sandstones and sandy claystones between coarse-  
-grained sandstones — possible levee sediments.

### Pl. III

- 1 Magura facies, Magura formation on southern slope of Kubínska hoľa range. Beds are in reverse position. On the right, subspecies A 1 overlies and covers subspecies A 2 on the left.
- 2, 3 Magura facies (A 2) in Magura formation. Docum. points H 104a, H 102. Sandstones banks are separated by thin beds of sandy claystone. Photo 4 shows detail of bottom surface of sandstone bank with flute marks, drag casts and impact marks.

### Pl. IV

- 1 Complete rhythm sequence of Racibor facies in Račová brook: from left to right Ta b c d e.
- 2 Typical sandstone of Racibor facies with prominent convolute deformation at top of bed (on the right). Racibor Fm.

### Pl. V

- 1 Fine-grained sandstones of Racibor formation south of B. M. 1318 — Čierny vrch. Beds are in reverse position.
- 2 Deformation of convolute bedding. Its orientation is controlled by overlying beds sliding down-slope. Fold vergence indicates dip of slope (fold amplitude is about 12 cm). Racibor formation in Racibor brook.

### Pl. VI

- Racibor formation in cut of road to cottage in Kubínska hoľa range.
- 1 General view of formation with thicker banks of Magura sandstones (A 2 subspecies). Sequence is in reverse position.
  - 2 Sandstone bank in upper part contains torn, deformed claystone- and sandstone beds. Facies F 2 — F 1.
  - 3 Slump body — recumbent fold in upper part of profile. Involute fold — crown is westvergent. Position of sequence is reverse.
  - 4 Detail of debris with unsorted sandy material and claystone shreds.

### Pl. VII

- 1 Spherical jointing of claystones in Račová Member (Račová facies). Forest road — cut east of B. M. 1032 — Príslip.
- 2 Tectonic mirrors on Magura sandstone in Račová brook — valley.

### Pl. VIII

- 1 Fragment of *Discocyclina* sp. in lithic graywacke of Zábava Fm. (NW of B. M. 1032 Príslip). Docum. point 22-S Magn. 25×.
- 2 Fragment of *Lithothamnum controversum* LEMOINE, damaged by lithofags. Lithic graywacke from Magura formation. Docum. point 11-S (W of B. M. 1225). It indicates shallow-water conditions in source area.

### Pl. IX

- 1 *Cibicides* sp. — corroded shell in medium-grained lithic graywacke.
  - 2 *Globigerina* ex gr. *yeguensis* WEINZIERL et APPLIN. Shell is enclosed in micrite limestone.
  - 3 *Globigerina velascoensis* CUSHMAN
  - 4 *Globigerina* cf. *linaperta* Finlay
- All photographs are from medium-grained lithic graywacke. Docum. point 22-S, Zábava Fm. Magn. 50×.

### Pl. X

- 1 *Chiloguembelina gracillima* (ANDREAE) in carbonate sandstone (medium-grained lithic graywacke with dominant calcite)
  - 2 *Bolivina antegressa* SUBBOTINA
  - 3 *Globigerina praebulloides* BLOW
- All photographs are from fine-grained carbonate sandstone of Racibor Fm. Docum. point 100-S, Račová brook.

Pl. XI

Malcov formation:

*Globigerina ex gr. praebulloides* BLOW

Pl. XII

Magura formation (Docum. point 195-S).

- 1 *Discoaster multiradiatus* BRAMLETTE et RIEDEL
- 2 *Discoaster barbadiensis* TAN
- 3 *Discoaster gemmeus* STRADNER
- 4 *Discoaster* sp.
- 5 *Chiasmolithus californicus* (SULLIVAN) HAY et MOHLER
- 6 *Toweius pertusus* (SULLIVAN) ROMEIN

Pl. XIII

Magura formation (Docum. point 108-S).

- 1 *Prinsius bisulcus* (STRADNER) HAY et MOHLER
- 2 *Toweius callosus* PERCH-NIELSEN
- 3 *Tribrachiatius orthostylus* SHAMRAI
- Magura formation (Docum. point 15-S)
- 4 *Toweius tovae* PERCH-NIELSEN
- 5 *Heliolithus cf. kleinpelli* SULLIVAN
- 6 *Zygodiscus sigmoides* BRAMLETTE et RIEDEL

Translated by E. Jassingerová

Vysvetlivky k tab. I—XIII

Tab. I

1, 2 Hrebeň Kubinskej hole nad chatou. Dok. body H 146 a H 147. Magurská fácia — A 1. Erózne kontakty bázy pieskovcovo-drobnolepencových rytmov. Na obr. 2 sú v podložnej lavici štruktúry po úniku vody — „dish-structure“.

Tab. II

1 Magurská fácia (A 2) v zábavnom súvrství. Severný svah Kubinskej hole, dok. bod H 27.  
2 Detail fácie D 2, tenkovrstevnaté jemnozrnné pieskovce a piesčité ilovce medzi lavicami hrubozrnných pieskovcov.

Tab. III

1 Magurská fácia, súvrstvie magurských pieskovcov na južnom svahu Kubínskej Hole, dok. bod H 112.  
2, 3 Magurská fácia (A 2) v súvrství magurských pieskovcov, dok. body H 104 a H 102. Pieskovcové lavice sú oddelené vrstvičkami piesčitých ilovcov, na obr. 4 je detail spodnej plochy pieskovcovej lavice s eróznymi stopami a so stopami po vlečení a nárazoch.

Tab. IV

1 Kompletná sekvencia rytmu raciborskéj fácie v Račovskom potoku. Zlava doprava T a b c d e.  
2 Typický pieskovec raciborskéj fácie s výraznou konvolútou deformáciou v závere vrstvy (vpravo). Dokum. bod H 88, raciborské súvrstvie.

Tab. V

1 Jemnozrnné pieskovce raciborského súvrstvia j. od k. 1318 — Čierny vrch. Vrstvy sú v prevrátenej polohe.  
2 Deformácia konvolútneho zvrstvenia orientovaná vplyvom skĺzavania nadložia dolu svahom. Sklon svahu je v smere vergencie vráskej (výška vráskej je asi 12 cm). Raciborské súvrstvie v Raciborskom potoku, dokum. bod 196-S.

Tab. VI

1 Raciborské súvrstvie v záreze cesty k chate na Kubinskej holi (dokum. bod H 168). Celkový pohľad na súvrstvie s mocnejšími lavicami magurských pieskovcov (A 2 subfácia). Súvrstvie je v prevrátenej pozícii.

- 2 Lavica pieskovca vo vrchnejšej časti obsahuje potrhané, plasticky deformované vrstvy ilovcov a pieskovcov. Fácia F 2 – F 1.  
 3 Sklzové teleso — ležatá vrása vo vyšej časti profilu. Zavinuté čelo vrásy smeruje k Z (súvrstvie v prevrátenej pozícii).  
 4 Detail suťotoku — „debritu“ s nevytriedeným piesčitým materiálom a s útržkami ilovcov.

#### Tab. VII

- 1 Guľovitý rozpad ilovcov račovských vrstiev (račovská fácia). Zárez lesnej cesty v. od k. Prísllop 1032 (dokum. bod H 16).  
 2 Tektonické zrkadlá na magurskom pieskovci v Račovej doline (dokum. bod H 103).

#### Tab. VIII

- 1 Úlomok diskocyklíny v litickej drobe zábavného súvrstvia (sz. od k. 1032 — Prísllop), dokum. bod 22-S. Zväčšenie 25 ×.  
 2 Úlomok stielky *Lithothamnium controversum* LEMOINE, rozožraté litofágmi. Litická droba zo súvrstvia magurských pieskovcov, dok. bod 11-S (s. od k. 1225). Indikácia plytkovodných podmienok v zdrojovej oblasti.

#### Tab. IX

- 1 *Cibicides* sp. — korodovaná schránka v strednozrnnej litickej drobe.  
 2 *Globigerina ex gr. yeguaensis* WEINZIERL et APPLIN — Schránka je uzavretá v mikritickom vápenci.  
 3 *Globigerina velascoensis* CUSHMAN  
 4 *Globigerina cf. linaperta* FINLAY  
 Všetky fotografie sú zo strednozrnnej litickej droby, dok. bod 22-S, zábavné súvrstvie, zväčš. 50 ×.

#### Tab. X

- 1 *Chiloguembelina cf. gracillima* (ANDREAE) v karbonatickom pieskovci (strednozrnná litická droba s prevahou kalcitu).  
 2 *Bolivina antegressa* SUBBOTINA  
 3 *Globigerina praebulloides* BLOW.  
 Všetky fotografie sú z jemnozrnného karbonatického pieskovca raciborského súvrstvia (dok. bod 100-S), potok Račová. Zväčšenie 50 ×.

#### Tab. XI

- Malcovské súvrstvie  
*Globigerina ex gr. praebulloides* BLOW. Priemer: 0,35 mm.

#### Tab. XII

- Magurské súvrstvie (dok. bod 195-S)  
 1 *Discoaster multiradiatus* BRAMLETTE et RIEDEL  
 2 *Discoaster barbadiensis* TAN  
 3 *Discoaster gemmeus* STRADNER  
 4 *Discoaster* sp.  
 5 *Chiasmolithus californicus* (SULLIVAN) HAY et MOHLER  
 6 *Toweius pertusus* (SULLIVAN) ROMEIN

#### Tab. XIII

- Magurské súvrstvie (dok. bod 108-S)  
 1 *Prinsius bisulcus* (STRADNER) HAY et MOHLER  
 2 *Toweius callosus* PERCH-NIELSEN  
 3 *Tribrachiatus orthostylus* SHAMRAI  
 Magurské súvrstvie (dok. bod 15-S)  
 4 *Toweius tovae* PERCH-NIELSEN  
 5 *Heliolithus cf. kleinpelli* SULLIVAN  
 6 *Zygodiscus sigmoides* BRAMLETTE et RIEDEL

PAVEL ČTYROKÝ

## Členění a korelace eggenburgu a ottnangu v jižní části karpatské předhlubně na jižní Moravě

13 obr. v textu, 11 fototabulí (XIV—XXIV)

**A b s t r a c t.** The article reviews biostratigraphic and lithostratigraphic data on the Eggenburgian and Ottangian of the southern Carpathian Foredeep in southern Moravia. It also documents a division into two stages which are separated from one another by a distinct change in deposition as well as fossil assemblages.

### Úvod

Sedimenty eggenburgu a ottnangu jsou vedle sedimentů karpatu nejrozšířenějšími spodnomiocenními uloženinami v jižní části předhlubně Karpat na jižní Moravě. Zatím co v západní, okrajové části při Českém masivu vystupují sedimenty těchto dvou stupňů na povrch, ve východní části při linii nasunutí vnějšího flyše jsou zakryty mladšími miocenními sedimenty, karpatem a spodním badenem. Avšak právě zde, ale i pod příkrovem vnějšího flyše, tvoří sedimenty obou těchto stupňů potencionálně vhodné horizonty kolektorů pro ložiska uhlovodíků.

Na základě dlouholetého mapování v jižní části předhlubně a rozboru stovek povrchových i vrtních profilů přináší tato práce vyčerpávající přehled znalostí o obou výše zmíněných spodnomiocenních regionálních stupních a o jejich vzájemných vztazích.

### Problematika členění sedimentů eggenburgu a ottnangu

#### Eggenburg

Problematika vytvoření a členění nového regionálního stupně eggenburg byla souhrnně podána v monografii F. STEININGERA — J. SENEŠE et al. (1971), a proto v následujících odstavcích se stručně zmíníme o jeho problematice pouze v jižní části předhlubně na Moravě.

Povšimneme-li si členění spodního miocénu v jižní části karpatské předhlubně na Moravě pro edici generální geologické mapy (I. CÍCHA — J. PAULÍK in J. KALÁŠEK et al., 1963), zjistíme, že dozalo dnes podstatných změn. Tehdy v jižní části předhlubně do burdigalu (=eggenburgu) se řadily pouze písky od Chvalovic a Šatova s faunou měkkýšů

popsaných J. TEJKALEM (1958). Všechny další sedimenty se řadily již k helvetu s.s. (dříve spodního helveta, I. CICHA – J. PAULÍK – J. TEJKAL, 1957). K brackickým vrstvám tohoto stupně se řadily písky a jíly s *Pirenella moravica* (HÖRN.) a *Ostrea crassissima* (SCHLOTH.) a rybí jíly s vitritickým tufitem s rostlinnými zbytky na Znojemsku a z. od miroslavské hrástě, jež nyní klademe do eggenburgu. Východně od miroslavské hrástě do helvetu s.s. byly kladený písky, jíly a pestré jíly ležící na Českém masívu, z nichž popsal faunu suchozemských a sladkovodních měkkýšů A. RZEHA (1912) z Červeného kopce v Brně, brackické a oligohalinní vrstvy s *Congeria*, *Cardium* a *Melanopsis* popsané A. RZEHA (1893) z Padochova u Ivančic a vlastní rzechakové vrstvy s *Rzechakia socialis* (RZEHA) *Cardium moravicum* RZEHA a *Congeria subclaviformis* RZEHA. Na řazení těchto vrstev se od té doby nic nezměnilo, neboť helvetu s.s. v nové regionální nomenklatuře odpovídá ottnang. Mořský helvet s.s. ve facii robulového šliru byl uváděn pouze z vrtů v oblasti Nosislavi a Nesvačilky, v jejichž nadloží byly zjištěny bezfosilní rybí šliry.

V podstatě stejné stratigrafické členění používají ve své práci i I. KRÝSTEK – J. TEJKAL (1968) a doplňují je o nové poznatky z jihovýchodní části předhlubně na Mikulovsku. Z vrtů Mušov-3 a 4 a Pasohlávky-1 uvádějí podle M. MOŘKOVSKÉHO (1962) bazální klastika eggenburgu a nad nimi souvrství šlirů, jež by mohly patřit k lužické sérii.

Vycházejí především ze znalosti stratigrafie spodního miocénu z početných vrtů ve Vídeňské pánvi, V. ŠPIČKA (1968a, 1968) začal pochybovat o správnosti členění nejspodnějšího miocénu ve dva samostatné stupně — eggenburg a ottnang, oddělených diskordancí. Předpokládá nepřerušenou sedimentaci v průběhu těchto obou regionálních stupňů ve Vídeňské pánvi a zavádí pro oba stupně název mikulčická série. Jako nejdůležitější fázi považuje fázi staroštýrskou I. — mezi karpatem a mikulčickou sérií. Jednotný sedimentační cyklus eggenburg-ottnangský se snažil interpretovat i v karpatské předhlubni.

M. DLABAČ (1976) a M. DLABAČ et al. (1969, 1970) vyčleňuje v podloží eggenburgu novou lithostratigrafickou jednotku žerotické vrstvy a klade ji do oligocénu. Na základě podrobného mapování vymezil prakticky všechny dnes uznané lithostratigrafické členy eggenburgu a ottnangu. Svrchní hranici eggenburgu kladl však pod vrstvy s *Crassostrea gryphoides* a *Pirenella moravica* s horizontem ryolitového tuffitu, jež nesprávně považoval již za ottnangské.

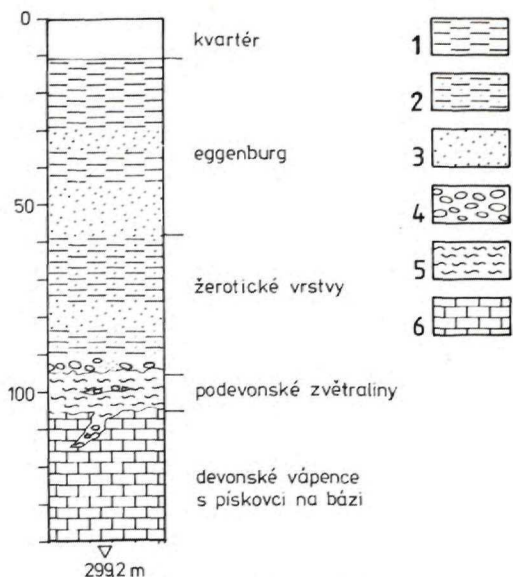
K znalosti sedimentů eggenburgu v jihovýchodní části předhlubně na Mikulovsku přispěl rozsáhlý vrtný průzkum v souvislosti s vyhledáváním a ověřováním plynového ložiska Dolní Dunajovice. J. ADÁMEK (1977) zde podrobně ověřil mocnosti bazálních hrubozrnných a drobových glaukonitických pískovců eggenburgu a v nadložním souvrství pelitů vyčlenil dva nejrozšířenější litologické typy.

Při hodnocení sedimentů eggenburgu R. JIŘÍČEK (1983) vychází především ze znalostí profilů hlubokých vrtů v okolí Mikulova a D. Dunajovic. Na rozdíl od názorů P. ČTYRKÉHO (1982) klade však jak typové profily sedimentů v okolí Eggenburgu s faunou velkých pecténů, tak i brackické vrstvy s *Crassostrea gryphoides* a *Pirenella moravica* do spodního eggenburgu. Také celý profil sedimentů eggenburgu u Mikulova klade do spodního eggenburgu (bazální klastika i nadložní pelity). K svrchnímu eggenburgu klade pouze spodní lužické šliry ve Vídeňské pánvi. Veškeré nadložní sedimenty v karpatské předhlubni řadí již ke karpatu. Předpokládá, že sedimenty svrchního eggenburgu na Českém masívu byly denudovány před karpatem.

I. CICHA et al. (1975) řadí eggenburg do vlastní biozóny 4 planktonických dírkovců Paratethydy (Vých. Alp a Záp. Karpat), charakterizované vůdčími druhy *Globigerinoides quadrilobatus trilobus* a *Globoquadrina dehiscens*. Typovým profilem byl stanoven vrt Žarošice-2 (hl. 1151—1154 m) v části předhlubně překryté ždánickým příkrovem.

Obr. 2 Profil vrtu Že-1 Žerotice, sv. od Znojma

1 — jíly a slabě vápnité jíly, 2 — písčité jíly a prachy, 3 — písky, 4 — štěrky, 5 — rozvětralé fyllity, 6 — devonské vápence.



V litorálních sedimentech eggenburgu, uložených na krystaliniku Českého masivu, vycházejících na povrch mezi Šatovem a Únanovem nebo zastižených ve velkém počtu hlubokých i mělkých vrtů, jsou nejdůležitějšími biostratigrafickými indikátory společenstva mořských a brackických měkkýšů a obvykle vzácná společenstva bentozních dírkovců (P. ČTYROKÝ, 1982, V. MOLČÍKOVÁ, 1976, J. ČTYROKÁ, 1980). Teprve podrobné hodnocení mikrofauny dírkovců a nanoplanktonu z pelitů šakvických vrstev eggenburgu (tektonicky postižené kry eggenburgu na ždánické jednotce) V. MOLČÍKOVÉ (in V. MOLČÍKOVÁ – Z. STRÁNÍK, 1980) a ker pelitů eggenburgu u Perné na čele ždánické jednotky (J. ČTYROKÁ – P. ČTYROKÝ – V. MOLČÍKOVÁ – Z. STRÁNÍK, 1989) přineslo bohatá společenstva planktonických dírkovců i nanoplanktonu. V. MOLČÍKOVÁ uvádí z planktonických dírkovců důležité druhy *Cassigerinella boudecensis* POK., *Globigerina bollii lentiana* RÖGL, *G. brevispira* SUB. a *Globigerinoides quadrilobatus primordius* BLOW-BANN. V nanoplanktonu se hojně vyskytuje druh *Helicosphaera ampliapertura* BRAM.-WILC., jehož nástup se váže na bázi zóny NN-2 *Discoaster druggi* (E. MARTINI, 1971).

Také stav radiometrického datování uloženin eggenburgu od roku 1971 pokročil. Z původního jediného data K/Ar datování z glaukonitů, pocházejících z vrtu hallských šlírů Dolního Rakouska, jež poskytla datum  $24,8 - 26 \pm 1$  MA, se jejich počet rozrostl na větší množství. Toto datum bylo překalkulováno na věk 18,8 MA. V současné době se na základě více dat z různých zemí předpokládá věk báze eggenburgu asi 22,0 MA a věk báze ottnangu 19,0 MA (D. VASS et al., 1987).

### Ottnang

Zavedení nového regionálního stupně ottnangien, česky používaného ve zkráceném tvaru ottnang, a jeho celkovou náplň podali v monografii A. PAPP – F. RÖGL – J. SENEŠ et al. (1973).

V oblasti jižní části předhlubně na Moravě došlo od doby vydání přehledné geologické mapy, listu Brno a jejich vysvětlivek (J. KALÁŠEK et al., 1963 k vývoji názorů na zařazení

jednotlivých lithostratigrafických členů. Přeřazení vrstev s *Pirenella moravica* s ryolitovým tufitem (I. CICHA – J. PAULÍK – J. TEJKAL, 1957), jakož i tufitických vrstev M. DLABAČE (1976) z helvetu s.s. do eggenburgu bylo již výše zmíněno. Na Mikulovsku R. JIRÍČEK (1983) vyslovil názor, že sterilní souvrství v nadloží eggenburgu (členěné v zóny A a B) nalezi do spodního karpatu. Tato nomenklatura je používána i jinými pracovníky MND v Hodoníně (J. BIMKA, 1984, 1987). Kromě toho R. JIRÍČEK (1983) klade i rzechakiové vrstvy do karpatu a interpretuje je jako heterochronní biofacii karpatu.

### Chronologicky předcházející miocenní uloženiny

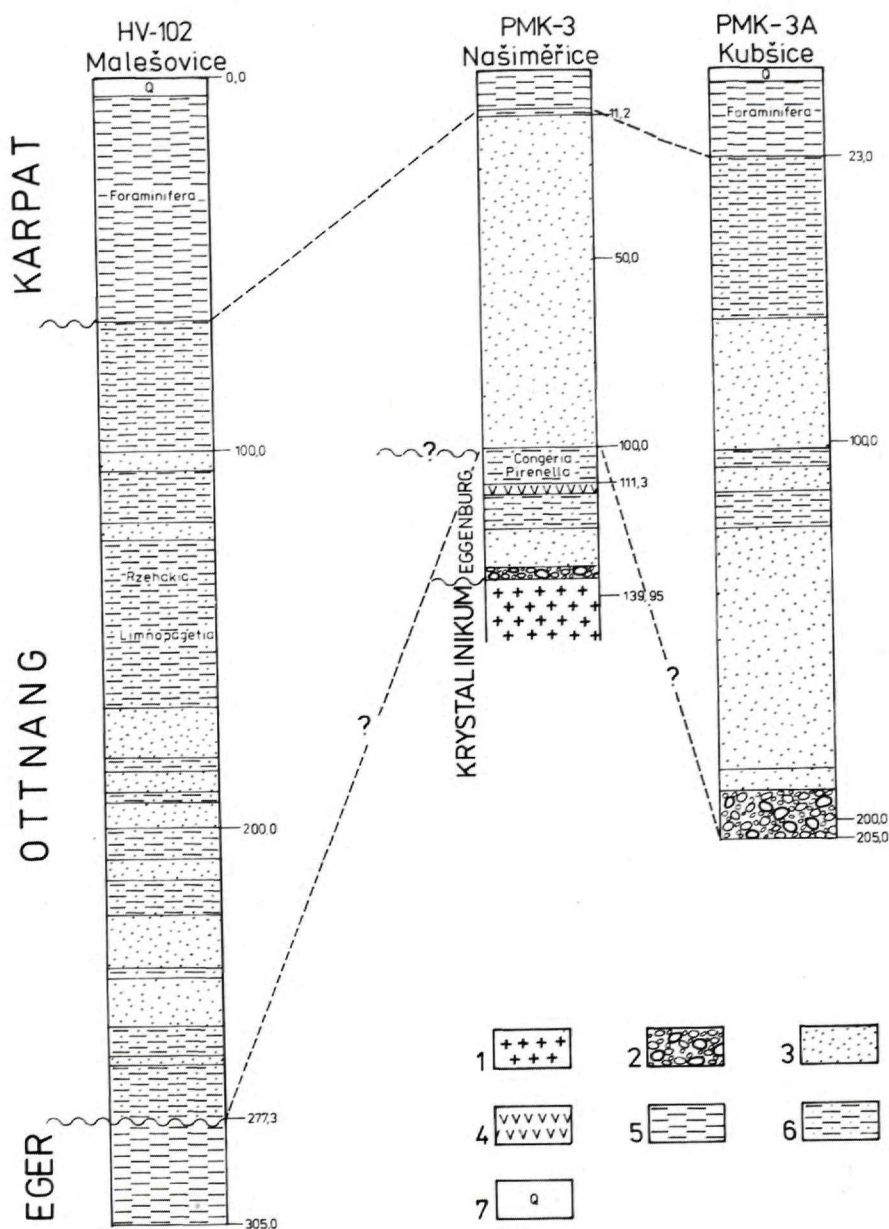
#### Eger

Z autochtonní pozice v nadloží krystalinika Českého masivu máme pouze jediný doklad o přítomnosti mořských sedimentů egeru. Ve vrtu HV-102 Malešovice (hl. 277,3 až 305,0 m) byly navrtány hnědošedé až hnědočerné, slabě písčité až siltové a slabě vápnitě jílovce se zjevnými tektonickými ohlazy. Vrt byl popsán zprvu K. KUKLOVOU (1973) v rámci hydrogeologického průzkumu karpatské předhlubně. Vrt je situován přibližně v ose vranovického příkopu sz. směrem, ovšem již za svahy příkopu samotného. I. CICHA et al. (1984) uvádí z jílovů uvedených hloubek *Miogypsina cf. complanata*. P. ČTYROKÝ (1988) v jádřech získaných při skartaci vrtu uvádí měkkýše *Turritella* sp. a ? *Charonia* sp. a dírkovce *Lepidocyclus* (*Eulepidina*) cf. *dilatata* (MICHT.) a *Uvigerina bononiensis* FORNASINI; bohužel nanoplankton chybí. Pro tyto vrstvy P. ČTYROKÝ (1988) navrhuje název vrstvy malešovické a typovým profilem ve vrtu HV-102 Malešovice a řadí je do egeru (viz obr. 3). Na základě výskytu velkého dírkovce *L. (Eulepidina) dilatata* by se spíše mělo jednat o spodní část egeru, korelovatelnou s některou částí lučenského souvrství (D. VASS – M. ELEČKO, 1982) jižního Slovenska.

Malešovickým vrstvám by věkem mohly odpovídat (nebo pouze jejich části) mělkovodní sedimenty meluských vrstev a pielašských téglů lemujičí krystalinikum Českého masivu na severním okraji alpské předhlubně (molasy) od Enns v Rakousku na V a známé také z podloží příkrovů flyše a Severních vápencových Alp z vrtů Urmannsau-1, Seitenstetten-1, Texing-1 a Mauerbach-1a. Ještě větší vztah však jak na základě litologické podobnosti, tak i na základě výskytu *lepidocyklin* a *Miogypsina formosensis* YABE et HANZAWA mají autochtonní vrstvy egeru zjištěné ve vrtech Rabensburg West-1 a Bernsdorf-1 (G. WACHTEL – G. WESSELY, 1981). Podle R. FUCHSE et al. (1980) meluské vrstvy zjištěné v hlubinných vrtech v prostoru Absdorf – Stockerau – Dürnleis (molasa Dol. Rakouska) o mocnosti 150–300 m tvoří souvrství slepenců a tmavých až černých, slabě vápnitých jílovů s bentózními dírkovci, mezi nimiž dominuje *Uvigerina steyeri*. V tomto prostoru vrstvy leží na sedimentech krystalinika, jury i svrchní křídý.

O věkové korelace malešovických vrstev můžeme uvažovat a srovnávat je i s egerskými ekvivalenty v příkrovu ždánické jednotky a zóny Waschbergu. V ždánické jednotce by jim mohly odpovídat některé oddíly hustopečských slínů a v zóně Waschbergu vrstvy thomaslerské (A. PAPP – A. KRÖLL – R. FUSCHS, 1978). Vzhledem k tomu, že neznáme celkovou mocnost, litologii ani faunistický vývoj celého vrstevního sledu, je nutno s definitivním zařazením v rámci egeru posečkat.

V blízkosti vrtu HV-102 Malešovice byl nově ve vrtu PMK-12 Loděnice zjištěn relikt autochtonních sedimentů spodního eocénu (P. ČTYROKÝ, 1988, P. ČTYROKÝ et al., 1990) ležící v podloží sedimentů ottnangu a karpatu. Bude tedy problematika stratigrafických členů autochtonního paleogénu i spodního miocénu na Českém masívu zřejmě mnohem komplikovanější, než se zatím soudilo.



Obr. 3 Korelační schéma vrtů HV-102 Malešovice, PMK-3 Našiměřice a PMK-3A Kubšice  
 1 — krystalinikum, 2 — štěrky a slepence, 3 — písky a pískovce, 4 — tufitické a bentonitické jílovce  
 a jíly, 5 — nevápnité a slabě vápnité jílovce a jíly, 6 — prachovité a písčité jílovce a jíly, 7 — kváter.

## Eger až eggenburg

K těmto vrstvám patří sladkovodní až splachově-terrestrické vrstvy, označené L. PRACHAŘEM (1970) a M. DLABAČEM (1970, 1976) jako žerotické vrstvy podle typového profilu ve vrtu Z-7A v Žeroticích, sv. od Znojma. Tyto vrstvy byly navrtány v nadloží vápenců (? paleozoikum) a M. DLABAČ (1976) je kladl k oligocénu. Vzhledem k zjištění dvou nových neznámých stratigrafických jednotek v tomto vrtu byl v rámci výzkumu ÚÚG v roce 1978 vyhlouben v těsné blízkosti původního profilu vrt nový, označený Že-1, který přinesl nová doplňující data (viz obr. 2).

V nadloží přes 200 m mocně série devonských (givet – frasn) vápenců (P. BATÍK – V. SKOČEK, 1981) byly zastiženy 10 m mocně tmavošedé zvětralinové fylitické horniny, jež mají na bázi horizont hrubozrnných štěrků, jsou silně prohněné a s tektonickými ohlažy. Tyto vrstvy nepovažujeme v žádném případě za bázi žerotických vrstev, ale za samostatnou jednotku z období devon až eger. Litologicky se však liší od uložení kulmu, jež byly zjištěny v některých vrtech na Znojemsku (P. BATÍK – V. SKOČEK, 1981).

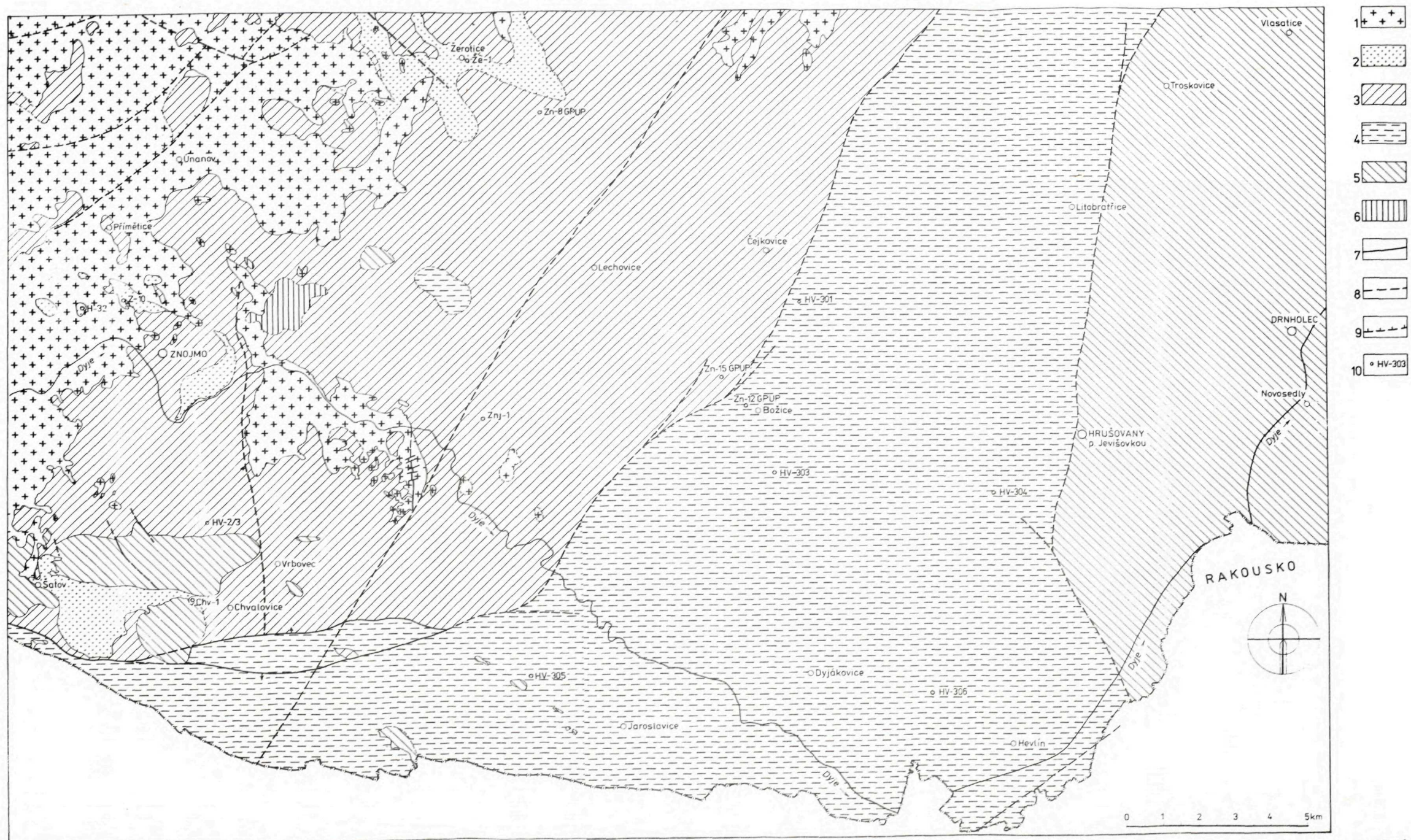
V nadloží zvětralin fylitů ve vrtbě Že-1 jsou uložena hrubá bazální klastika s převahou materiálu krystalinika (parakonglomeráty) o mocnosti kolem 1 m. Nad nimi se v profilu 37,5 m mocném střídají polohy zelenošedých až tmavozelených drobivých, slabě vápnitých jílovů až siltovců s polohami stejně litologické povahy, ale s fialovo-rezavým až narudlým nádechem, případně fialověrudými šmouhami nebo skvrnami. Vzácné jsou vložky až 2 m mocně zelenavých středně až hrubě zrnitých písků. Celkový ráz žerotických vrstev nemá rozehně ráz deltovitých sedimentů, jak soudil L. PRACHAŘ (1970). Jedná se spíše o střídání poloh sedimentů vzniklých v mělké sladkovodní depresi (zelené polohy) a poloh terrestrických splachů s ruděfialovým zbarvením.

V nadloží žerotických vrstev bylo ve vrtu Že-1 navrtáno 46 m mocné souvrství šedozelených až tmavozelených písků, siltovců a jílovů, které dobře odpovídají litologický eggenburgu, známému z výchozů a mělkých vrtů v okolí Žerotic a Tvoříhrázi.

Vzhledem k tomu, že v celém profilu žerotických vrstev v typové oblasti se nepodařilo zjistit žádné živočišné a rostlinné fosilie, nelze jejich stáří přímo určit. Avšak z rytmického střídání poloh zelenavých a narudlých barev a vcelku postupného přechodu do nadložního eggenburgu soudíme, že žerotické vrstvy blízce předcházely marinní transgresi eggenburgu, a proto je rádimo do? egeru až eggenburgu (P. ČTYROKÝ – P. BATÍK et al., 1978). Později byly polohy pestřých jílů nalezeny v souvrství faunisticky prokazatelného eggenburgu na vrtu HV-301 Čejkovice (I. KRYSTEK – L. KRYSTKOVÁ, 1981).

Ekvivalenty žerotických vrstev byly zjištěny v r. 1988 ve vrtu HV-603 Jezeřany. Také zde leží tyto pestré, rudě nebo rudě skvrnité a smouhované prachovité jílovce, jílovce a písky v podloží faunisticky prokázaného eggenburgu s *Crassostrea gryphoides*, *Pirenella moravica* a jiných druhů měkkýšů. V nadloží eggenburgu zde leží pak přes 100 m mocná série písků a pískovců, nalezejících podle měkkýších faun z okolí k rzechakovým vrstvám (viz obr. 4).

V roce 1963 byl dokumentován dlouhý profil (viz obr. 12) v hlubokém úvozu v Knížecím lese s. od Ivančic, v němž souvrství rudých a pestřých jílovů a písků bylo zjištěno pod horizontem tufitických a bentonitických jílů, které později P. ČLŽEK (1980) zjistil jv. od Ivančic pod návrším Réna. V Knížecím lese v nadloží tufitického horizontu leží souvrství jílů a písků oligohalinní až sladkovodní biosacie rzechakových vrstev (s rody *Anodonta*, *Unio*, *Congeria*, *Nematurella*, kostmi ryb a savců) typu faciostratotypové lokality Ivančice – Padochovka (P. ČTYROKÝ in A. PAPP – F. RÖGL – J. SENEŠ et al., 1973). Za předpokladu, že horizont tufitu je v tomto profilu synchronní s ryolitovým tufitem ve Znojmě, jsou pestré sedimenty starší než nejvyšší eggenburg.



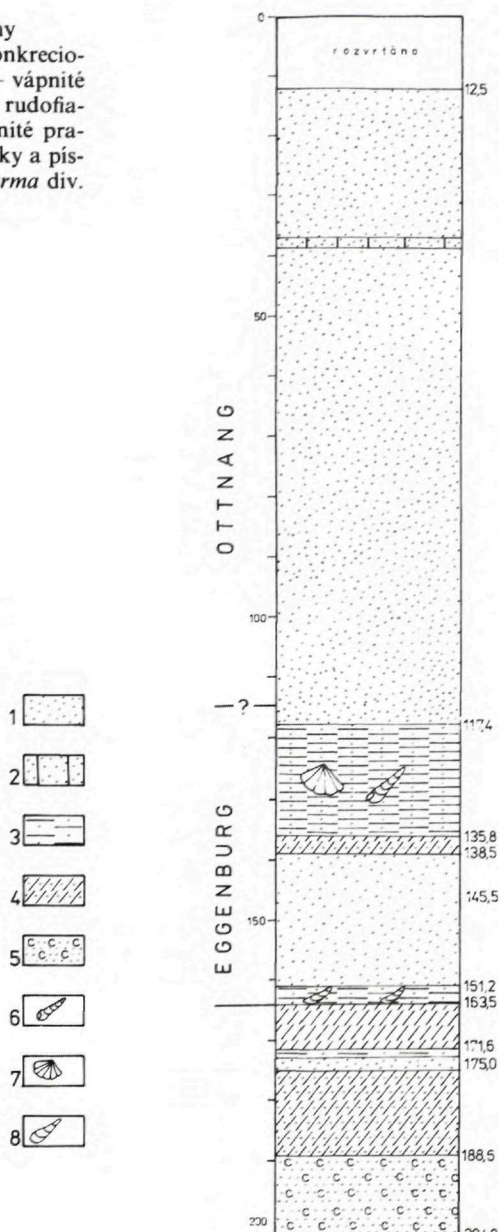
Obr. 1 Odkrytá geologická mapa jihozápadní části karpatské předhlubně na Moravě  
1 — krystalinum a paleozoikum nečleněné, 2 — eggenburg, 3 — ottnang, v izolovaných reliktech ottnang

až eggenburg, 4 — karpat, 5 — spodní baden, 6 — miocén až pliocén nedělený, 7 — zlomy ověřené,  
8 — zlomy předpokládané, 9 — přesmyky, 10 — situace vrtů.

O  
I  
m  
a  
o  
c  
K  
sp

br. 4 Schematický profil vrtu HV-603 Jezeřany

— písky, pískovce, prachy, prachovce, 2 — konkrecio-  
lně zpevněné polohy písků a prachovců, 3 — vápnité  
nevápnité prachovité jíly a jílovce, 4 — rudě a rudoafia-  
lově zbarvené a smouhované, převážně nevápnité pra-  
chovité jílovce a prachovce, 5 — chloritické písky a pís-  
covce, 6 — *Pirenella moravica*, 7 — *Cerastoderma* div.  
, 8 — *Crassostrea gryphoides*.



### Eggenburg

Moře eggenburgu proniklo na krystalinikum Českého masívu asi až v údobí ukládání eggenburgských vrstev, jež podle poměrů ve stratotypové oblasti v Dolním Rakousku byly rozsáhle transgresivní a v období jejich sedimentace došlo asi k maximálnímu zvýšení hladiny světového oceánu. Bracké vrstvy moltské, jež leží na bázi eggenburgu

v hornské pánvi, nebyly na Znojemsku zjištěny. Bracké vrstvy s *Pirenella moravica* se podle fauny měkkýšů jeví zřetelně mladší než vrstvy moltské. Moře eggenburgu zaplavilo hluboko rozvětralý krystalinický podklad, který byl nad to velmi ostře modelovaný do ostrých hřbetů a hlubokých kaňonů. V takových kaňonech jsou dnes pohřbeny marinní sedimenty eggenburgu na silně kaolinizovaném krystaliniku s. a sz. od Znojma. V této oblasti běžně docházelo při marinní transgresi k redepozicím kaolinů, bazální souvrství eggenburgu často obsahují polohy sekundárních kaolinů.

Schematicky můžeme v této části čelní hlubiny rozdělit sedimenty eggenburgu do dvou bio- a litofaciálních vývojů: a) vývoj pánevní, b) vývoj mělkovodní.

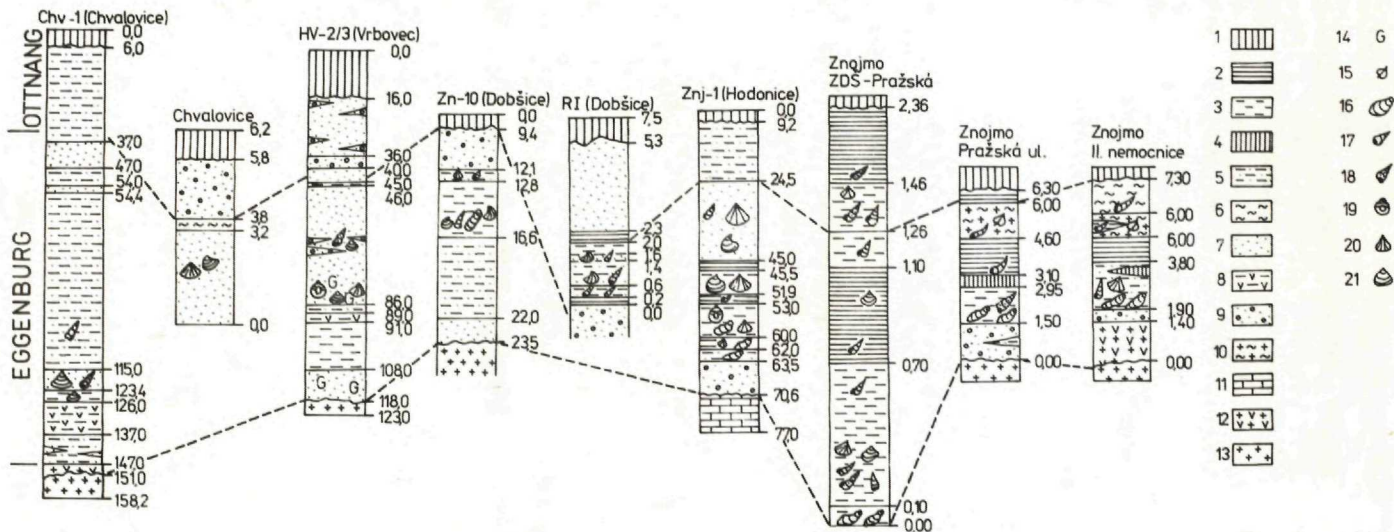
### Vývoj pánevní

K pánevnímu vývoji řadíme především stratigrafické profily dobré známé především z vrtů v jižní části území, rádově na linii Šatov, Slup, Hevlín, Březí, Vranovice. V tomto vývoji leží na bázi eggenburgu bazální štěrky a píska o celkové mocnosti kolem 20 m, jež jsou v některých profilech glaukonitické a chloritické. V těchto bazálních vrstvách byla ve vrtu HV 2/3 u Vrbovce nalezena a popsána euhalinní fauna mořských měkkýšů s druhy *Glycymeris cor*, *G. fichteli*, *Protoma cathedralis* a *Turritella vermicularis* (I. KRÝSTEK – J. TEJKAL, 1968, V. KALABIS, 1970). Z těchto druhů je především *Glycymeris fichteli* vůdčí pro eggenburg. Vyšší vrstevní členy pánevního vývoje pak jsou tvořeny souvrstvím jemně až středně zrnitých písků s mocnými vložkami vápnitých jílů o celkové mocnosti kolem 100 m. Části tohoto souvrství, především jeho nejvyšší části, jsou odkryty v širším okolí Chvalovic a Šatova, dokonale byly studovány především v hlubších vrtech Chv-1 (Chvalovice), HV 2/3 Vrbovec a HV-305 Slup. V pelitech tohoto souvrství byla V. MOLČIKOVOU (1968, 1976) a I. CICHOU (1969) nalezena mikrofauna dírkovců s druhy *Ammonia beccarii*, *Pararotalia stellata*, *Cibicidoides budayi*, *Hanzawaia boueana*, *Bulimina elongata*, *Reusella spinulosa*, *Florilus boueanus*, *Elphidium flexuosum*, *E. ortenburgense*, *Lenticulata cultrata* aj. Pro stratigrafické zařazení k eggenburgu svědčí především výskyt druhu *Cibicidoides budayi*, jež byl zjištěn v několika horizontech. Nanoplankton nebyl zatím v pelitech eggenburgu zjištěn. V píscích a pískovcích nejvyšších členů tohoto souvrství pánevního vývoje byla J. TEJKALEM (1958) a I. CICHOU – J. PAULÍKEM – J. TEJKALEM (1957) zjištěna fauna mlžů s druhy *Thracia pubescens* a *Laevicardium cf. cingulatum*, jež jim umožnila tehdy tyto píska zařadit pravděpodobně do burdigalu. V nejvyšších částech profilu na Tejkalově lokalitě a na jiných lokalitách v okolí vinných sklepů u Chvalovic byla P. ČTYROKÝ (in P. BATÍK – P. ČTYROKÝ et al., 1978) zjištěna poloha až 30 cm mocná montmorillonitových jílů. V těchto jílech byl zjištěn hojně beta křemen a jsou zjevně vulkanogenního původu. Tyto jíly P. ČTYROKÝ (1982) koreluje s horizontem ryolitových tufitů a tufitických jílů v nejvyšší části mělkovodního vývoje eggenburgu v okolí Znojma a daleko na SV do okolí Miroslavi. Směrem na východ v oblasti Božic a Čejkovic má mělkovodní vývoj eggenburgu podobný charakter jako v okrajové oblasti. V hydrogeologických vrtech HV-301 Čejkvice a HV-303 Božice se pod písčitým horizontem eggenburgu (v mocnostech kolem 100 m jako na vrtu Chv-1), který I. KRÝSTEK (1983) označuje jako čejkovicke píska, vyskytuje souvrství jílů a písků, v němž se vyskytuje *Cibicidoides budayi* a makrofauna s *Pirenella moravica* a velkými ustřicemi. Misty v nich jsou vložky s euhalinnějšími měkkýši podobného složení, jako kupř. ve vrtu Znj-1 v Hodonicích. Ve vrtu HV-301 v Čejkovicích bylo zjištěno I. KRÝSTEK (1983) i střídání zelených a zelenošedých pelitů s makrofaunou s polohami pestřých jílovců. Litologicky jsou tyto pestré sedimenty více či méně shodné s tzv. žerotickými vrstvami. Proto I. KRÝSTEK (1983) klade pestré sedimenty již k eggenburgu.

Jak bylo poukázáno výše, termín žerotické vrstvy by se měl podle původního M. DLABAČOVA (1976) pojít používat pouze pro bezfosilní souvrství pestrých jílovčů a pískovců, jež leží jednoznačně v podloží prokázaného marinního eggenburgu. V tomto pojíti je interpretují také P. ČTYROKÝ – P. BATÍK et al. (1978) na geologických mapách listy Znojmo, Šatov a Božice. I když jak v typovém profilu ve vrtu Žerotice-1, tak i na jiných vrtech mají rozchodně bližší vztah k bazálním sedimentům eggenburgu, nelze vyloučit, že část z nich zahrnuje v sladkovodní facii i nejvyšší eger. I. KRYSTEK (1983) na základě špatně určených měkkýšů z vrtů HV-301 a HV-303 dochází k neopodstatněnému závěru o podobnosti brackických faun mlžů a plžů brackického eggenburgu se společenstvy měkkýšů rzechakových vrstev v. od miroslavské hrástě. Jak bylo již výše zdůrazněno, brackická společenstva měkkýšů rodů *Pirella-Congeria-Crassostrea* a *Nematuraella-Hydrobia-Ctyrokyia* eggenburgu jsou druhově naprostě odlišná od společenstev stejných rodů rzechakových vrstev a většina druhů z eggenburgu může být interpretována jako vývojoví předchůdci druhů známých z rzechakových vrstev (P. ČTYROKÝ, 1972, 1982).

Na V od Hevlína na jurskou elevaci u Březí transgredují z východní strany elevace přímo stratigraficky vyšší peliticko-písčité členy eggenburgu a bazální klastika zde chybí. Předpoklad V. ŠPIČKY (1972) a I. KRYSTKA (1983), že na této elevaci chybí sedimenty eggenburgu zcela, nebude patrně pravdivá. Směrem na V od této elevace po čelo ždánického příkrovu se nachází největší deprese, kde sedimenty eggenburgu dosahují největší mocnosti. Na základě profilů četných hlubokých vrtů MND zde na jurské podloží transgredují bazální klastika glaukonitických a drobových pískovců, jež dosahují největší mocnosti ve vrtu Mikulov-4, při linii nasunutí ždánické jednotky. V bazálních klastikách se nacházelo plynové ložisko u Dolních Dunajovic (J. ADÁMEK, 1979). V nadloží je uloženo peliticko-písčité souvrství eggenburgu, jež podle interpretace vrtu Mikulov-1 by mělo dosahovat přes 500 m mocnosti. I. ŽŮRKOVÁ (1967) rozdělila toto souvrství na dva oddíly: spodní bez kalcitu a svrchní s převahou kalcitu nad dolomitem. Také asociace těžkých minerálů eggenburgu Mikulovska se liší od většiny spodnomiocenních sedimentů západního okraje předhlubně. Zatím co v bazálních klastikách eggenburgu na Mikulovsku je velký podíl zirkonu (až 60 %) a staurolitu (až 20 %), granát je zastoupen zcela podřadně (J. ADÁMEK, 1979), v pelitických sedimentech vyššího oddílu zcela převládá granát (I. ŽŮRKOVÁ, 1967). V bazálních klastikách eggenburgu byly zjištěny pouze rybí zbytky a brackickí dírkovci rodů *Ammoscalaria*, *Trochammina* a *Reophax* (I. ZAPLETALOVÁ, 1977). V souvrství pelitů se střídají polohy bohaté na neritickou a sublitrární faunu dírkovců s druhy *Budaschevella* aff. *kamtschatica* VOLOSH., *Cyclammina* sp., *Gaudryina* sp., *Cibicidoides budayi* CICHA et ZAPL., *Chilostomella balkhanica* BOGD. s polohami zřetelně ochuzenými s hojnými zástupci rodů *Ammonia*, *Ammoscalaria*, *Silicoplacentina*, *Reophax scorpiurus* MONT., pyritisovanými rosivkami a zbytky ryb (I. ZAPLETALOVÁ, 1977, R. JIŘÍČEK, 1983). Ve vrtu Dunajovice-1 uvádějí M. HOLZKNECHT – I. ZAPLETALOVÁ (1974) z eggenburgu v hl. 1082 m i vulkanogenní materiál s beta křemenem a vulkanickým sklem.

V souvislosti se základním geologickým výzkumem na listech 34-142 Mikulov a 34-124 Pouzdřany a se studiem stavby předpolí ždánického příkrovu byl těsně před povrchově vymapovaným čelem příkrovu situován mělký strukturní vrt Perná-1, který dosáhl celkové hloubky 122 m. Vrt byl situován v katastru obce Perná, 1385 m ssv. od kostela v Bavorech a 960 m jv. od kostela v Perné. Cílem vrtu bylo objasnit litologický vývoj, stratigrafický sled a úložné poměry miocénu před čelem příkrovu. V profilu vrtu v hl. 0,20–6,00 m byly zastiženy bělavé šedé a světle šedé jemně slídnaté, jemně prachovité, prismaticky odlučné vápnité jílovce, které jsou litologii identické s vápnitými jílovci eggenburgu, které vycházejí v tektonické kře j. a jz. od obce Bavory (objekt sušičky JZD,



Obr. 5 Litostratigrafická a biostratigrafická korelace sedimentů eggenburgu a otnangu v povrchových profilech a vrtech na Znojemsku  
 1 — kvartér, 2 — jíly a tufitické jíly, 3 — vápnité jíly, 4 — písčité vápence, 5 — písčité jíly a prachy, 6 — montmorilonitické a bentonitické jíly,  
 7 — pisky a pískovce, 8 — vápnité jíly s bohatou faunou dírkovců, 9 — štěrky a slepence, 10 — ryolitový tufit, 11 — vápence devonu,  
 12 — kaolinisovaný granit, 13 — granit, 14 — výskyt glaukonitu, 15 — výskyt fosilní flóry, 16 — výskyt *Crassostrea*, 17 — výskyt *Hydrobia*  
 a *Nematuraella*, 18 — výskyt *Pirenella*, 19 — výskyt *Glycymeris*, 20 — výskyt *Cardiidae*, 21 — výskyt *Polymesoda*.

vinice a pole ve svahu nad ní až po fotbalové hřiště). Zde jejich mocnost ve vrtu Mi-28 byla 30 m.

V těchto horninách byla ve vrtu Perná-1 zjištěna bohatá drobnější mikrofauna dírkovců s převládajícím planktonem s druhy *Cassigerinella boudecensis* POK., *Globigerina bollii lentiana* RÖGL, *G. brevispira* SUBB., *Globigerinoides quadrilobatus primordius* BL.-BAN a j. Z bentosu se vyskytuji především *Valvularia complanata* (ORB.), úlomky *stilostomel*, drobné *boliviny* s druhy *Bolivina molassica* HOF., *B. crenulata trunensis* HOF. a j. Společenstvo dírkovců je provázeno jehlicemi hub (převážně bezosé rhaxy). Vápnitý nanoplankton je reprezentován častěji se vyskytujícím druhem *Helicosphaera ampliaperta* BRAMLETTE et WILCOXON. Společenstvo dírkovců odpovídá eggenburgu a nejvíce se blíží společenstvu šakvických slínů ždánické jednotky (V. MOLČÍKOVÁ – Z. STRÁNÍK, 1980). Také nástup druhu *H. ampliaperta* BRAMLETTE et WILCOXON se váže na bázi zóny NN-2 *Discoaster druggi* (MARTINI) a potvrzuje vedle dírkovců rovněž příslušnost k eggenburgu.

V hl. 6,00–10,50 m byly zastiženy ve vrtu převážně tmavohnědé, místy světle hnědě a laminované, tektonicky prohnětené nevápnité jíly a jilovce. V laminách převažují žlutošedé jemně slidnaté rozpadavé prachovce až jemnozrnné pískovce, objevují se i 1–2 cm mocné rezavě hnědě limoniticko-pelokarbonátové polohy. V těchto vrstvách převažuje mikrofauna zřejmě redeponovaná z eggenburgu a starších hornin, rovněž nanoplankton chybí. Na základě litologického srovnání můžeme tyto vrstvy velmi pravděpodobně srovnat s pavlovickými vrstvami otnangu, známými z nadloží šakvických slínů v okolí Velkých Pavlovic (Z. STRÁNÍK – V. MOLČÍKOVÁ, 1980). Obdobné horniny byly zjištěny v tektonických útržcích při čele ždánické jednotky v okolí Perné a Bavor (P. ČTYRKÝ et al., 1990).

V hl. 10,50–12,00 m byly navrtány hnědě nazelenalé až šedé prachovité, převážně nevrstevnaté vápnitné jilovce. Některé vzorky z těchto hornin jsou sterilní, v některých se vyskytují bentoničtí dírkovci *Bolivina crenulata trunensis* HOF., *B. dilatata dilatata* (Rss.), *Bulimina elongata* (ORB.), *B. striata* (ORB.) a chudý plankton; společenstvo pravděpodobně patří již ochuzenému vývoji karpatu.

### Vývoj mělkovodní

Tento vývoj byl studován na mnoha odkryvech a profilech mapovacích vrtů a vrtů na kaolin mezi Podmolím, Znojemem, Tvoříhrází a Hostěradicemi. Vzhledem k členitosti předmiocenního reliéfu krystalinika je pro tento vývoj charakteristická enormní proměnlivost litofacií a biofacií. Bazální členy tohoto vývoje jsou tvořeny balvanitými hrubozrnnými štěrkami, jemnozrnnými štěrkami, písky a pískovci, jež jsou často kaolinické nebo na bázi obsahují polohy rudě zbarvených písků. Na elevacích podloží bazální klastika často chybí a na proterozoickém či paleozoickém podkladu jsou uloženy silty, písčité jíly, vápnitné i nevápnité jíly s vložkami písků i uhelných jílů. V nejvyšší části tohoto souvrství je uložena poloha či polohy ryolitového tufitu, laterálně se často zastupující s tufitickými montmorillonitickými či bentonickými jíly. Podle I. KRYSTKA (1959) se jedná o ryodacitové až ryolitové tufity. V oblasti sz. od Znojma v okolí Oleksovic a Hostěradic odpovídají mělkovodnímu vývoji eggenburgu tzv. tufitické vrstvy, stanovené J. DORNIČEM (1969) a M. DLABAČEM (1976). Oba jmenovaní autoři je však považovali za bazální člen otnangu.

Pro okrajový mělkovodní vývoj eggenburgu jsou typické především hojně měkkýší fauny. V bazálních členech mělkovodního vývoje, sledovaných především v mapovacích vrtech v okolí Znojma, ve vrtu Znj-1 v Hodonicích a v některých vrtech uranového průmyslu, byly již v roce 1966 zjištěny střídající se rytmy s marinní faunou a faunou

brachyhalinní povahy s *Pirenella moravica*. (HÖRN.). V marinních rytmech byly zjištěny druhy *Nucula* sp., *Glycymeris* sp., *Glycymeris fichteli* (DESH.), *G. cor* (LMK.), *Barbatia cf. barbata* L., *Pholas dactylus* (L.), *Timoclea ovata minor* DOLL. et DZ., *Cardiidae* div. sp., *Hinia edlaueri*. B. BYSTRICKY, *Calyptrea* sp., *Ocinebrina* sp., vzácně se vyskytuje i všudypřítomná *Pirenella moravica* (HÖRN.). V brachyhalinních rytmech se vyskytuje i ustřičné slapy ustříc *Crassostrea gryphoides* (SCHLOTH.) provázené *Pirenella moravica* (HÖRN.), v hlubších částech bahnititého dna masově *Pirenella moravica* (HÖRN.), *Clithon (Vittoclithon) pictus* (FÉR.) a drobní plži rodů *Hydrobia*, *Nematurella* a *Ctyrokya*, z mlžů rody *Congeria* a *Cerastoderma*.

Laterálně se brachyhalinní rytmey často zastupují s polohami zelenavých až žlutavých jílů až siltů výlučně s drobnými gastropody rodů *Hydrobia*, *Ctyrokya*, *Clithon (Vittoclithon)*, *Nematurella* a mlžů *Cerastoderma* a *Congeria*. V litorálních až lagunárních sedimentech např. na lokalitách Znojmo-Pražská, Znojmo-nemocnice nebo Dobšice jsou vrstvy s drobnými gastropody typické pro nejvyšší části profilu pod horizontem ryolitového tufitu. Vyskytuju se však stratigraficky i mnohem hlouběji, jak bylo zjištěno ve vrtu Znj-1 Hodonice, vrtu Zn-8 GPUP a j. (obr. 5—8).

Obdobná společenstva měkkýšů byla zjištěna také ve vrtech Zn-5 GPUP v hl. 80,0—85,0 m a Zn-12 GPUP hl. 127—132 m v Božicích. V obou zmíněných vrtech byly zjištěny druhy měkkýšů *Crassostrea gryphoides* (SCHLOTHEIM), *Polymesoda* sp., *Mytilus cf. galloprovincialis* ssp., *Chlamys* sp., *Congeria* sp., *Turritella* sp., *Pirenella moravica* (HÖRN.).

Střídání cyklů marinních a brackických vrstev s odlišnými tafocenózami měkkýšů uváděli z profilů některých vrtů Uranového průmyslu na Znojemsku také I. KRYSTEK — J. TEJKAL (1968) a P. ČTYROKÝ (in J. DORNÍČ, 1980).

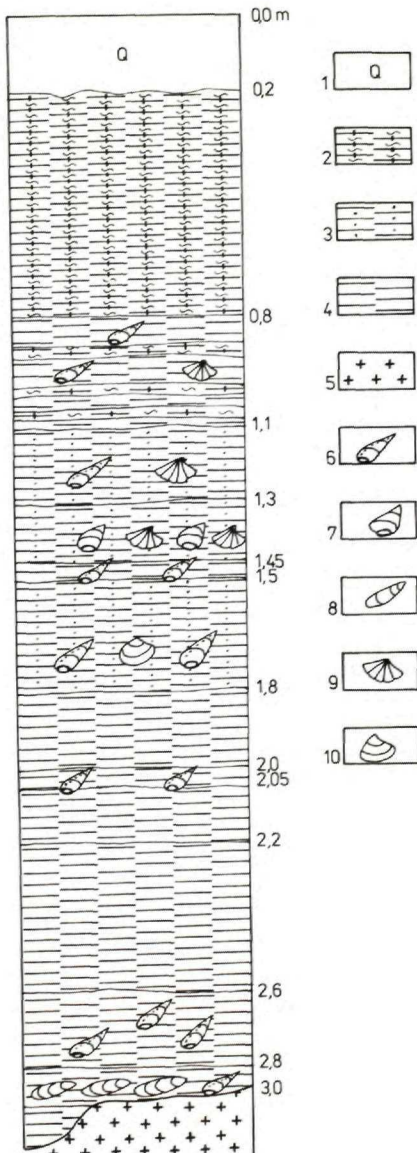
Jak již bylo výše zmíněno, za nejvyšší členy paleontologicky prokázaného eggenburgu lze považovat horizont ryolitového tufitu a jemu odpovídajících tufitických, resp. montmorillonitických jílů, jež v oblasti z. od miroslavské hrásti v okolí Hostěradic tvoří samostatné souvrství mocné až 13 m (J. DORNÍČ, 1969). Otázka původu těchto tufitů byla již diskutována I. KRYSTKEM (1959) a J. BŘEZINOU (1959). Jako nejpravděpodobnější je původ těchto sopečných popelů až v oblasti jihoslovenské a severomaďarské, kde je známa z nejvyššího eggenburgu a ottnangu enormní vulkanická aktivita (tzv. spodní ryolitové tufy maďarských autorů). Není však vyloučeno, že při nejmladších sávských pohybech fungoval v alpsko-karpatské čelní hlubině v Rakousku nebo na Moravě ostrovni vulkán, nyní hluboko zakrytý pod čely příkrovů nebo mocným pokryvem mladšího miocénu.

V karpatské předhlubni na jižní Moravě v okolí Znojma je tedy za nejvyšší hraniční člen eggenburgu považován horizont ryolitového tufitu (P. ČTYROKÝ, 1982). Přirozeně byly snahy využít tohoto vulkanogenního souvrství k získání radiometrických dat. Dvě K/Ar analýzy z povrchových vzorků ryolitového tufitu ve Znojmě (Pražská ul.) poskytly na základě analyzovaného biotitu ve dvou různých laboratořích (Universita Heidelberg, NSR; ÚÚG Praha (Dr. ŠMEJKAL) vcelku shodná data 11,3 MA. Nově analyzovaný vzorek biotitu z ryolitového tufitu z vrtu H-32 Hradiště u Znojma v Institutu nukleárního výzkumu Maďarské akademie věd v Debrecénu (K. BALOGH) poskytl data  $7,5 \pm 3,5$  Ma a  $6,9 \pm 1,9$  MA. Všechna data jsou velmi mladá a nemohou odpovídat skutečnému stáří a jsou vysvětlována zvětráním biotitu, u něhož došlo ke ztrátě isotopu  $^{40}\text{Ar}$ . Obdobný jev je udáván i u tufitů eggenburgu na lokalitě Ipolttarnóc v Maďarsku.

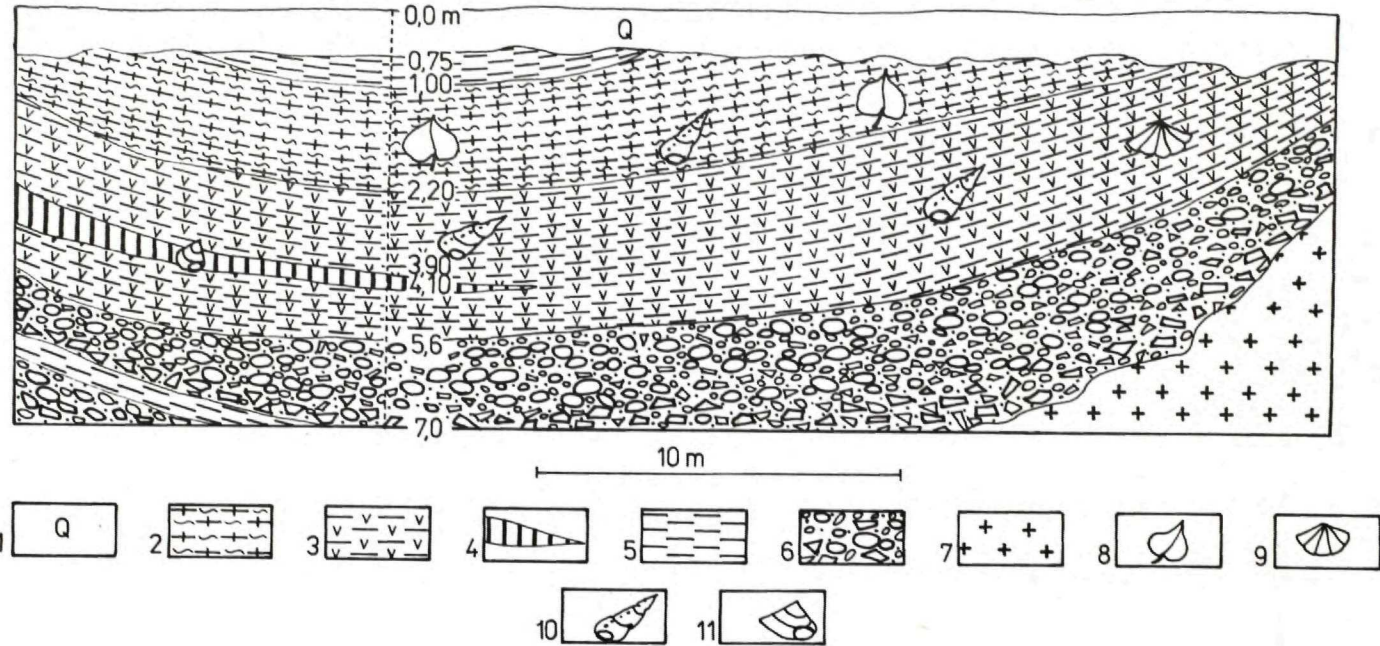
Vrstvy s *Pirenella moravica* byly známy z počátku pouze z několika povrchových výchozů. Byly ostatně známy již z konce minulého století A. RZEHAKOVI (1886), který zpracoval tyto faunu z města Znojma pro první geologickou mapu 1:75 000 listu Znojmo

pod redakcí C. M. PAULA (1898). V důsledku nebývalé stavební aktivity ve Znojmě v posledních 20 letech byly mělkovodní vývoje eggenburgu dokonale odkryty ve výkopech pro základy sídlišť a jiných budov. Z rozsáhlých odkryvů v těchto výkopech byl získán bohatý materiál fosilních měkkýšů pro rozsáhlejší srovnávací studium.

Směrem k Z známe nyní především z průzkumných vrtů na kaolin (V. MÁTL, 1979) mělkovodní vrstvy eggenburgu s *Pirenella moravica* i z listu map 1:25 000 Podmolí a Kravsko, kde jejich reliktů jsou zachovány v hlubokých depresích podkladu. V této

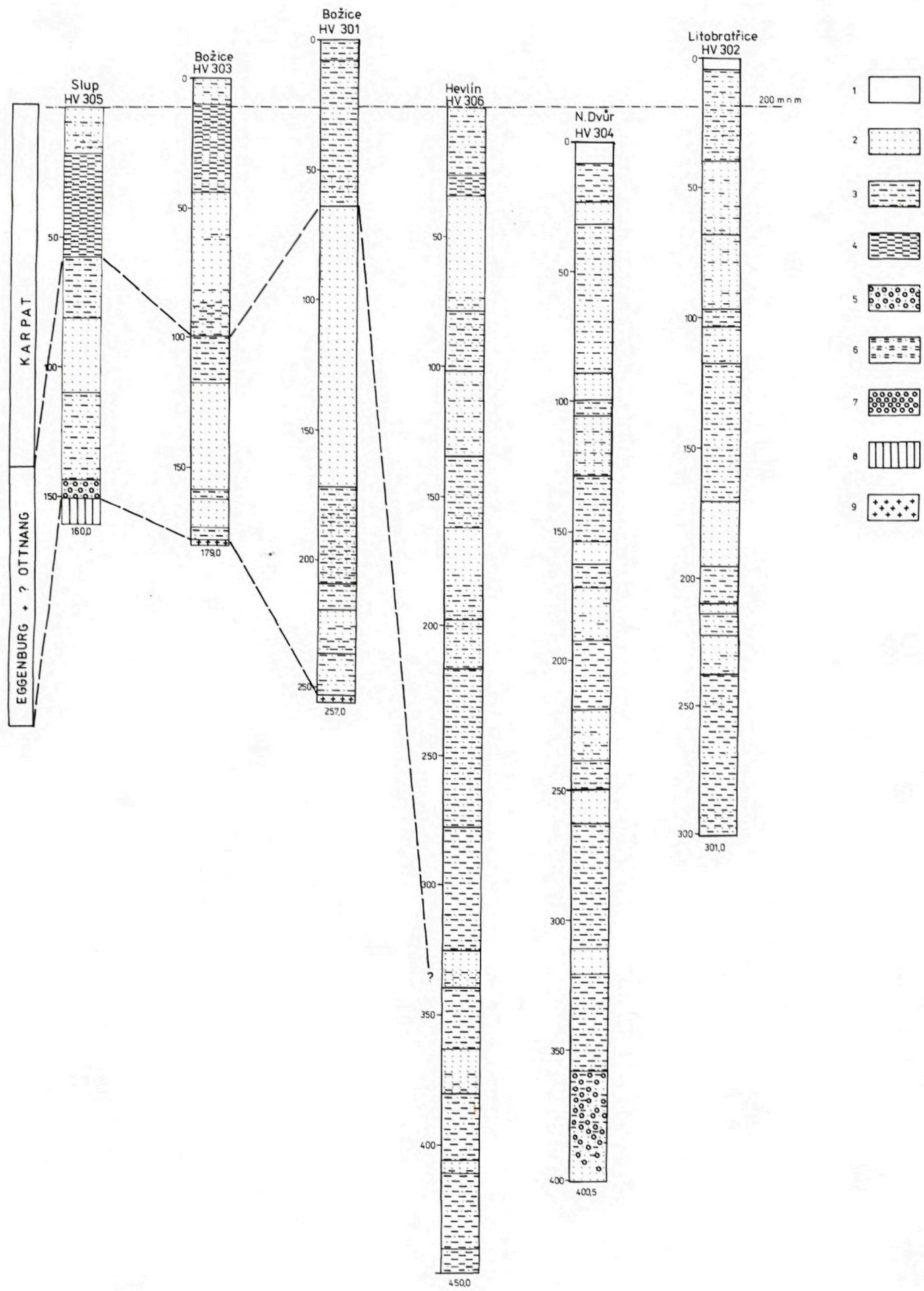


Obr. 6 Profil sedimenty eggenburgu ve výkopech pro základy školy ve Znojmě, Pražská ul.  
 1 — kvartér, 2 — laminované tufitické jílovce bez fauny, 3 — prachovité a písčité jílovce, 4 — vápnité a nevápnité jíly a jílovce, 5 — krystalinikum, 6 — *Pirenella moravica*, 7 — *Hydrobia*, *Ctyrokya*, *Nematurella*, *Melanopsis*, *Vittoclinion*, 8 — *Crasostrea gryphoides*, 9 — *Cardiidae*, 10 — *Polymesoda*.

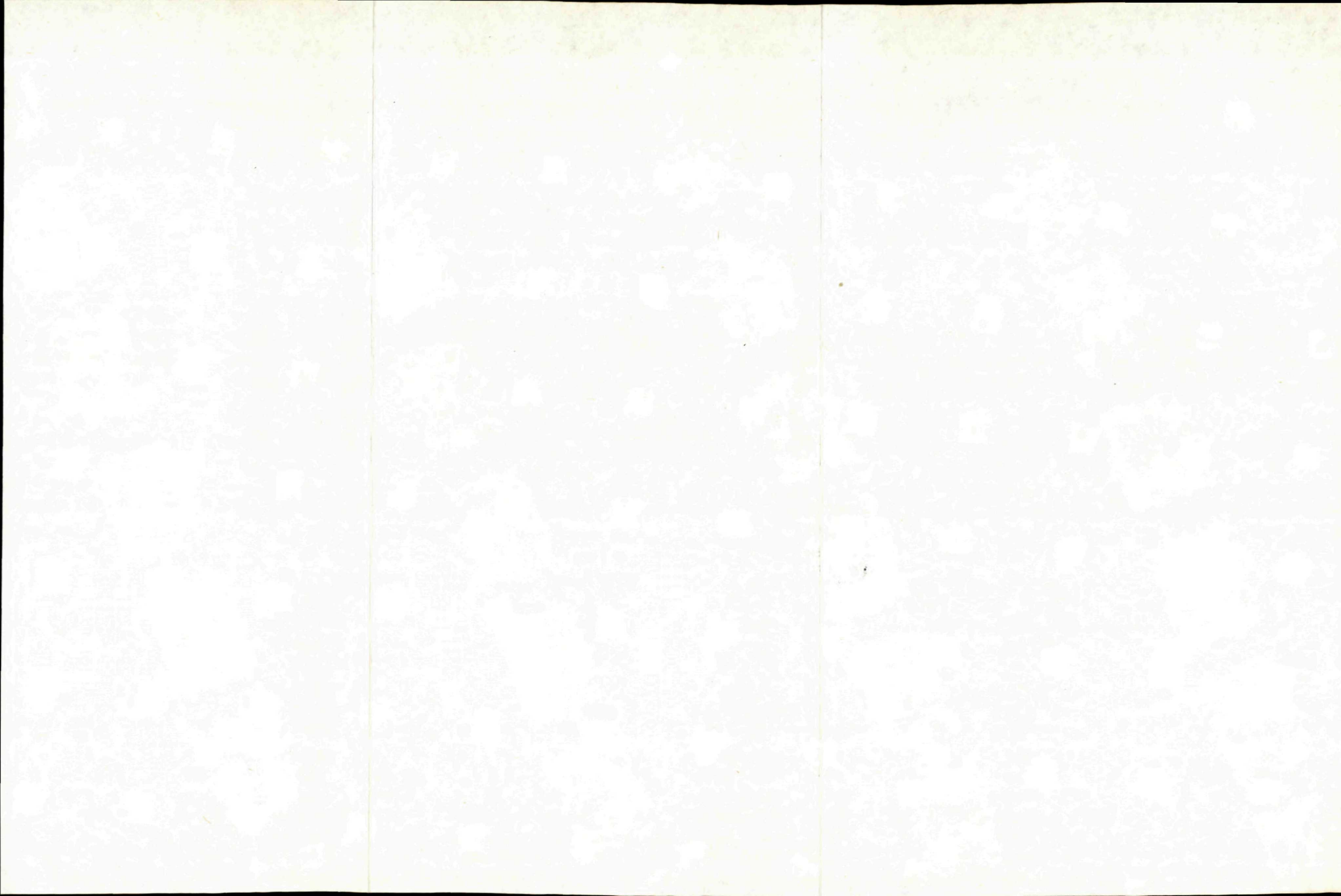


Obr. 7 Profil transgresní báze eggenburgu v kanalizačních rýhách ve Znojmě, sídliště Pražská ul.

1 — kvarter, 2 — ryolitový tufit, 3 — tufitické a bentonitické jily, 4 — vápnité pěnovce a organodetritické vápence, 5 — jily a jilovce, 6 — bazální štěrky a brekcie, 7 — krystalinikum, 8 — fosilní flóra, 9 — *Cardiidae*, 10 — *Pirella moravica*, 11 — *Hydrobia*, *Nemurella*, *Ctyrokyia*.



Obr. 9 Korelace sedimentů eggenburgu, ottnangu a karpatu v profilech hydrogeologických vrtů  
 1 — kvartér, 2 — pisky a pískovce, 3 — jíly a prachovce, 4 — vápnité jíly, 5 — slepence, 6 — vápnité pískovce, 7 — štěrky, 8 — kulm,  
 9 — krystalinikum.

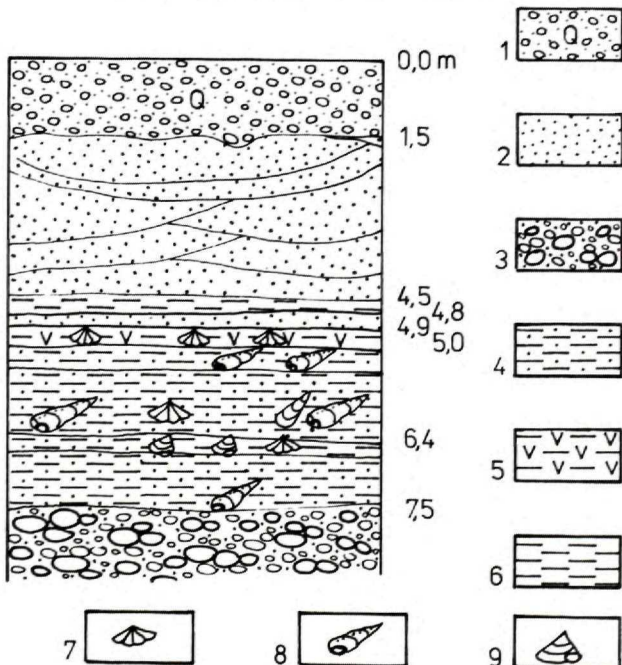


oblasti bylo ve vrtech zjištěno neobvyklé semeno druhu *Ceratostratiotes zapfei*, původně popsané z uhelné pánve u Langau (Č. BŮŽEK, 1982). Zdá se rovněž pravděpodobné, že mořské měkkýší fauny popsané J. TEJKALEM – Z. LAŠTOVIČKOU (1970) od Nových Syrovic (dvůr Augustov) náleží asi k eggenburgu. Vrstvy ryolitového tufitu ve Znojmě přinesly také hojné nálezy listové flóry (E. KNOBLOCH, 1969). Tato malolistá xerofytní flóra je kladena do rozmezí burdigal – helvet s.s.

V okolí Višňového, Hostěradic a Olešovic J. DORNIČEM (1969) a M. DLABAČEM (1976) vymezené tufitické vrstvy mocné až 13 m leží nad klastickým mořským eggenburgem s hojnými *Crassostrea gryphoides*, *Pirenella moravica*, jež byly popsány P. ČTYROKÝM (1982) z písčitých a štěrkovitých sedimentů ležících na krystaliniku miroslavské hrásti u Hostěradic.

Tafocénze měkkýšů z Hostěradic se skládá z druhů gastropodů *Theodoxus giganteus* BELL.-MICH., *Theodoxus* sp., *Trochus* sp., *Calyptrea depressa* LMK., *Pirenella moravica* (HOERN.), *Pirenella* sp., *Triphora* sp., *Turritella* sp., ? *Eulimella* sp. Z mlžů byly zjištěny druhy: *Modiolus* sp., *Mytilus* sp., *Gari* sp., *Timoclea ovata* (PENNANT), *Lucinoma cf. barrandei* (MAYER), *Cardium* sp., *Congeria* sp., *Crassostrea gryphoides* (SCHLOTHEIM) a *Ostrea* sp. Jedná se o společenstvo ustřičných slapů, tvořených především velkým množstvím přisedlých jedinců druhu *Crassostrea gryphoides*.

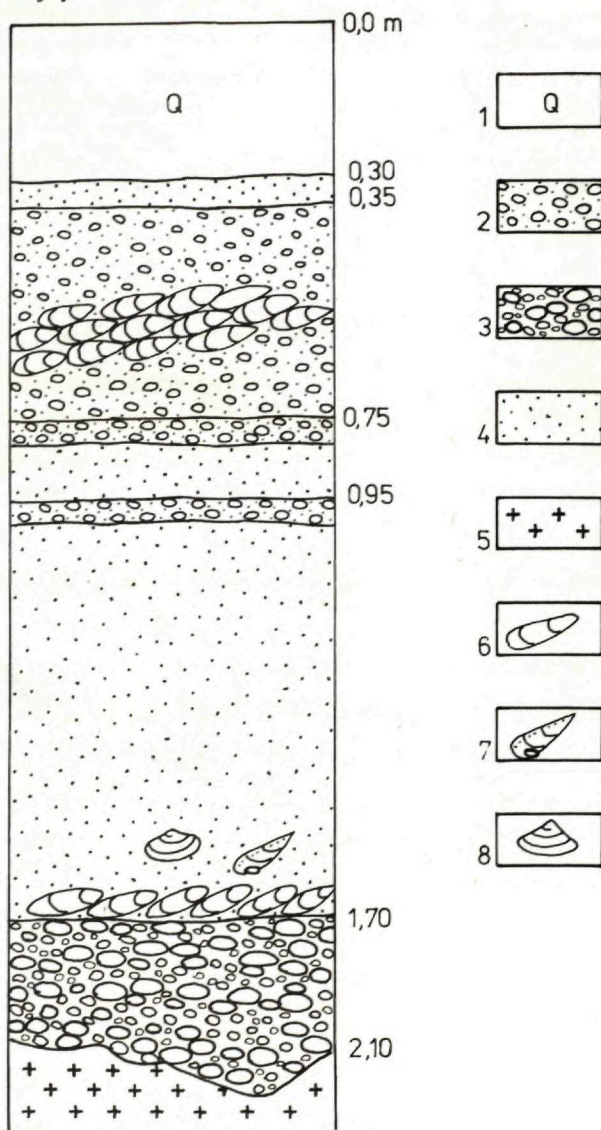
Mělkovodní facie eggenburgu s hojnými měkkýšimi faunami dvou společenstev *Pirenella-Crassostrea* a *Nematurella-Hydrobia* je možno směrem na V sledovat ve vrtech



Obr. 8 Profil rýhy R/I Znojmo – Dobšice

1 — kvartérní terasa, 2 — jemnozrnné, křížově zvrstvené písks ottnangu, 3 — hrubozrnné štěrky a štěrkopisky, eggenburg, 4 — jilovité pískovce a prachovce, eggenburg, 5 — laminované tufitické jilovce, eggenburg, 6 — jily a jilovce, eggenburg, 7 — *Cardiidae*, 8 — *Pirenella moravica*, 9 — *Hydrobia*, *Nematurella*, *Ctyroky*.

HV-301 a HV-303 v okolí Božic a Čejkovic, dále k V nemáme o nich z vrtů žádné informace. V severní okrajové části čelní hlubiny v širším okolí Miroslavi známe z mapovacích vrtů i odkryvů mělkovodní facie s *Pirenella* a *Crassostrea* (P. ČTYROKÝ in J. DORNIČ, 1977). V této oblasti také v jejich nadloží se vyskytuje až 10 m mocné souvrství s tufity a tufitickými jíly.



Obr. 10 Profil bazi eggenburgu v rýze R/2 v Hostěradicích

1 — kvartér, 2 — písčité štěrky, 3 — bazální štěrky a slepence, 4 — písky a pískovce, 5 — krystalinikum, 6 — *Crassostrea gryphoides*, 7 — *Pirenella moravica*, 8 — *Lucinoma*, *Timoclea*, *Polymesoda*.

Mořský a bracký eggenburg byl dokumentován R. BRZOBOHATÝM – M. HOLZ-KNECHTEM (1982) ze západní části nesvačilského příkopu u Brna z vrtu HJ-3 Žatčany. V podloží mořského karpatu zde v hl. 125–183 m bylo zastiženo souvrství pískovců, pestrých nevápnitých jílů s vložkami písků v bazální části. Ve svrchní části bylo zjištěno společenstvo brackých měkkýšů rodů *Staliopsis*, *Ctyroky*, *Hydrobia*, *Theodoxus*, *Congeria* a ? *Limnopagetia*. V hl. 131,8 m a 143,3 m byl zjištěn význačný druh skořepatce *Neocyprideis (Naumannia) fortisensis* (KEY) a vedle bentosních brackých dírkovců byly v hl. 154,5–170,8 m zjištěni i vzácní planktoničtí dírkovci *Globigerina ciperoensis ottnangiensis* (RÖGL), *Globigerina obesa* (BOLL), *Globigerina cf. praebulloides* BLOW a *Globorotalia cf. Mayeri* CUSH. et E 11. Ve spodní a svrchní části souvrství jsou hojně i zbytky kostnatých ryb (*Teleostei*). Vznik souvrství interpretuje R. BRZOBOHATÝ v nehluboké, ale špatně větrané bracké páni s převažujícím anoxickým režimem při dně. Litologický profil vrtu HJ-3 Žatčany a jeho faunu je možno srovnávat s obdobnými profily s rytmy mořskými a brackými na Znojemsku (třeba ve vrtu Znj-1 Hodonice), v eggenburgu na Mikulovsku (I. ZAPLETALOVÁ, 1977) a v přilehlé části Rakouska v okolí Wildendürnbachu (vrt K 4 Wildendürnbach a Staatz-1; A. PAPP in F. STEININGER – J. SENEŠ et al., 1971).

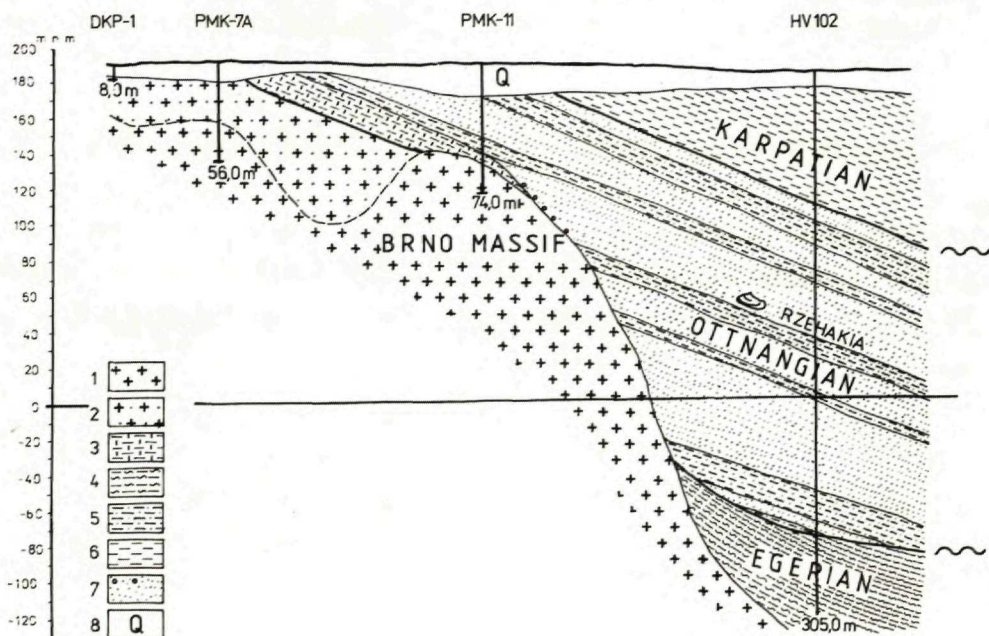
V letech 1984–1986 bylo dokumentováno 19 hydrogeologických, průběžně jádrovaných vrtů řady PMK (akce Vodní zdroje, Holešov; V. ŽUREK) v jižní části karpatské předhorské. Vyhledávací vrty byly situovány v prahu mezi Miroslaví a Dolními Kounicemi, v. a sv. od Pohořelic.

Ve většině vrtů bylo zjištěno poměrně bohaté marinní až brachyhalinní společenstvo měkkýšů v sedimentech eggenburgu. Ve vrstevním sledu tohoto stupně jsou na bázi obvykle zelené chloritické hrubozrnné až jemnozrnné písky a pískovce s podřadnými vložkami jílů a jílovčů. Nad nimi je pak mocnější souvrství zelenavých až bělošedých, místy tmavošedých až uhelných jílovčů a prachovitých jílovčů s hojnými zbytky mlžů a plžů. Jílovce zelenavých a bělavých barev jsou často bentonitické a makroskopicky se blíží vitonickým jílům a bentonitickým jílům provázejícím ryolitové tufity na Znojemsku. Uvnitř jílovcového souvrství fosiliterného eggenburgu jsou podřadně i polohy písků a pískovců. Na základě výskytu makrofauny byla ve vrtu PMK-9 Jezeřany zjištěna mocnost eggenburgu 58 m. Měkkýší fauny eggenburgu byly zjištěny v těchto vrtech: PMK-1 Miroslav (73,5–76,6 m), PMK-2 Miroslav (77–79 m), PMK-3 Našiměřice (100,2–116,8 m), PMK-4A Jezeřany (134,10 m), PMK-5A Trboňšany (67,6–121,40 m), PMK-7 Vedrovice (43,0–46,5 m), PMK-9 Jezeřany (98,4 m), PMK-10 Maršovice (73,10–74,60 m). Schematicky lze společenstva měkkýšů eggenburgu rozdělit na společenstvo marinní až mírně brachyhalinní s převládajícími druhy *Crassostrea gryphoides* (SCHLOTH.), *Pirenella moravica* (HÖRN.), *Cytherea* sp., ? *Polymesoda* a *Cerastoderma* sp. Toto společenstvo obvykle převládá v bazální části souvrství eggenburgu, ale se střídá i s biofacií brachyhalinní. Ta převládá většinou ve vyšší části souvrství a je reprezentována společenstvem *Congeria* – *Melanopsis* – *Hydrobia* – *Vittoclinion* a je doprovázena laminami ostrakodového horizontu (většinou tenké laminy se ztlačenými jádry neurčitelných skořepatců) a hojnými plody slanomilné vodní rostliny *Limnocarpus major* (SZAFAŘER) NEGRU (určil Č. BŮŽEK). Ve vrtu PMK-5A byl v hl. 48,7–49,0 m v uhelných jílech zjištěn *Glyptostrobus europaeus* (BRONGN.) UNG. a *Myrica integrifolia* KR. et WEYL.

I v brachyhalinní biofacii se řidce vyskytuje ulity *Pirenella moravica* a mezi oběma společenstvy bývají postupné přechody. Podrobné systematické zpracování společenstva měkkýšů si vyžádá delší dobu. Vzájemné srovnání faun měkkýšů však umožnuje korelovat tyto obě biofacie (společenstva) s obdobnými vrstvami vyššího eggenburgu v širším

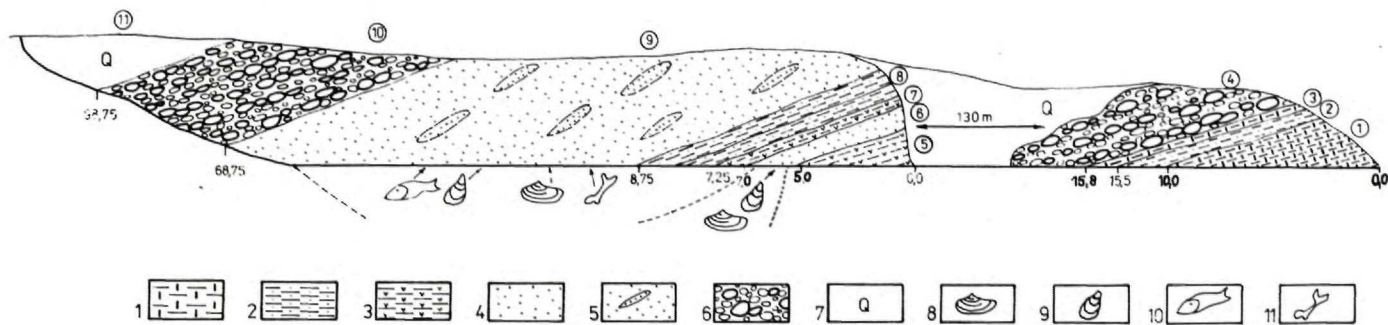
okolí Znojma (kupř. se společenstvy ve vrtech Zn-10 Dobšice, Znj-1 Hodonice, Z-10 Hradiště, Z-221 Lukov a v odkryvech Znojmo Pražská ul., Znojmo II. nemocnice aj.) a s řadou dalších lokalit v okolí Tvořihráze, Višňového a Hostěradic (P. ČTYROKÝ, 1982).

Již v době sestavování kapitol o měkkýších eggenburgu pro díl M I — Eggenburg (F. STEININGER — J. SENEŠ et al., 1971) studoval P. ČTYROKÝ v rakouských sbírkách a na typových profilech hornské pánve různá brachyhalinní společenstva měkkýšů a porovnal je s faunami brachyhalinných vrstev moltských, jež leží ve stratotypové oblasti Eggenburgu v Rakousku na jeho bázi. Srovnání ukázalo, že i když některé faunistické prvky jsou blízké, jeví se fauna vrstev s *Pirenella moravica* a *Crassostrea gryphoides* (včetně euhalinních forem v marinních rytmech) odlišná a druhově mnohem chudší. Další studium pak ukázalo, že společenstvo měkkýšů mělkovodního eggenburgu ze Znojemská se prakticky shoduje s marinní měkkýší faunou z těsného podloží uhelného souvrství v Langau v Dolním Rakousku (H. ZAPFE, 1953, 1956). V obou vrstvách se masově vyskytuje *Pirenella moravica* s doprovodnou faunou rodů *Polymesoda*, *Clithon* aj. Sedimenty podložních vrstev uhelné sloje v Langau jsou kromě mořských měkkýšů datovány i výskytem zbytků savců, a to jednak mořského savce *Metaxytherium krahuletzii* (známého výlučně z eggenburgu typové oblasti), jednak zuby bliže neurčených druhů rodu *Mastodon* a ? *Rhinoceros* (F. STEININGER — J. SENEŠ et al., 1971). Kromě toho podle palynologických výzkumů W. KLAUSE (1952) a H. OBRITZHAUSERA (1954) se zdá, že ve



Obr. 11 Geologický profil sedimenty spodního miocénu na linii vrtů PMK-7A Pravlov a HV-102 Malešovice

1 — krystalinikum, 2 — hluboce zvětralé krystalinikum až eluvium, 3 — pestré jílovce a prachovce, 4 — nevápnité jílovce a prachovce, 5 — vápnité jílovce a prachovce, 6 — vápnité jílovce a šliry, 7 — písksy a písčité štěrky, 8 — kvartér.



Obr. 12 Profil sedimenty ? egeru až otnangu podél vozové cesty v katastru „Knížecí les“, s. od Ivančic

1 — rudě skvrnité a smouhované písčité jily a prachovce, 2 — jily a prachovité jily, 3 — bentonitické jily, 4 — pisky, 5 — konkrecionální tělesa pískovců, 6 — netříděné štěrky a písčité štěrky, 7 — kvartér, 8 — *Anodonta*, *Unio*, 9 — *Congeria*, 10 — zbytky ryb, 11 — zbytky savců. Horizonty 1—4 ? eger—eggenburg, 5—7 eggenburg, 8—10 otnang.

spodních částech uhelného souvrství v Langau převládají teplomilné typy flór, zatímco ve vyšších částech se jeví převaha arktoterciérních prvků. Proto P. A. HOCHULI (1978) klade souvrství s uhlím v Langau do ottnangu. Jsou-li palynologické výzkumy správné, lze hranici eggenburg/ottnang předpokládat uvnitř slojového souvrství pánve v Langau. Tato otázka bude jistě nově sledována, neboť v současné době v okolí Langau probíhá nový prospekční vrtní průzkum s cílem znovuotevření uhelných dolů.

I když podrobné paleontologické zpracování měkkýších faun mělkovodního eggenburgu jihozápadní části čelní hlubiny není ještě dokončeno, jeho studium dovoluje učinit některé závěry. Měkkýši společenstva těchto vrstev jsou vývojově zřetelně mladší podobných společenstev moltských vrstev v Dolním Rakousku, jež patří bazálnímu eggenburgu. Zejména u zástupců mlžů čeledí *Cardiidae* a *Congeriidae* a drobných gastropodů rodů *Nematurella* a *Ctyrokya* (jedná se asi většinou o nové druhy) se ve vrstvách s *Pirenella moravica* na Znojemsku objevují formy, jež je možno interpretovat jako morfo-fylogenetické předchůdce druhů stejných rodů, popsaných z rzechakových vrstev Moravy (P. ČTYROKÝ, 1972). Soudíme tedy, že vrstvy mělkovodního eggenburgu s horizontem ryolitového tufitu v nejvyšší části představují uloženiny svrchního eggenburgu.

#### *Eggenburg v oblasti ždánické a pouzdřanské jednotky*

V oblasti ždánické jednotky byl eggenburg zjištěn v autochtonní pozici na krystaliniku v marinní biofacii na vrtu Žarošice-2 s bohatou planktonní mikrofaunou dírkovců (I. CICHA, 1967). Litologicky tento eggenburg je reprezentován šedými vápnitými jílovcí. Podobné litofacie a biofacie eggenburgu jsou známy i z parautochtonních šupin z vrtů pole Lubná, Rataje a z povrchových výchozů u Bučovic.

V parautochtonní pozici leží na ždánické i pouzdřanské jednotce i hlubokovodní marinní sedimenty šakvických slínů, (I. CICHA – F. MARINESCU – J. SENEŠ, 1975), uváděné již I. CICHOU – P. ČTYROKÝM (1962) a F. PÍCHOU et al. (1968) z oblasti Velkých Pavlovic a Zaječí jako lužické vrstvy. Podle Z. STRÁNÍKA – V. MOLČÍKOVÉ (1980) dosahují šakvické slíny mocnosti až 235 m a jsou biostratigraficky dobře charakterizovány a datovány bohatou planktonní faunou dírkovců i nanoplanktonem. Nejbližší biofaciální a biostratigrafické vztahy jeví šakvické slíny s vývojem eggenburgu na čele ždánické jednotky u Bavor a Perné u Mikulova (P. ČTYROKÝ et al., 1985).

V pouzdřanské jednotce leží šakvické slíny srovnatelné litologicky i biofaciálně se stejnými sedimenty u V. Pavlovic v nadloží klastických křepických vrstev, jež asi reprezentují klastickou bázi eggenburgu (Z. STRÁNÍK et al., 1987).

Představují tedy sedimenty eggenburgu šakvických slínů bathymetricky zřejmě nejhlubší lito- i biofacii eggenburgského moře, která na Z začínala s. od Mikulova, je známa v autochtonní pozici od Žarošic a usazovala se zřejmě i na pouzdřanské a ždánické jednotce předtím, než byly tyto jednotky přesunuty z původní pozice směrem k Z.

#### *Eggenburg až ottnang*

Podrobné korelace V. ŠPIČKY (1968, 1972) a jeho koncepce paleogeografického rozšíření spodního miocénu v západním úseku Karpat vedly k závěru o jednotném sedimentačním cyklu eggenburg-ottnangském. Jeho závěry vycházely především z poznatků z Vídeňské pánve, kde jak eggenburg, tak ottnang je vyvinut v pánevních, převážně mořských lito- i biofaciích. Profily vrstev těchto obou stupňů jsou známy pouze z neúplných jader naftových vrtů, i když za dlouhá léta naftového průzkumu velmi početných. V. ŠPIČKA (1968) předpokládal vertikální i laterální zastupování eggenburgské série

(burdigalu = eggenburgu) a lužické série, jež byla většiny autorů kladena k helvetu s.s., jež později dal základ novému regionálnímu stupni ottnang. Revize stratigrafie miocénu Vídeňské pánve R. JIŘÍČKA (in V. I. CHNYKIN et al., 1986) ukázala, že závěry Špičkovy nebyly zcela správné, a že lužické souvrství v nadloži bazálních klastik zahrnuje v sobě jak ekvivalenty eggenburgu, tak i ottnangu. Na hranici obou těchto stupňů ve Vídeňské pánvi jsou hodonínské písky, jež jsou zřejmě odrazem nějakých pohybů na okrajích pánvi. Vcelku však dodnes lze souhlasit s názorem V. ŠPIČKY, že v hlubokých částech mořských pánvi, jako byla pánev Vídeňská, v období eggenburgu a ottnangu asi více méně pokračovala sedimentace v izolovaných mořských nebo brackických pánvích.

Z hlediska biostratigrafického však na hranici eggenburg—ottnang dochází jak v hlubokých pánevních faciích, tak zejména v okrajových částech alpsko-karpatské předhlubně k drastickým změnám ve vývoji (příp. hynutí, immigraci) faun. V okrajových částech předhlubně jsou sedimenty eggenburgu a ottnangu zcela odlišné i lithostratigraficky. Ve Vídeňské pánvi sedimenty svrchní, ottnangské části lužického souvrství mají zjevně mělkovodnější charakter.

R. JIŘÍČEK (1983) v západní okrajové části Vídeňské pánvi na vrchu Le-3 k ottnangu řadí spodní část ottnangu s *Gyroidina girardiana*, *Cibicides pseudoungerianus* a *Uvigerina posthantkeni*. Ve vyšším ottnangu dominují *Lenticulina melvilli*, *L. cultrata*, *Cibicides boueanus*, *Sigmoilina ottnangensis* a *Ammodiscus sp.* Na bázi ottnangu je také písčitý horizont lednických písků. Je tedy i v této části ottnang marinní, i když s mělkovodními prvky. Korelovat tento mořský ottnang západního okraje Vídeňské pánvi s ottnangem předhlubně na Mikulovsku dobře nelze a ani není možné, přijmeme-li názor, že Vídeňská pánev byla přisunuta z větší či menší vzdálenosti společně s příkrovu Alp a Karpat. A vzájemná vzdálenost obou sedimentačních prostorů byla jistě desítky ne-li stovky kilometrů.

Proto od doby koncepce ŠPIČKOVY (1967–1972) převážila v stratigrafii miocénu koncepce jednotného sedimentačního cyklu eggenburg-ottnangského, která byla vyjádřována v stratigrafických tabulkách, geologických mapách i mapách mocností, paleogeografických a jiných. V oblasti karpatské předhlubně přijal koncepci eggenburg-ottnangskou i I. KRYSTEK (1983).

Počátek zdůvodněného členění sedimentů spodního miocénu v oba stupně — eggenburg a ottnang — můžeme nalézt ve vysvětlivkách a mapách 1:25 000 M. DLABAČE (1969, 1970) z jihozápadní části předhlubně na Znojemsku. Detailní vyčlenění různých lithostratigrafických typů sedimentů a jednotek, jež byly maximálně definovány i obsahem faun a flóru, vedlo k oddělení obou stupňů na základě podrobné znalosti lithostratigrafických a biostratigrafických profilů. Dopustil se při své stratigrafické škále jediného omylu tím, že vrstvy ryolitového tufitu a tufitické vrstvy kladl na bázi ottnangu, zatím co nyní je považujeme za finální člen eggenburgu.

Proto ve skutečnosti neexistují sedimenty, jež bychom mohli označit eggenburg až ottnang. Přesto však při konstrukci podrobných geologických map bylo nutno kategorii sedimentů řazených do eggenburgu až ottnangu zavést, neboť u některých, zejména isolovaných výskytů sedimentů na krystaliniku, nebo při nejasné superposici nad sedimenty eggenburgu, nebylo možno dané sedimenty lépe zařadit. Proto v nové edici základních geologických map najdeme lithostratigrafické členy, řazené nejjistě do eggenburgu až ottnangu (M. DLABAČ, 1969, 1970, P. BATÍK – P. ČTYROKÝ et al., 1977, J. DORNIČ et al., 1984, A. ZEMAN et al., 1987, P. ČTYROKÝ et al., 1987, P. ČTYROKÝ et al., 1985). Některé z lithostratigrafických členů se zatím podařilo již přiřadit na základě nějakých paleontologických důkazů k ottnangu či eggenburgu. Současný stav stratigrafie spodního miocénu byl včleněn do přehledné tabulky karpatské předhlubně a Vídeňské pánvi, vydané ÚÚG (P. ČTYROKÝ et al., 1985).

## Ottnang

### Autochtonní ottnang na Českém masívu

V jižní části karpatské předhlubně nejožehavější otázkou vždy bylo oddělování sedimentů eggenburgu a ottangu.

V mělkovodní okrajové litofacii se ustálil názor za nejvyšší člen eggenburgu považovat horizont ryolitového tufitu, jehož málo mocné horizonty byly zjištěny i v hlubší mořské facii v okolí Chvalovic (P. ČTYROKÝ, 1982). V tomto tufitickém horizontu na řadě lokalit ve Znojmě a jeho okolí se vyskytuje jak marinní (*Crassostrea gryphoides*, *Pirenella moravica*), tak brakičti měkkýši (*Nematurella*, *Hydrobia*, *Congeria* aj.), tj. měkkýši primárně mořské provenience, jež mají přímý vztah k podložním mořským společenstvům měkkýšů eggenburgu (P. ČTYROKÝ, 1982). Jsou z něho i známé zbytky fosilní listové flóry (E. KNOBLOCH, 1969).

Problémem ovšem je, že horizont tufitu není vždy na povrchových odkryvech odkryt nebo v některých profilech díky rozmyvu v litorálních sedimentech není zachován. Ovšem na řadě profilů na Znojemsku bylo pozorováno, že tam, kde je ryolitový horizont dobře vyvinut, v jeho nadloží se vyskytuje převážně písčité vrstvy bez marinní měkkýši i dírkovcové fauny a byly v nich zjištěny pouze hojně chodby hrabavých krabů — *Ophiomorpha* (P. ČTYROKÝ, 1988).

V oblasti j. a jv. od Znojma vyčlenili M. DLABAČ (1970) a P. BATÍK – P. ČTYROKÝ (1977) několik typů pelitických litofací, jež jsou charakteristické faunistickou sterilitou. Patří k nim: 1. slabě vápnité jíly s polohami písků, 2. prachovité nevápnité jíly s rybími šupinami a častými krystaly sádrovce, 3. lístkovitě odlučné nevápnité jíly. V okrajové facii na dyjském masívu z. a jz. od Znojma pak z části v nadloží výše uvedených pelitických litofací leží mocné polohy křemenných písků vycházejících především v písčovně u N. Šaldorfu.

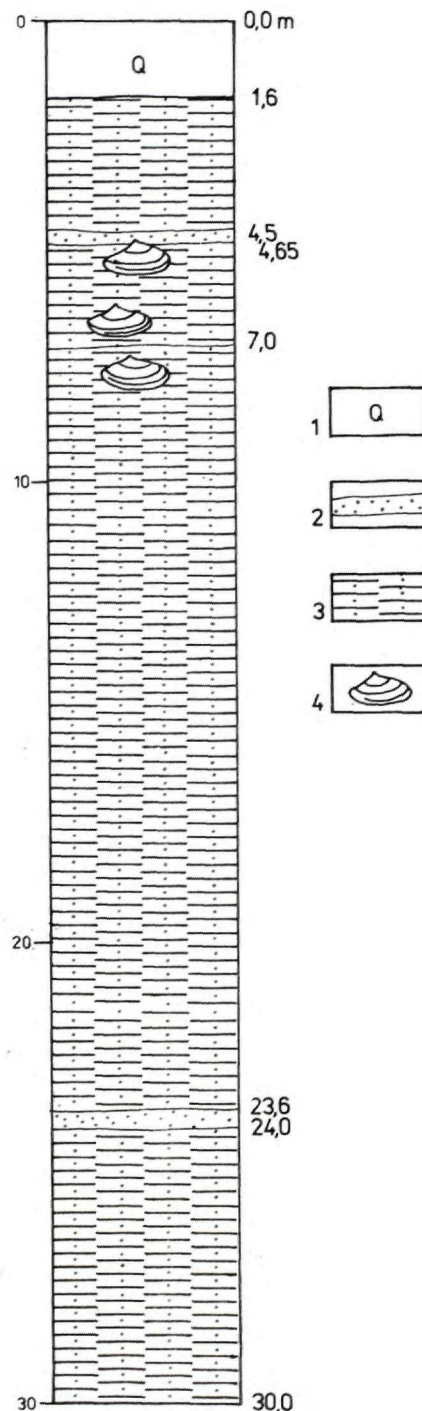
Jak pro písky a písčité štěrky ležící isolovaně na dyjském masívu a moraviku, tak i pro křemité písky typu N. Šaldorfu a výše zmíněné čtyři typy nevápnitých jílů a jílovču P. BATÍK – P. ČTYROKÝ (1977) zavedli stratigrafické označení eggenburg až ottang. Pro tyto vrstvy nebyly ani přímé paleontologické údaje pro jejich stáří, ani nebylo možno stanovit jejich superposici nad polohou ryolitového tufitu, ani na základě profilů početných vrtů provedených v letech 1969–1972 M. DLABAČEM.

Při tom v celé jihozápadní části předhlubně se jeví na mnoha povrchových profilech a profilech desítek vrtů skutečnost, že v nadloží tufitického obzoru v mělkovodní litofacii i v nadloží vzácně identikovaného horizontu tufitů nebo bentonitického jílu v hlubší (pánevni) facii dochází k náhlému faunistickému ochuzení jak v mikrofauně dírkovců, tak i ve fauně měkkýšů. V pelitické facii se jeví zřetelně vlivy anoxické sedimentace pouze s rybími zbytky a sádrovcem, v písčité plážové litofacii pouze jen stopy po hrabání krabů, příp. jiných organismů. Tato skutečnost nasvědčuje náhlému narušení mořského režimu pánve, patrně uzavřením komunikace s otevřeným mořem.

V oblasti sv. od Znojma vyčlenil M. DLABAČ (1969, 1976) vítonické jíly, jež jsou podle něho spojeny přechody s podložními tufitickými vrstvami (J. DORNÍČ, 1969). Vítonické jíly jsou mírně zpevnělé, nedokonale vrstevnaté, šupinkovité až nepravidelně lasturnatě odlučné jílovce s laminami jemně zrnitého písku na vrstevních plochách. Z fosilních zbytků jsou pouze hojně šupiny ryb a zuhelnatělé zbytky rostlin. Pro vítonické jíly se používal dříve také název rybí šlím (M. DLABAČ, 1969).

Obdobné rybí tzv. meletkové šliry jako na Znojemsku jsou již dlouhou dobu známy z okolí Zellerndorfu v Rakousku (R. GRILL, 1968).

Podle nových palynologických výsledků patří meletkové šliry z okolí Zellerndorfu



Obr. 13 Profil sedimenty ottnangu na strato-typové lokalitě Jezeřany – Maršovice ve vrtu MK-21

1 — kvartér, 2 — konkrecionálně zpevněné pískovce a prachovce,  
3 — jemnozrnné a prachovité písksky, 4 — výskyt lumachel *Rzechakia socialis*, *Congeria nucleolus*.

s diatomity ve vyšší části k ottnangu, neboť v nich bylo nalezeno chladnomilné pylové spektrum (F. RÖGL — P. A. HOCHULI — C. MÜLLER, 1979). Obdobné pylové spektrum se vyskytuje i v uhelných jílech v Langau (P. A. HOCHULI, 1978). I když zatím nemáme podobné floristické důkazy z čs. státního území, mohli bychom asi nyní různé typy jílovců s rybími zbytky z nadloží prokazatelného eggenburgu již řadit k ottnangu.

Tufitické vrstvy sv. od Znojma, z. od miroslavské hrásti na základě analogie s horizontem tufitů v okolí Znojma by měly náležet do eggenburgu. Vzhledem ovšem k obtížnému vedení hranice mezi nadložními vitonickými jíly je přesné vedení hranice mezi eggengurgem a ottnangem zatím nemožné, zvláště když neexistují žádné povrchové výchozy a jak tufitické vrstvy, tak i vitonické jíly jsou známy pouze z profilů vrtů. Vitonické jíly však mají pouze malé plošné rozšíření v oblasti u Vitonic a z. od H. Dunajovic. Vzhledem k nepřítomnosti určitelných živočišných fosilií ve vitonických jílech jedinou nadějnou metodou k vedení hranice eggenburg/ottnang by mohlo být užití palynologie při aplikaci názorů P. A. HOCHULIHO (1978) a F. RÖGLA, P. A. HOCHULIHO a C. MÜLLEROVÉ (1979).

V nadloží vitonických jílů, ale často transgresivně na krystaliniku leží v okolí Višňového a dále v miroslavské hrásti žluté, rezavě smouhované a prachovité až štěrkovité písksy s velkým množstvím klastického materiálu černých rohovců. M. DLABAČ (1976) na základě litologické podobnosti s rzechakovými písksy v oblasti v. od miroslavské hrásti je považoval za rzechakové písksy. Východně od miroslavské hrásti prakticky veškeré sedimenty spodního miocénu vycházející na povrch byly řazeny k rzechakovým vrstvám. Patří tu skutečně k povrchově nejrozšířenějším vrstvám miocenního pokryvu (I. CICHA — J. PAULÍK — J. TEJKAL, 1957) a leží zde i jejich faciostratotypová oblast, původně popsaná již A. RZEHAKEM (1893). V nejnovější době bylo zjištěno, že v podloží rzechakových vrstev ottnangu jsou i v oblasti s. od Pohořelic (ve vrtech PMK) zachovány relikty marinních a brackických vrstev eggenburgu s *Crassostrea gryphoides* a *Pirenella moravica* (P. ČTYROKÝ, 1988). Tato skutečnost se jeví jako nový důkaz o superpozici rzechakových vrstev nad marinním eggenburgem.

V některých vrtech PMK (kupř. PMK-10, 63,0—50,5 m) se vyskytuje hrubě až jemně klastické souvrství s převahou křemenného a černého rohovcového materiálu, které považujeme za bázi ottnangu. Přesné určení hranice mezi eggengurgem je však ve většině vrtů obtížné, i když v nadloží faunisticky prokázaného eggenburgu byla nalezena průkazná měkkýší fauna rzechakových vrstev. V souvrství převážně pískovcového a prachovcového vývoje ottnangu byla ve vrtu PMK-9 Jezerany (hl. 33,5 m) zjištěna v šedých rozpadavých jílovitých pískovcích jádra *Rzechakia socialis* (RZEHAK), ve vrtu PMK-1 Miroslav (hl. 40,7—40,8 m) jádra *Rzechakia* sp. a ? *Limnopagetia* sp. a ve vrtu PMK-12 (hl. 161,2 m) byla v písčitém souvrství nalezena také *Rzechakia socialis* (RZEHAK). Zatím co ve vrtech PMK-1 a PMK-9 prokázaný ottnang s *Rzechakia* leží v nadloží faunisticky prokázaného eggenburgu, ve vrtu PMK-12 leží souvrství ottnangu v nadloží spod. eocénu. V některých vrtech se však pro mocná písčitá souvrství v nadloží eggenburgu nepodařilo najít faunistický doklad pro jejich příslušnost k ottnangu (kupř. PMK-3A Kubšice 21,0—205,0 m; PMK-4A Jezerany 20,00—113,0 m), i když podle litologického srovnání s datovanými souvrstvími v jiných vrtech je pravděpodobná.

Na bázi karpatu (datovaného mikrofaunou) byly v některých vrtech zjištěny polohy šedých nevápnitých, často tence laminovaných a destičkovitě odlučných jílovců s hojnými kosterními rybími a rostlinnými zbytky (PMK-3A Kubšice 23,0—33,3 m; PMK-12 66—67 m). Ve vrtu PMK-12 hl. 92,0 m byla zjištěna v karpatu 20 cm mocná poloha zpevněného (sideritisovaného) prachovce s četnými fragmenty listů, z nichž bylo určeno *Daphogene* sp. (určil Č. BŮŽEK).

Mikrofaunisticky jsou vrstvy eggenburgu i ottnangu velmi chudé s převahou brackických společenstev dírkovců, v nichž převládá *Ammonia becarri* L.

## Pestré sedimenty otnangu na Českém masívu

V okrajové západní části předhlubně, většinou ležící na zvětralých horninách krystalinika a paleozoika, jsou v poměrně velké oblasti mezi Ivančicemi, Mor. Krumlovem a Brnem známý pestře zbarvené nevápnité jílovito-písčité (žluto-rudo-zelené) vrstvy zjevně limnicko-kontinentální povahy. Na některých profilech tyto sedimenty leží jednoznačně v podloží brackických a oligohalinných biofacií rzechakiových vrstev. Takové profily jsou známy ze staré cihelny v Ivančicích, z několika povrchových profilů s. od Ivančic a z vrtů MK. Stejně pestré souvrství popsal již A. RZEHAK (1912) z Červeného vrchu v Brně a uvádí z nich společenstvo limnických a suchozemských měkkýšů a vzácné zbytky obratlovců. Podle starých údajů souvrství je zde uloženo na devonu (I. KRYSTEK – J. TEJKAL, 1968).

Pestré souvrství jílovců bylo také navrtáno ve vrtech v oblasti Želešic, jz. od Brna a ČTYROKÝ (1972) z nich uvádí chudé společenstvo limnických měkkýšů a KHEIL (in A. PAPP – F. RÖGL – J. SENEŠ et al., 1973) skořepatce. Nově studoval profil těchto sedimentů ve vrtu HV-209 Moravany J. RÍHA (1984) a popisuje z nich skořepatce, gyrogonity char a zbytky ryb. J. KHEIL (1973) uvádí, že společenstvo skořepatců těchto jílů se bliží společenstvu z lokality Ivančice – Padochov, jež patří k oligohalinní biofacii rzechakiových vrstev. Východně od výskytu těchto pestrých jílovců u Želešic leží v Ořechově v chloritických píscech na krystaliniku lokalita savců, které popsal O. FEJFAR (1974). Vedle zubů zřáloků a kýtovců popsané společenstvo savců patří do zóny MN-4b otnangu (O. FEJFAR – N. SCHMIDT – N. KITTLER, 1984). Podle litologické povahy sedimentů a srovnání s profily vrtů mezi Ořechovem a Želešicemi se zdá, že píska se savčí faunou v Ořechově měly náležet k oligohalinní facii rzechakiových vrstev.

Na základě fylogenetického vývoje drobných savců lokalita Ořechov náleží k otnangu a její velmi pravděpodobná pozice na bázi rzechakiových vrstev je velmi cenná pro interregionální korelace. Přitom je nutno poznámenat, že podle nejnovějších názorů leží hranice mezi otnangem a karpatem uvnitř této savčí zóny MN-4b (R. ZIEGLER – V. FAHLBUSCH, 1986).

## Mořský otnang východní části předhlubně

Mořské sedimenty otnangu v biofacii robulového šliru jsou známy výlučně z nesvačilského příkopu z vrtů Nosislav 1 a 2 (I. CICHA, 1957) a z vrtu Nesvačilka-1 z bazální části klastického souvrství (V. HOMOLA et al., 1961).

V mikrofauně dírkovců je hojný výskyt předeším druhu *Robulus inornatus* (d'ORB.), dále se vyskytují druhy *Robulus aff. articulatus* (RSS.), *Stilosomella ottangensis* (TOULA), *Cibicides dutemplei* (d'ORB.), *C. pseudoungerianus* (CUSH.), *C. aknerianus* (d'ORB.), *C. boueanus* (d'ORB.), *Florilus boueanus* (d'ORB.), *Bulimina elongata* d'ORB., *Lagena hexagona* WILL., *Elphidium macellum* (FICHT. et MOLL.), *Cibicidoides budayi* CICHA et ZAPL. (I. CICHA – J. PAULÍK in J. KALÁŠEK et al., 1963). V nadloží těchto vrstev ve vrtu Nesvačilka-1 je písčito-jílovité, faunisticky sterilní souvrství (rybí šlir), které bylo paralelisováno s rzechakiovými vrstvami. Že v oblasti Nesvačilky skutečně rzechakiové vrstvy existují, dokazuje nález dobré zachovalé misky *Rzechakia socialis* ve vrtu Nesvačilka-3 v Žatčanech hl. 100–105 m (P. ČTYROKÝ, 1972, 1987).

Z této oblasti rzechakiové vrstvy uvádějí i starší autoři (R. GRILL, 1943, E. VEITH, 1953) u starých naftových vrtů v okolí Měnína, Blučiny a Telnice.

Znalosti o možném vývoji otnangu v oblasti Nesvačilky těží ze znalostí starých jader naftových vrtů, které jsou většinou již skartovány, takže jejich paleontologická revize je

dnes nemožná. Kromě toho vrstevní sled některých nesvačilských vrtů je silně tektonicky porušen, neboť se již nachází za čelem ždánického příkrovu a mnohé miocenní sedimenty byly z části interpretovány jako parautochtonní šupiny. V podloží sedimentů mořského ottnangu ve vrtu Nesvačilka-1 jsou uloženy i sedimenty eggenburgu. Marinní transgrese ottnangu v oblasti Nesvačilky zřejmě paleogeograficky souvisí s oblastí Vídeňské pánve, kde robulové šliry jsou vyvinuty jak v západní okrajové části (vrt Lednice-4), tak i v části ústřední (R. JIŘÍČEK, 1983).

#### *Ottang v oblasti ždánické jednotky*

V nadloží šakvických slínů u V. Pavlovic zjistil ve výkopech pro tranzitní plynovod v parautochtonní šupině Z. STRÁNÍK et al. (1980) šedé a zelenošedé slabě vápnité a nevápnité jily s pelokarbonáty, sádrovcem, polohami diatomitů a zbytky ryb. Tyto vrstvy jsou společně tektonicky postiženy s šakvickými slíny a dosahují celkové mocnosti asi 200 m. Přímé paleontologické důkazy pro jejich stáří chybí, ale na základě celkového litologického vývoje v předhlubni v Dolním Rakousku a na Znojemsku je jejich ottnanské stáří velmi pravděpodobné. Litologicky se velmi podobají nevápnitým jílům s rybími zbytky mezi Šatovem a Znojemem a vítonickým jílům. Litologicky zcela obdobné litofacie s diatomity jsou známé ze Zellerndorfu a Parisdorfu v Dolním Rakousku, kde ottanské stáří je interpretováno na základě pylové analýzy (F. RÖGL – P. A. HOCHULI – C. MÜLLER, 1979).

Zjištění pavlovických vrstev, jež reprezentují náhlou litologickou i biofaciální změnu od polyhalynní litofacie šakvických slínů na nevětranou anoxicou biofacii mořského dna, patrně uzavřené vyslazující se pánve, dokumentuje skutečnost, že i v nejhlbší části eggenburgské části předhlubně došlo k náhlé změně vodního režimu, zcela stejně jako v okrajové západní části na Českém masívu.

#### *Souhrnná diskuse o ottangu*

Shrnujeme-li celkově lithostratigrafický vývoj ottnangu, můžeme ve všech dílčích oblastech jižní části předhlubně pozorovat stejný jev. V nadloží faunisticky prokázaných nejvyšších členů eggenburgu s ryolitovým tufitem (někdy reprezentovaným v okolí Miroslavi až 13 m mocnými tufitickými vrstvami) leží buď klastická písčitá souvrství infralitorálního charakteru, nebo vrstvy většinou tmavých nevápnitých jílovců, vzniklé patrně v prostředí anoxicických, nepříliš hlubokých stagnantrních vod nevětraných zálivů rychle se vyslazujícího uzavřeného moře.

Přítom litofacie převážně klastická je vázána především na okrajovou západní oblast předhlubně při Českém masívu. K nim patří křemenné písky u N. Šaldorfu, písky s chodbami krabů u Přímětic, písčité vrstvy v nadloží ryolitového tufitu u Tvoříhrázi, písky v nadloží vítonických jílů z. od miroslavské hrásti a rzechakové vrstvy v. od miroslavské hrásti. Jak ukázaly četné profily vrtů HV a PMK v jižní části předhlubně, je nástup písčité sedimentace, často s horizonty štěrků s převahou černých rohovců, v nadloží faunisticky datovaných vrstev eggenburgu obecným zjevem a lithostratigraficky nečiní kladení hranice mezi eggenburg a ottnang obtíže.

Na druhé straně litofacie tmavých jílů vzniklých asi převážně na dně nevětraných pánví je známa z jihozápadních cípů předhlubně j. od Znojma a také z Dolního Rakouska. K nynějšímu okraji Českého masívu se nejbližše nachází litofacie vítonických jílů. Ovšem jak vyplývá z řady profilů vrtů v jihovýchodní části předhlubně na Mikulovsku

a přilehlém Dolním Rakousku, tato litofacie převládala po ukončení mořského eggenburgu i zde. Souvrství jílovů s vzácnými polohami písků a pískovců této litofacie zde dosahuje u Wildendürnbachu místy až mocnosti 800 m.

Problémy ovšem vznikají u mocných poloh písků s tmavými rohovci i u tmavých pelitických souvrství faunisticky sterilních, ležících v nadloží eggenburgu s paleontologickým důkazem jejich věku. V písčitých souvrstvích se v určitých horizontech vyskytují měkkýši typického společenstva rzechakiových vrstev, ovšem ty jsou, jak je známo z povrchových profilů i stopek profilů vrtů, rozšířeny jen v určitých horizontech.

Ještě větší problémy jsou s biostratigrafickým ověřením věku souvrství tmavých nevápnných jílovů, v nichž jedinými fosilními zbytky bývají šupiny nebo kosterní zbytky ryb. Ty však alespoň dokazují vznik těchto souvrství v nevětraném prostředí brackických vodních pánví. Jak však ukázalo studium pylových společenstev meletových jílů v Zellerndofu v Dolním Rakousku (F. RÖGL – P. A. HOCHULI – C. MÜLLER, 1979), panovalo v době jejich sedimentace již chladnější klima, a proto jsou řazeny k otnangu. Tyto údaje jsou však v zásadním rozporu s názory E. PLANDEROVÉ (1978), jež pro otnang předpokládá vlhké subtropické klima s mnoha tropickými floristickými elementy.

P. ČTYROKÝ (1978) vyslovil hypotézu, že velký periodický rozvoj zástupců čeledi *Rzechakiidae*, včetně otnangské *Rzechakia socialis*, mohl být vázán na chladné klimatické oscilace s případným průnikem chladných brackických vod.

Z celkového rozsahu reliktů rzechakiových vrstev u Dukovan (P. ČTYROKÝ, 1980) a již dříve konstatované transgresivní povahy rzechakiových vrstev na Český masív (I. CICHA – J. PAULÍK – J. TEJKAL, 1957) se jeví, že otnang byl více transgresivní na Český masív než eggenburg. Podle profilů a korelace vrtů PMK v oblasti Pohořelic se jeví zřetelná uhlová diskordance mezi sedimenty eggenburgu a otnangu. Sedimenty písčitého otnangu s *Rzechakia socialis* transgredují jak přes sedimenty eggenburgu, egeru malešovických vrstev, tak i spodní eocén šumických vrstev (P. ČTYROKÝ et al., 1990).

Z výše uvedených skutečností vyplývá, že eggenburg a otnang v jižní části předhlubně na Moravě jsou lithostratigraficky dva dobře definované stupně, které jsou od sebe odděleny zřetelnou změnou sedimentace. S nástupem otnangu nastává náhlé ochuzení až vymizení marinních prvků ve fauně jak v litorálních, tak i anoxických pánevních sedimentech. Je diskutabilní, zda tato náhlá změna, jež nastala v důsledku změny hydrografických poměrů moří v oblasti Paratethydy, byla důsledkem náhlé isolace alpsko-karpatské předhlubně od mořského spojení, nebo naopak důsledkem transgrese od V či SV z boreální oblasti.

Jako důsledek náhlé isolace by se mohlo vysvětlit náhlé vymření mořské fauny spojené s progresivním zbracičtěním až vyslaněm některých částí pánve. V litorálních sedimentech rzechakiových vrstev se objevují brackická společenstva, která se jeví jako vývojoví nástupci některých druhů z brackických sedimentů eggenburgu (některých rodů společenstva vrstev *Crassostrea gryphoides* a *Pirenella moravica*). Vedle nich se jako nový prvek objevují zástupci rodů *Rzechakia*, *Limnopageta* a *Siliqua*. Pánevní anoxické sedimenty jsou prakticky sterilní, je však z nich známo pylové spektrum, které naznačuje nástup chladnomilnější flóry.

Pro verzi náhlé transgrese na počátku otnangu mluví zřetelně transgresivní povaha otnangu přes sedimenty eggenburgu. Ovšem ta může být zdánlivá, neboť mnoho okrajových sedimentů eggenburgu již před touto transgresí asi podlehlo denudaci. Pro transgresi však mluví i objevení nového explosivně se rozvíjejícího společenstva rodu *Rzechakia*. Pokud bychom nepředokládali jejich polyfyletický vznik v různých spodnomiocenních pánvích Paratethydy, jejich náhlé objevení lze interpretovat pouze náhrou immigrací. Směr této immigrace se předpokládal generelně (P. ČTYROKÝ, 1972, 1987) z východní

Paratethydy. Vcelku velmi chudá skladba společenstev měkkýšů rzechakiových vrstev v celé Paratethydě a na druhé straně velká individuální početnost jedinců jednotlivých druhů mohla by být vysvětlena brackickou povahou isolované mořské pánve, ale i vlivy chladné vody proudící z boreální provincie. Ochlazení však mohlo být pouze důsledkem negativních vlivů klimatických poměrů, které je v otnangu dokumentováno pylovými spektry (P. A. HOCHULI, 1978, F. RÖGL – P. A. HOCHULI – C. MÜLLER, 1979). Ochlazování mohlo však být pouze důsledkem snižování humidity klimatu, ke kterému došlo po degradaci mořské pánve Paratethydy počátkem otnangu (Č. BŮŽEK – Z. KVAČEK, 1985, 1990).

A konečně pro transgresivní verzi snad mluví i náhlé vzniklé anoxicické režimy sedimentů otnangu v hlubších částech pánve, neboť vznik anoxicických facií se obecně spojuje s transgresemi.

V současné době nelze jednoznačně rozhodnout, zda to byly především vlivy isolace a degradace mořské pánve, nebo naopak transgrese se změnou hydrografických poměrů, jež hrály rozhodující vliv na počátku otnangu.

Nejpravděpodobnější je, že na počátku období otnangu trvalo nejdříve období isolace uzavřené brackické pánve a teprve ve vyšší části otnangu došlo k transgresnímu rozšíření na Český masív v období rzechakiových vrstev. Transgrese však nemohla být vyvolána zvýšením hladiny světového oceánu a proniknutím polyhalinných vod s novými mořskými faunami. Byla asi vyvolána pohyby příkrovů vnějšího flyše a poklesem Českého masívu.

#### Problematika ekvivalence otnangu a karpatu

Zatím co I. KRÝSTEK (1983) uvažoval o alternativě, že rzechakiové vrstvy by mohly být okrajovou litofací jak eggenburgu, tak i otnangu, vyslovil R. JIŘÍČEK (1983) názor, že rzechakiové vrstvy jsou heterochronní biofacii karpatu. Stimulem JIŘÍČKOVA názoru byl jistě poznatek V. KANTOROVÉ – A. ONDREJÍČKOVÉ – D. VASSE (1968), kteří poukázali na to, že rzechakiové vrstvy (resp. vrstvy medokýsné, D. VASS et al., 1983) na jižním Slovensku obsahují dírkovce rodu *Uvigerina* karpatského typu (V. KANTOROVÁ, 1977). Nověji byl karpatský věk rzechakiových vrstev v Maďarsku prokázán i nanoplanktonem (M. HORVÁTH – A. NAGYMAROSI, 1978).

Nový aspekt k řazení rzechakiových (resp. medokýsných) vrstev na jižním Slovensku přinesly výzkumy D. VASSE et al. (1987), které ve svrchní části plachtinských vrstev (podloží rzechakiových vrstev) zjistily vedle fauny dírkovců s druhy *Uvigerina bononiensis primiformis* PAPP et TURN., *Globigerina praebulloides* BLOW, *Globigerinoides primordius* (BLOW-BANN.), *Globigerina woodi woodi* (JENKINS), *Cibicidoides borislavensis* (AISENSTAT), *C. karpaticus* (MJATLUK), *Bolivina hebes* MACFAYDEN a *Lenticulina cultrata* (MONTFORT) i nanoplankton. Z těchto vrstev nebyly zatím známy mořské organismy a zjištěny mořský nanoplankton řádi svrchní část plachtinských vrstev do nanoplanktonové biozóny NN-3 až spodní části NN-4, jež odpovídají podle současných znalostí otnangu. V souvislosti s tímto faktorem se rozhodl D. VASS et al. (1983) a nově D. VASS et al. (1987) s ohledem na hodnoty radiometrického datování přeřadit bukovinské souvrství ze spodního otnangu do eggenburgu. Zároveň se tím oslabuje původní zařazení rzechakiových vrstev na základě dírkovců na jižním Slovensku do karpatu, neboť dírkovcová fauna původně zjištěná V. KANTOROVOU et al. (1977) je prakticky totožná s faunou dírkovců zjištěnou nově ve svrchním otnangu plachtinských vrstev.

R. JIŘÍČEK (1983) vychází především ze znalostí spodního miocénu v jižní části předhluvně na Mikulovsku. Tam nad sedimenty prokázaného eggenburgu se na elevaci u D.

Dunajovic ukládají tzv. spodní písčité vrstvy (J. ADÁMEK, 1979), které až na zbytky ryb a ojedinělý nález misky rodu *Congeria* sp. jsou prakticky bezfosilní. J. ADÁMEK je však řadí již ke spodnímu karpatu. V nadloží tohoto souvrství je tzv. střední souvrství šlirů, které podle mikrofauny patří již ke karpatu. Spodní písčité souvrství je podle R. JIŘÍČKA (1983) v prostoru Mikulova, Wildendürnbachu a Březí mocné až 300 m a je jím řazeno ke karpatu A. Rakouské geologové v pracech týkajících se plynového ložiska Wildendürnbach řadí toto souvrství k rzechakovým vrstvám otnangu, i když pro toto zařazení, stejně jako R. JIŘÍČEK, nemají paleontologické důkazy. V nadložním karpatu B R. JIŘÍČKA (1983) převládá zřejmě také převážně brackický vývoj s rotaliemi a pouze v pelitických vložkách byla zjištěna chudá rozsivková flóra a dírkovcová fauna s *Uvigerina graciliformis*. Zařazení spodního písčitého souvrství J. ADÁMKA (1977) a JIŘÍČKOVY zóny A karpatu k tomuto stupni je problematické.

S ohledem na lithostratigrafický a biostratigrafický vývoj otnangu ve větší části předhlubně je spíše pravděpodobné, že tyto vrstvy patří k otnangu. Dokonce snad i spodní část JIŘÍČKOVY zóny B karpatu by mohla být ještě řazena k otnangu. Zároveň R. JIŘÍČEK (1983) je zastáncem postupné transgrese karpatu na Český masív a předpokládá, že rzechakové vrstvy jsou v rámci karpatu heterochronní facii, jež se stěhovala v průběhu transgrese stále výše na Český masív.

R. JIŘÍČEK (1983) také především na základě profilů mezi vrty Novosedly-1 a Lednice-3 interpretuje uhlovou diskordanci mezi pelity eggenburgu a spodními písčitými vrstvami spodního karpatu v jeho pojetí a otnangem v našem pojetí. Tato uhlová diskordance skutečně existuje a mohla být mezi eggenburgem a otnangem zjištěna ve více profilech kompletně jádrovaných vrtů v okrajové části předhlubně v. od miroslavské hrásti. Na profilu vrtů PMK-12 a PMK-4a (P. ČTYROKÝ – J. KRHOVSKÝ – Z. NOVÁK – V. ŽUREK, 1990) je zřetelné diskordantní uložení otnangu nad sedimenty spodního eocénu a na profilu vrtů PMK-7A a HV-102 (obr. 11) i nad sedimenty egeru.

V alpsko-karpatské předhlubně předpokládáme, že rzechakové vrstvy s masovým výskytem shodného společenstva měkkýšů jak v Dolním Rakousku a na Moravě patří k otnangu.

Při tom však nevylučujeme, že na jižním Slovensku a Maďarsku mohla persistovat společenstva rzechakových vrstev i během iniciální transgrese marinního karpatu. Dokonce jednotlivé formy rodu *Rzechakia* patrně persistovaly dále na V asi až do spodního tarchanu (kuvinského horizontu), tomakovských a nagorjanských vrstev na Ukrajině (R. L. MERKLIN et al., 1964, I. A. GONČAROVA, 1981, V. O. GORECKIJ, 1956).

### Hranice otnang/karpat

Otzásku vedení hranice mezi stupni otnang a karpat je možno sledovat především v profilech vrtů situovaných v střední části předhlubně, kde v nadloží převážně písčitých sedimentů otnangu jsou uloženy mořské sedimenty karpatu s bohatou faunou dírkovců a měkkýšů. Při tom sedimenty faunisticky bohatého mořského karpatu jsou známy také z izolovaných reliktů ležících přímo na krystaliniku vysoko na Českém masívu, od Ivančic, Moravského Krumlova a Dukovan (M. DLABAČ, 1976), ale i Znojma (P. ČTYROKÝ – P. BATÍK et al., 1978). Podle současných znalostí tedy klademe hranici otnang/karpat na bázi vrstev s bohatými mořskými faunami. Při tom jak profily z pánevní facie hraničních vrstev otnangu a karpatu (vrt v okolí Wildendürnbach a okolí Mikulova), tak i mělkovodních litofacií rzechakových vrstev hranice karpatu nasvědčují tomu, že mezi otnangem a karpatem trvala sedimentace ve vodním prostředí. Během otnangu to byla sedimentace v brackické vodní pánvi uzavřeného moře, do něhož

počátkem karpatu pronikla výrazná mořská ingrese s mediterráním typem fauny. Tato ingrese znamená počátek rozvoje bohatých společenstev mořských živočichů, typických pro stupeň karpat. Pro Jiříčkovo (1983) pojednání zastupování otnangu a spodního karpatu (resp. chybění otnangu v předhlubní vůbec) není důkazů.

### Nevyřešené problémy

K vyjasnění přesného kladení biostratigrafických hranic mezi jednotlivými stupni spodního miocénu lze doporučit studovat následující problémy:

1. Vzhledem k prokázané existenci egeru malešovických vrstev dokumentovat profily hlubších vrtů v širším okolí uzávěru vranaovického příkopu v okolí Pohořelic a sledovat vzájemný vztah sedimentů egeru a eggenburgu. Zároveň sledovat úplnější profily malešovických vrstev a jejich bázi.

2. Prohloubit znalosti o biostratigrafii především na základě výzkumu dírkovců, skořepatců a nanoplanktonu pánevní facie autochtonního eggenburgu na Mikulovsku a zjistit v rámci tohoto profilu pozici bohatých společenstev faun a flóry šakvických slínů, jež jsou známy při linii ždánického příkrovu a na příkrovu samotném.

3. Na základě většího počtu pylových analýz ze sedimentů otnangu vyjasnit charakter flóry a klimatu, které v průběhu otnangu panovalo. Dosavadní údaje jsou značně rozporné. Výsledky aplikovat na přesné kladení biostratigrafické hranice eggenburg—otnang a konfrontovat s názorem, že všechny sedimenty dříve kladené k otnangu nalezi již ke karpatu (R. Jiříček, 1982, 1983). Získat zároveň znalosti o vývoji klimatu během otnangu a na hranici otnang—karpat.

4. Sledovat na základě všech dostupných biostratigrafických metod profily autochtonního spodního miocénu (eggenburg, otnang, karpat) pod příkrovu vnějšího flyše a pokusit se je korelovat s vývoji na jihovýchodních svazích Českého masivu.

### Literatura

- ADÁMEK, J., 1977: Nové geologické výsledky zjištěné vrtem Němcíčky 2. — Zem. Plyn Nafta 22, 1, Hodonín, 35—37.
- ADÁMEK, J., 1979: Plynové ložisko Dolní Dunajovice a geologická stavba jižní části karpatské předhlubně. — Zem. Plyn Nafta 24, 1, Hodonín, 1—22.
- BATÍK, P.—SKOČEK, V., 1981: Litologický vývoj paleozoika na vých. okraji dyjského masivu. — Věst. Ústř. Úst. geol. 56, 6, Praha, 337—347.
- BATÍK, P.—ČTYROKÝ, P.—GABRIEL, M.—HOLÁSEK, O.—KLEČÁK, J.—STŘÍDA, M.—ŠALANSKÝ, K.—ŠTYCH, J.—ZEMAN, A., 1982: Vysvětlivky k základní geologické mapě ČSSR 1:25 000 34—131 Šatov. — Ústř. Úst. geol., Praha, 1—72.
- BIMKA, J. et al., 1984: Závěrečná zpráva o vyhledávacím vrstu Nový Přerov 2. — MS, Zpráva MND, k. p., Hodonín.
- BIMKA, J., 1987: Naleziště zemního plynu N. Přerov — Alt Prerau. — Zem. Plyn Nafta 32, 3, Hodonín, 317—338.
- BRZOBOHATÝ, R.—HOLZKNECHT, M., 1982: Poznámky ke stratigrafii a paleogeografií eggenburgu v jižní části karpatské předhlubně na Moravě. — Zem. Plyn Nafta 27, 4, Hodonín, 353—363.
- BŘEZINA, J., 1959: Předběžná zpráva o nových nalezech pyroklastického materiálu v miocenních sedimentech na Moravě a západním Slovensku. — Zpr. geol. Výzk. v roce 1958, Praha, 14—15.
- BŮŽEK, Č., 1982: Ceratostratiotes Gregor, an extinct water plant of uncertain affinity from the European Miocene. — Věst. Ústř. Úst. geol. 57, Praha, 285—294.

- BÚŽEK, Č.—KVAČEK, Z., 1985: Chronostratigrafické korelační schema od spodního miocénu po hranici pliocén/pleistocén ve střední Evropě na základě makrofloristických dat. — MS, Archiv Ústř. Úst. geol., Praha.
- BÚŽEK, Č.—KVAČEK, Z., 1990: Floristic biostratigraphy of Tertiary basins in the Bohemian Massif and correlation with Central Paratethys. — Geol. Zbor. Geol. carpath. 41, 1, Bratislava, 3—13.
- CICHA, I., 1957: Mikrobiostratigrafie neogénu vrtby Nosislav II ve vněkarpatské pánvi na Moravě. — Věst. Ústř. Úst. geol. 32, Praha, 182—185.
- CICHA, I.—PAULÍK, J.—TEJKAL, J., 1957: Poznámky ke stratigrafii miocénu jihozápadní části vněkarpatské pánvi na Moravě. — Sbor. Ústř. Úst. geol., Odd paleont. 23, Praha, 307—364.
- CICHA, I.—ČTYROKÝ, P., 1962: Poznámky ke stratigrafii miocénu Paratethydy. — Sbor. Ústř. Úst. geol., Odd. paleont. 27, Praha, 279—313.
- CICHA, I. et al., 1975: Biozonal Division of the Upper Tertiary Basins of the Eastern Alps and West Carpathians. — Geol. Survey, Praha.
- CICHA, I.—ČTYROKÁ, J.—ČTYROKÝ, P.—KRÝSTEK, I.—BRZOBOHATÝ, R., 1984: Spodní miocén karpatské předhlubně na Moravě. — MS, Archiv Ústř. Úst. geol., Praha.
- ČÍŽEK, P., 1980: Výskyt bentonitu jv. od Ivančic. — Geol. Průzk. 10, Praha, 298—300.
- ČTYROKÁ, J., 1980: Biostratigrafická a faciální analýza miocénu předhlubně a revize úseku Jih. — MS, Archiv Ústř. Úst. geol., Praha.
- ČTYROKÁ, J.—BATÍK, P.—ČEKAN, V.—ELIÁŠ, M.—HAVLÍČEK, P.—KLEČÁK, J.—MINAŘÍKOVÁ, D.—NOVÁK, Z.—ŠEFRNA, L.—ŠTYCH, J.—TOMÁŠEK, M.—VOLŠÁN, V., 1987: Vysvětlivky k základní geologické mapě ČSSR 1:25 000 34-143 Hevlín. — Ústř. Úst. geol., Praha, 1—36.
- ČTYROKÁ, J.—ČTYROKÝ, P.—MOLČÍKOVÁ, V.—STRÁNÍK, Z., 1989: Litologie a biostratigrafie miocénu ve vrtu Perná-1 u Mikulova na Moravě. — Zpr. geol. Výzk. v Roce 1986, Praha, 32—34.
- ČTYROKÝ, P., 1972: Die Molluskenfauna der Rzehakia (Oncophora) Schichten Mährens. — Ann. Naturhist. Mus. Wien 76, Wien, 41—141.
- ČTYROKÝ, P., 1972: Spodnomiocenní měkkýši fauna z Hostěradic. — MS, Archiv Ústř. Úst. geol., Praha.
- ČTYROKÝ, P., 1980: Nová biostratigrafická data pro stáří vltavínosných uloženin u Dukovan a Suchohrdej na Moravě. — Přír. sbor. západomor. muz. v Třebíči 11, Třebíč, 151—158.
- ČTYROKÝ, P., 1982: Spodní miocén (eggenburg a ottang) jihozápadní části čelní hlubiny na Moravě. — Zem. Plyn Nafta 27, 4, Hodonín, 379—394.
- ČTYROKÝ, P., 1987: Evolution of the family Rzehakiidae (Mollusca, Bivalvia) in the Tertiary of Eurasia. — Contrib. Czech. Paleont. to evolution Sci., 1945—1985, Proc. Sem. Dpt. Paleont. Fac. Nat. Sci. Charles Univ., Praha, 73—79.
- ČTYROKÝ, P., 1987: Miozän des südöstlichen Teiles der Karpatenvortiefe bei Mikulov, Mähren (Tschechoslowakei). — Jb. Geol. Bundesanst. 130, 1, Wien, 25—30.
- ČTYROKÝ, P., 1987: Eggenburgian, Ottangian and Karpatian (Early Miocene) along the Bohemian Massif in Moravia (Czechoslovakia). — Ann. Inst. Geol. Publ. Hung. 70, Budapest, 119—123.
- ČTYROKÝ, P., 1988: Ophiomorpha v sedimentech ottangu ve Znojmě. — Zpr. geol. Výzk. v Roce 1985, Praha, 36—37.
- ČTYROKÝ, P., 1988: K stratigrafické posici rzeħakiových vrstev na Moravě. — Zpr. geol. Výzk. v Roce 1985, Praha, 33—36.
- ČTYROKÝ, P.—BATÍK, P. et al., 1978: Vysvětlivky k zákl. geol. mapě 1:25 000 34-113 Znojmo. — Ústř. Úst. geol., Praha, 1—80.
- ČTYROKÝ, P. et al., 1985: Vysvětlivky k zákl. geol. mapě 1:25 000 34-142 Mikulov. — MS, Archiv Ústř. Úst. geol., Praha.
- ČTYROKÝ, P.—BRZOBOHATÝ, R.—ČTYROKÁ, J.—ELIÁŠ, M.—FEJFAR, O.—CHMELÍK, F.—JURKOVÁ, A.—KRÝSTEK, I.—MOLČÍKOVÁ, V.—RŮŽIČKA, M., 1986: Terciér karpatské předhlubně a Videňské pánvi in Stratigrafie ČSR: — Ústř. Úst. geol., Praha.
- ČTYROKÝ, P.—ADÁMEK, J.—BRUNNEROVÁ, Z.—ČEKAN, V.—ČTYROKÁ, J.—DUDEK, A.—ELIÁŠ, M.—ELIÁŠOVÁ, H.—HAVLÍČEK, P.—HRKAL, Z.—KLEČÁK, J.—KOLEJKOVÁ, J.—MOLČÍKOVÁ, V.—NOVÁK, Z.—STRÁNÍK, Z., 1990: Vysvětlivky k základní geologické mapě ČSSR 1:25 000 34-142 Mikulov. — Ústř. Úst. geol., Praha, 1—100.

- ČTYROKÝ, P.—KRHOVSKÝ, J.—NOVÁK, Z.—ŽUREK, V., 1990: Autochtonní spodní eocén ve vrtu PMK-12 Loděnice, *Miscell. micropaleont.* IV, Hodonín, 19—53.
- DLABAČ, M. et al., 1969: Základní geol. mapa 1:25 000 M-33-117 Ab- Višňové. — MS, Geofond, Praha.
- DLABAČ, M., 1970: Vysvětlivky k základní geol. mapě 1:25 000 M-33-117 C-a Šatov. — MS, Geofond, Praha.
- DLABAČ, M., 1976: Neogén na jihovýchodním okraji Českomoravské vrchoviny. — *Výzk. Práce Ústř. Úst. geol.*, 13ú, Praha, 17—21.
- DORNIČ, J., 1969: Sedimenty staršího miocénu západně Miroslavské hrástě. — *Zpr. geol. Výzk. v Roce* 1967, Praha, 230—231.
- DORNIČ, J. et al., 1977: Vysvětlivky k zákl. geol. mapě 1:25 000 34-114 Prosiměřice. — MS, Archiv Ústř. Úst. geol., Praha.
- DORNIČ, J., 1980: Vysvětlivky k zákl. geol. mapě 1:25 000 34-114 Prosiměřice. — Ústř. Úst. geol., Praha.
- DORNIČ, J. et al., 1984: Vysvětlivky k zákl. geol. mapě 1:25 000 34-132 Božice. — Ústř. Úst. geol., Praha, 1—57.
- FEJFAR, O., 1974: Die Eomyiiden und Cricetiden (Rodentia, Mammalia) des Miozäns der Tschechoslowakei. — *Paleontographica*, Abt. A 146, Stuttgart, 100—180.
- FEJFAR, O.—SCHMIDT-KITTLER, N., 1984: Sivanasua und Euboictis n. gen., zwei pflanzenfressende Schleichkatzenvoraüfer (Viveridae, Carnivora, Mammalia) im europäischen Untermiozän. — *Mainz. geowiss. Mitt.* 13, Mainz, 49—72.
- FUCHS, R.—GRÜN, W.—PAPP, A.—SCHREIBER, O.—STRADNER, H., 1980: Vorkommen von Egerien in Niederösterreich. — *Verh. Geol. Bundesanst.*, 1979, 3, Wien, 295—311.
- GONČAROVA, I. A., 1981: O sostave i vozmožnom proizchoždeniji semejstva Rzechakidae (Bivalvia). — *Paleont.*, Moskva, 25—35.
- GORECKIJ, V. O., 1956: Fauna onkoforových šariv Podolja. — *Nauk. zap. Lvov. fil.*, Akad. nauk. SSR 5, Lvov, 24—44.
- GRILL, R., 1968: Erläuterungen zur geol. Karte des NÖ Weinviertels und Blatt Gänserndorf 1:75 000. — *Geol. Bundesanst.*, Wien.
- HOCHULI, P. A., 1978: Palynologische Untersuchungen im Oligozän und Untermiozän der zentralen und westlichen Paratethys. — *Beitr. Paläont. Geol. Österr.* 4, Wien, 1—232.
- HOLZKNECHT, M.—ZAPLETALOVÁ, I., 1974: Mikropaleontologické zhodnocení vrtu Dunajovice-1. — MS, Zpráva MND, Hodonín.
- HOMOLA, V. et al., 1961: Opěrná vrtba Nesvačilka-1 v jihozápadní části vněkarpatské pánve na Moravě. — *Práce Výzk. úst. čs. naft.* Dolů 17, Brno, 4—132.
- CHNYKIN, V. I. et al., 1986: Zpráva o vědecko-výzkumných pracech provedených v rámci kontraktu č. 55-183/27 800 „Racionální a vědecky zdůvodněné zaměření geologicko-průzkumných prací na ropu a zemní plyn na území ČSR na období 1987—1990 a následující léta“. — MS, Archiv Ústř. Úst. geol., Praha.
- JIŘÍČEK, R., 1982: Nové názory na stavbu okrajů Českého masívu a karpatské soustavy. — *Zem. Plyn Nafta* 27, 4, Hodonín, 395—414.
- JIŘÍČEK, R., 1983: Geologická stavba spodního miocénu čelní hlubiny v úseku Jih. — *Zem. Plyn Nafta* 28, 2, Hodonin, 197—212.
- KALABIS, V., 1970: Výskyt burdigalských „pectunculových“ písků na Znojemsku. — *Zpr. Kraj. vlastivěd. Střed.* v Olomouci 146, Olomouc, 1—3.
- KALÁŠEK, J. et al., 1963: Vysvětlivky k přehledné geologické mapě 1:200 000 M-33-XXIX Brno. — Ústř. Úst. geol., Praha.
- KANTOROVÁ, V., 1977: Planctonic foraminifers of the Oncophora Beds in the Ipešská kotlina (Depression). — *Západ. Karpaty, Sér. Paleont.* 2—3, Geol. Úst. D. Štúra Bratislava, 97—118.
- KLAUS, W., 1952: Bemerkungen zur Palynologie des Hausruck-Kohlen. — *Anz. Österr. Akad. Wiss., Math. naturw. Kl.*, 1952, Wien, 69—77.
- KNOBLOCH, E., 1969: Tertiäre Floren von Mähren. — *Mor. Muz. Brno*.
- KRYSTEK, I., 1959: Petrografie tufitických hornin z oblasti Vídeňské vnitrokarpatské a vněalpské pánve. — *Geol. Práce, Spr.* 54, Geol. Úst. D. Štúra, Bratislava, 127—144.

- KRYSTEK, I., 1983: Výsledky faciálního a paleogeografického výzkumu mladšího terciéru na jv. svazích Českého masívu v úseku „Jih“. — Folia Univ. Purkyn. brun. 24, 9, Brno, 1—47.
- KRYSTEK, I. — TEJKAL, J., 1968: K litologii a stratigrafii miocénu jz. části karpatské předhlubně na Moravě. — Folia Univ. Purkyn. brun., Geol. 9, 16, 7, Brno, 1—31.
- KRYSTKOVÁ, L. — KRYSTEK, I., 1981: Erkenntnisse aus den hydrogeologischen Bohrungen in SW — Teil der Karpatischen Vortiefe in Mähren. — Scripta Univ. Purkyn. brun. 11, 2, Brno, 73—80.
- KUKLOVÁ, K., 1973: Pohořelice — Miroslav — Regionální hydrogeologický průzkum severovýchodní části rajónu XXIII-R-32-C. Dilčí zpráva za II. etapu. — MS, Geotest, Brno.
- MARTINI, E., 1971: Standart Tertiary and Quarternary calcareous nannoplankton zonation. — Proc. 2nd Plankton. Conf., Roma, 739—785.
- MÁTL, V., 1979: Průzkum kaolinů na Znojemsku. — MS, Geofond, Praha.
- MERKLIN, R. L. — BOGDANOVIC, A. K. — BURJAK, V. N., 1964: O fauně iz verchnej časti ritcevskich sloev rek Kuban i Bořšoř Zelenčuk (Sev. Kavkaz). — Bjull. Mosk. Obšč. Ispt. Prir., Otd. geol. 39, 4, Moskva, 52—56.
- MOLČÍKOVÁ, V., 1968: Příspěvek k poznání spodního miocénu v jihozápadní části karpatské čelní hlubiny na Moravě. — Zpr. geol. Výzk. v Roce 1968, Praha, 223—225.
- MOLČÍKOVÁ, V., 1976: Nové nálezy miocenní mikrofauny v oblasti styku karpatské předhlubně s Českým masivem. — Výzk. práce Ústř. Úst. geol., 13ú, Praha, 23—32.
- MOŘKOVSKÝ, M., 1962: Poznámky ke geologickým poměrům okoli Vranovic v jižní části vněkarpatské pánve. — Čas. Mineral. Geol. 7, 1, Praha, 47—51.
- NAGYMAROSI, A. — HORVÁTH, M., 1978: On the age of the Rzehakia-Beds and Garab Schlier based on Foraminifera and Nannoplankton Investigations. — Ann. Univ. Sci. Budapest. Rolando Eötvös, Sect. geol. 20, Budapest, 3—21.
- OBRITZHAUSER, H., 1954: Pollenanalytische (palynologische) Untersuchungen an der untermiocänen Braunkohle von Langau bei Geras, N. Ö. — Sitz. Ber. K. Akad. Wiss., math-naturwiss. Kl. I, 163, Wien, 225—374.
- PAPP, A. — KRÖLL, A. — FUCHS, R., 1978: Das Egerien in der Waschbergzone Niederösterreichs. — Verh. Geol. Bundesanst. 2, Wien, 63—71.
- PAPP, A. — RÖGL, F. — SENEŠ, J. et al., 1973: M 2 Ottangien. Die Innviertler, Salgótarjaner, Bantapsztaer Schichtengruppe und die Rzehakia Formation. — Geochronologie u. Neostratotypen 3, Bratislava.
- PAUL, C. M., 1898: Erläuterungen zur geol. Karte der österr. ungar. Monarchie, Nr. 84, NW Gr. Znaim. — Wien.
- PÍCHA, F. — HANZLÍKOVÁ, E. — CÍCHA, I., 1968: Geologie čejšsko-zaječské zóny. — Sbor. geol. Věd, Geol. 13, Praha, 37—74.
- PLANDEROVÁ, E., 1978: Microflorizones in Neogene of Central Paratethys. — Západ. Karpaty, Sér. Geol. 3, Geol. Úst. D. Štúra, Bratislava, 7—34.
- PRACHAŘ, L., 1970: Závěrečná zpráva o výsledcích vyhledávacího vrtního průzkumu v miocénu karpatské čelní hlubiny mezi Miroslaví, Znojmem a Hrušovanami n.j. — MS, Geofond, Praha.
- RÖGL, F. — HOCHULI, P. A. — MÜLLER, C., 1979: Oligocene-Early Miocene stratigraphic correlations in the Molasse Basin in Austria. — Ann. Géol. Pays hellén., Hors Ser. 3, Athens, 1045—1049.
- RZEHAK, A., 1886: Die Neogenformation in der Umgebung von Znaim. — Verh. Geol. Reichsanst. 6, Wien, 128—130.
- RZEHAK, A., 1893: Die Fauna der Oncophora-Schichten Mährens. — Verh. naturforsch. Ver. Brünn 21, Brno, 142—192.
- RZEHAK, A., 1912: Beitrag zur Kenntnis der Oncophoraschichten Mährens. — Verh. Geol. Reichsanst. 15, Wien, 244—347.
- ŘÍHA, J., 1984: Příspěvek k poznání ostrakodových spoločenstev pestrých jílů karpatské předhlubně jv. od Brna. — Čas. Morav. Mus., Vědy přír. 69, Brno, 51—74.
- STEININGER, F. — SENEŠ, J. et al., 1971: M 1 Eggenburgien. — Chronostratigraphie u. Neostratotypen 2, Bratislava.
- STRÁNÍK, Z. — MOLČÍKOVÁ, V., 1980: Untermiozan nordöstlich von Pouzdřany. — Věst. Ústř. Úst. geol. 55, 2, Praha, 93—100.
- ŠPIČKA, V., 1968: K otázce diskordance mezi eggenburgskou a lužickou sérií v miocénu Západních Karpat. — Geol. Práce, Spr. 42, Geol. Úst. D. Štúra, Bratislava, 65—78.

- ŠPIČKA, V., 1968a: Poznámky k paleogeografií, tektonice a stratigrafii burdigal-helvetu v západním úseku Karpat. — Věst. Ústř. Úst. geol. 43, Praha, 141—147.
- TEJKAL, J. — LAŠTOVIČKA, Z., 1970: Nález miocenní fauny u Nových Syrovic na Moravskobudějovicku. — Vlastivěd. Sbor. Vysočiny. Odd. Věd. přír. 6, Jihlava, 49—56.
- VASS, D. — ELEČKO, M., 1982: Litostratigrafické jednotky kišcelu až egenburgu Rimavskej kotliny a Cerovej vrchoviny (južné Slovensko). — Geol. Práce, Spr. 77, Geol. Úst. D. Štúra, Bratislava, 11—124.
- VASS, D. — ELEČKO, M. — KANTOROVÁ, V. — LEHOTAYOVÁ, R. — KLUBERT, J., 1987: Prvý nález mor-ského otnangu v juhoslovenskej panve. — Miner. slov. 19, 5, Bratislava, 417—422.
- VASS, D. in KONEČNÝ, V. — PRISTAŠ, J. — VASS, D., 1983: Vysvetlivky ku geologickej mape Ipelskej kotliny a južnej časti Krupinskej planiny v mierke 1:50 000. — Geol. Úst. D. Štúra, Bratislava, 1—126.
- VEITH, E., 1953: Molasse und alpin-karpathischer Ueberschiebungsrund in Niederösterreich und Südmähren. — Neu. Jb. Geol. Paläont., Abh. 97, Stuttgart.
- WACHTEL, G. — WESSELY, G., 1981: Die Tiefbohrung Berndorf-I in den östlichen Kalkalpen und ihr geologischen Rahmen. — Mitt. Österr. geol. Gesell. 74/75, Wien, 137—165.
- ZAPFE, H., 1953: Zur Altersfrage der Braunkohle von Langau bei Geras in Niederösterreich. — Berg.-u. Huttenmänn. Mh. 98, 1, Wien, 12—16.
- ZAPFE, H., 1956: Die geologische Alterstellung österreichischen Kohlenlagerstätten nach dem gegenwärtigen Stand der Kenntnis. — Berg.-u. Huttenmänn. Mh. 101, 4, Wien, 71—81.
- ZAPLETALOVÁ, I., 1977: Některé výsledky a problémy mikrobiostatigrafického výzkumu miocénu na jihovýchodních svazích Českého masívu. — Zem. Plyn Nafta 22, 1, Hodonín, 19—23.
- ZEMAN, A. et al., 1987: Vysvetlivky k základní geologické mapě ČSSR 1:25 000 34-134 Jaroslavice. — Ústř. Úst. geol., Praha, 1—27.
- ZIEGLER, R. — FAHLBUSCH, V., 1986: Kleinsäugen-Faunen aus der basalen Oberen Süßwasser-Molasse Niederbayerns. — Zitteliana 14, München, 3—80.
- ŽŮRKOVÁ, I., 1967: Sedimentárně-petrografické a sedimentologické zhodnocení vrtby Mikulov-1. — Geol. Práce, Spr. 41, Geol. Úst. D. Štúra, Bratislava, 173—184.

## PAVEL ČTYROKÝ

### Division and correlation of the Eggenburgian and Otnangian in the southern Carpathian Foredeep in southern Moravia

Summary

The submitted work deals with lithostratigraphic and biostratigraphic divisions of Lower Miocene sediments (predominantly Eggenburgian and Otnangian) in the southern part of the Carpathian Foredeep in Moravia, from the Austrian border northward almost as far as to Brno.

The introductory chapters devoted to the historic development of views on the Lower Miocene stratigraphy in the studied area and adjacent basins of the central Paratethys are followed by a summary of present-day views on the division of Lower Miocene sediments from the Egerian to Karpatian on the basis of new data provided by geological mapping, revision of earlier sections through hundreds of shallow and deep drillholes as well as new litho- and biostratigraphic knowledge.

## Egerian

Autochthonous Egerian marine sediments are known exclusively from the HV-102 Malešovice drillhole located NW of Pohořelice at a depth of 285.0—305.0 m. In this hydrogeological drillhole K. KUKLOVÁ, (1973), I. CICHA et al. (1984) and P. ČTYROKÝ (1988) have identified a foraminifer assemblage composed of the species *Miogypsina cf. complanata*, *Lepidocyclusina (E.) cf. dilatata*, *Uvigerina bononiensis* and molluscs *Turritella* sp. and ? *Charonia* sp. in dark-brown to brown-red silty claystones. No nannoplankton has been found. P. ČTYROKÝ (1988) has proposed a lithostrati-

graphic name the Malešovice beds to designate this Egerian formation whose type section is the above-mentioned drillhole. Lepidocyclina occurrences suggest that the part of the Malešovice Formation intersected by the HV-102 drillhole is likely to correspond to the Lower Egerian and can be correlated with a member of the Lučenec Formation in southern Slovakia (D. VASS — M. ELEČKO, 1982).

### Egerian to Eggenburgian

This time span in the Carpathian Foredeep area includes the so-called Žerotice beds (M. DLABAČ, 1970, 1976), first described in the Z-7A drillhole at Žerotice (P. north of Znojmo) and later intersected also by the Žerotice-I drillhole (P. BATÍK — V. SKOČEK, 1981, P. ČTYROKÝ, 1982). In the type section of the Že-1 drillhole, the Žerotice beds transgressively rest on Devonian limestones (Givetian — Frasnian). At the base there is a 1 m — thick layer of basal clastics dominated by crystalline material which is overlain by a 37.5 m-thick formation of green-gray to dark green, slightly calcareous claystones to siltstones with layers of the same lithological character but different coloration — violet-rusty to reddish. The formation contains rare layers of medium- to coarse-grained sands, up to 2 m thick. In the Že-1 drillhole, the Žerotice beds are overlain by a 46 m-thick formation of gray-green to dark green sands, siltstones and claystones which can be well correlated with Eggenburgian sediments present in the adjacent sections through shallow drillholes. No fossils have been observed in the whole section of the Žerotice beds, but rhythmically alternating green and red layers near the transition into the overlaying Eggenburgian sediments suggest that the Žerotice beds were probably laid down shortly before the Eggenburgian transgression. The Žerotice beds equivalents have later been revealed at the Eggenburgian base in the HV-103 drillhole at Čejkovice (east of Znojmo, I. KRÝSTEK — L. KRÝSTKOVÁ, 1981) and HV-603 drillhole at Jezeřany. In both these drillholes, the variegated sediments have been found to be overlain by faunistically proved Eggenburgian sediments of the *Crassostrea* — *Pirenella* biofacies. We assume that the red and violet sediments of the Žerotice beds were deposited in subaerial environment or in fresh-water proluvial lakes that locally existed prior to the Eggenburgian marine transgression. The assumption that this deposition persisted as late as until the Egerian lacks paleontological evidence.

### Eggenburgian

Eggenburgian sediments in the studied tract of the Carpathian Foredeep can schematically be divided into two bio- and lithofacies developments:  
a) basinal and b) shallow-water ones.

#### *Basinal development*

The Eggenburgian basinal development occurs largely in surface sections as well as in sections through shallow and deep drillholes in the southern part of the territory concerned, near the Austrian border between Šatov in the west and Mikulov in the east. At the base of the Eggenburgian, the crystalline or Jurassic are overlain by basal chloritic and glauconitic sands and sandy gravels. In the HV/2/3 drillhole at Vrbovec (south of Znojmo), these sandstones have been found to contain fauna with *Glycymeris cor*, *G. fichteli*, *Protoma cathedralis*, *Turritella vermicularis*. Above them, a number of drillholes have intersected a formation of fine-grained sands and calcareous clays containing fairly rich shallow-water foraminifer fauna with the index species *Cibicidoides budayi* (see V. MOLČIKOVÁ, 1976). In this tract of the Eggenburgian formation, J. TEJKAL (1958) described molluscan fauna with the species *Thracia cf. pubescens* and *Laevicardium cf. cingulatum*. Above, P. ČTYROKÝ (in P. BATÍK — P. ČTYROKÝ, 1982) has revealed a montmorillonite-clay layer with volcanic glass. This layer can be well correlated with a horizon of rhyolite tuffites in the uppermost part of the Eggenburgian shallow-water development.

In the area east of Hevlín, a Jurassic elevation near Břeží is transgressively overlain by Eggenburgian pelitic-arenaceous members, whereas basal clastics were deposited in deeper portions on the eastern slope of this elevation in the vicinity of D. Dunajovice and Mikulov (J. ADÁMEK, 1977).

Largest thicknesses (over 500 m) of the Eggenburgian sediments occur ahead of the Ždánice nappe front.

Eggenburgian microfauna of the eastern Foredeep was studied by I. ZAPLETALOVÁ (1977), M. HOLZNECHT and I. ZAPLETALOVÁ (1974), R. JÍŘÍČEK (1983) and V. MOLČÍKOVÁ (in P. ČTYROKÝ et al., 1986). In addition to numerous foraminifer species, the Eggenburgian age (zone NN-2) is also proved by the presence of the species *Helicosphaera ampliaperta* B. et W. Nannoplankton and foraminifer microfauna of the upper Eggenburgian in this tract of the Foredeep allow correlation with the Šakvice Marls of the Ždánice unit (Z. STRÁNÍK – V. MOLČÍKOVÁ, 1980, P. ČTYROKÝ et al., 1990).

### Shallow-water development

This development has been studied in a number of outcrops and tens of drillholes at the western margin of the Foredeep adjacent to the Bohemian Massif, from the Austrian border south of Šatov as far as the neighbourhood of Ivančice.

Basal members of the shallow-water development consist of bouldery, coarse gravels, fine-grained gravels, sands and sandstones, often kaolinic or with layers of redeposited secondary kaolin. The basal members are frequently absent on basement elevations, with the Bohemian Massif rocks being overlain by formations of sands, sandy clays, silts, calcareous as well as noncalcareous clays and coaly clays. In the uppermost part there is a layer or several layers of rhyolite tuffite, and tuffaceous, montmorillonitic and bentonitic clays. In the vicinity of Znojmo, the rhyodacite to rhyolite tuffites (I. KRYSTEK, 1959, J. BŘEZINA, 1959) are accompanied by laminated tuffaceous clays and claystones. Further to the north, in the neighbourhood of Vítovice, M. DLABAČ (1976) has distinguished tuffaceous clays, and in the Hostěradice area J. DORNIČ (1969) described tuffaceous beds as much as 13 m thick.

The marginal shallow-water development of the Eggenburgian is characterized mainly by assemblages of primarily marine and brackish molluscs. In a number of outcrops and mainly in drillhole sections (Znj-1 Hodonice and numerous holes drilled by the Uranium Exploration Co.), rhythmically alternating layers with marine and brachyhaline faunas have been recognized. The marine rhythms have been found to contain the species *Nucula* sp., *Glycymeris* sp., *Glycymeris fichteli* (DESH.), *G. cor* (LML.) *Barbatia* cf. *barbata* L., *Pholas dactylus* (L.), *Timoclea ovata minor* DOLL et DZ., *Cardiidae* div. sp., *Hinia edlaueri* B. BYSTR., *Calyptrea* sp., *Ocinebrina* sp., *Pirenella moravica* (HÖRN.).

The brachyhaline rhythms contain very abundant oyster accumulations with large shells of *Crassostrea gryphoides* (SCHLOTH.) and plentiful conchs of *Pirenella moravica* (HÖRN.) accompanied by the species *Clithon* (*Vittocliton*) *pictus* (FÉR.) as well as representatives of the genera *Hydrobia*, *Nematurella*, *Ctyrokya*, *Congeria* and *Cerastoderma*. Very much information on these assemblages came from construction excavations at Pražská ulice street and building site of the new Znojmo hospital. A review of lithofacies and biofacies conditions is given in Fig. 5–8, whereas that of the most significant molluscs is in Pl. XXI–XXIII.

The above-mentioned horizon of rhyolite tuff, tuffites and tuffaceous clays in the uppermost part of the Eggenburgian horizon may possibly be correlated with the so-called Lower Rhyolite Tuffs (Gyulakeszi Formation) in northern Hungary and the Bukovinka Formation in southern Slovakia (D. VASS et al., 1987). Earlier, these formations had been regarded as Lower Ottangian, but recently the Bukovinka Formation was assigned into the Eggenburgian. The tuffites were laid down in subaqueous environment, and frequently contain abundant horizons with brackish molluscs and remains of fossil flora.

The molluscan assemblages of the brackish biofacies with *Pirenella moravica* can perfectly be compared to molluscan faunas described in the underlying of a coal seam at Langau in Lower Austria (Niederösterreich, H. ZAPFE, 1953, 1956).

In recent years, many hydrogeological drillholes proved that the shallow-water Eggenburgian sediments with *Crassostrea gryphoides* and *Pirenella moravica* extend far towards the north along the Bohemian Massif eastern margin into the area between Pohořelice and Brno. Rich assemblages of these species were identified in hydrogeological drillholes of the series HV and PMK.

Eggenburgian in the area of the Ždánice and Pouzdřany units rich nannoplankton and foraminifer microfauna allow to assign the tectonic slices of the Šakvice Marls in the area between Bořetice and Hustopeče (Z. STRÁNÍK – V. MOLČÍKOVÁ, 1980) into the Eggenburgian. From lithofacies and biofacies points of view, they most resemble Eggenburgian pelites found near the thrust line of the Ždánice unit near Perná (P. ČTYROKÝ et al., 1989).

### Eggenburgian to Ottangian

At present the stratigraphic conception introduced by V. ŠPIČKA (1967, 1968, 1972) is being abandoned. It assumed a united Eggenburgian-Ottangian sedimentation cycle in the Moravian Neogene basins. Nevertheless, this category was used by the construction of basic geological maps of the southern Foredeep area on the scale 1:25 000. It comprises sediments whose position could not have been verified within both these stages. A decisive criterion was always the position of these sediments relative to the rhyolite tuff horizon.

### Ottangian

As mentioned above, the uppermost Eggenburgian horizons in the area concerned are represented by the layers of rhyolite tuff, tuffites, tuffaceous and montmorillonitic clays. Their deposition was followed by a rapid degradation of the marine basin in the studied area, which resulted in the formation of numerous different lithofacies. In the course of geological mapping in this area, M. DLABAČ (1970) and P. ČTYROKÝ (in P. BATÍK – P. ČTYROKÝ et al., 1982) have distinguished: a) slightly calcareous clays with sand layers, b) silty noncalcareous clays with fish scales and gypsum crystals, c) leaflet-jointed noncalcareous clays, d) thick layers of quartzy sands (type N. Šaldorf near Znojmo), e) irregularly and shell-jointed Vítovice Clays and Claystones with plant and fish remains (Fisch-Schlier). Lithologically similar rock types also occur in Lower Austria in the Zellerndorf area (R. GRILL, 1968, F. RÖGL – P. A. HOCHULI – MÜLLER, 1979). According to Austrian scientists, these rocks already contain a temperate pollen flora and are assigned into the upper Ottangian.

### Variegated Ottangian sediments on the Bohemian Massif

In the vicinity of Ivančice, Moravský Krumlov and Brno, the Rzehakia beds are underlain by variegatedly coloured clayey-sandy sediments, largely of red-violet colour. At the Červený vrch in Brno, these sediments were found by A. RZEHAK (1912) to contain a poor limnic and terrestrial molluscan fauna, whereas near Želešice, P. ČTYROKÝ (1972) described a poor assemblage of limnic molluscs, and KHEIL (1973) identified ostracods. According to the latter author, the ostracod assemblage resembles that described in the oligohaline biofacies of the Rzehakia beds at the locality Invačice – Padochovka. Chloritic sands, which are likely to laterally replace the variegated sediments, are exposed also at the locality Ořechov which contains a rich assemblage of fossil mammals of the zone MN 4b (O. FEJFAR, 1974, O. FEJFAR – N. SCHMIDT – KITTLER, 1984).

### Ottangian, Rzehakia beds

The Rzehakia beds are considered as stratigraphically uppermost, transgressive member of the Ottangian. However, they are not distributed throughout the studied area, but only east of the Boskovice trench and north of Miroslav. At their base there are frequently developed gravels to conglomerates with abundant black-chert pebbles. These are overlain predominantly by yellow sands and yellow-green silstones with rare concretionary-consolidated layers and lenses of solid sandstone. The PMK drillholes north of Pohořelice revealed that they transgressively rest on Eggenburgian sediments with *Crassostrea gryphoides* and *Pirenella moravica*. Their molluscan assemblage has been described in detail by P. ČTYROKÝ (1972) and its important specimens are shown in Tab. XXIV. Their upper boundary is largely clearly marked by an abrupt change in the lithofacies of sandy marls with abundant Karpatian foraminifer microfauna. Lateral replacement of the Rzehakia beds with Karpatian sediments which is assumed by R. JIŘÍČEK (1983) has not been observed.

## *Marine Ottnangian in eastern Foredeep*

Ottnangian marine sediments of the Robulus sandy marl biofacies are known only from the deep Nosislav 1, 2 and Nesvačilka-1 drillholes (south of Brno). These are overlain by the Rzehakia beds with *Rzehakia socialis* (Nesvačilka-3, P. ČTYROKÝ, 1987) which are also described in earlier literature (R. GRILL, 1943, ŠOB, 1947, E. VEITH, 1953) in the vicinity of Měnín and Telnice.

## *Ottnangian in the Ždánice unit area*

Above the Eggenburgian Šakvice Clays, Z. STRÁNÍK et al. (1980) have described a formation of calcareous as well as noncalcareous clays with pelocarbonates, gypsum, diatomite layers with fish remains some 200 m thick. Lithologically, they resemble some rock types with fish remains south of Znojmo, in the vicinity of Zellerndorf in Lower Austria or the so-called "eisenschüssige Tone und Sande" near the front of the Wachsberg zone (R. GRILL, 1968, P. ČTYROKÝ, 1987). These beds have been named by Z. STRÁNÍK et al. (1980) the Pavlovice beds. Although their age has not been paleontologically proved, their lithological development very similar to that of the Ottnangian in the adjacent part of the Carpathian Foredeep suggests that the beds are probably of Ottnangian age.

Translated by L. Böhmer

## **Explanations to Figures**

Fig. 1 Uncovered geological map of the southwestern Carpathian Foredeep in Moravia. 1 — undivided crystalline and Paleozoic, 2 — Eggenburgian, 3 — Ottnangian, in isolated relics Ottnangian to Eggenburgian, 4 — Karpatian, 5 — Lower Badenian, 6 — undivided Miocene to Pliocene, 7 — proved faults, 8 — assumed faults, 9 — reverse faults, 10 — drillhole location.

Fig. 2 Profile of the Že-1 drillhole Žerotice, NE of Znojmo. 1 — clays and slightly calcareous clays, 2 — sandy clays and silts, 3 — sands, 4 — gravels, 5 — weathered phyllites, 6 — Devonian limestones.

Fig. 3 Correlation scheme of the drillholes HV-102 Malešovice, PMK-3 Našiměřice and PMK-3A Kubšice.

1 — crystalline, 2 — gravels and conglomerates, 3 — sands and sandstones, 4 — tuffaceous and bentonitic claystones and clays, 5 — noncalcareous and slightly calcareous claystones and clays, 6 — silty and sandy claystones and clays, 7 — Quaternary.

Fig. 4 Schematic profile of the HV-603 drillhole Jezeřany.

1 — sands, sandstones, silts, siltstones, 2 — concretionary-consolidated layers of sands and siltstones, 3 — calcareous and noncalcareous silty clays and claystones, 4 — red and red-violet, banded, mostly noncalcareous silty claystones and siltstones, 5 — chloritic sands and sandstones, 6 — *Pirenella moravica*, 7 — *Cerastoderma* div. sp., 8 — *Crassostrea gryphoides*.

Fig. 5 Lithostratigraphic and biostratigraphic correlations of Eggenburgian and Ottnangian sediments in surface sections and drillholes in the Znojmo area.

1 — Quaternary, 2 — clays and tuffaceous clays, 3 — calcareous clays, 4 — sandy limestones, 5 — sandy clays and silts, 6 — montmorillonitic and bentonitic clays, 7 — sands and sandstones, 8 — calcareous clays rich in foraminifer fauna, 9 — gravels and conglomerates, 10 — rhyolite tuffite, 11 — Devonian limestones, 12 — kaolinized granite, 13 — granite, 14 — glauconite occurrence, 15 — occurrence of fossil flora, 16 — *Crassostrea* occurrence, 17 — *Hydrobia* and *Nematurella* occurrence, 18 — *Pirenella* occurrence, 19 — *Glycymeris* occurrence, 20 — *Cardiidae* occurrence, 21 — *Polymesoda* occurrence.

Fig. 6 Section across Eggenburgian sediments in excavation of school foundations at Znojmo, residential area Pražská ulice.

1 — Quaternary, 2 — unfossiliferous laminated tuffaceous claystones, 3 — silty and sandy claystones, 4 — calcareous and noncalcareous clays and claystones, 5 — crystalline, 6 — *Pirenella moravica*, 7 — *Hydrobia*, *Ctyrokyta*, *Nematurella*, *Melanopsis*, *Vittoclinthion*, 8 — *Crassostrea gryphoides*, 9 — *Cardiidae*, 10 — *Polymesoda*.

Fig. 7 Section of the Eggenburgian transgression base in a sewage-tube trench at Znojmo, residential area Pražská ulice.

1 — Quaternary, 2 — rhyolite tuffite, 3 — tuffaceous and bentonitic clays, 4 — calcareous tufts and organodetrital limestones, 5 — clays and claystones, 6 — basal gravels and breccias, 7 — crystalline, 8 — fossil flora, 9 — *Cardiidae*, 10 — *Pirenella moravica*, 11 — *Hydrobia*, *Nematurella*, *Ctyrokya*.

Fig. 8 Section of trench R/I Znojmo — Dobšice.

1 — Quaternary terrace, 2 — fine-grained, cross-bedded Ottangian sands, 3 — coarse-grained Eggenburgian gravels and gravelly sands, 4 — clayey sandstones and siltstones, Eggenburgian, 5 — laminated tuffaceous claystones, Eggenburgian, 6 — clays and claystones, Eggenburgian, 7 — *Cardiidae*, 8 — *Pirenella moravica*, 9 — *Hydrobia*, *Nematurella*, *Ctyrokya*.

Fig. 9 Correlation of Eggenburgian, Ottangian and Karpatian sediments in hydrogeological drillholes.

1 — Quaternary, 2 — sands and sandstones, 3 — clays and siltstones, 4 — calcareous clays, 5 — conglomerates, 6 — calcareous sandstones, 7 — gravels, 8 — Culm, 9 — crystalline.

Fig. 10 Section of Eggenburgian base in trench R/2 at Hostěradice.

1 — Quaternary, 2 — sandy gravels, 3 — basal gravels and conglomerates, 4 — sands and sandstones, 5 — crystalline, 6 — *Crassostrea gryphoides*, 7 — *Pirenella moravica*, 8 — *Lucinoma*, *Timoclea*, *Polymesoda*.

Fig. 11 Geological section of Lower Miocene sediments across drillholes PMK-7A Pavlov and HV-102 Malešovice.

1 — crystalline, 2 — deeply weathered crystalline to eluvium, 3 — variegated claystones to siltstones, 4 — noncalcareous claystones and siltstones, 5 — calcareous claystones and siltstones, 6 — calcareous claystones and sandy marls, 7 — sands and sandy gravels, 8 — Quaternary.

Fig. 12 Section of ? Egerian to Ottangian sediments along an unpaved road in locality "Knížecí les" north of Ivančice.

1 — red-spotted and banded sandy clays and siltstones, 2 — clays and silty clays, 3 — bentonitic clays, 4 — sands, 5 — concretionary-sandstone bodies, 6 — nonsorted gravels and sandy gravels, 7 — Quaternary, 8 — *Anodonta*, *Unio*, 9 — *Congeria*, 10 — fish remains, 11 — mammalian remains. Horizons 1—4 ? Egerian — Eggenburgian, 5—7 Eggenburgian, 8—10 Ottangian.

Fig. 13 Section of Ottangian sediments at type-section locality Jezeřany-Maršovice in drillhole MK-21.

1 — Quaternary, 2 — concretionary-consolidated sandstones and siltstones, 3 — fine-grained and silty sands, 4 — lumachelle occurrences: *Rzechakia socialis*, *Congeria nucleolus*.

#### Explanations to Plates XIV—XXIII

##### Pl. XIV

Fig. 1 Chvalovice, outcrop near wine cellars in the Daniš Valley. Layers 1 and 3 — Eggenburgian calcareous clayey siltstones, layer 2 — Eggenburgian montmorillonitic claystones with volcanic glass.

Fig. 2 Chvalovice, outcrop above a wine cellar in the Daniš Valley. Layer 1 — Lower Badenian basal clastic rocks, 2 — Eggenburgian calcareous clayey siltstones.

##### Pl. XV

Section of Eggenburgian sediments in excavations for 2nd hospital at Znojmo.

1 — Quaternary, 2 — weathered rhyolite tuffites, 3 — white-gray bedded rhyolite tuffites with fauna and flora, 4 — montmorillonitic claystones, 5 — laminated tuffaceous claystones.

##### Pl. XVI

Section of the Eggenburgian in excavations for 2nd hospital at Znojmo.

1 — Quaternary, 2 — weathered and transported rhyolite tuffites, 3 — montmorillonitic clays, 4 — laminated tuffaceous claystones with fauna and flora.

Pl. XVII

Section of Eggenburgian tuffaceous rocks in excavation for a pillar in the building-site of the Znojmo 2nd hospital.

Pl. XVIII

Trench R/I at Znojmo – Dobšice on the left bank of Leska brook.

1 — quartzy fine-grained Otnangian sands, 2 — green, partly tuffaceous Eggenburgian claystones and clayey sandstones with molluscan fauna of the biofacies *Pirenella moravica* — *Cerastoderma* — *Hydrobia* — *Congeria*.

Pl. XIX

Sand pit near to a kaolin quarry at Únanov near Znojmo. Succession of beds of bedded rusty-banded coarse-grained quartzy and kaolinic Otnangian sands.

Pl. XX

Němčíky u Pravlova, inside a cellar. Medium-grained quartzy Rzechakia Otnangian sands with two layers containing *Rzechakia socialis*, *Limnopagetia moravica*, *Siliqua* and other molluscs.

Pl. XXI

1—2 *Crassostrea gryphoides* (SCHLOTHEIM), Znojmo, school foundations, Pražská ulice, Eggenburgian, diminished 0.5 ×, Inv. No. 29 548.

3 *Pirenella moravica* (HÖRNES), Znojmo, Steidl china plant, topotype of C. M. PAUL's collections in 1891, Eggenburgian, Coll. Geol. Bundesanst. Wien, 3 ×.

4, 5 *Pirenella moravica* (HÖRNES), Znojmo, Steidl china plant, topotype of C. M. PAUL's collections in 1891, Eggenburgian, Coll. Geol. Bundesanst. Wien, 1.5 ×.

6 *Pirenella moravica* (HÖRNES), Znojmo, school-foundations excavations, Pražská ulice, Inv. No. 32 953, 1.5 ×.

7, 8 *Pirenella moravica* (HÖRNES), Znojmo, school-foundations excavation, Pražská ulice, Eggenburgian, Inv. No. 28 411, 1.5 ×.

9 *Ctyrokyta* n.sp., Znojmo, excavations for the 2nd hospital, Eggenburgian, Inv. No. 28 390, 7 ×.

10 *Nematurella* n.sp., Znojmo, excavations for the 2nd hospital, Eggenburgian, Inv. No. 28 389, 7 ×.

11 *Calyptraea chinensis* L. Zn-10 Znojmo – Dobšice, depth 15.0 m, Eggenburgian, Inv. No. 28 374, 4 ×.

12, 13 *Pirenella moravica* (HÖRNES), Langau (Niederösterreich), underlying of a coal seam, Eggenburgian, Coll. H. ZAPFE, Paleont. Inst. Univ. Wien, 2 ×.

Pl. XXII

1 *Crassostrea gryphoides* (SCHLOTHEIM), Znojmo, school-foundations excavations, Pražská ulice, Eggenburgian, Inv. No. 28 435, 0.5 ×.

2 *Glycymeris fichteli* (DESHAYES), HV 2/3 Vrbovec u Znojma, depth 77.0 m, Coll. Kalabis, Eggenburgian, 3 ×.

3 *Thracia* cf. *pubescens* (PULTNEY), Chvalovice, Daniž Valley, Eggenburgian, Inv. No. 38 869, 1.5 ×.

4, 5 *Lucinoma barrandei* (MAYER), trench R/2 Hostěradice, horizon 1, Eggenburgian, Inv. No. 30 360, 5.5 ×.

6, 7 *Timoclea ovata minor* DOLLFUS et DAUTZENBERG, trench R/2 Hostěradice, horizon 1, Eggenburgian, Inv. No. 28 360, 4 ×.

8 *Ostrea edulis* ssp., Znojmo, school-foundations excavation, Pražská ulice, Eggenburgian, Inv. No. 32 820, 0.5 ×.

Pl. XXIII

1, 2 *Hinia edlaueri* BEER-BYSTRICKY, Znojmo, school-foundations excavation, Pražská ulice, Eggenburgian, Inv. No. 28 401, 4 ×.

3, 4 *Clithon (Vittocliton) pictus* (FÉRRUSAC), Znojmo, school-foundations excavation, Pražská ulice, Eggenburgian, 4 ×.

- 5 *Ocinebrina* sp., Znojmo, school-foundations excavation, Pražská ulice, Eggenburgian, Inv., No. 16 656, 3 ×.
- 6 *Congeria* sp., Znojmo, school-foundations excavation, excavations for the 2nd hospital, Eggenburgian, Inv. No. 30 379, 9 ×.
- 7 *Hydrobia* sp., Znojmo, school-foundations excavation, Pražská ulice, Eggenburgian, Inv. No. 28 388, 7 ×.
- 8 *Hydrobia* sp. Zn-10 Znojmo – Dobšice, depth 15.6 m, Eggenburgian, Inv. No. 28 384, 7 ×.
- 9 *Cardium* sp. juv., Znj-1 Hodonice, depth 51.9 m, Eggenburgian, Inv. No. 30 390, 11.5 ×.
- 10, 11, 12 *Congeria* sp. juv., Znojmo, school-foundations excavation, Pražská ulice, Eggenburgian, Inv. No. 28 393, 7 ×.
- 13 *Congeria* sp., school foundation. Pražská ulice, Znojmo, Eggenburgian, Inv. No. 16 651, 3 ×.
- 14 *Lumachella misex Cerastoderma* sp., Zn-2 GPUP, depth 57.5 m, Eggenburgian 1 ×.

#### Pl. XXIV

- 1, 2 *Rzehakia socialis* (RZEHAK), Maršovice – Jezeřany, Ottangian, Rzehakia beds of the type locality, Inv. No. 20 377/12, 2 ×.
- 3 *Rzehakia socialis* (RZEHAK), Maršovice – Jezeřany, Ottangian, Rzehakia beds, Inv. No. 20 376/30, 2 ×.
- 4 *Rzehakia socialis* (RZEHAK), Maršovice – Jezeřany, Ottangian, Rzehakia beds, Inv. No. 11, 2 ×.
- 5, 6 *Limnopagetia moravica* (RZEHAK), Lectotype, Oslavany, redeposited into Lower Badenian, Coll. Naturhist. Mus. Wien, Inv. No. 656A, 2 ×.
- 7 *Limnopagetia gracilis gracilis* (RZEHAK), Lectotype, Rakšice, Ottangian, Rzehakia beds, Coll. Naturhist. Mus. Wien, Inv. No. 661A, 2 ×.
- 8 *Siliqua* cf. *kozahurica* KVALIASHVILI, Rakšice, Ottangian, Rzehakia beds, Coll. Naturhist. Mus. Wien, Inv. No. 667, 2 ×.
- 9 *Siliqua* cf. *kozahurica* KVALIASHVILI, Němčičky, Ottangian, Rzehakia beds, Inv. No. 16 682, 1 ×.
- 10, 11 *Congeria nucleolus* RZEHAK, Lectotype, Oslavany, redeposited into Lower Badenian, Coll. Naturhist. Mus. Wien, Inv. No. 1340/1, 4 ×.
- 12 *Ctyrokya schlickumi* (ČTYROKÝ), Maršovice – Jezeřany, Ottangian, Rzehakia beds, Inv. No. 11 173, 4 ×.
- 13 *Theodoxus cyrtocelis austriacus* RZEHAK, Invačice – Padochovka, Rzehakia beds, Ottangian, Inv. No. 12 926, 8 ×.

#### Vysvětlivky k fotografickým tabulím

##### Tab. XIV

Obr. 1 Chvalovice, stěna u vinných sklepů v údolí Daniče. — Polohy 1, 3 — vápnité jílovité prachovce eggenburgu, 2 — montmorillonitické jílovce s vulkanickým sklem eggenburgu.  
Obr. 2 Chvalovice, stěna nad vinným skleppem v údolí Daniže. — Poloha 1 — bazální klastika spodního badenu, 2 — vápnité jílovité prachovce eggenburgu.

##### Tab. XV

Profil v sedimentech eggenburgu ve výkopech pro II. nemocnici ve Znojmě. — Poloha 1 — kvartér, 2 — zvětralé ryolitové tufity, 3 — bělošedé vrstevnaté ryolitové tufity s faunou a flórou, 4 — montmorillonitové jílovce, 5 — laminované tufitické jílovce.

##### Tab. XVI

Profil eggenburgem ve výkopu pro II. nemocnici ve Znojmě. — Poloha 1 — kvartér, 2 — zvětralé a přemístěné ryolitové tufity, 3 — montmorillonitové jíly, 4 — laminované tufitické jílovce s faunou a flórou.

##### Tab. XVII

Profil tufitickým eggenburgem ve výkopu pro pilot na stavbě II. nemocnice ve Znojmě.

#### Tab. XVIII

Rýha R/I v Znojmě — Dobšicích na levém břehu potoka Lesky. — Poloha 1 — křemenné jemnozrnné písky otnangu, 2 — zelené, z části tufitické jilovce a jilovité pískovce eggenburgu s měkkýší faunou biofacie *Pirenella moravica* — *Cerastoderma* — *Hydrobia* — *Congeria*.

#### Tab. XIX

Jámová pískovna při odbočce ke kaolinice v Únanově u Znojma. — Vrstevní sled vrstevnatých, rezavě smouhovaných hrubozrnných křemenných a kaolinických písků otnangu.

#### Tab. XX

Němčičky u Pavlova, vnitřní stěna sklepa. — Středně zrnité křemenné rzechakiové písky otnangu s dvěma polohami s *Rzechakia socialis*, *Limnopagetia moravica*, *Siliqua* a j. měkkýši.

#### Tab. XXI

1—2 *Crassostrea gryphoides* (SCHLOTHEIM) Znojmo, základy školy Pražská ul., eggenburg, 0,5 ×, Inv. č. 29 548.

3 *Pirenella moravica* (HÖRNES), Znojmo, Steidlova porcelánka, topotyp ze sběru C. M. PAULA z r. 1891, eggenburg, Coll. Geol. Bundesanst. Wien, 3 ×.

4, 5 *Pirenella moravica* (HÖRNES), Znojmo, Steidlova porcelánka, topotyp ze sběru C. M. PAULA z r. 1891, eggenburg, Coll. Geol. Bundesanst. Wien, 1,5 ×.

6 *Pirenella moravica* (HÖRNES), Znojmo, základy školy Pražská ul., Inv. č. 32 953, 1,5 ×.

7, 8 *Pirenella moravica* (HÖRNES), Znojmo, základy školy Pražská ul., eggenburg, Inv. č. 28 411, 1,5 ×.

9 *Ctyrokya* n.sp., Znojmo, výkopy II. nemocnice, eggenburg, Inv. č. 28 390, 7 ×.

10 *Nematura la* n.sp., Znojmo, výkopy II. nemocnice, eggenburg, Inv. č. 28 389, 7 ×.

11 *Calyptraea chinensis* L., Zn-10 Znojmo — Dobšice, hl. 15,0 m, eggenburg, Inv. č. 28 374, 4 ×.

12, 13 *Pirenella moravica* (HÖRNES) Langau (Niederösterreich), podloží uhlíkové sloje, eggenburg, Coll. H. Zapfe, Paleont. Inst. Univ. Wien, 2 ×.

#### Tab. XXII

1 *Crassostrea gryphoides* (SCHLOTHEIM), Znojmo, základy školy Pražská ul., eggenburg, Inv. č. 28435, 0,5 ×.

2 *Glycymeris fichteli* (DESHAYES), HV 2/3 Vrbovec u Znojma, hl. 77,0 m, Coll., Kalabis, eggenburg, 3 ×.

3 *Thracia cf. pubescens* (PULTNEY), Chvalovice, údolí Daniže, eggenburg. Inv. č. 38 869, 1,5 ×.

4, 5 *Lucinoma barrandei* (MAYER), Rýha R/2 Hostěradice, hor. 1, eggenburg, Inv. č. 30 360, 5,5 ×.

6, 7 *Timoclea ovata minor* DOLLFUS et DAUTZENBERG, Rýha R/2 Hostěradice, hor. 1, eggenburg, Inv. č. 28360, 4 ×.

8 *Ostrea edulis* ssp., Znojmo, základy školy Pražská ul., eggenburg, Inv. č. 32 820, 0,5 ×.

#### Tab. XXIII

1, 2 *Hinia edlaueri* BEER-BYSTRICKY, Znojmo, základy školy Pražská ul., eggenburg, Inv. č. 28 401, 4 ×.

3, 4 *Clithon (Vittoclinth) pictus* (FÉRRUSAC), Znojmo, základy školy Pražská ul., eggenburg, 4 ×.

5 *Ocinebrina* sp., Znojmo, základy školy Pražská ul., eggenburg, Inv. č. 16 656, 3 ×.

6 *Congeria* sp., Znojmo, výkopy II. nemocnice, eggenburg, Inv. č. 30 379, 9 ×.

7 *Hydrobia* sp., Znojmo, základy školy Pražská ul., eggenburg, Inv. č. 28 388, 7 ×.

8 *Hydrobia* sp., Zn-10 Znojmo — Dobšice, hl. 15,6 m, eggenburg, Inv. č. 28 384, 7 ×.

9 *Cardium* sp. juv., Znj-1 Hodonice, hl. 51,9 m, eggenburg, Inv. č. 30 390, 11,5 ×.

10, 11, 12 *Congeria* sp. juv., Znojmo, základy školy Pražská ul., eggenburg, Inv. č. 28 393, 7 ×.

13 *Congeria* sp., Znojmo, základy školy Pražská ul., eggenburg, Inv. č. 16 651, 3 ×.

14 *Lumachella* misek *Cerastoderma* sp., Zn-2 GPUP, hl. 57,5 m, eggenburg, 1 ×.

#### Tab. XXIV

1, 2 *Rzechakia socialis* (RZEHAK), Maršovice — Jezeřany, otnang, rzechakiové vrstvy typové lokality, Inv. č. 20 377/12, 2 ×.

- 3 *Rzehakia socialis* (RZEHAK) Maršovice – Jezeřany, ottnang, rzechakiové vrstvy, Inv. č. 20 376/30, 2 × .
- 4 *Rzehakia socialis* (RZEHAK), Maršovice – Jezeřany, ottnang, rzechakiové vrstvy, Inv. č. 11, 2 × .
- 5, 6 *Limnopagetia moravica* (RZEHAK), Lektotyp, Oslavany, redeposice do sp. badenu, Coll. Naturhist. Mus. Wien, Inv. č. 656A, 2 × .
- 7 *Limnopagetia gracilis gracilis* (RZEHAK) Lektotyp, Rakšice, ottnang, rzechakiové vrstvy, Coll. Naturhist. Mus. Wien, Inv. č. 661A, 2 × .
- 8 *Siliqua cf. kozahurica* KVALIASHVILI, Rakšice, ottnang, rzechakiové vrstvy, Coll. Naturhist. Mus. Wien, Inv. č. 667, 2 × .
- 9 *Siliqua cf. kozahurica* KVALIASHVILI, Němčičky, ottnang, rzechakiové vrstvy, Inv. č. 16 682, 1 × .
- 10, 11 *Congeria nucleolus* RZEHAK, Lektotyp, Oslavany, redeposice do sp. badenu, Coll. Naturhist. Mus. Wien, Inv. č. 1340/1, 4 × .
- 12 *Ctyrokya schlickumi* (ČTYROKÝ), Maršovice – Jezeřany, ottnang, rzechakiové vrstvy, Inv. č. 11 173, 4 × .
- 13 *Theodoxus cyrtocelis austriacus* RZEHAK, Ivančice – Padochovka, rzechakiové vrstvy, ottnang, Inv. č. 12 926, 8 × .



**Západné Karpaty**

**SÉRIA**

*Geológia 15*

---

Vydał Geologiczny Instytut Dionizego Szture w roku 1991

Vedecký redaktor: RNDr. MILOŠ RAKÚS, CSc.

Zodpovedná redaktorka: Ing. JANKA HRTUŠOVÁ

Technická redaktorka: GABRIELA ŠIPOŠOVÁ

Vytlačila Knihtlačiareň Svornosť, Bratislava v roku 1991. Vydatelské oprávnenie GÚDŠ:  
MK 42/1990-21.

Náklad 500 ks. Tem. skup. 03/9. Rozsah AH 11,77, VH 11,95

Cena brož. výtł. Kčs 30,—

**ISBN 80-85314-06-1**



**FOTOGRAFICKÁ PRÍLOHA  
PHOTOGRAPHS  
I—XXIV**





1

2





1



2



1



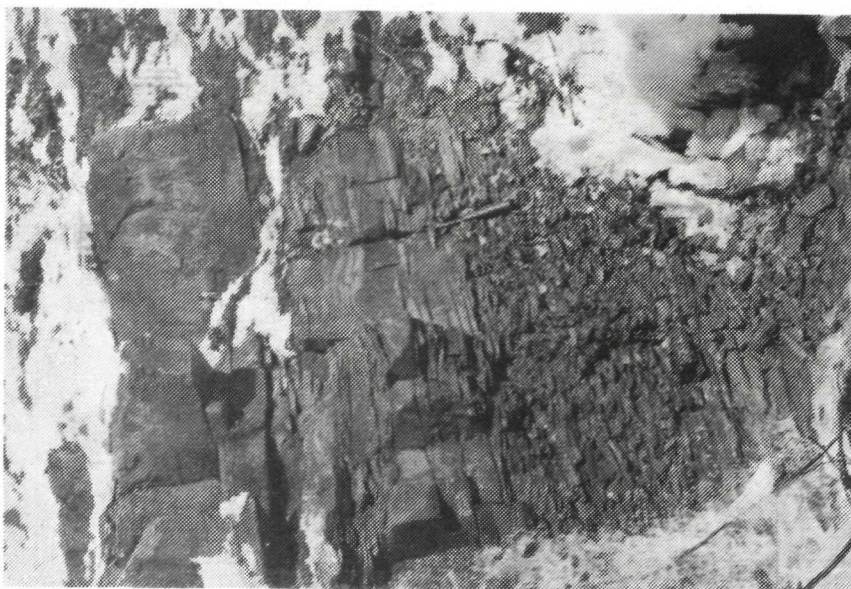
2



3



4



1



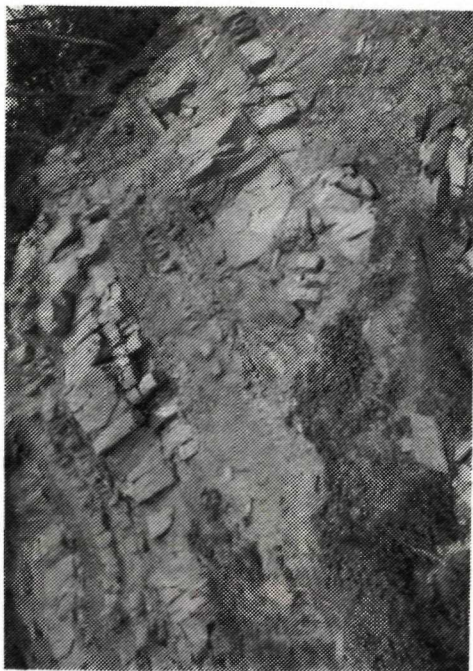
2



1



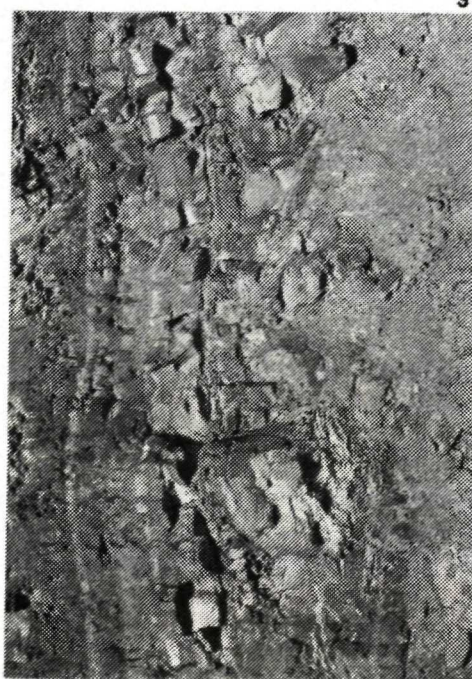
2



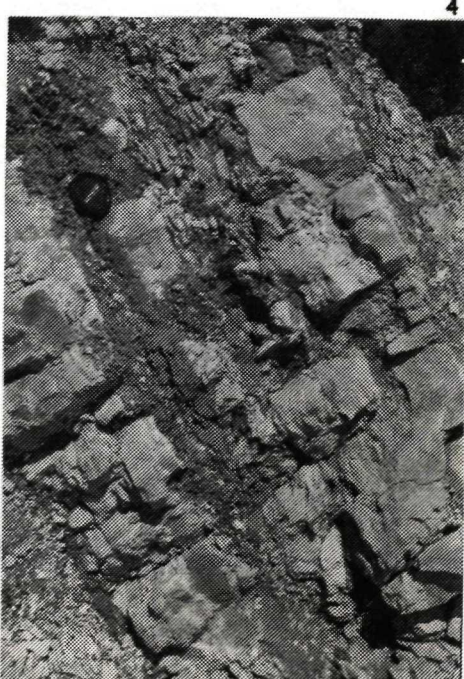
1



2



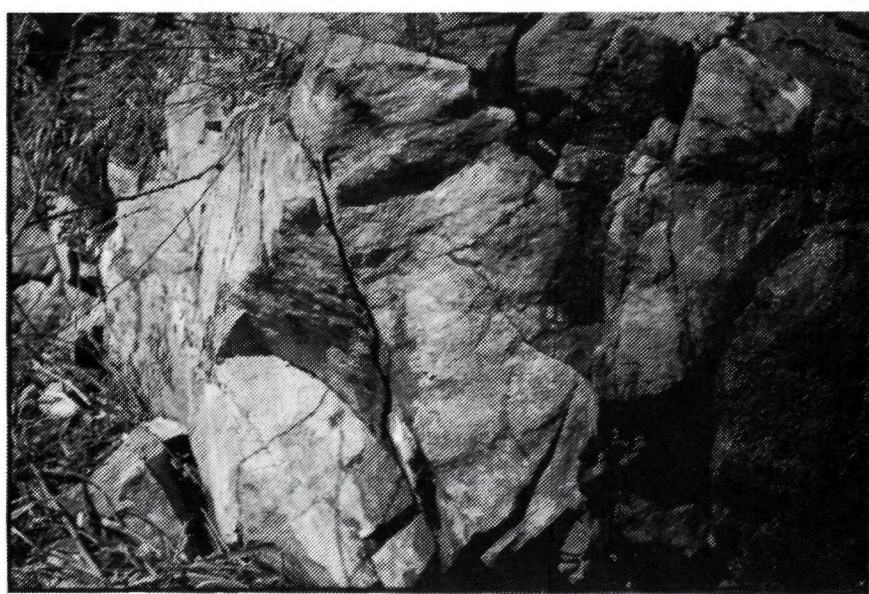
3



4



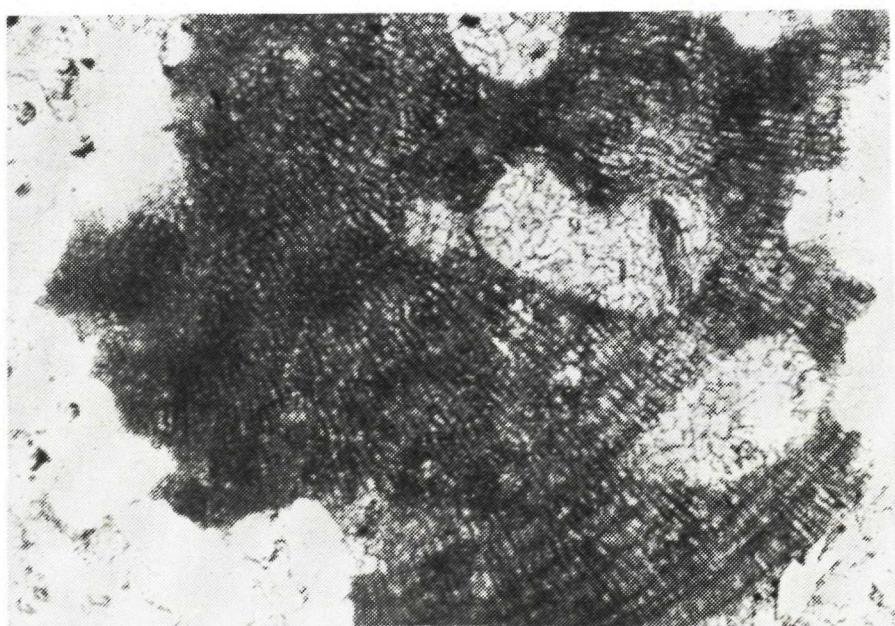
1



2



1



2



1



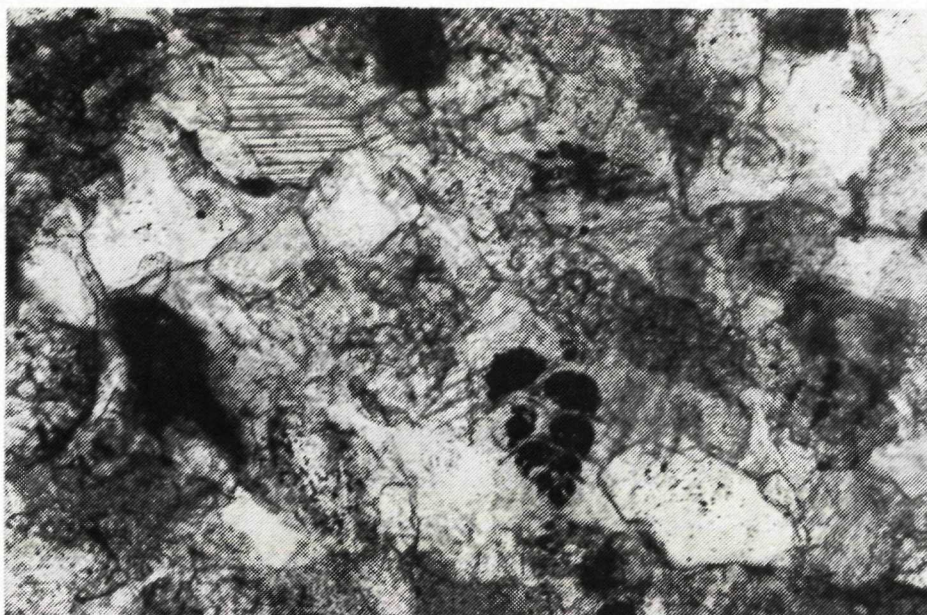
2



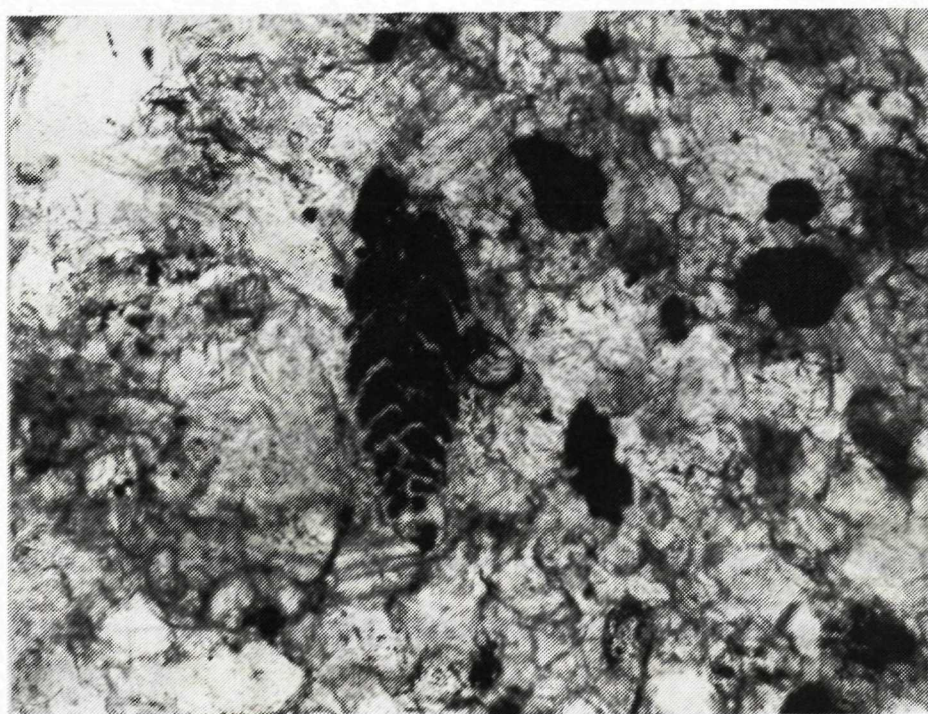
3



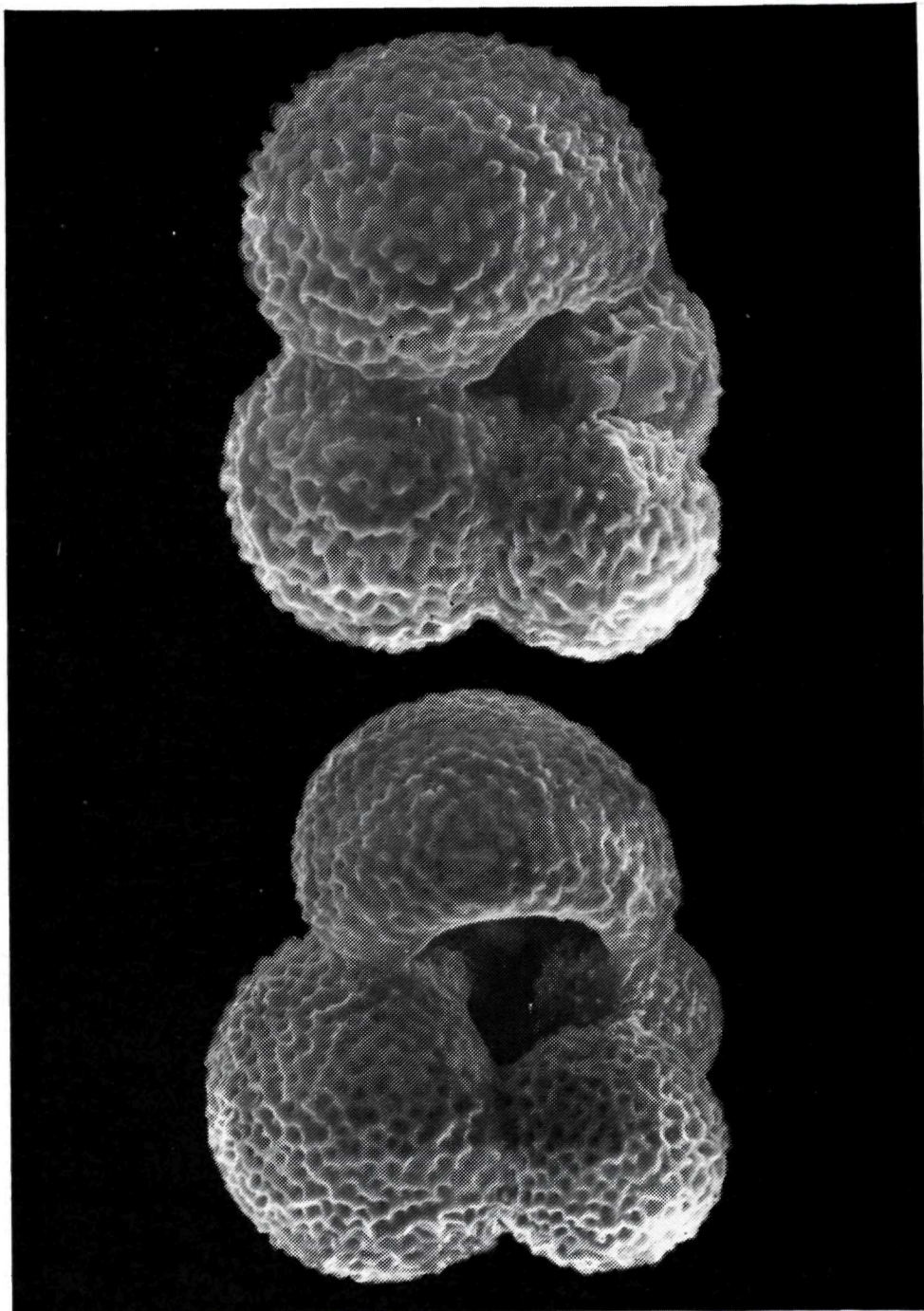
4

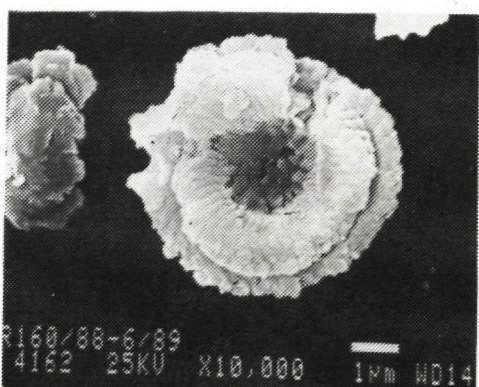
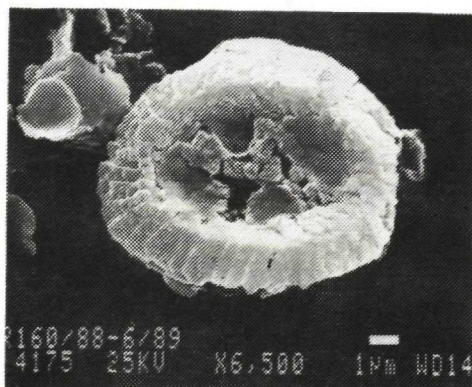
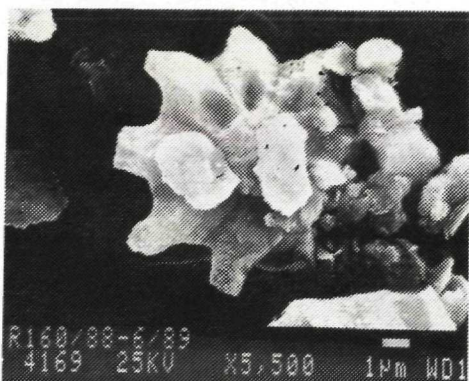
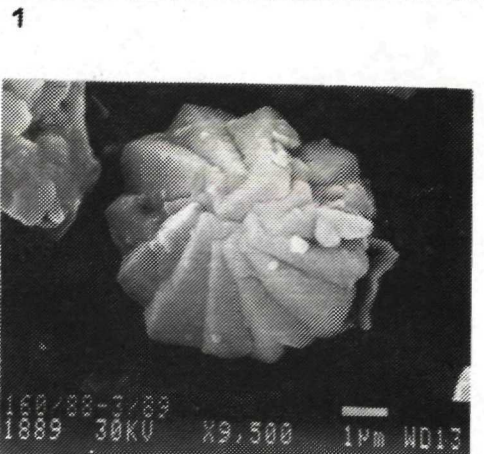
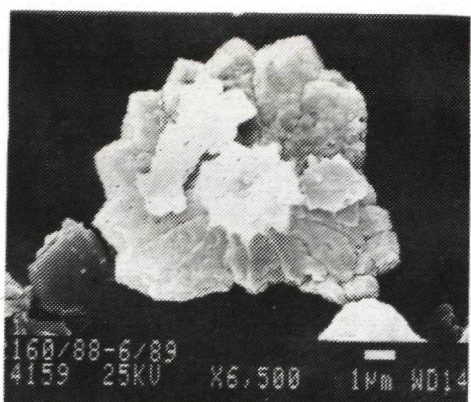
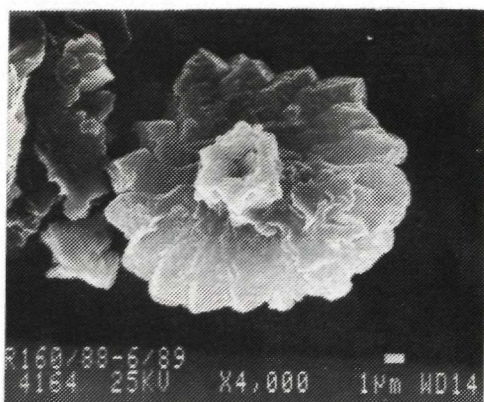


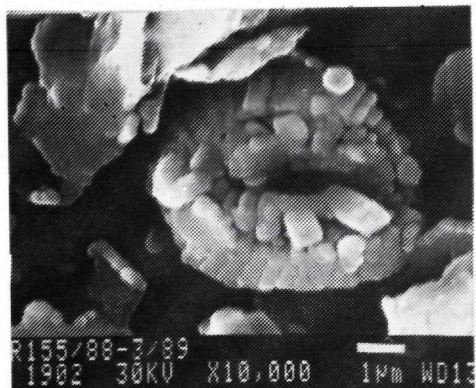
1



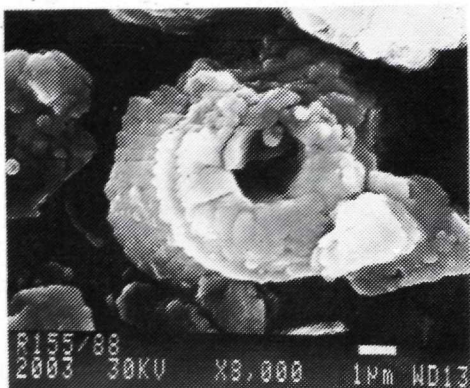
2



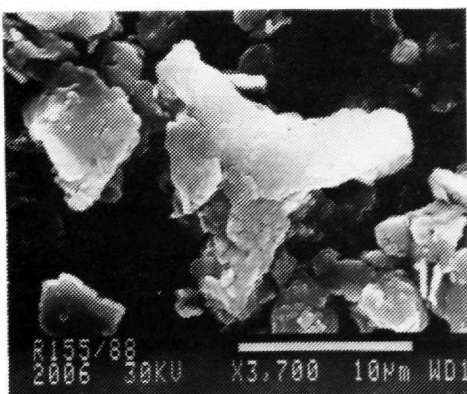




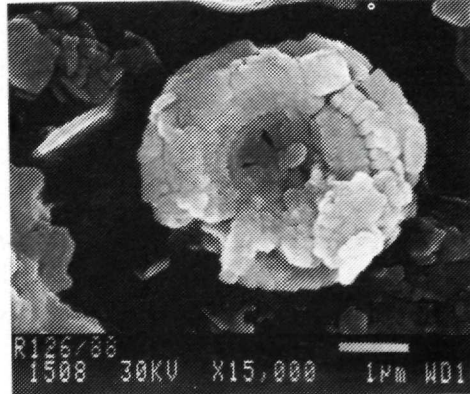
1



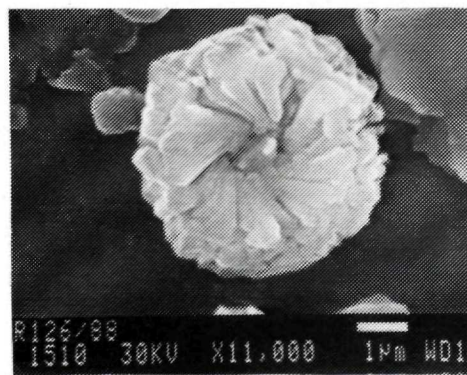
2



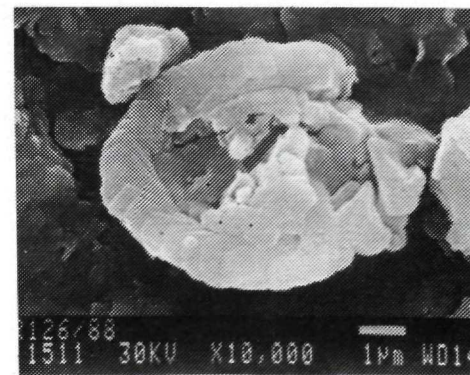
3



4



5



6

